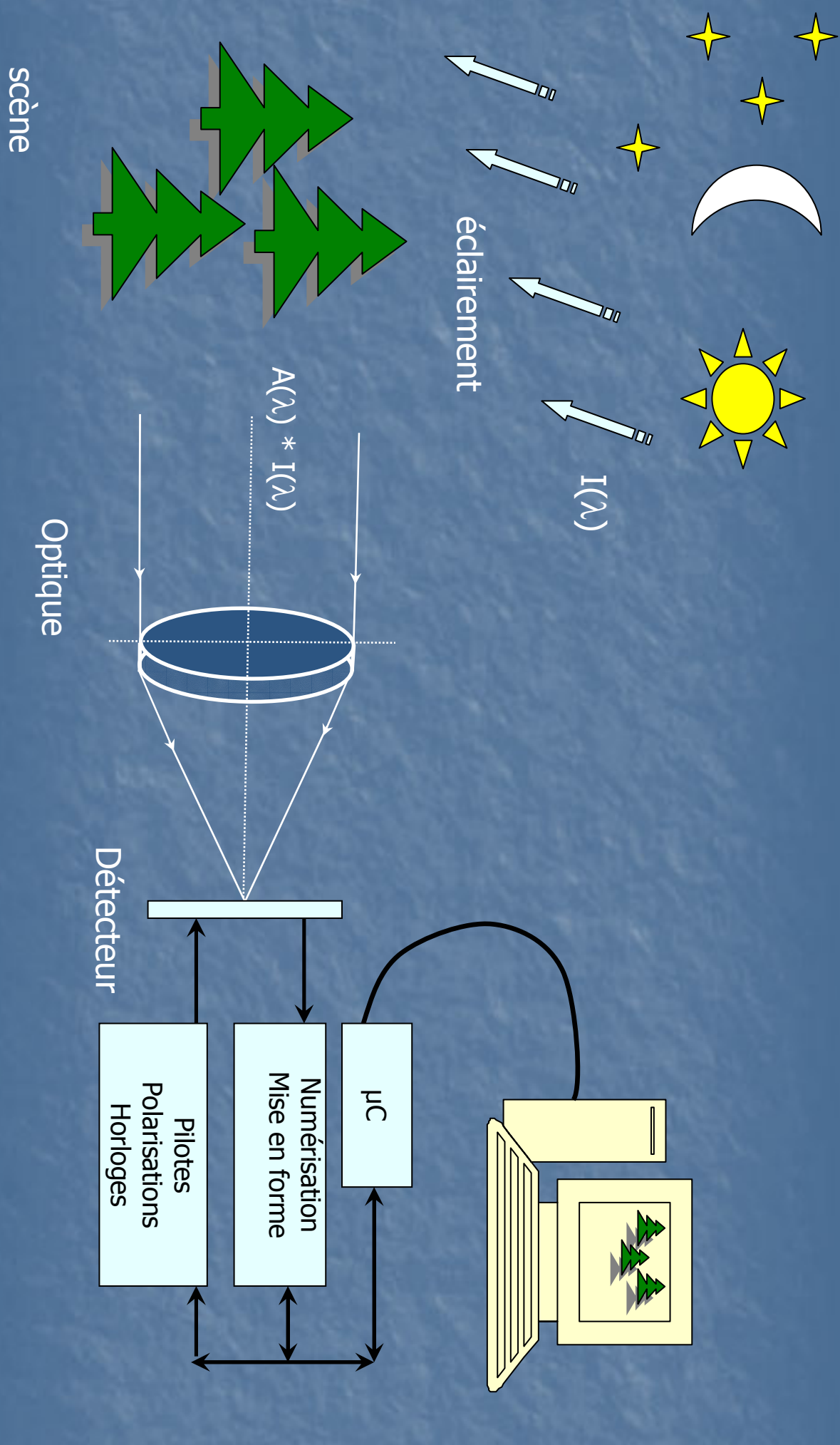
#### Détecteurs - capteurs visible - NIR (0.3µm à 1.1µm) d'images

Par Cyril Cavadore, Thalès Optronique, DT-GOAL

THALES

### Chaîne objet - détecteur

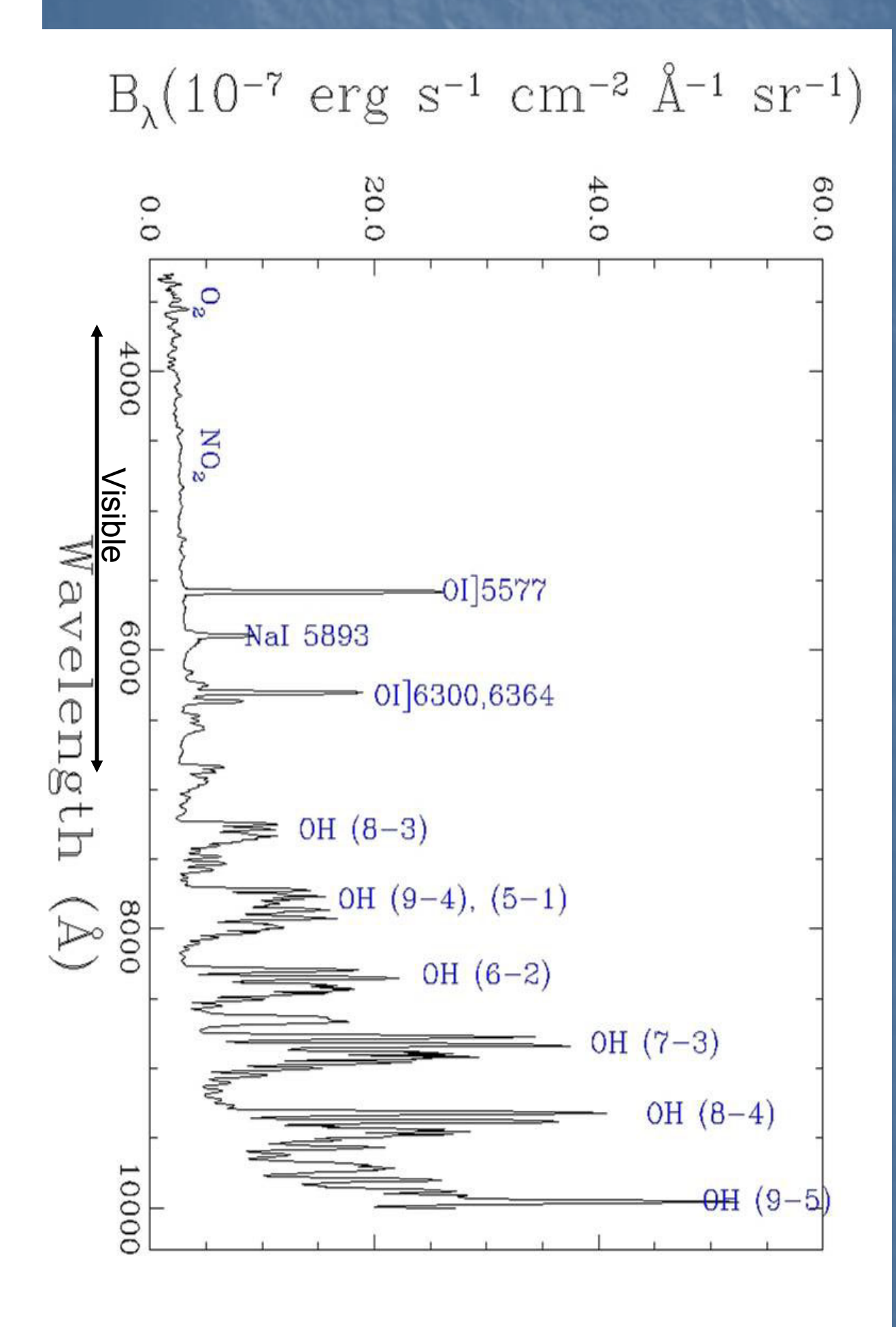


# Niveaux d'éclairement de jour - Soleil (corps noir a 5800°K)

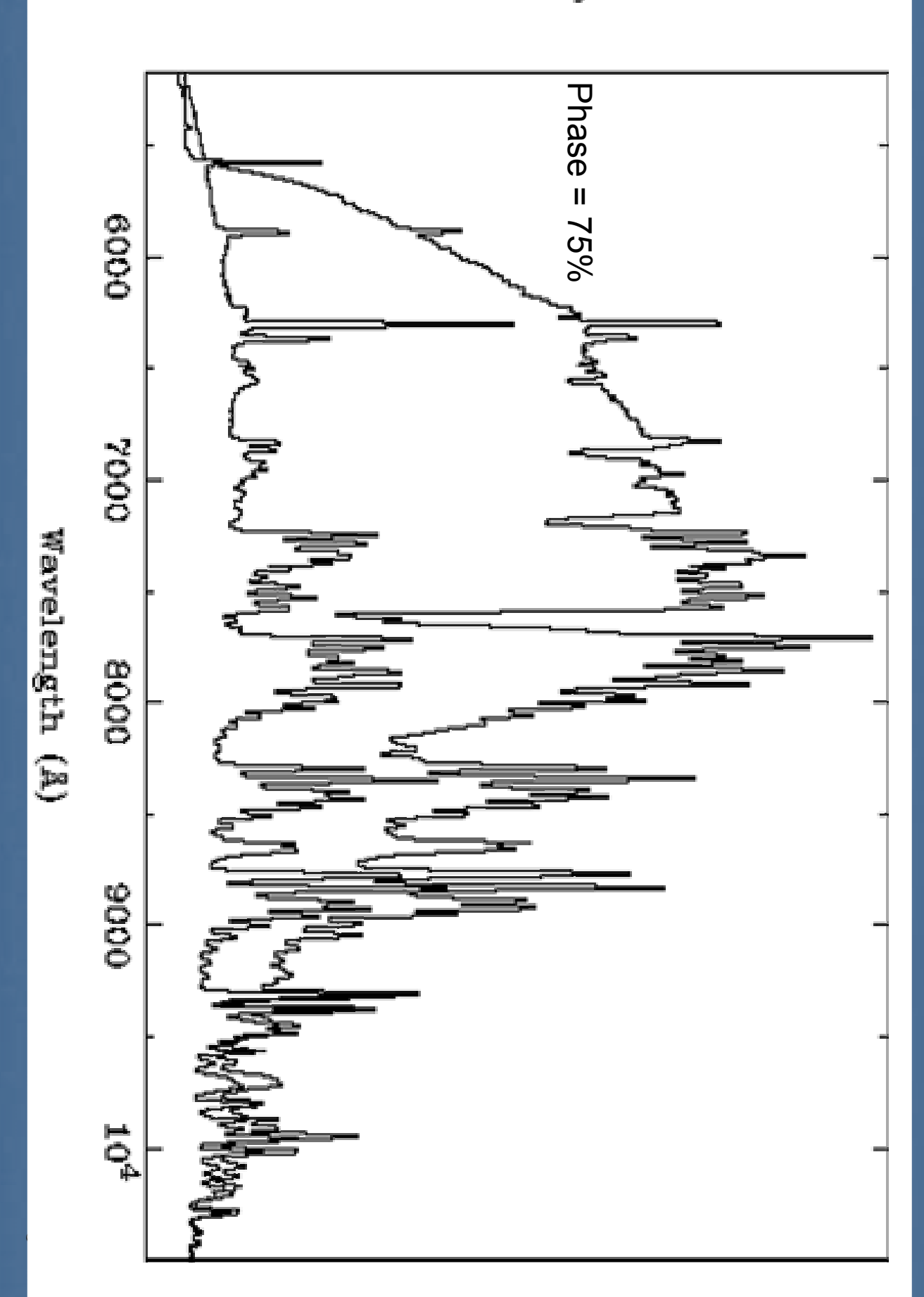
Crépuscule avancé	Crépuscule	Jour très sombre	Intérieur (Bureau)	Jour couvert	Jour avec éclairage indirect du Soleil	Soleil (direct)	Aspect
$\sim 10^{15}$	$\sim 10^{16}$	$\sim 10^{17}$	$\sim 10^{18}$	$\sim 10^{19}$	~ 10 <sup>20</sup>	$\sim 10^{21}$	Eclairement (Ph/s/m²) 0.4 — 0.7µm
	10	100	200 — 400	1000	10 000 — 20 000	100 000 — 130 00	Eclairement (Lux)

### Niveaux de lumière nocturnes

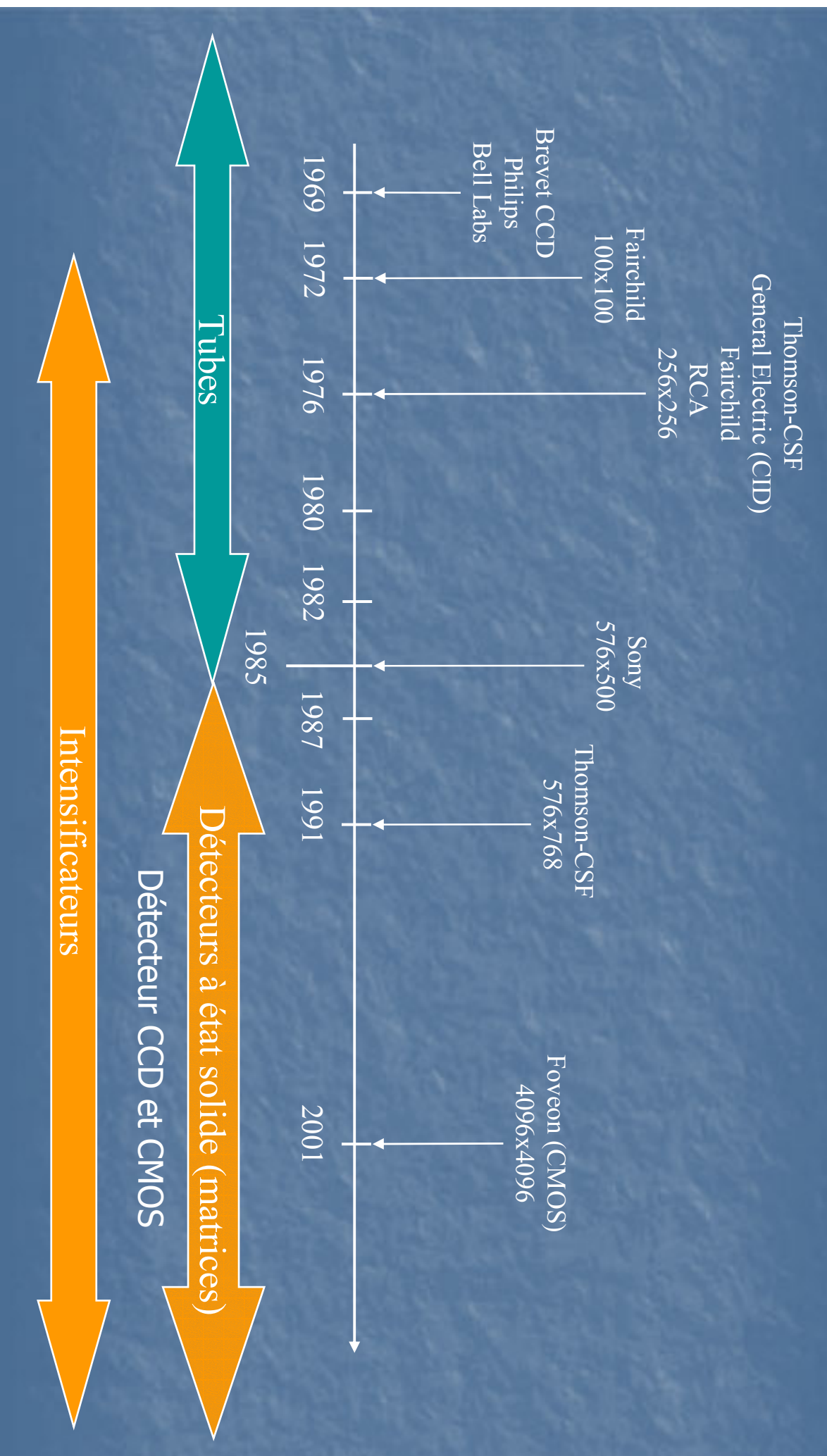
1	2	ω	4	U	Niveau
Très claire	Claire	Intermédiaire	Sombre	Très sombre	Aspect
Pleine Lune pas de nuages	Nuages Pleine Lune	Pas de nuages Premier Quartier Lune	Pas de nuages Nouvelle Lune	Couvert Nuages Nouvelle Lune	Lune/ Nuages
10 <sup>15</sup>	$10^{12}$	$10^{11}$	109	$10^{8}$	Eclairement (Ph/s/m²) 0.4 – 0.7µm
40 - 1000	10 — 40	2 - 10	0.7 - 2	< 0.7	Eclairement (mLux)
14%	24%	7%	27.5%	27.5%	Probabilité d'occurrence



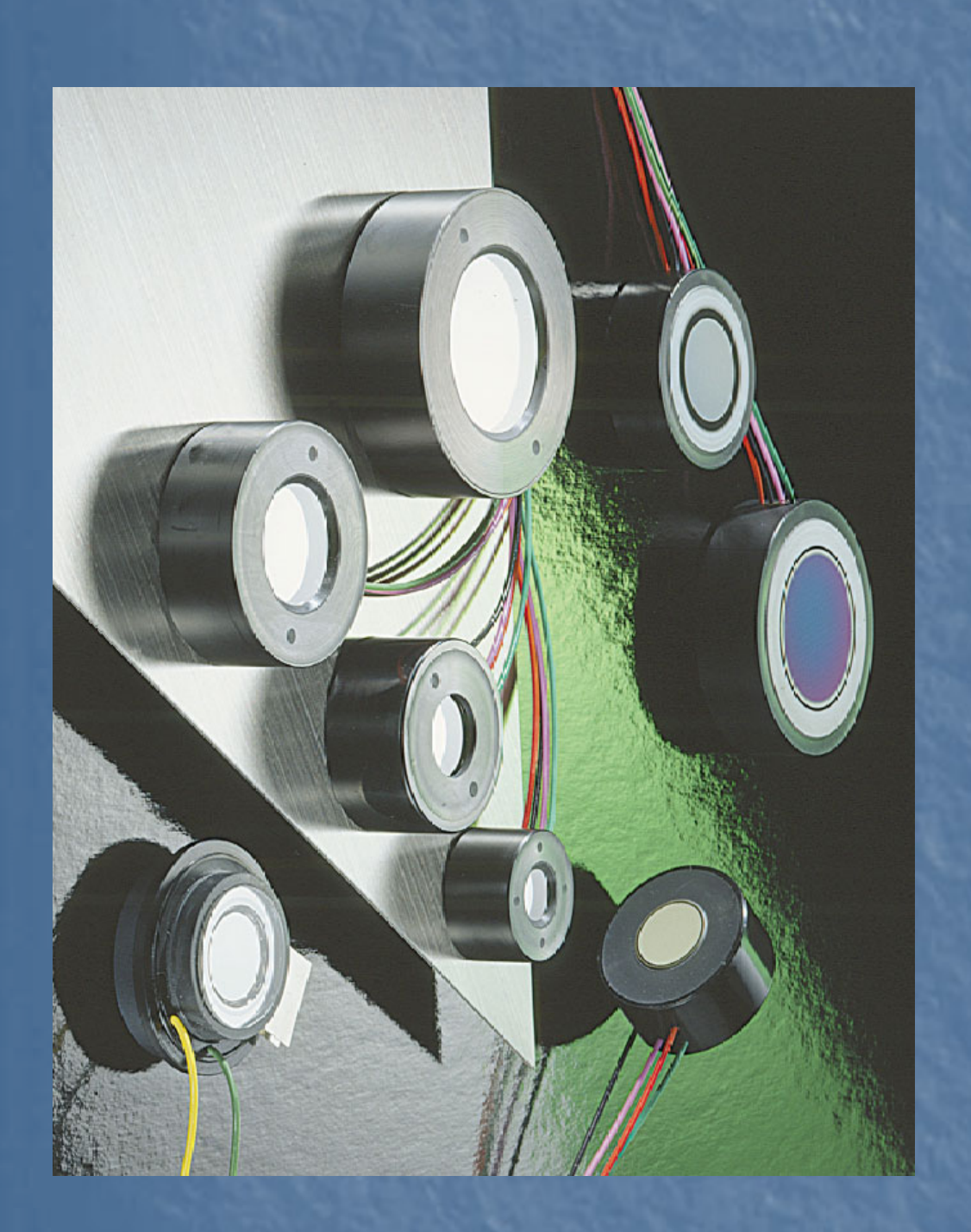




## Chronologie : évolution des imageurs visibles



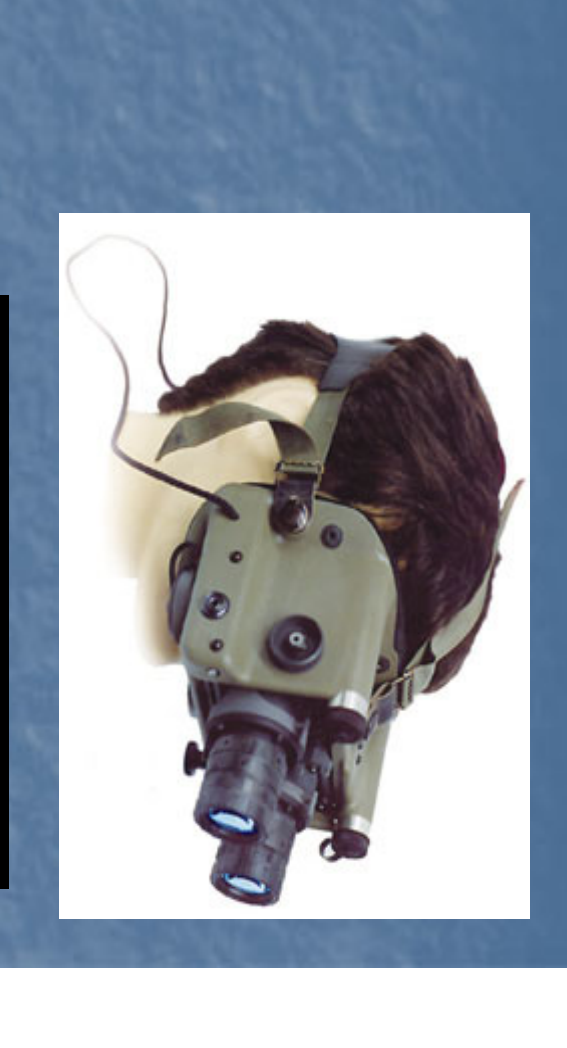
## Les intensificateurs de Lumière - IL

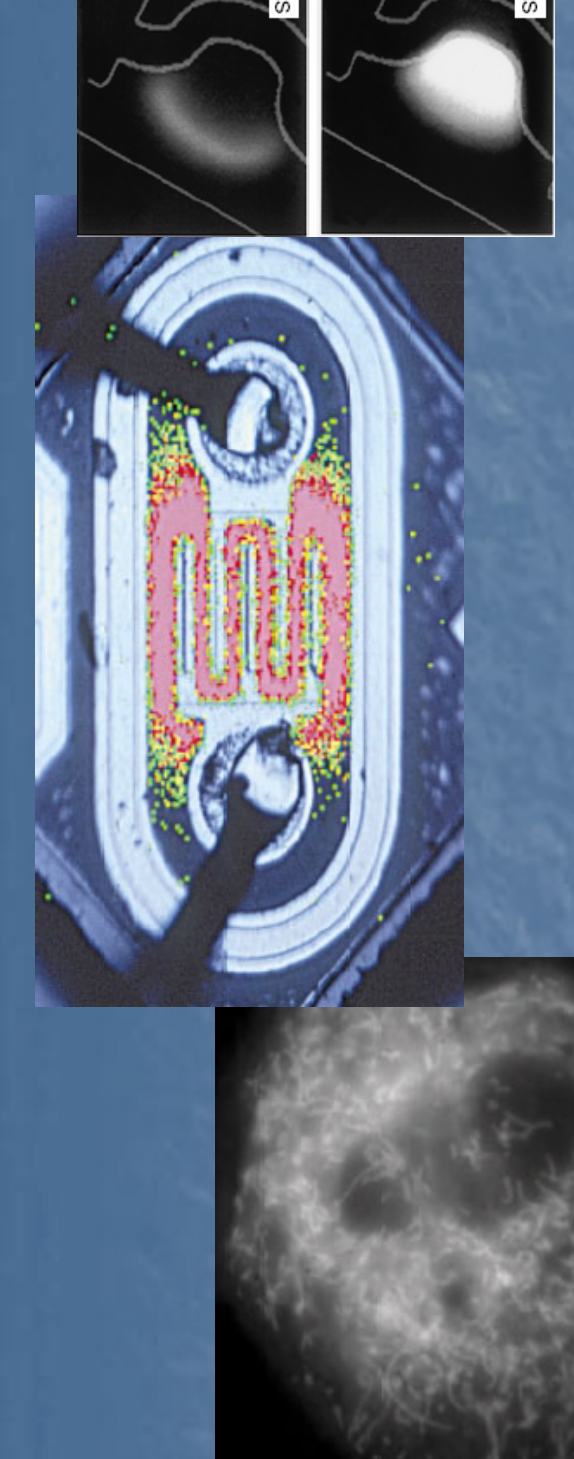


### Les intensificateurs de lumière

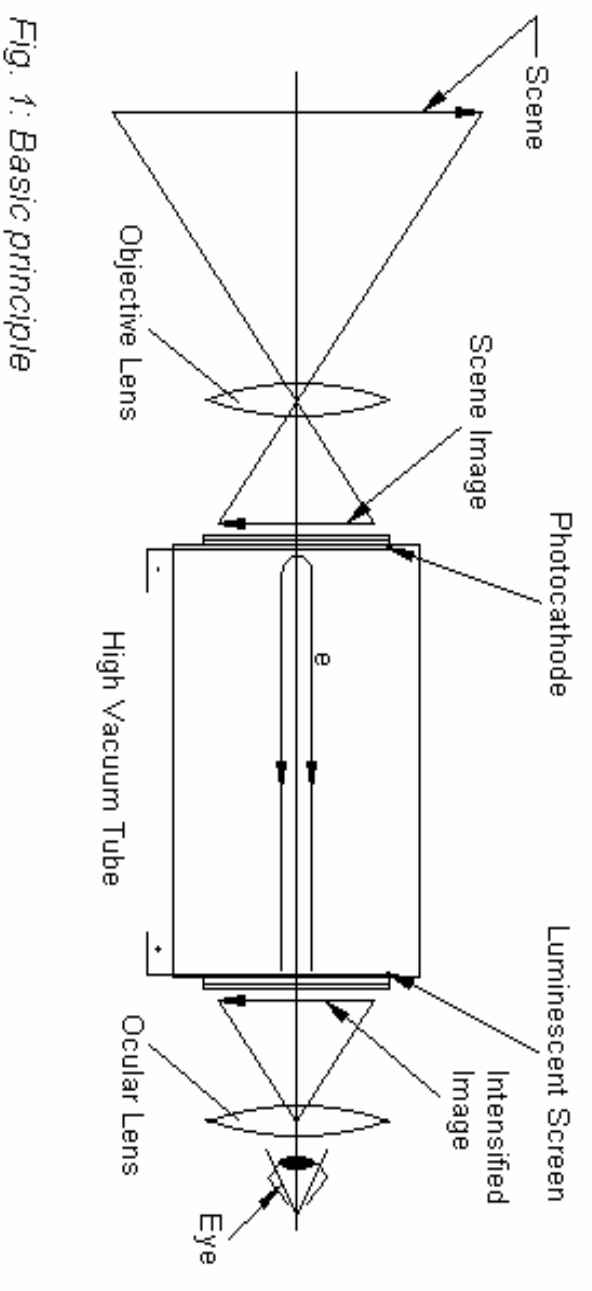
#### Applications:

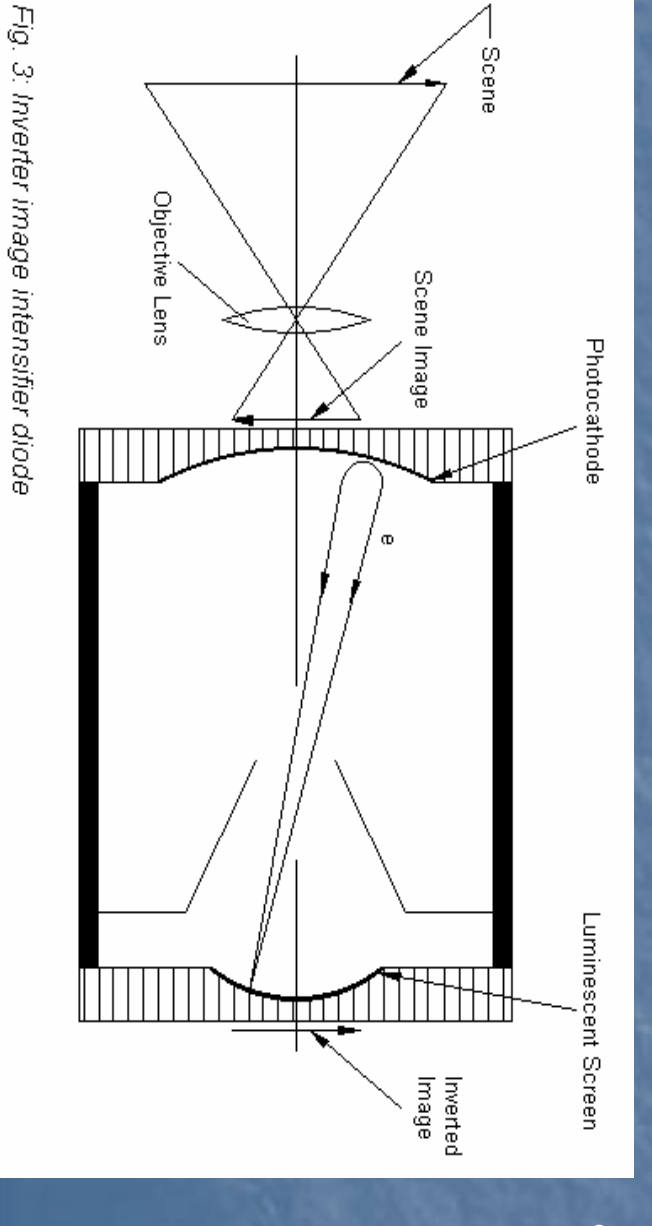
- vision de nuit (militaire / civil)
- Spectroscopie
- Imagerie par fluorescence (Biologie)
- Astronomie
- Electronique
- Contrôle de Semi conducteur





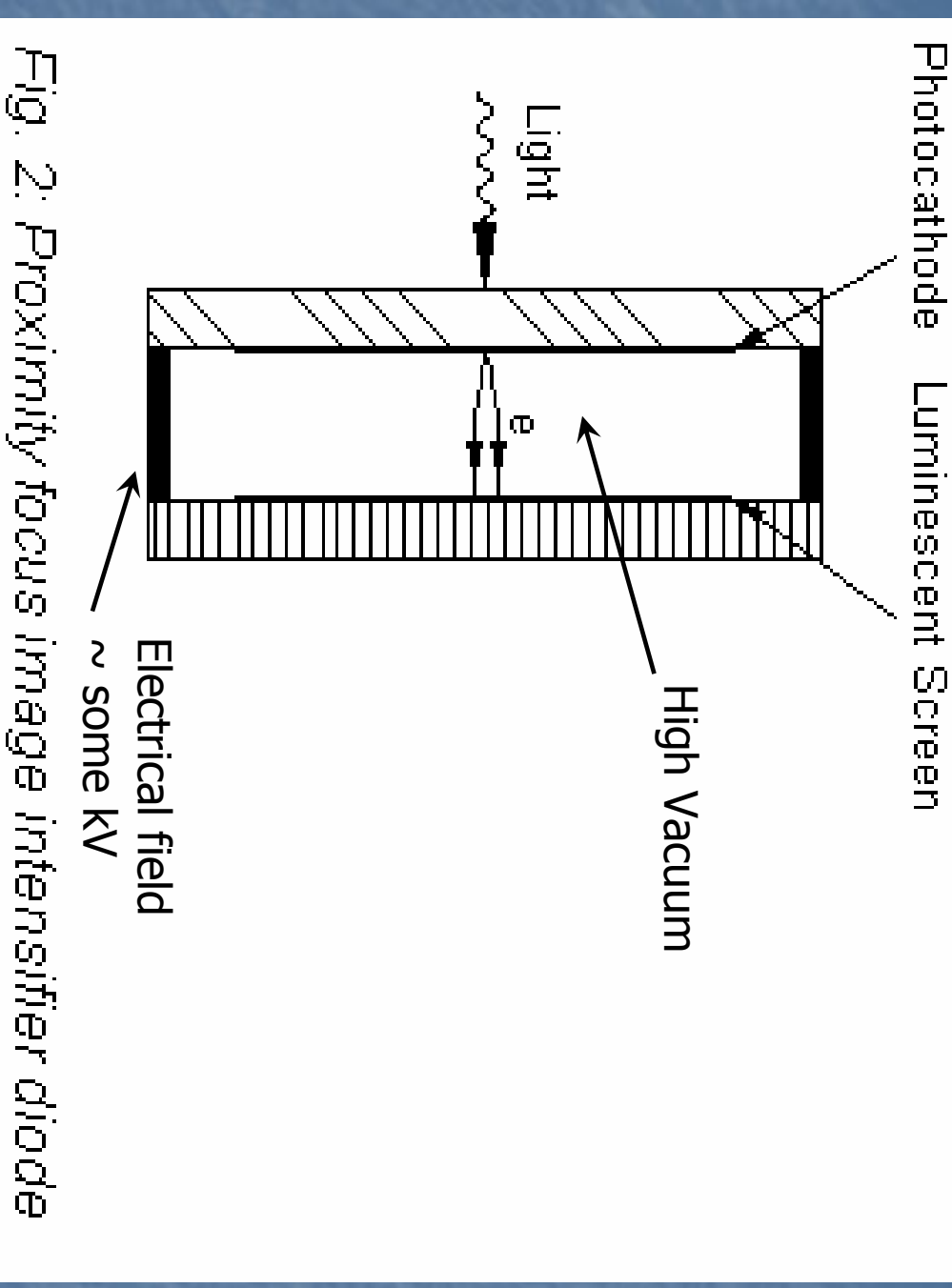
### Systèmes basés sur les ILs





- Amplification de la lumière
- photocathode
- un champ électriquele vide
- un système d'électrodes
- un écran (phosphore)

### 1 ère génération d'ILs



Energie acquise par les électrons = plus grande luminosité de l'écran phosphore Amplification de 1000 — 5000x

### 2ième génération d'ILs

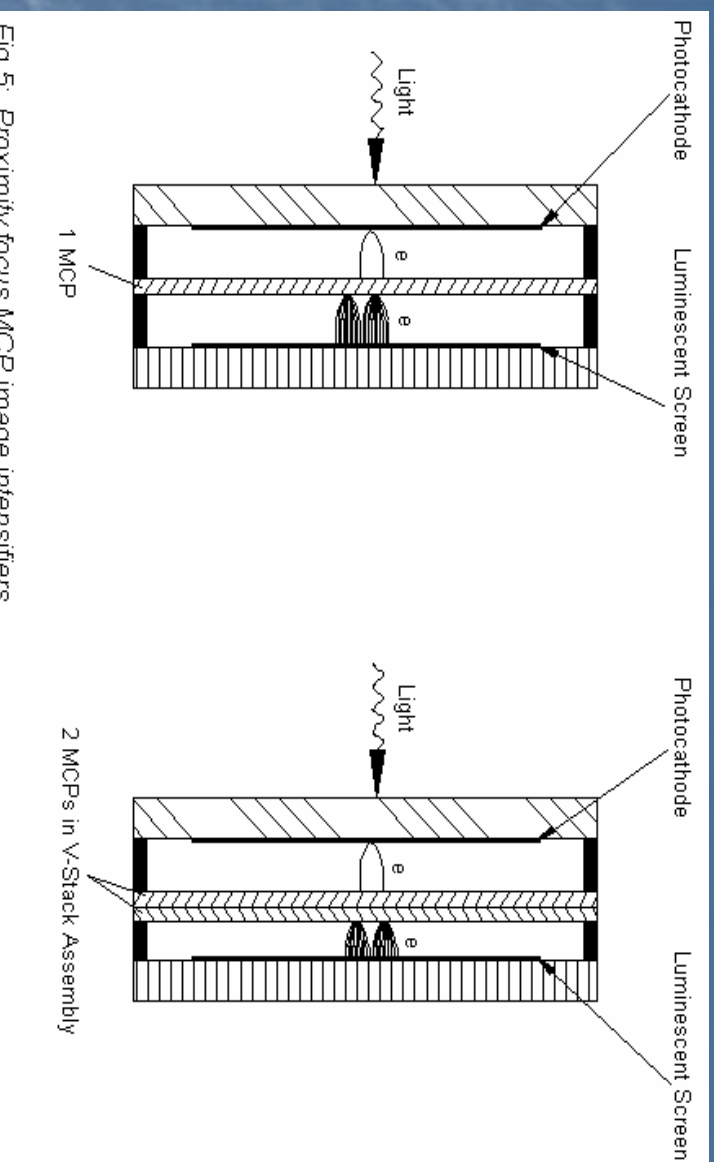


Fig.5: Proximity focus MCP image intensifiers

- Galette a micro canaux
- Plus compactsAmplification 20 000x
- Pas d'inversion d'image
   Double galette : gains de 10<sup>7</sup>
   Plus sensible au Bruit d'anions et
- aux bruits thermiques

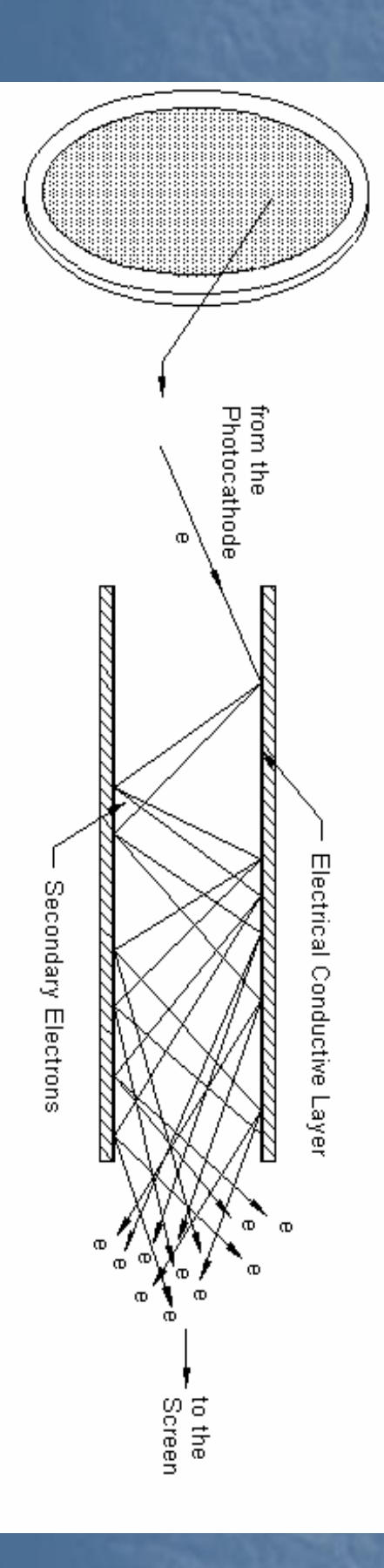
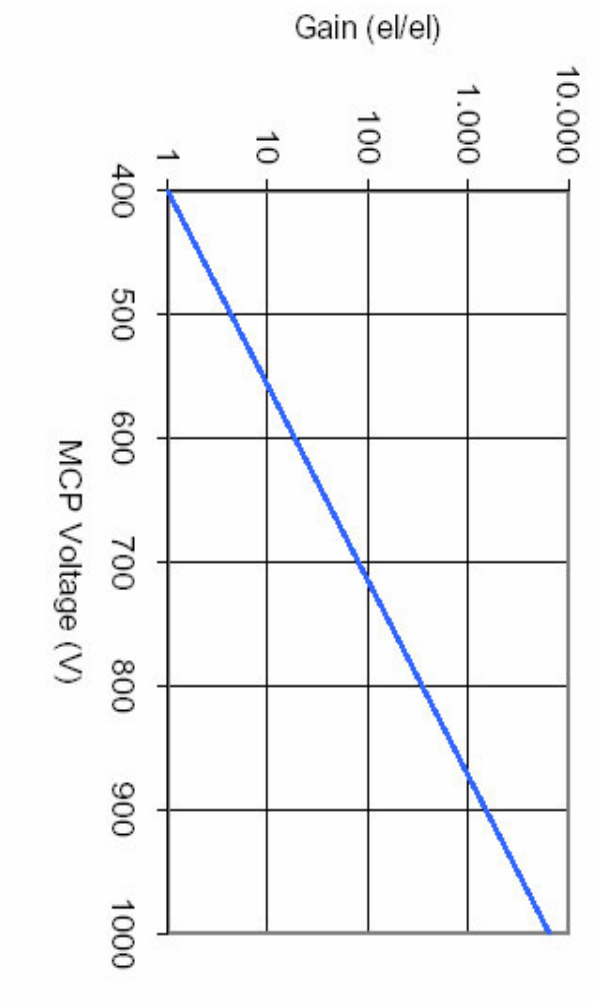
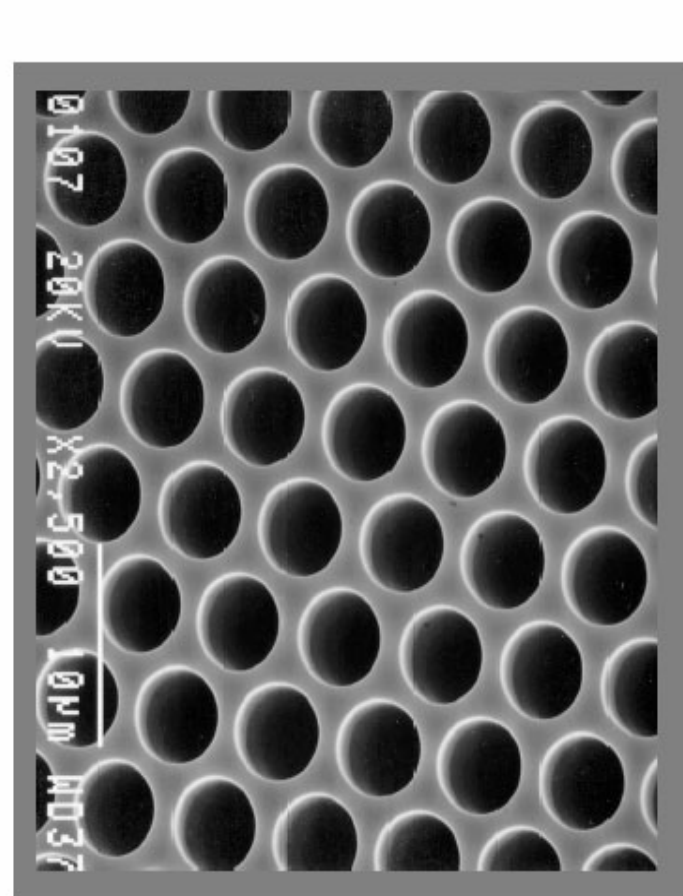


Fig. 4: Microchannel plate (MCP)

### 2ième génération d'ILs



Surface



Galette de micro canaux

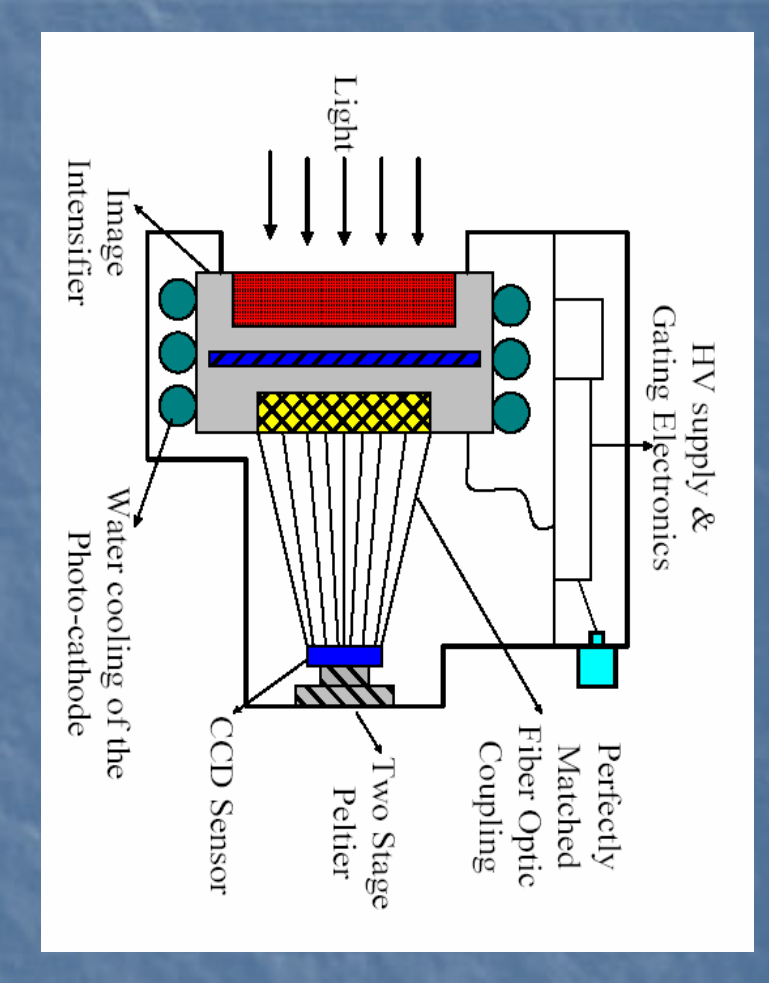
### 3ième génération d'ILs

- Efforts sur le rendement quantique des photocathodes (1.200 µA/lm au lieu de 300
- μΑ/lm) • Gain de 30000 — 50000x

0,1 - 1:	_	10	100
₁ 5 <del> </del>		<del> </del>	<u>.</u>
°	· · · · · · · · · · · ·		
2 :		:::::::    :)::	
250			
	1 1 1 1 1 1	<del>:</del>	
	1111111		
350			
~			
450			
ë		1 1 1 1 1 1 1 1 1 1 1 1	
	* 111111 1	: ::::::	: : : : : : : :
. ا س	1111111	1 : : : : : : [ [	. : : : : :
ž		<del>: :::::: <mark>/</mark> </del>	· · · · · · · · · · · · · · · · · · ·
	:::::::::::::::::::::::::::::::::::::::	: ::::: <b>//</b> ::::	: : : : : : :
;	: : : : : : : :	<b>\</b> : : : : <b>/\</b> {:: : : /	: :::::
ŝ <del>                                    </del>	1 1 1 1 1 1 1 1	<b>\\:</b> :::/::	
³      :		: <b>\:</b> /:/:::  : : :	: :::::
	: : : : : : : :	: : <b>Y</b> ::::  : :	: :::::
750		: <b>/\</b> !!!!	
5 ] :			
<u>.</u>   :			
			<del></del>
	<del>1                                      </del>	111111	: : : : : :
;		: :: <mark>/</mark> :  <del>:' </del> -	· · · · · · · · · · · · · · · · · · ·
g			
<b>~</b>   :		<b>/</b> (::  <u> </u>	. <u> </u>
-	1 1 1 1 1 1 1 1	NE S	¥ ×

Extended red multialkali  Bialkali  Cs-Te  Up to 6  Ag-O-Cs  Up to 12  GaAs (Cs)  Up to 9	1050								
Up to 9 Up to 12 Up to 9 Up to 7	GaAsP (Cs)	GaAs (Cs)	Ag-O-Cs	Cs-Te	Bialkali	Extended red multialkali	Multialkali	Photocathode Type	
200 nm 200 nm 200 nm	Up to 720 nm	Up to 920 nm	Up to 1200 nm	Up to 320 nm	Up to 650 nm	Up to 950 nm	Up to 900 nm	Spectral Response	

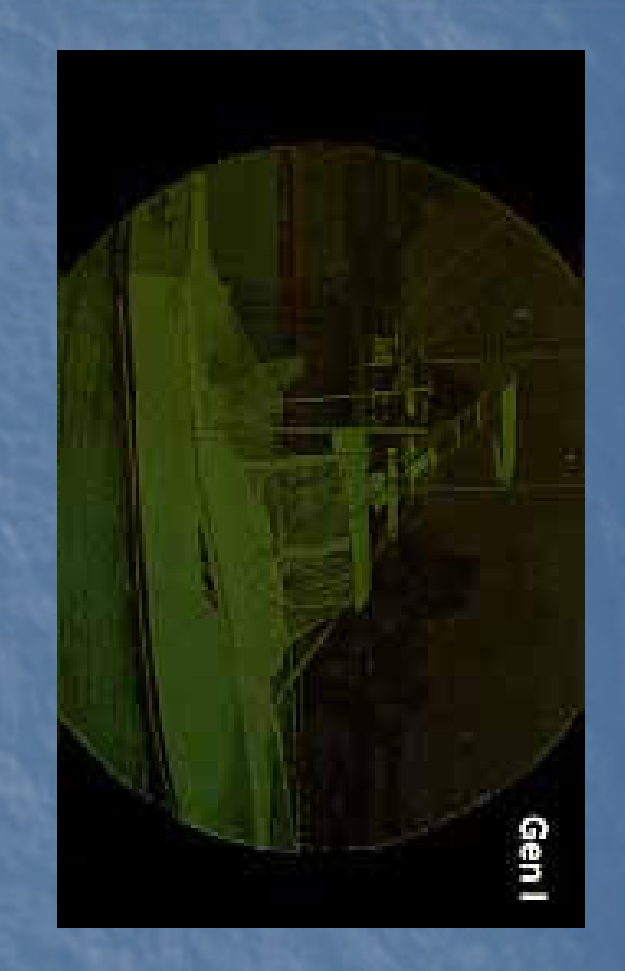
## Couplage intensificateur - CCD



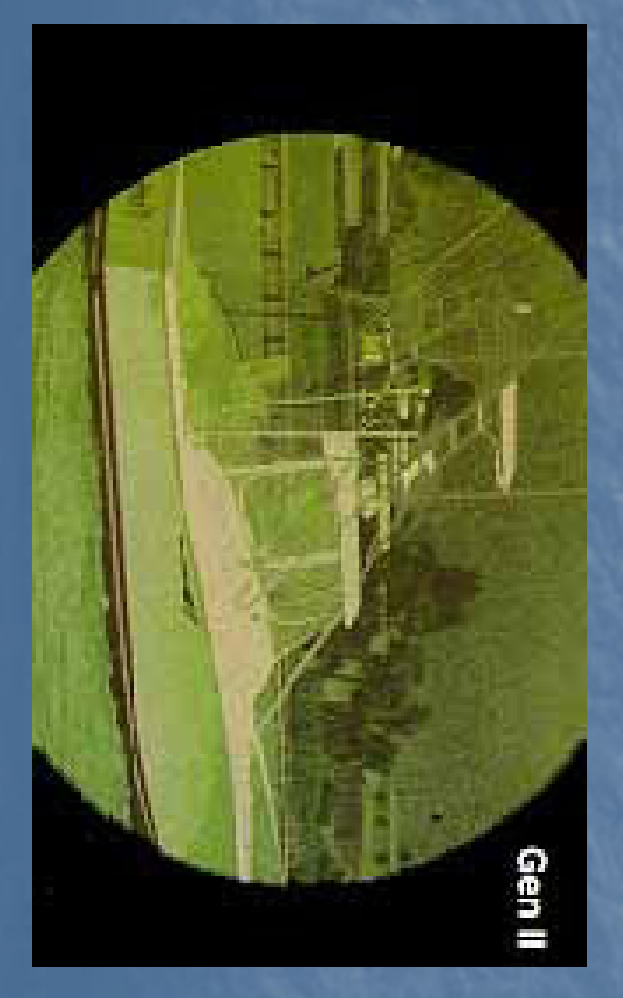
- Couplage écran détecteur d'imagesMatrices de fibres optiquesCher, très cher !!



## Générations d'IL (Comparaisons)

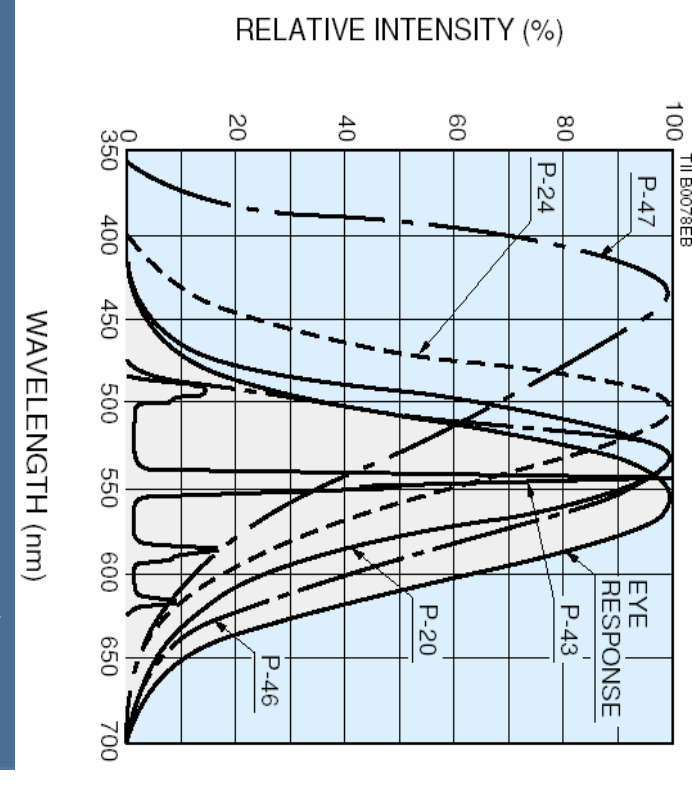






## Critères et paramètres de choix d'un IL

- Diamètre d'entrée
- Diam 11 à 40 mm
- Type de photocathode
- Fonction de la réponse spectrale souhaitée
- Alkali, biAlkali, GaAsp, CsTe...
- Transmission de la fenêtre d'entrée
- Inversion d'image ou pas
- Gain et nombre de galette de micro canaux (1,2 ou 3)
- $10^3 10^7$
- Résolution
- Ecran Phosphore
- Couleur
- Sensibilité
- Temps de rémanence
- Fenêtre de sortie
- Matériau
- Couplage fibre optique CCD
- Gating time (obturation)200 ps à 10ns

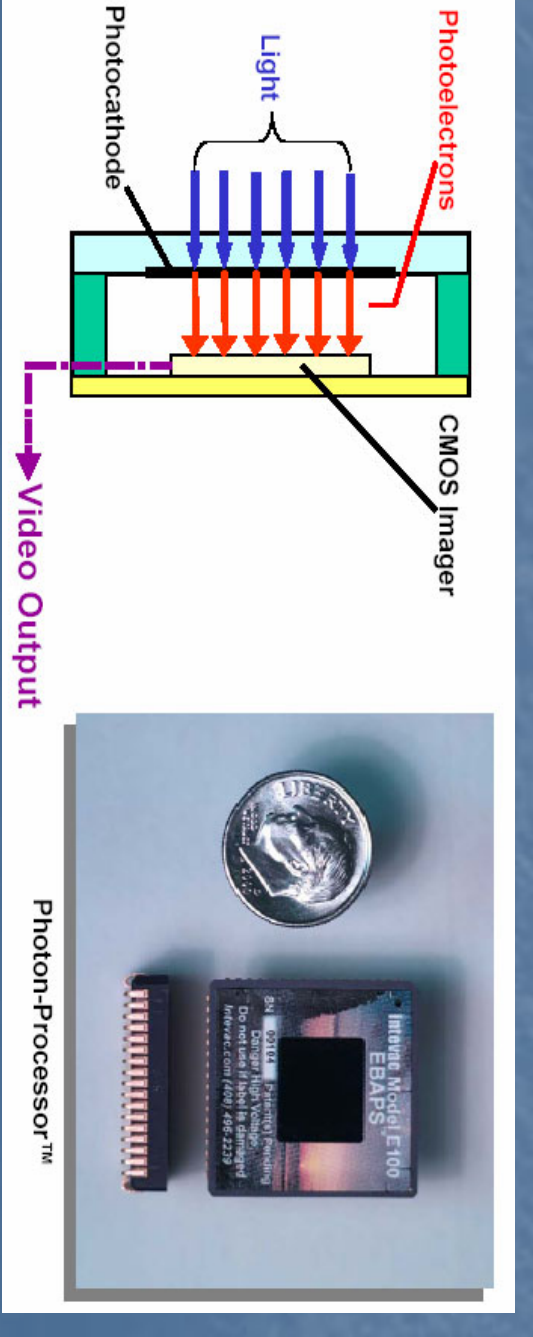


## IL : avantages et inconvénients

- Gating (obturation) jusqu'à qq ns
- Sensibilité imbattable pour des cadences d'images vidéo, qq Hz
- Irremplaçable dans certaines applications
- Pas d'écran déporté
- Compact

- Durée de vie limité
- Prix (qq K€)
- Sensibilité a l'éblouissement
- <u>=</u>
- Encombrement
- Sensible aux environnement humides
- Fragile

Futur : couplage direct avec des CCD, des APS ou EBAPS : l'écran tend à disparaître, ainsi que la matrice de fibres..



## Capteur d'images CCD

## Charge Coupled Devices





## Domaines d'application des capteurs d'image

### « Grand Public »

- Caméscope, photographie numérique,
- Caméra pour téléphones mobiles

#### Bureautique

- webcam, scanner, photocopieur, Fax
- Industriel
- Sécurité, identification, contrôle
- Scientifique
- Astronomie, Observation de la terre
- Imagerie médicale
- Automobile
- Anti-collision, rétroviseur











## Domaines d'application : des capteurs d'image

#### Militaire

- Poursuite et imagerie TV (OSF)
- Pod de désignation (ATLIS)
- Reconnaissance (PRESTO, RECO-NG)





### Différences détecteur à état solide / tube — film Discrétisation par des pixels

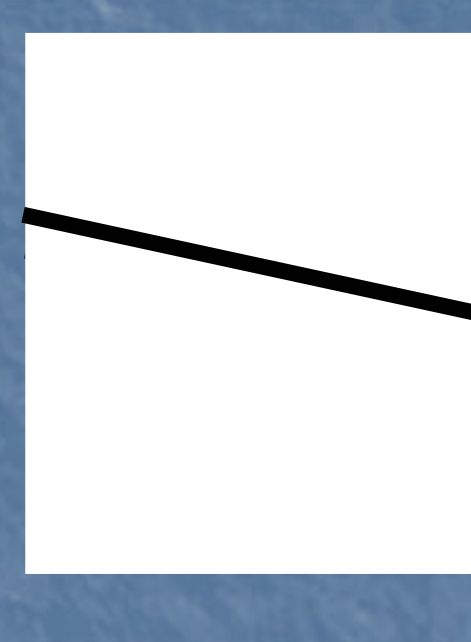
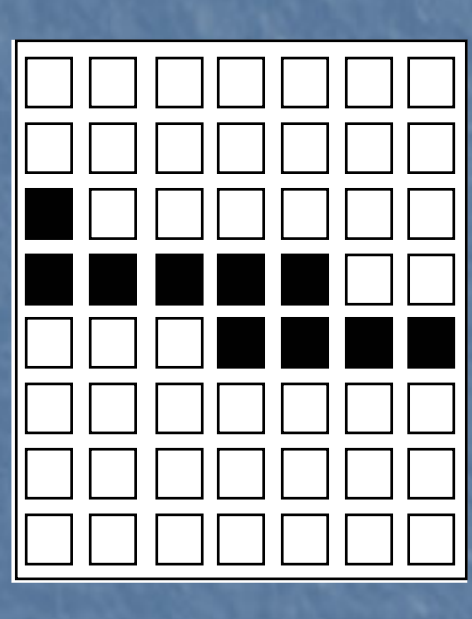
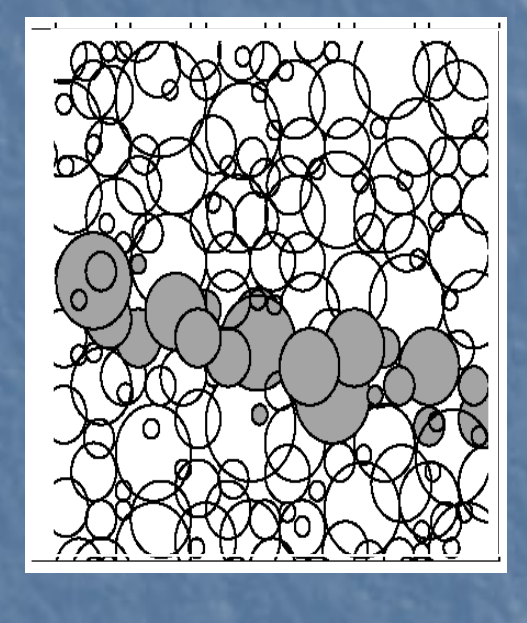


Image d'une ligne



lmage pixellisée

Taille Pixel de 5 à 20µm



Grain de film/photocathode

Taille de grain variable ~100 grains dans l'équivalent d'un pixel 10x10µm

## Principe de base de fonctionnement d'un CCD

Pixel: lieu de transformation des photons en e-

Zone Image

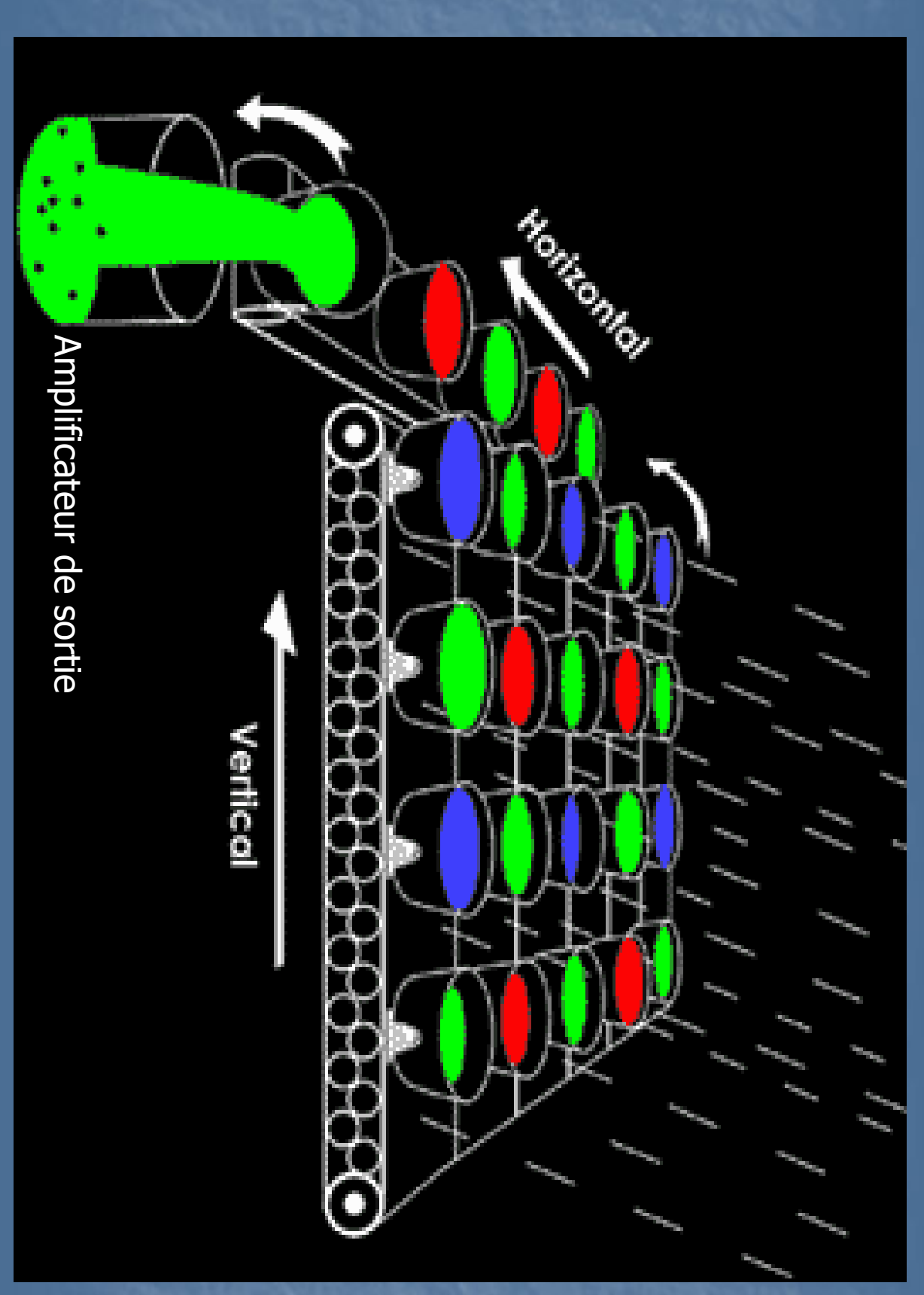
- Conversion photo électrons
- Transfert de charges
- une tension Transformation électrons vers



Amplificateur de sortie

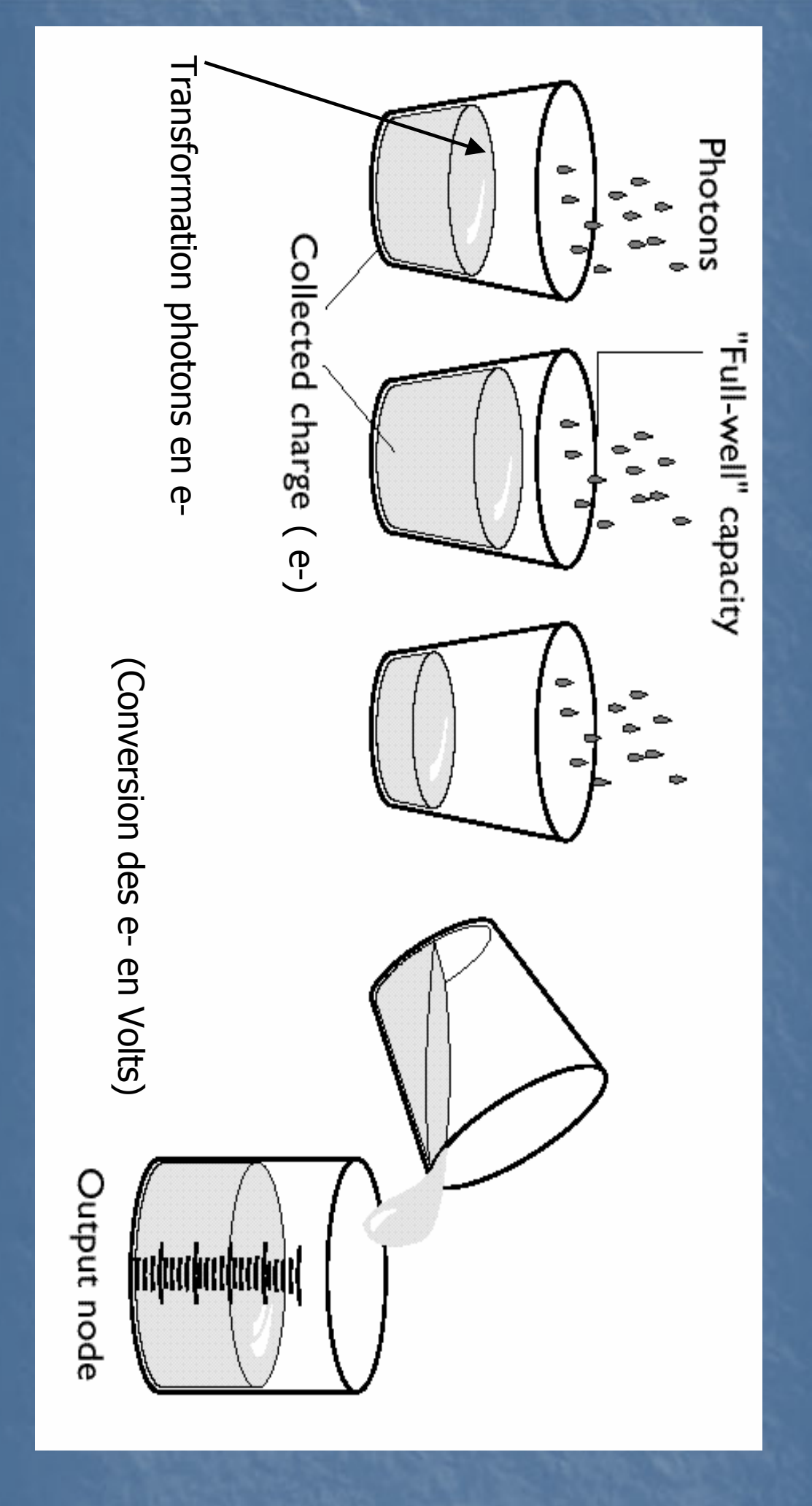
Registre série, transfert horizontal des charges

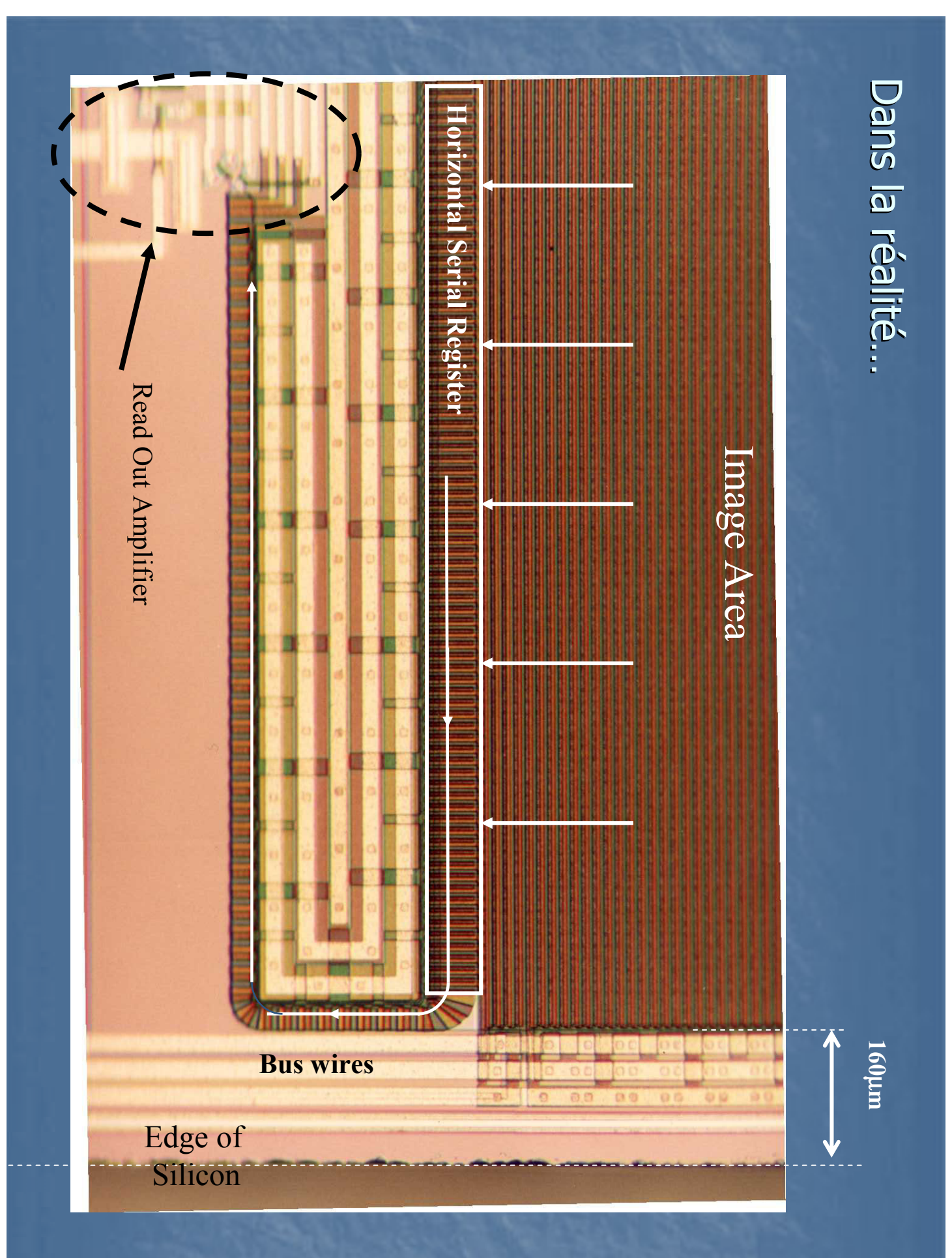
### Analogie charges/liquide



#### Transfert vertical Transfert horizontal Registre horizontal Conversion des e- en Volts

## Analogie Charges/Liquide - bucket/Seau

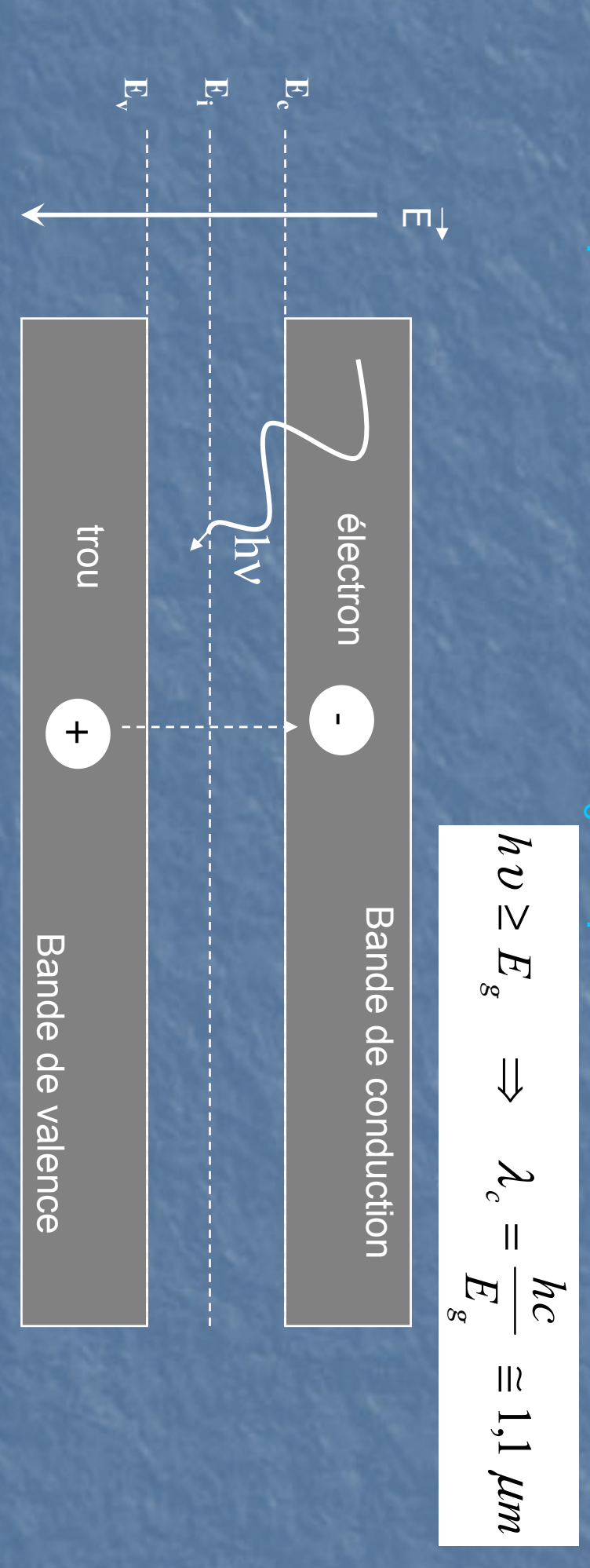




## Effet photo-électrique dans un pixel Si

Transition possible si  $hv_c > E_c - E_v$ Cas du silicium  $E_c - E_v = 1.12eV$ 

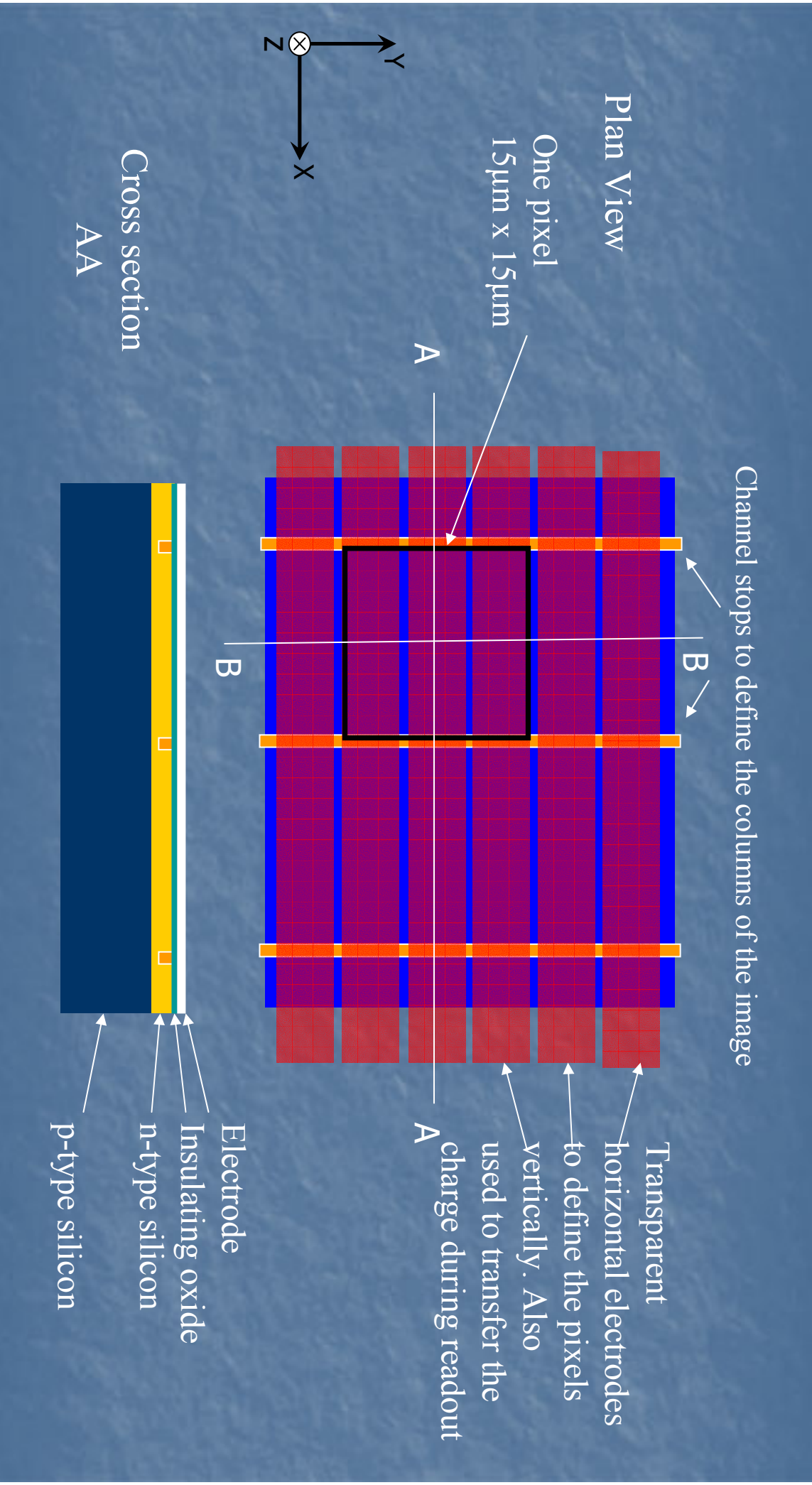
 $\lambda_{\rm c}$ <1.1µm



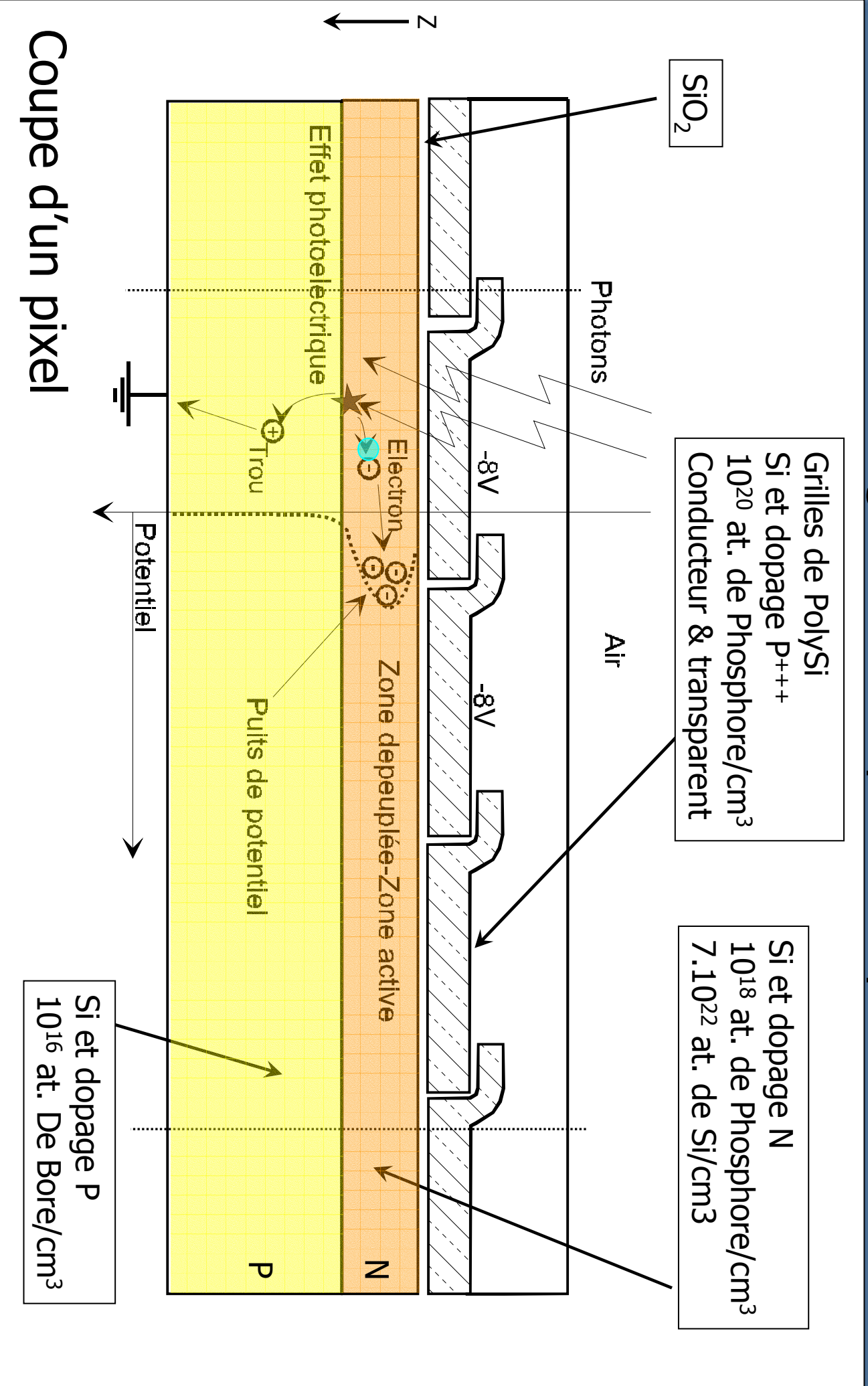
### Coupure basse (UV)

Causée par l'absorption de l'oxyde (~ 0,3µm) ou du PolySi (0,4µm)

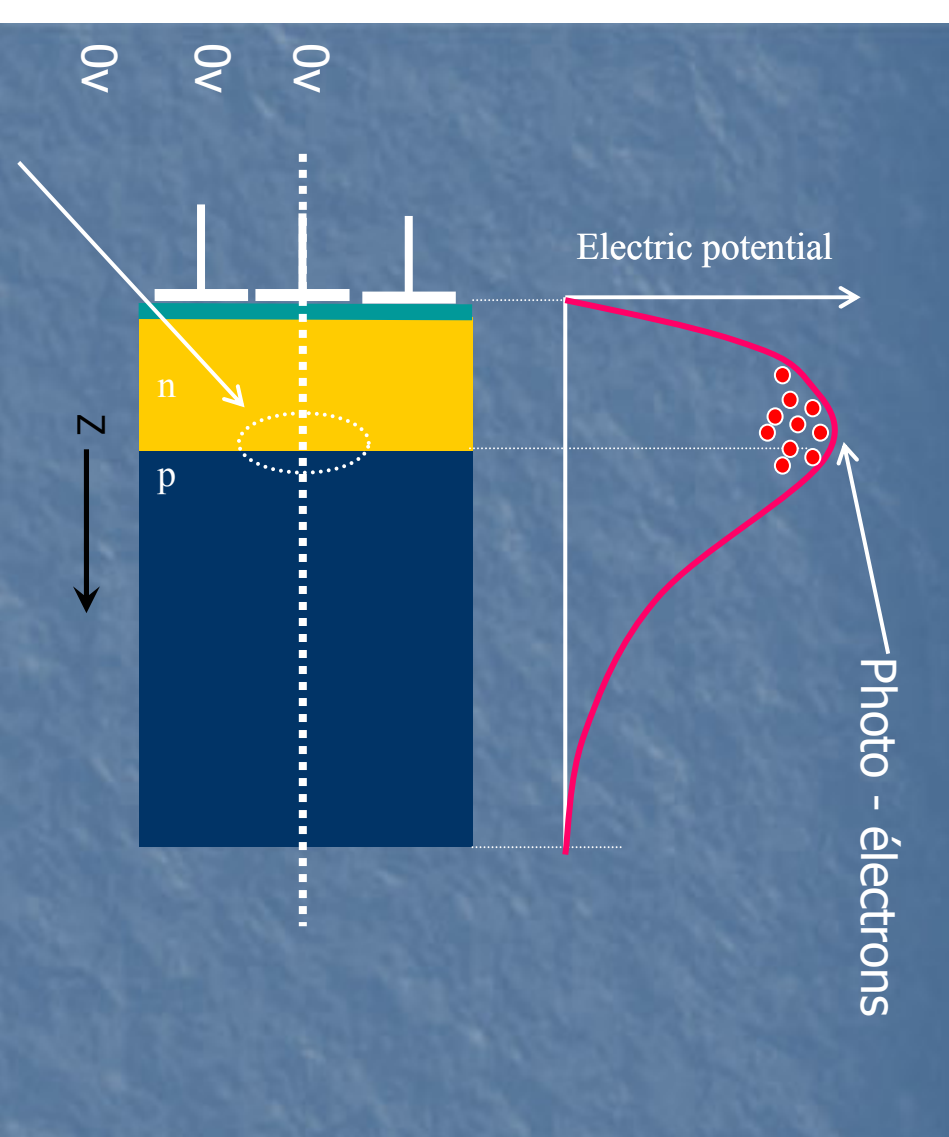
### Vue d'un pixel (3 phases)

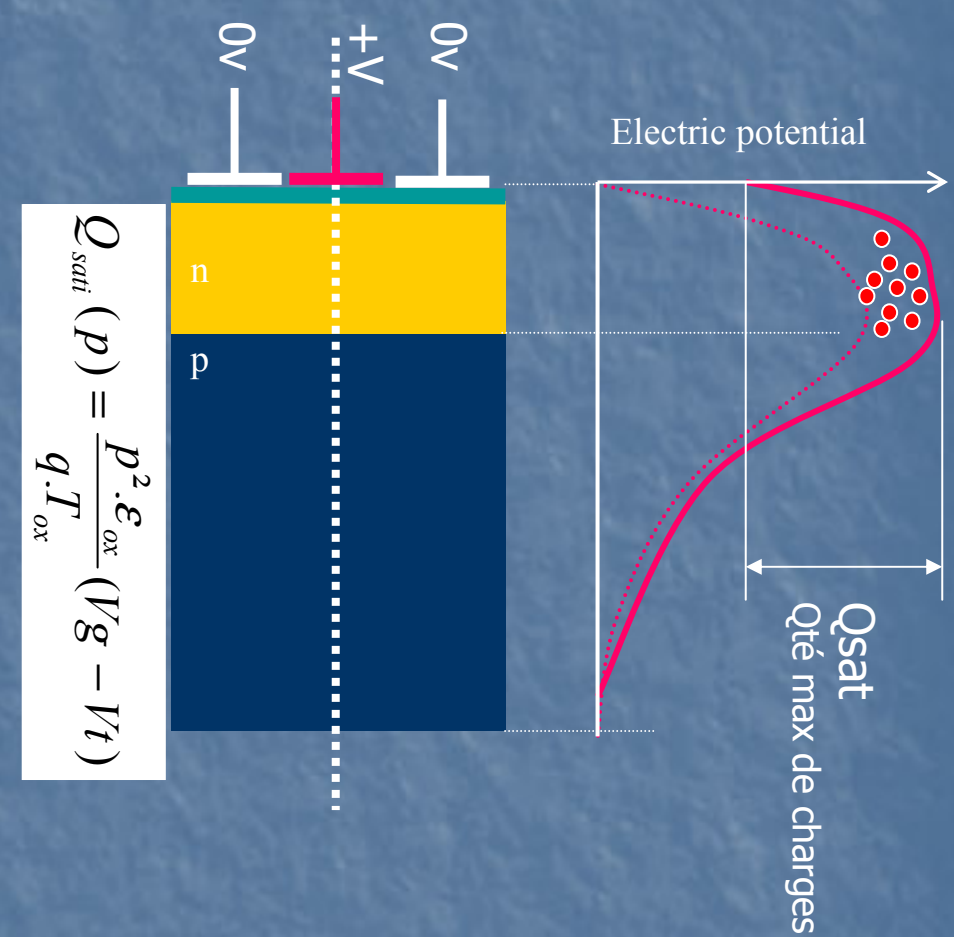


# Collection des charges dans un pixel : Capacité MOS



## Potentiel variable dans un pixel (3 phases)





ou région de déplétion a la jonction P-N Région de potentiel max

Qsat de 80 000 à 200 000 e- par pixels

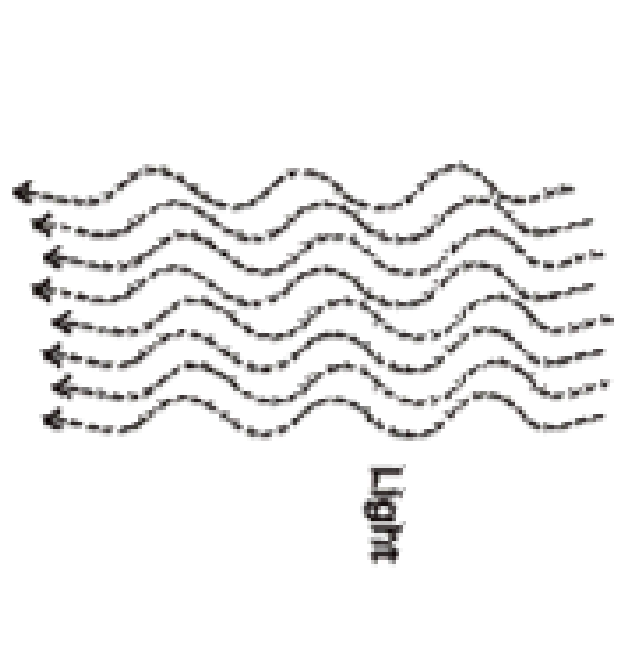
Tox : Epaisseur oxyde

q : charge de l'électron p : pas du pixel Vg : Tension de grille appliquée

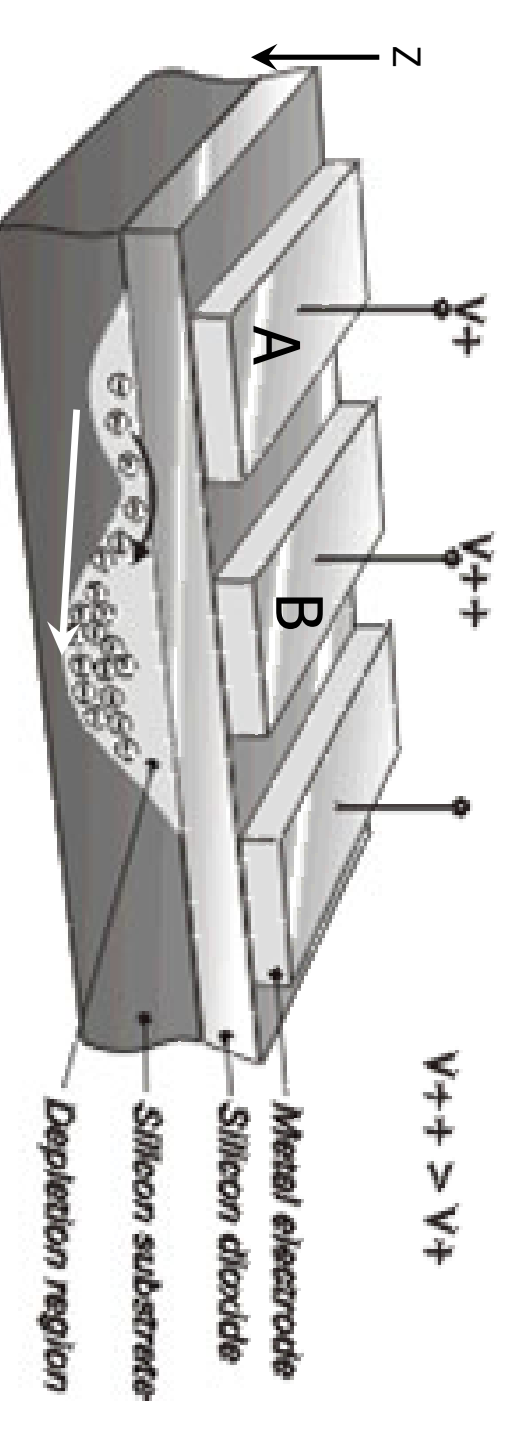
Tension de Seuil

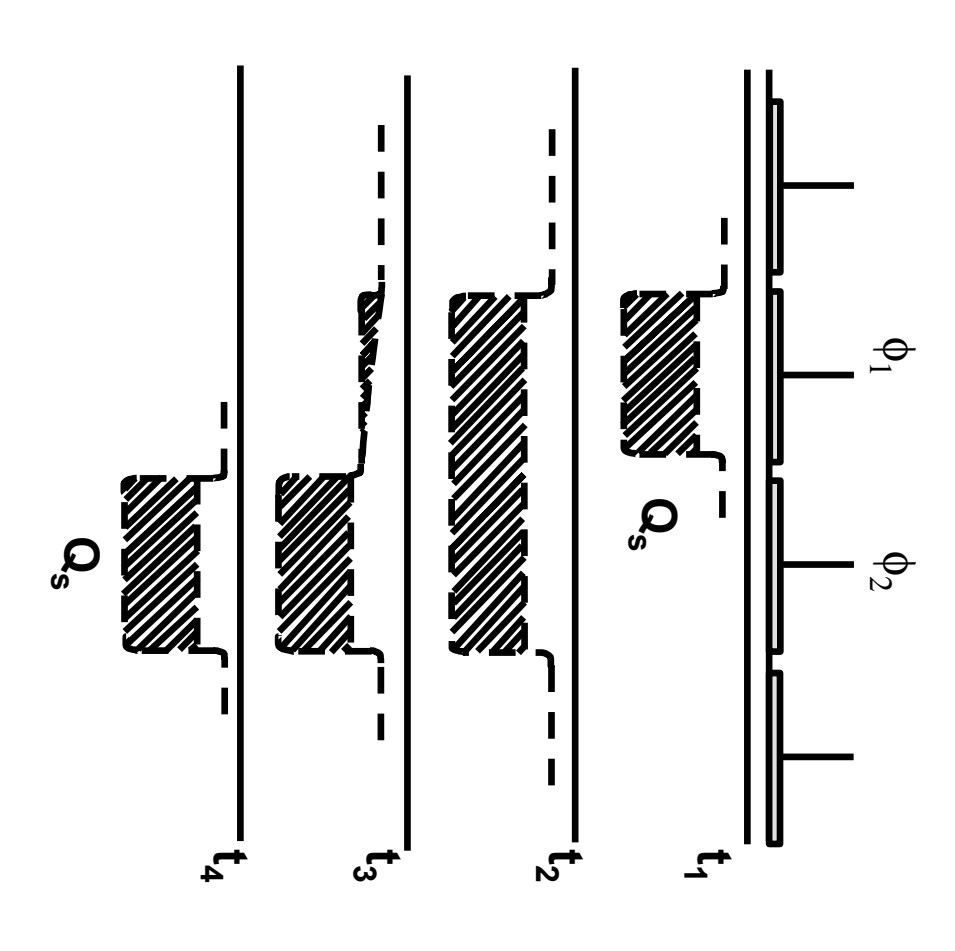
#### Collection des charges dans les pixels Charge packet incoming photons pixel ... boundary p-type silicon n-type silicon SiO2 Insulating layer Electrode Structure pixel . boundary

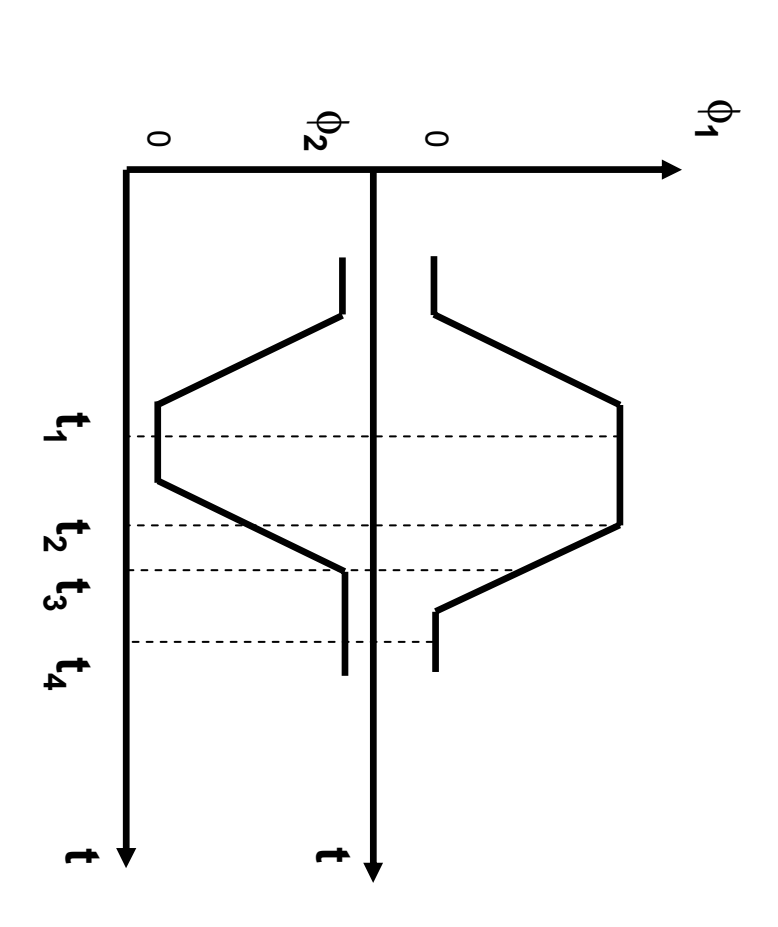
### Principe de transfert



- Changement des phases
- Glissement des e- d'une électrode à une autre de A
- vers B
- Ne pas perdre les électrons en routeAttention : 1 pixel = plusieurs électrodes

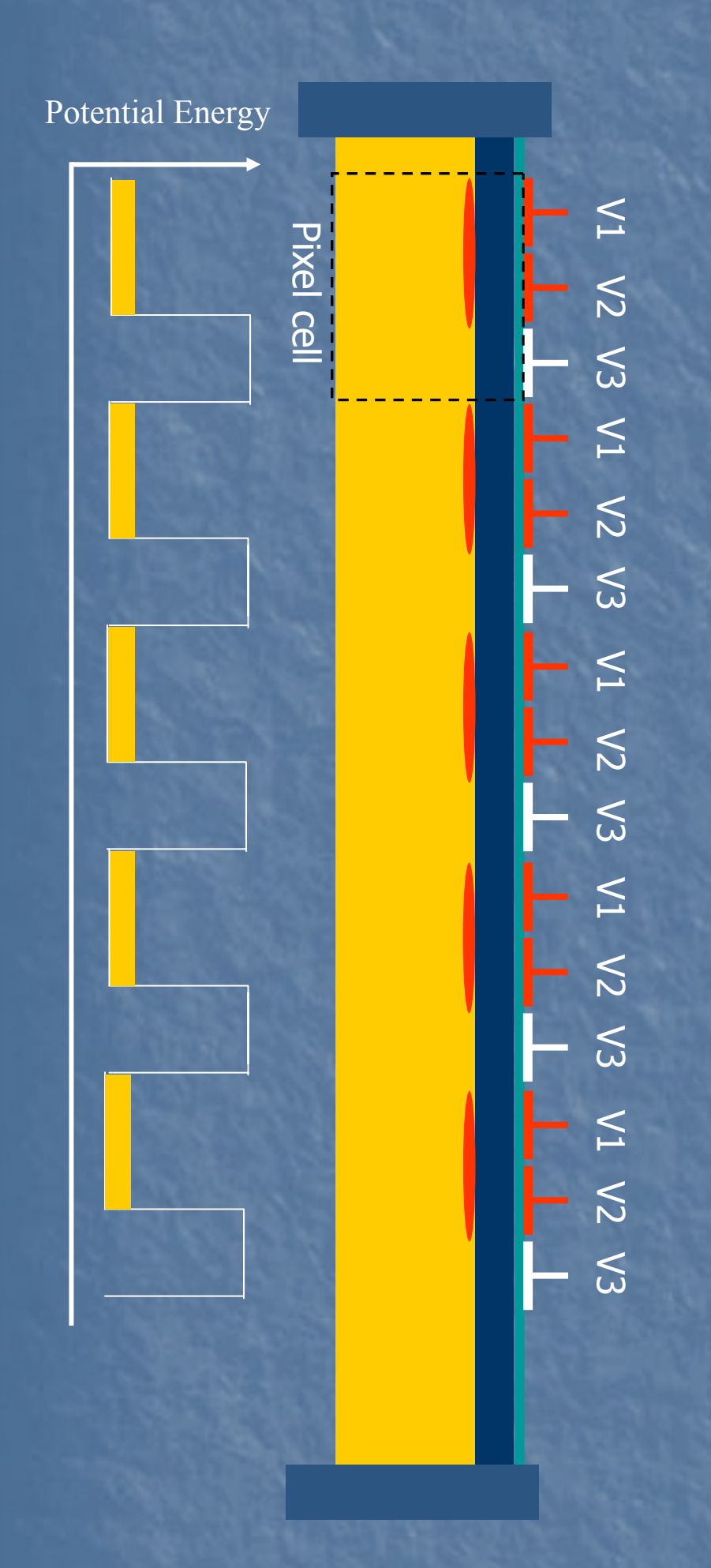




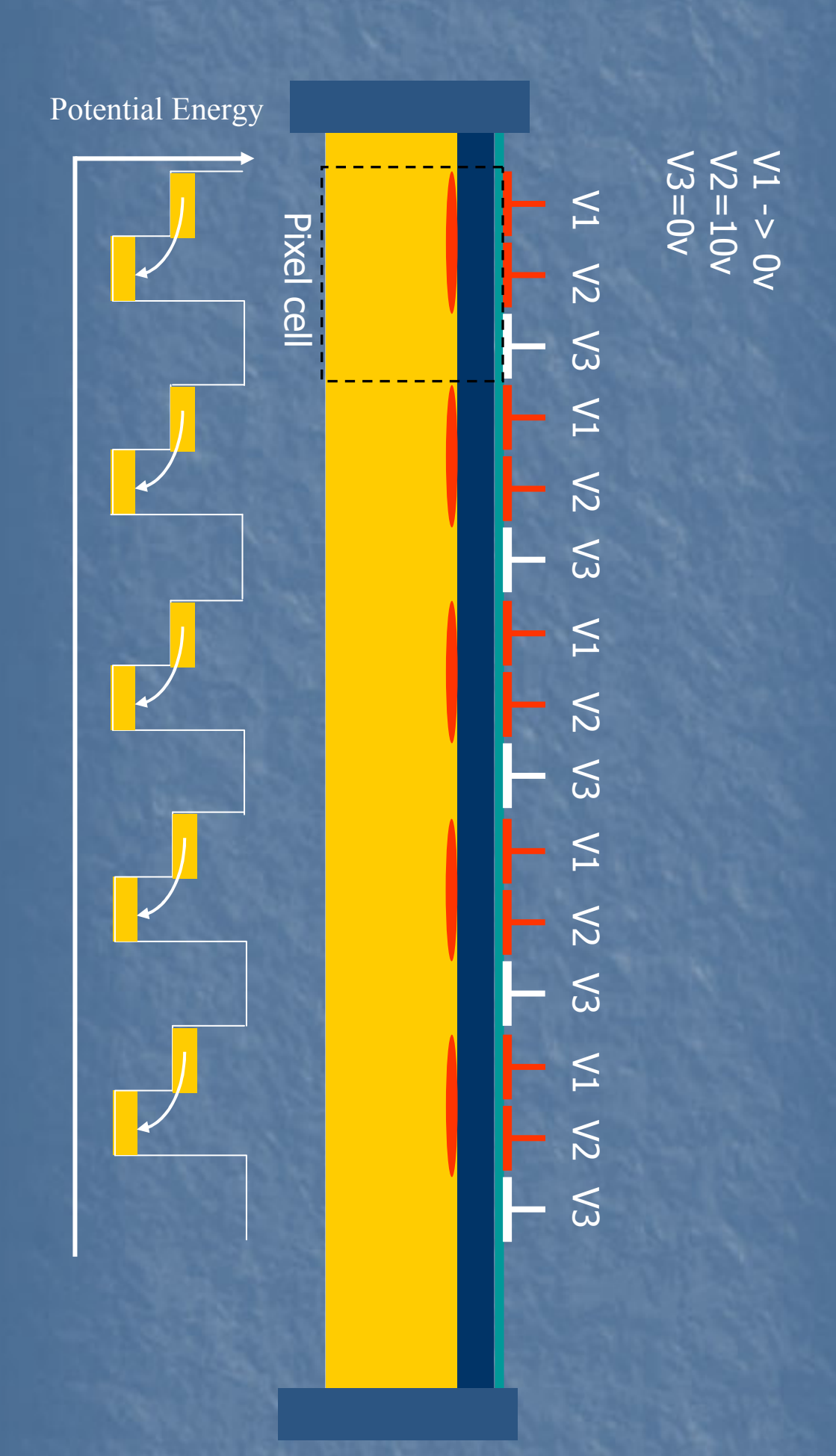


### Conventional Clocking: phase 1

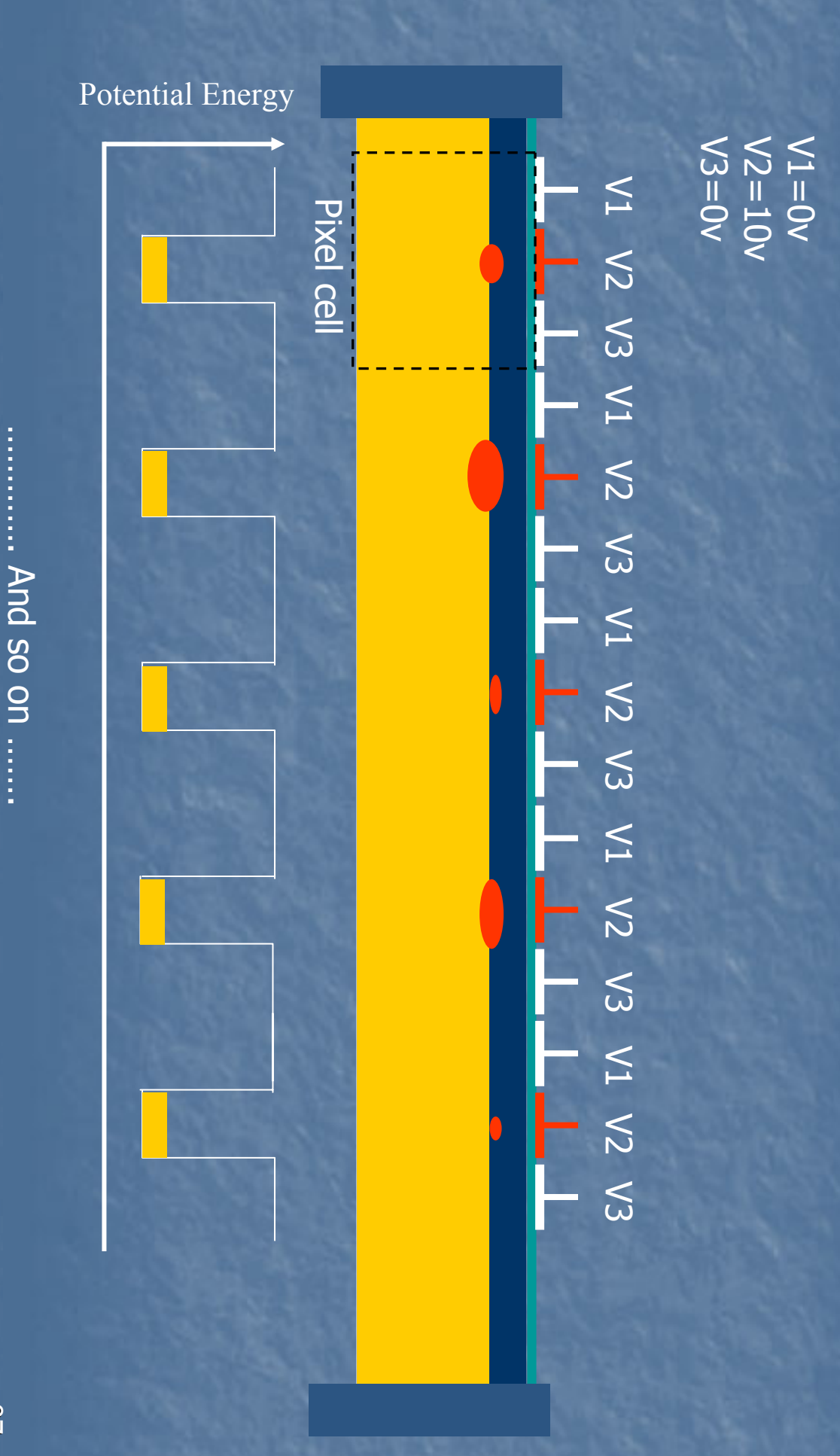
V1=V2=10v V3=0v



### Conventional Clocking: phase 2

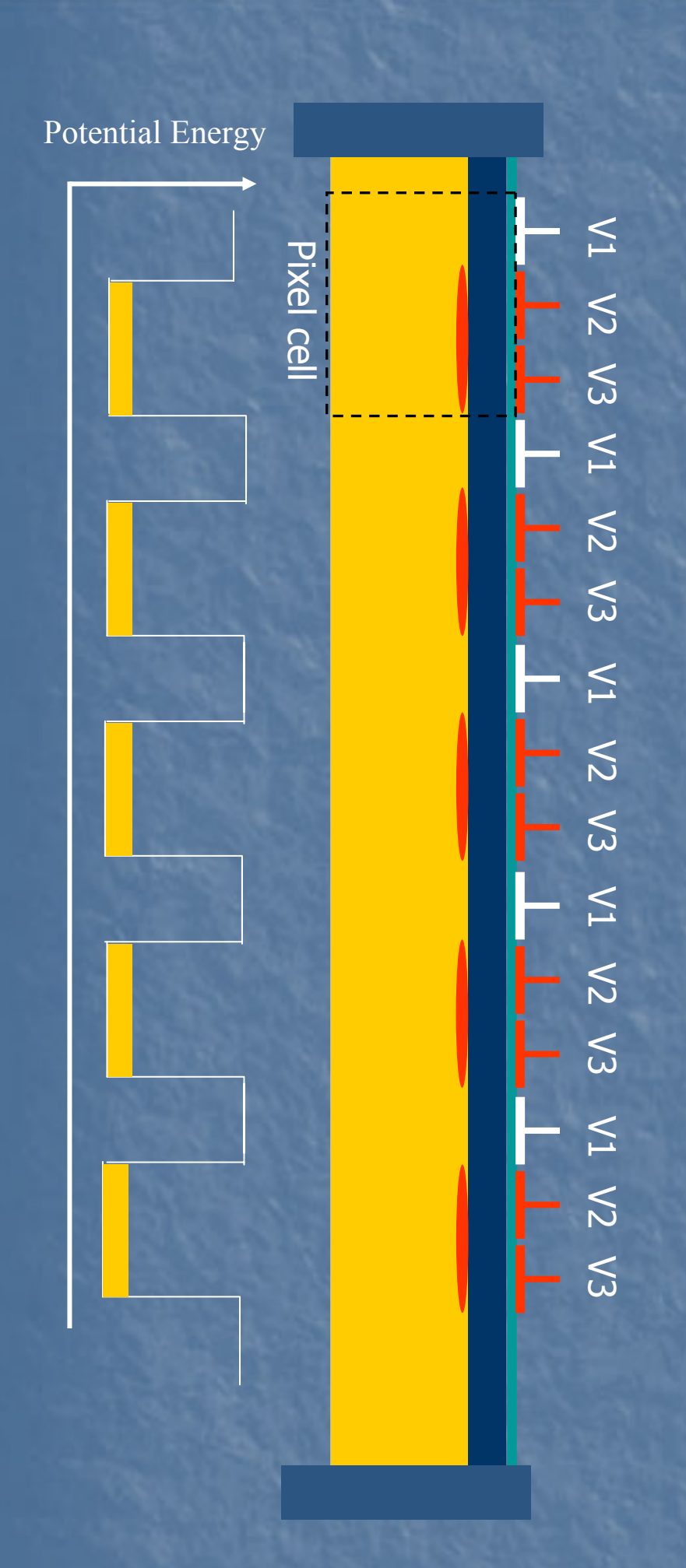


### Conventional Clocking: phase 3



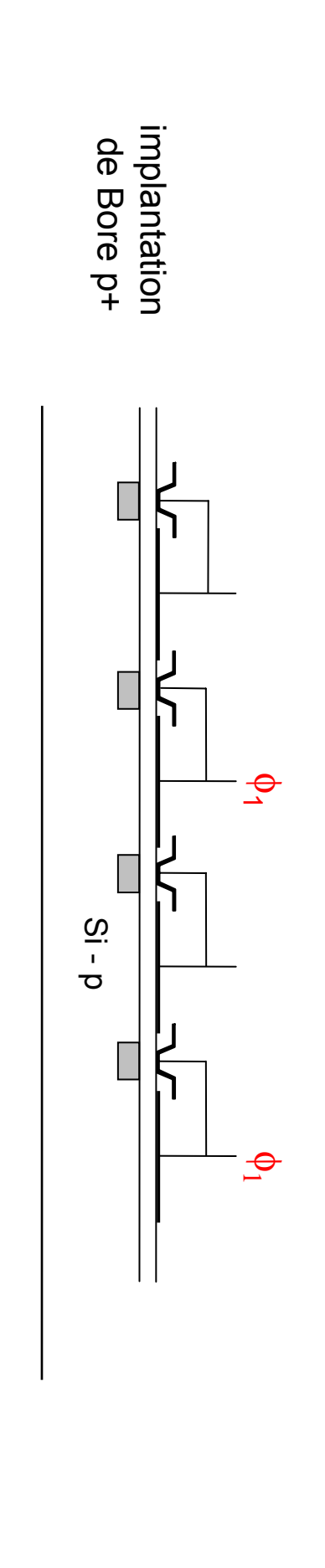
### Conventional Clocking: phase 4

V1=0v V2=10v V3=10v

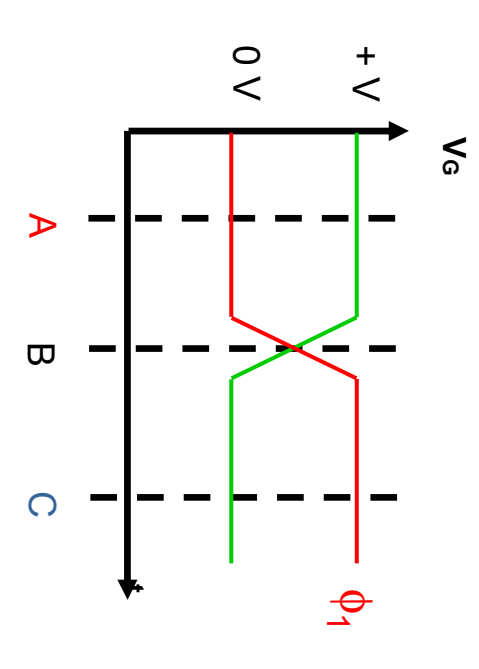


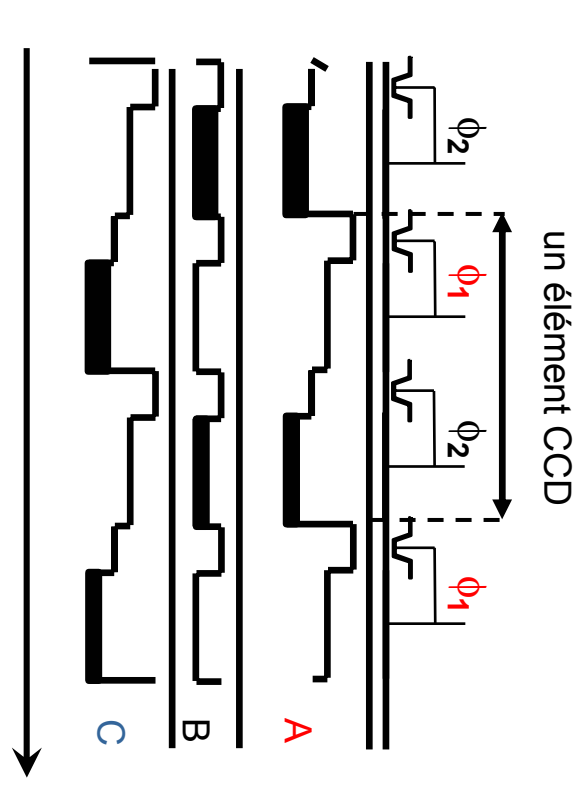
#### Un cycle de transfert Transfert de charges : Dispositif à 3 phases W Pixel CCD un élément **8889** ₩ **60000** ₩ 39

## Principe de transfert à 2 phases/pixel



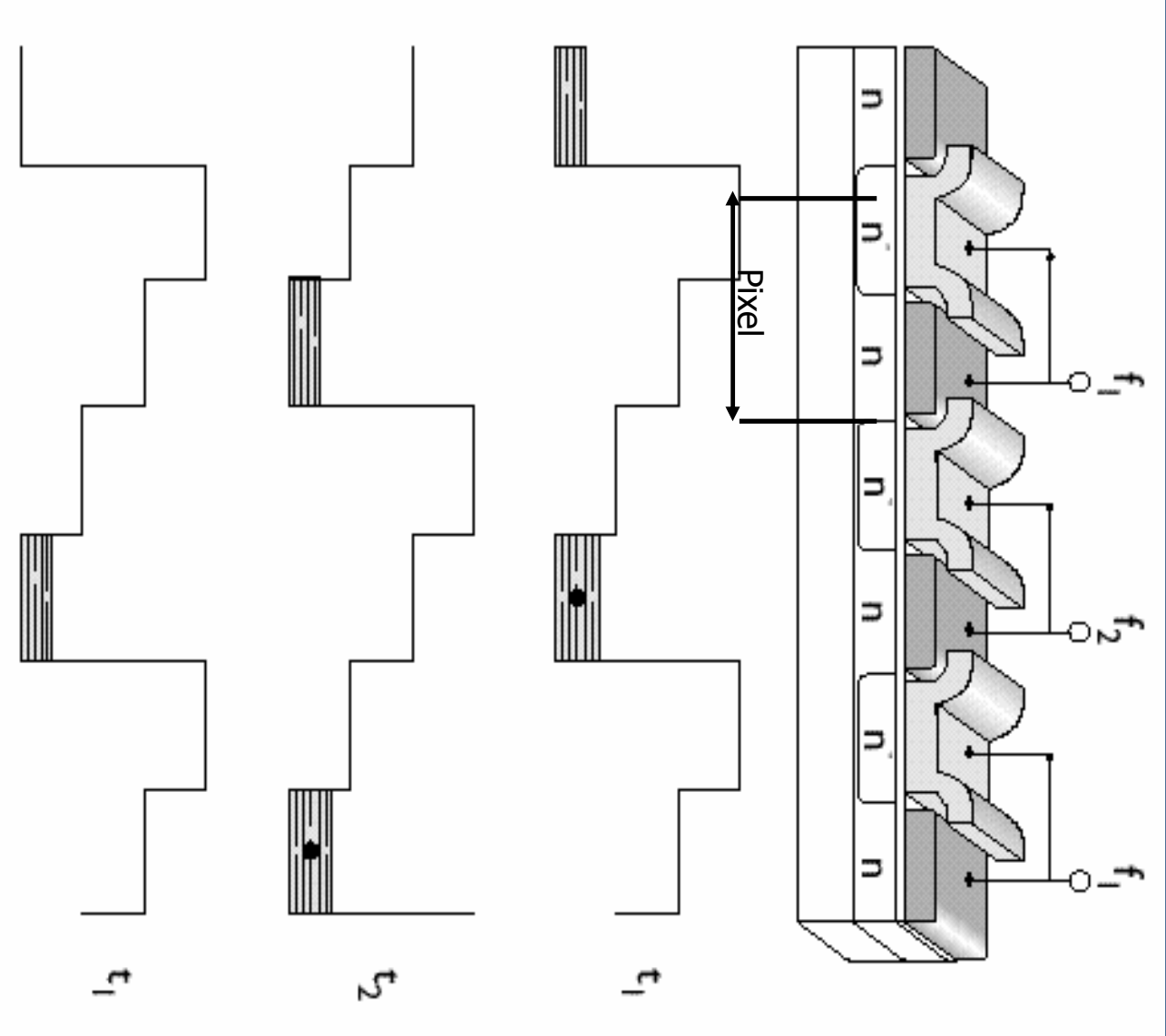
Croisement des phases « critique »



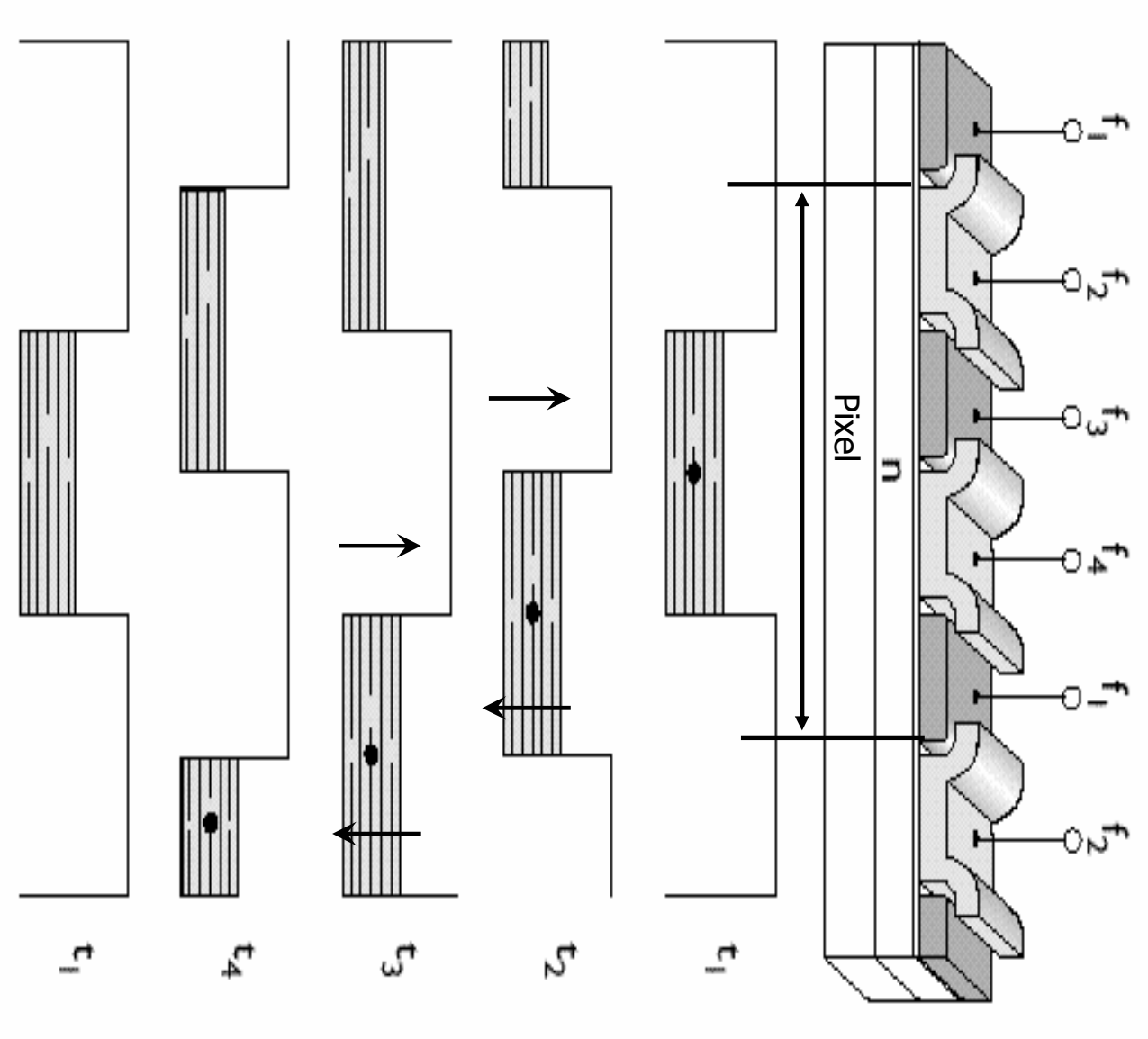


CCD Kodak utilisent ce type de transfert (sens de lecture unique)

### Transfert à 2 phases/pixels



#### Transfert à 4 phases/pixels



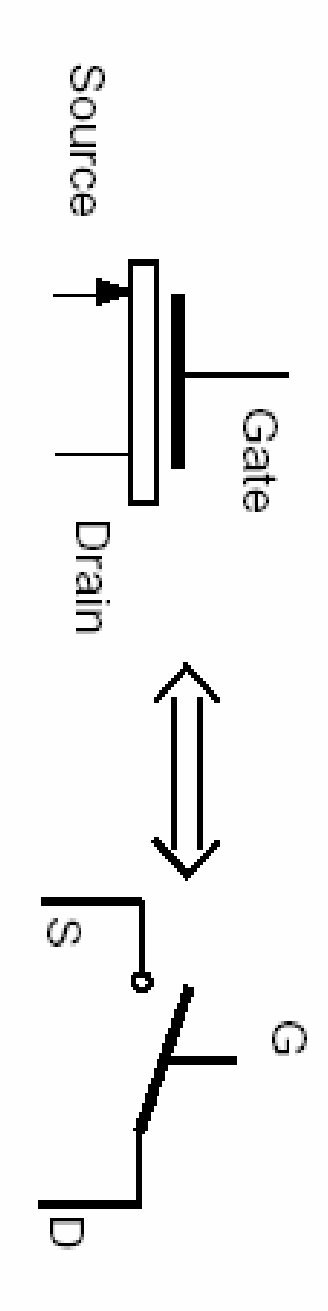
Charges stockés sous deux phases/grilles

### Nombre de phases du CCD?

- Il peut être différent sur registres verticaux et horizontaux
- Critère de choix :
- Capacité max. des pixels, Qmax
- Efficacité de transfert, CTE
- Bidirectionnalité
- Vitesse de lecture, (pixels par seconde)
- Taille du pixel (gros pixel > 20µm, 4 phases)
- Complexité de pilotage des phases
- Tensions
- Croisement des phases
- Nombre de pins du composant

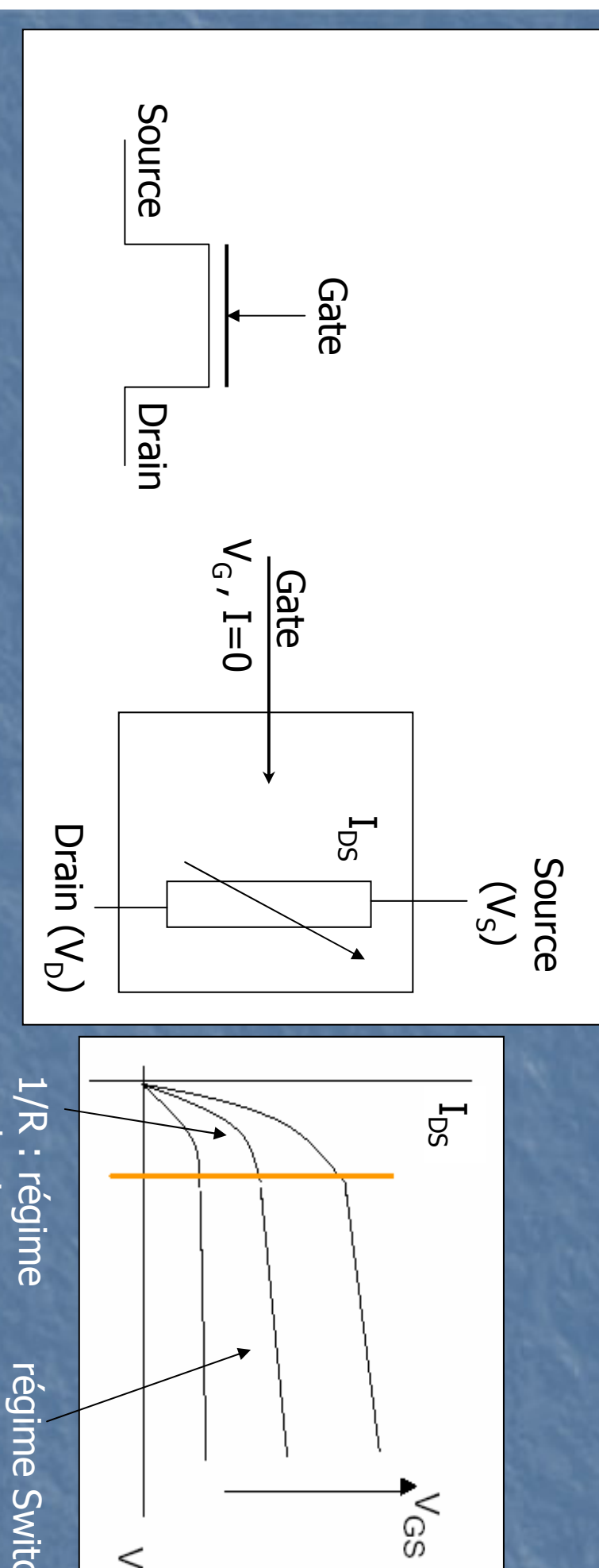
#### Transistor MOS (Régime Switch) Brique élémentaire de l'électronique...

comme le montre la figure 32 ci-dessous : sion par sa grille, qui laisse passer un courant entre le drain et la source Le transistor MOS peut être assimilé à un interrupteur commandé en ten-



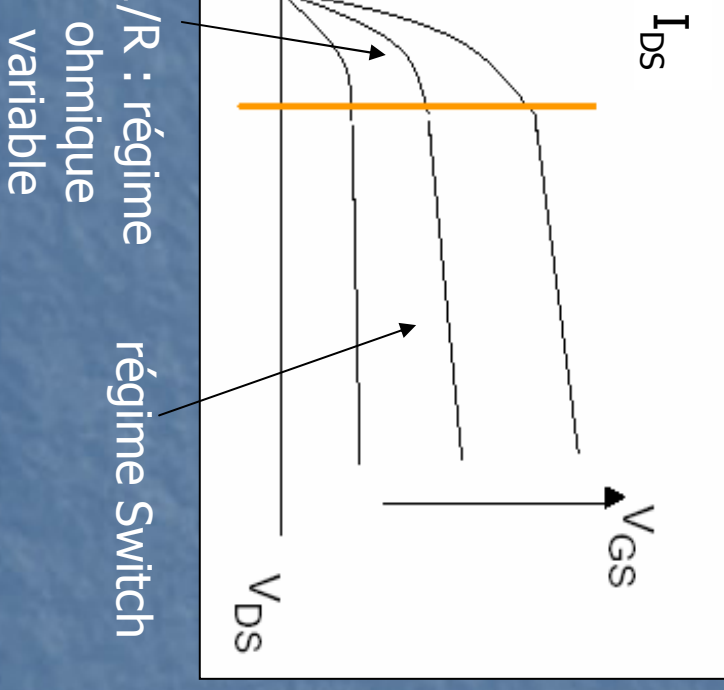
- Imperfection par rapport à un switch :
- résistance non nulle en mode « ON » Vgate = 5v
- résistance non infinie en mode « OFF » Vgate = 0v
- Injection de charges par G possible (!)
- Tension de seuil Vgs= 0.7v

#### Brique élémentaire de l'électronique.. Transistor MOS (régime buffer)



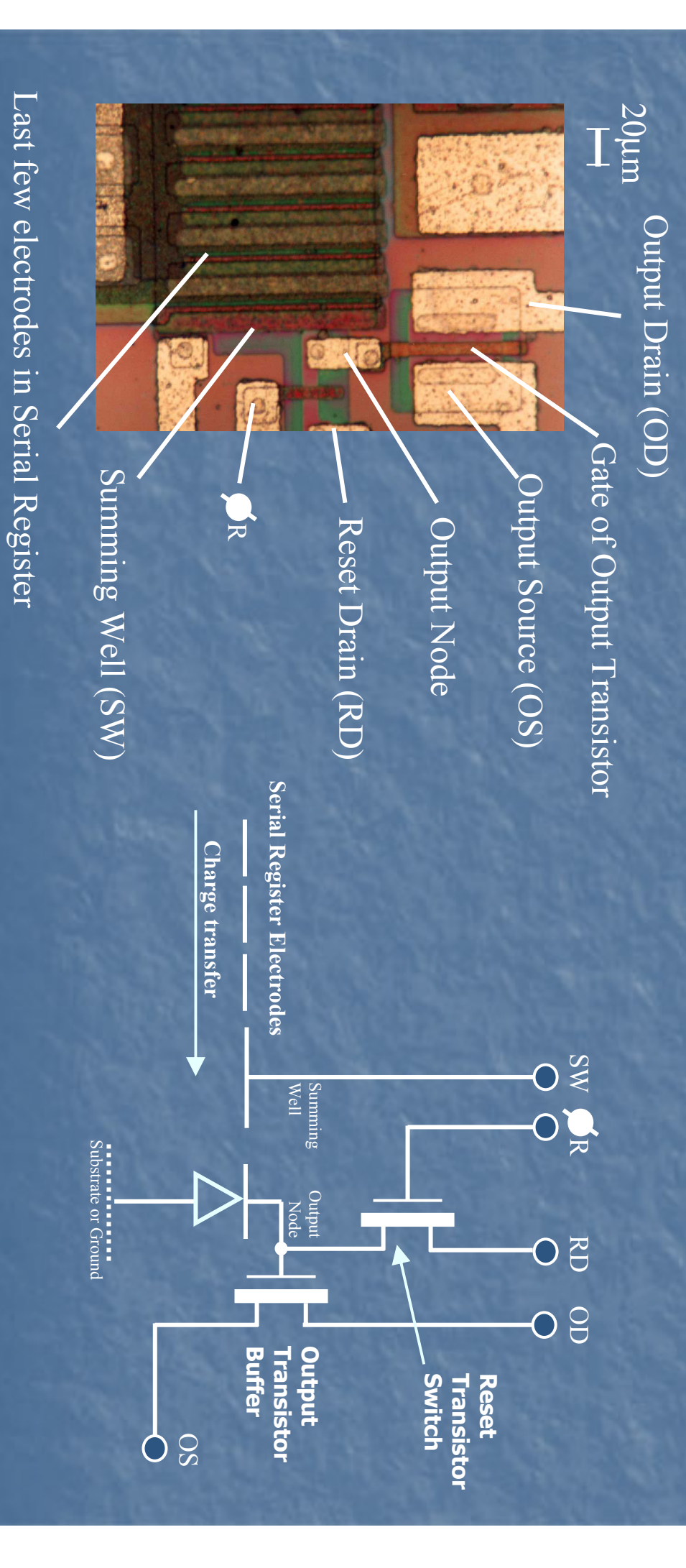
- Utilisé en suiveur dans les capteurs d'images
- <u>Pas de courant</u> sur la Gate Gain de 0.8 entre Vin (VG) et Vout (VD)
- Impédance forte sur VG, impédance faible sur le VD:

transformation d'impédance : buffer

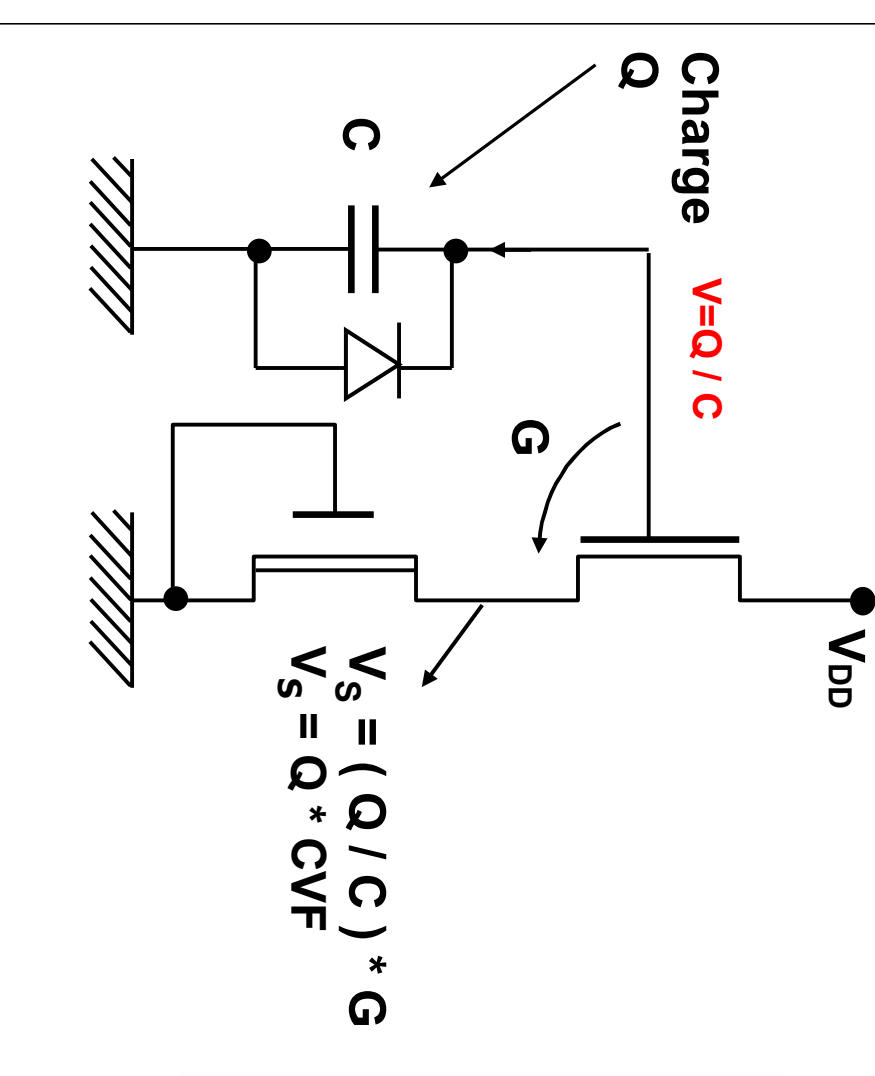


#### Ampli de sortie

Photomicrograph of the on-chip amplifier of a Tektronix CCD and its circuit diagram.



## Facteur de conversion : sortie analogique



CVF: facteur de conversion (µV/e-)

Reset P.Si P.Si Diode de lecture

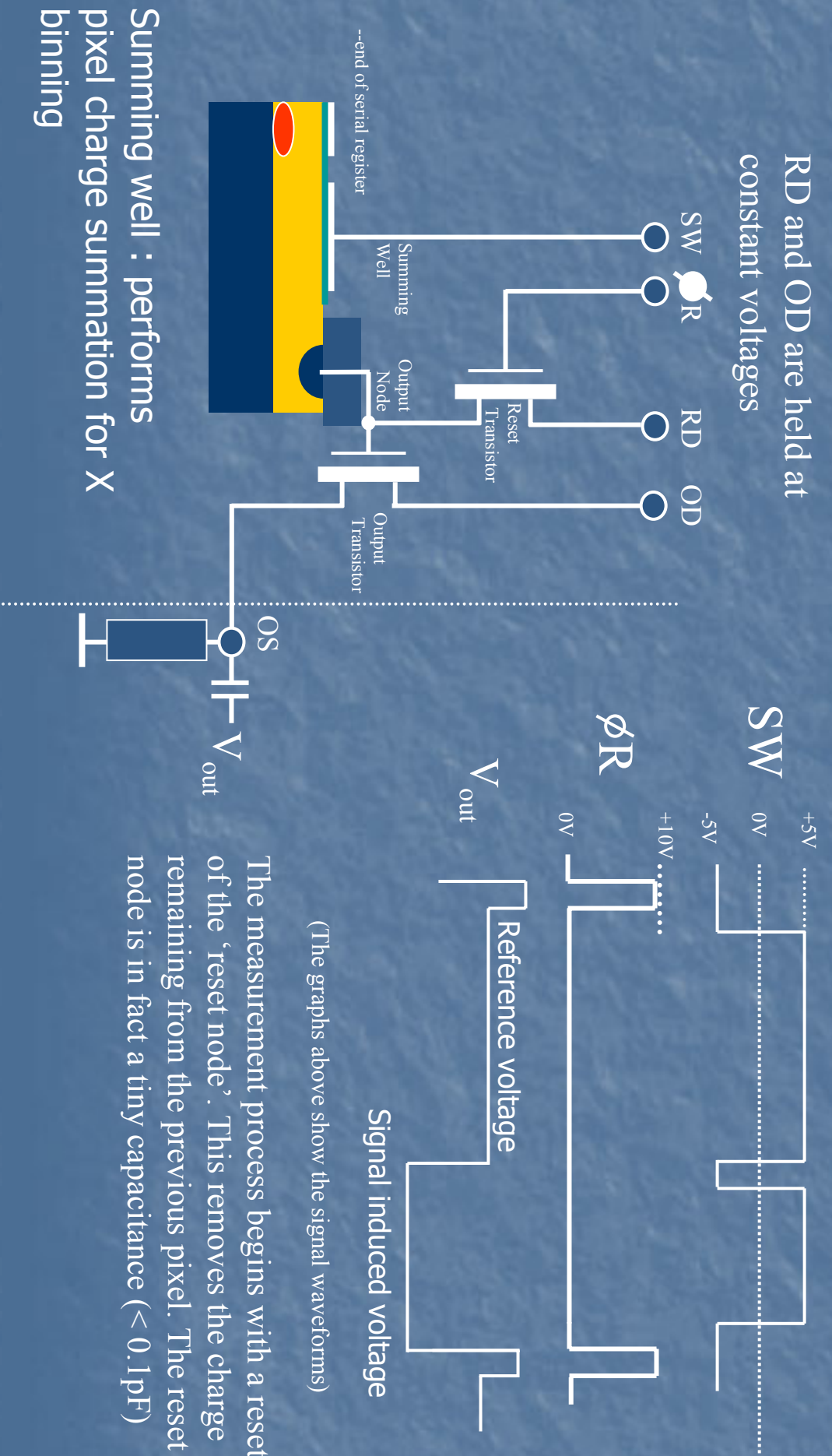
C : capacité de lecture (fF)

G : gain de l'amplificateur de sortie < 1

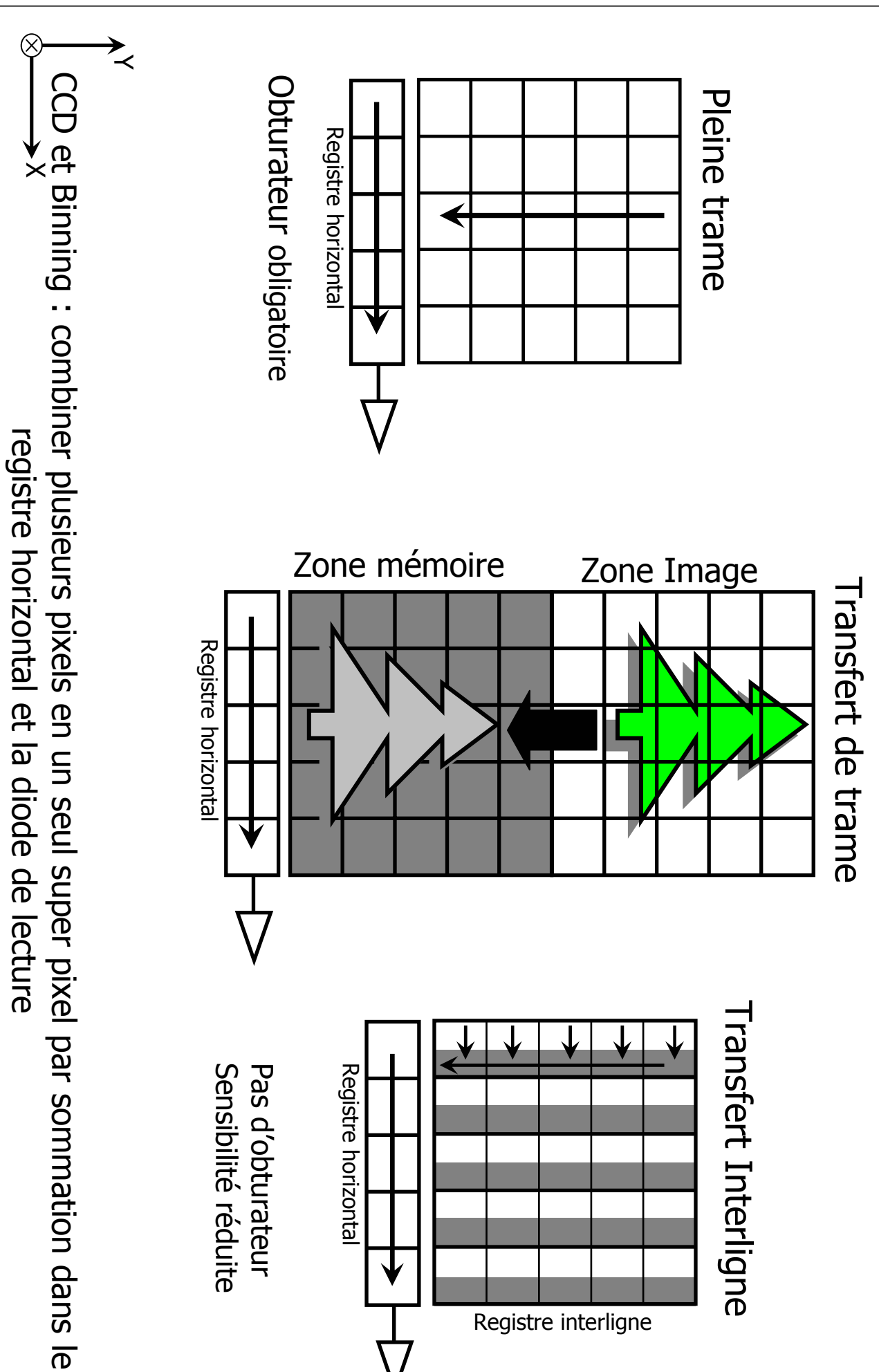
La charge Q est transférée dans une diode de lecture, de capacité parasite C

#### Ampli de sortie

The on-chip amplifier measures each charge packet as it pops out the end of the serial register.



## 3 Architectures de CCD de NxM pixels



# Séquencement de lecture des diverses architectures de CCD

#### Full frame (pleine trame)

- A> Transfert des charges de la ligne complète vers le registre horizontal (RH)
- B> Décalage dans le RH vers l'ampli de sortie, N fois
- La séquence A-B est répétée M fois

#### Transfert de trame

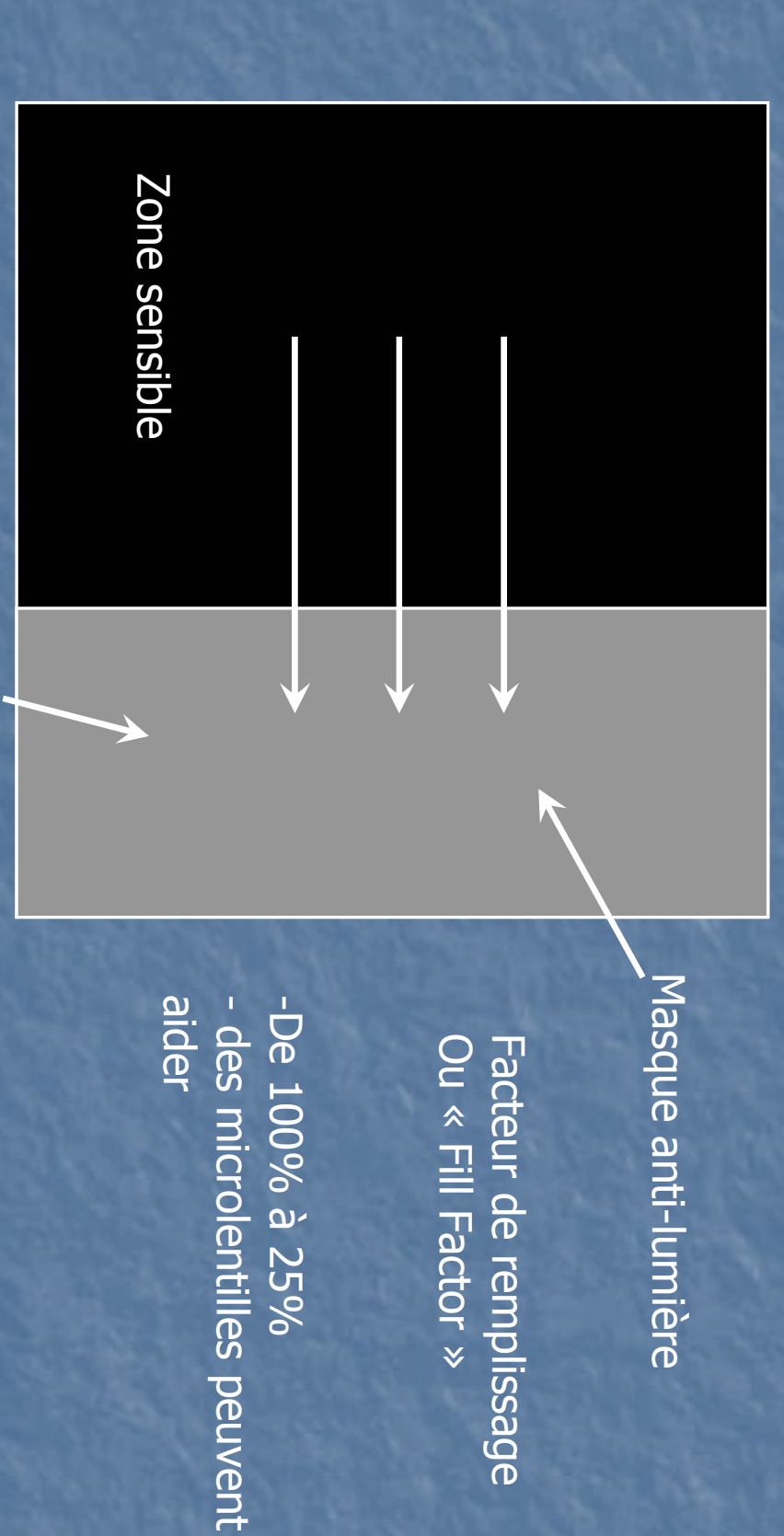
- Transfert de la matrice NxM de la zone image vers la zone mémoire
- L'intégration peut re-commencer dans la zone image
- A> Transfert de la ligne complète de la zone mémoire vers le registre horizontal (RH)
- B> Décalage dans le RH vers l'ampli de sortie, N fois
- La séquence A-B est répétée M fois

#### Transfert interligne

- Transfert de charge de tout les pixels de la colonne vers le registre vertical interligne
- L'intégration peut re-commencer dans les pixels
- A> Transfert de la ligne complète vers le registre horizontal
- B> Décalage dans le RH vers l'ampli de sortie, N fois
- La séquence A-B est répétée M fois

### Facteur de remplissage (CCD interligne)

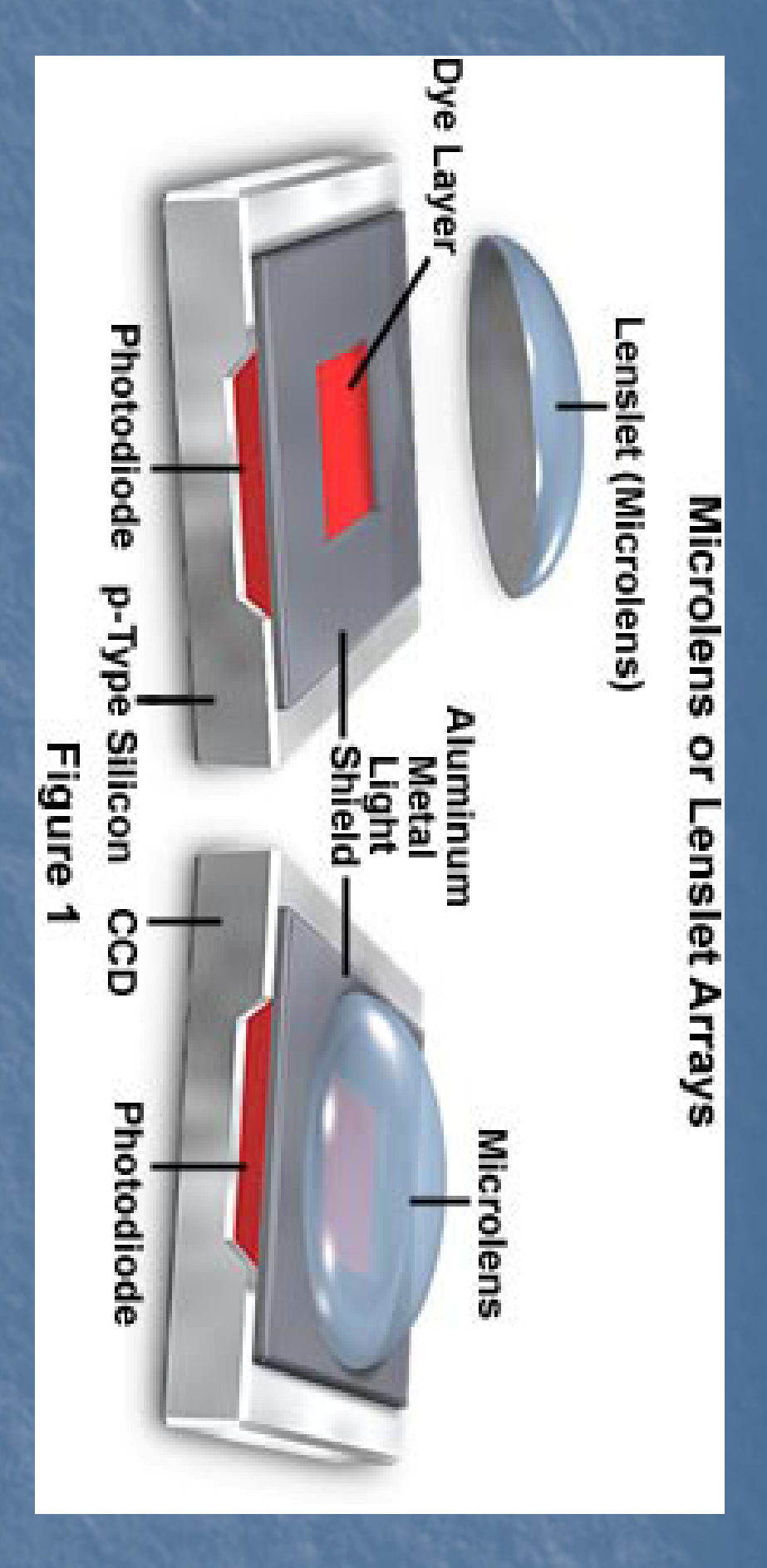
Pixel, ex 15x15 µm



Zone de stockage à l'intérieur du pixel, non sensible



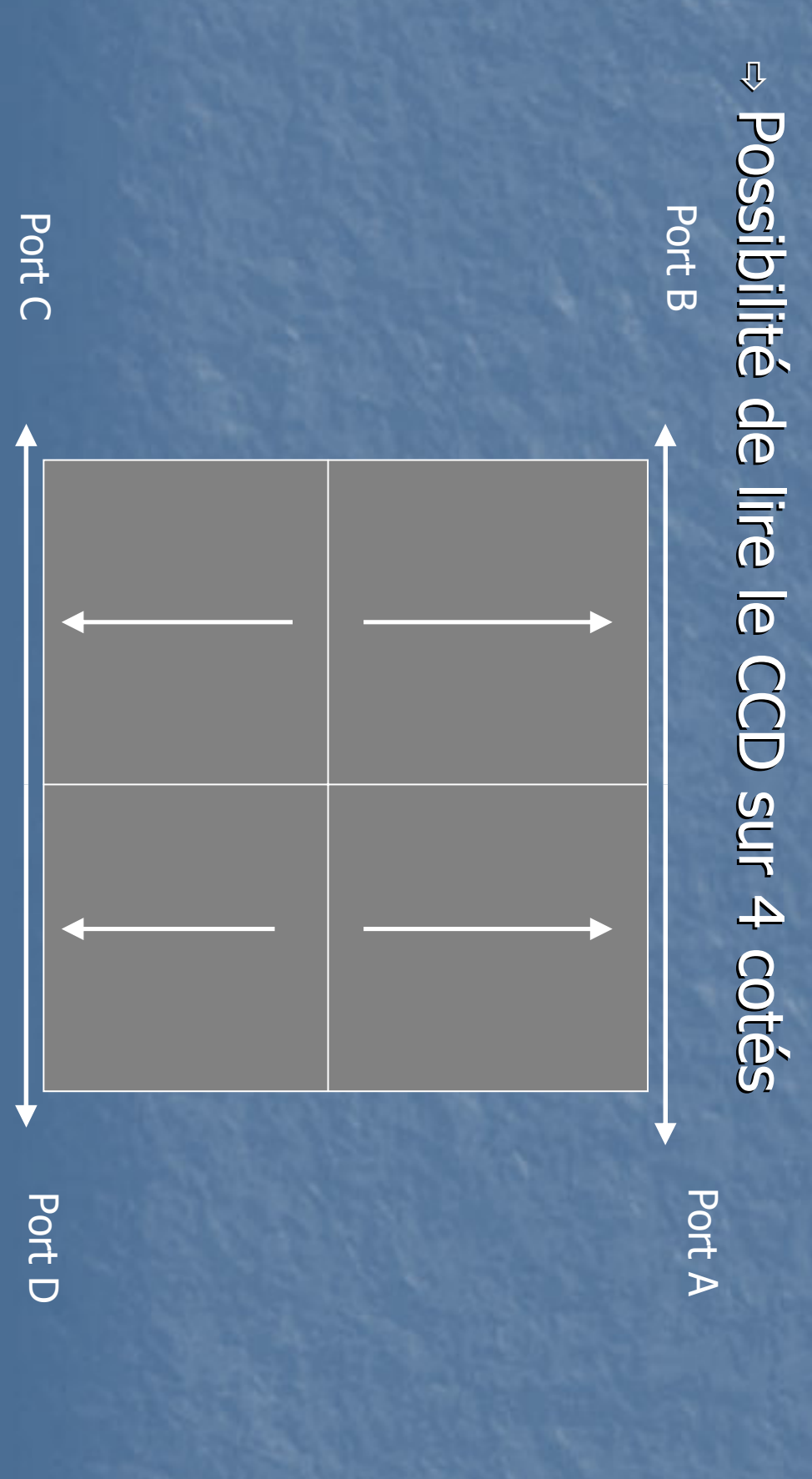
#### CCD, microlentilles



- Adapté pour une gamme d'ouverture optique numérique et angles d'incidence
- Attention : cela s'optimise ! Code V ou Zemax ....

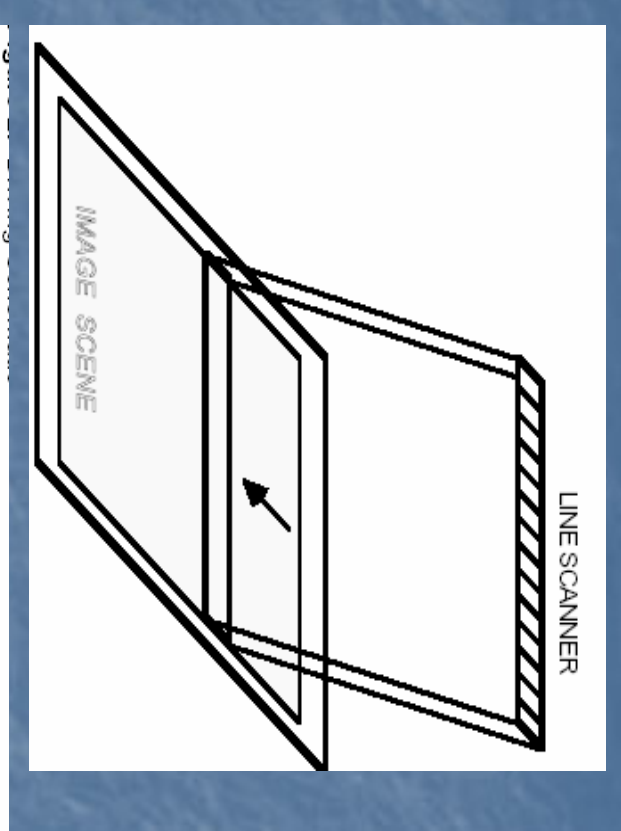
### Lecture des grands CCD

- 4 millions de pixels en 1s = 2 MegaPixel/s
- ⇒ Plusieurs ports de sortie

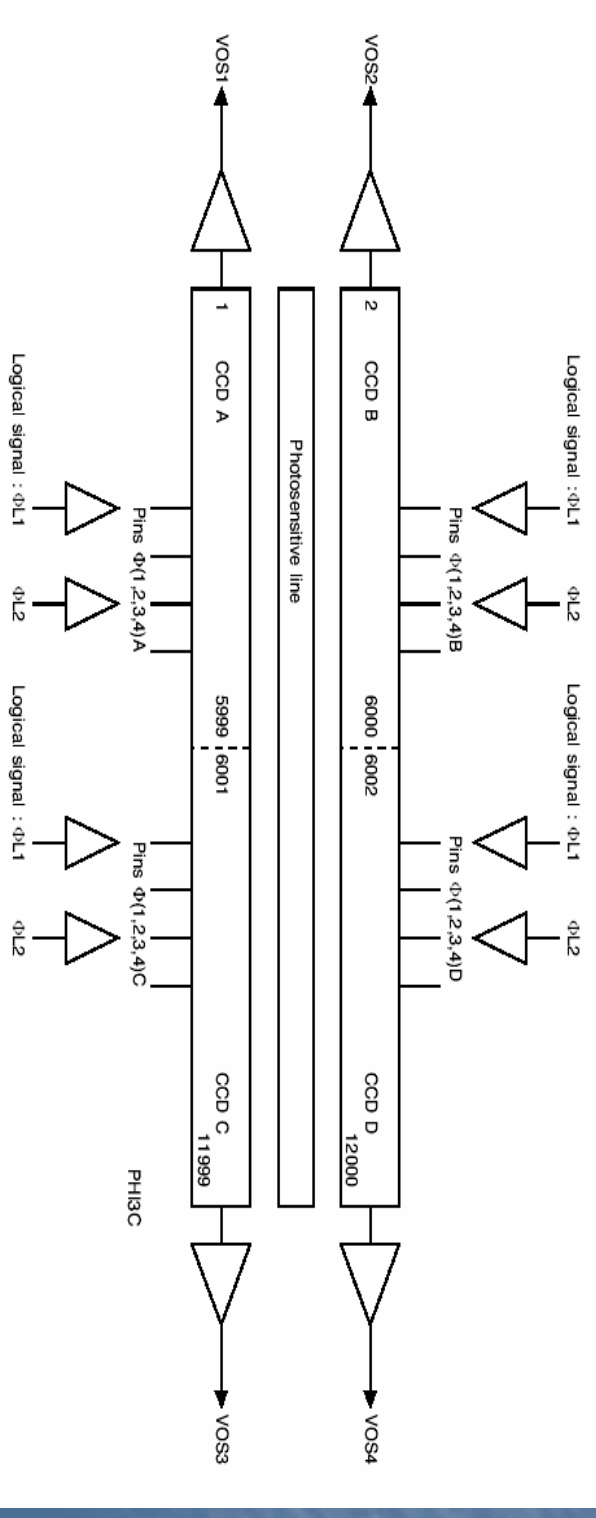


#### Lecture progressive scan - mode entrelacé En désuétude... Architecture CCD doit le tube à affichage entrelaces Compatible avec les écrans Ŋ HCCD CCD shift register Lecture lignes paires 0,2,4... Lecture lignes impaires Mode entrelacé : deux images 1,3,5... П HCCD CCD shift register Progressive scan Lecture lignes 0,1,2... photodiode une image HCCD CCD shift register

#### Barrettes de CCD



- Matrices de 1xN, N=12000
- Lecture rapide
- Application type balayage ou scan
- Scanner papier et négatifs
- Photocopieuses
- Spatial (obs de la terre teledetection)
- Spectroscopie 1D
- Contrôle non destructif
- Peu coûteux, facile a mettre en œuvre
- nécessite bcp de photons
- optique de balayage (parfois un moins)

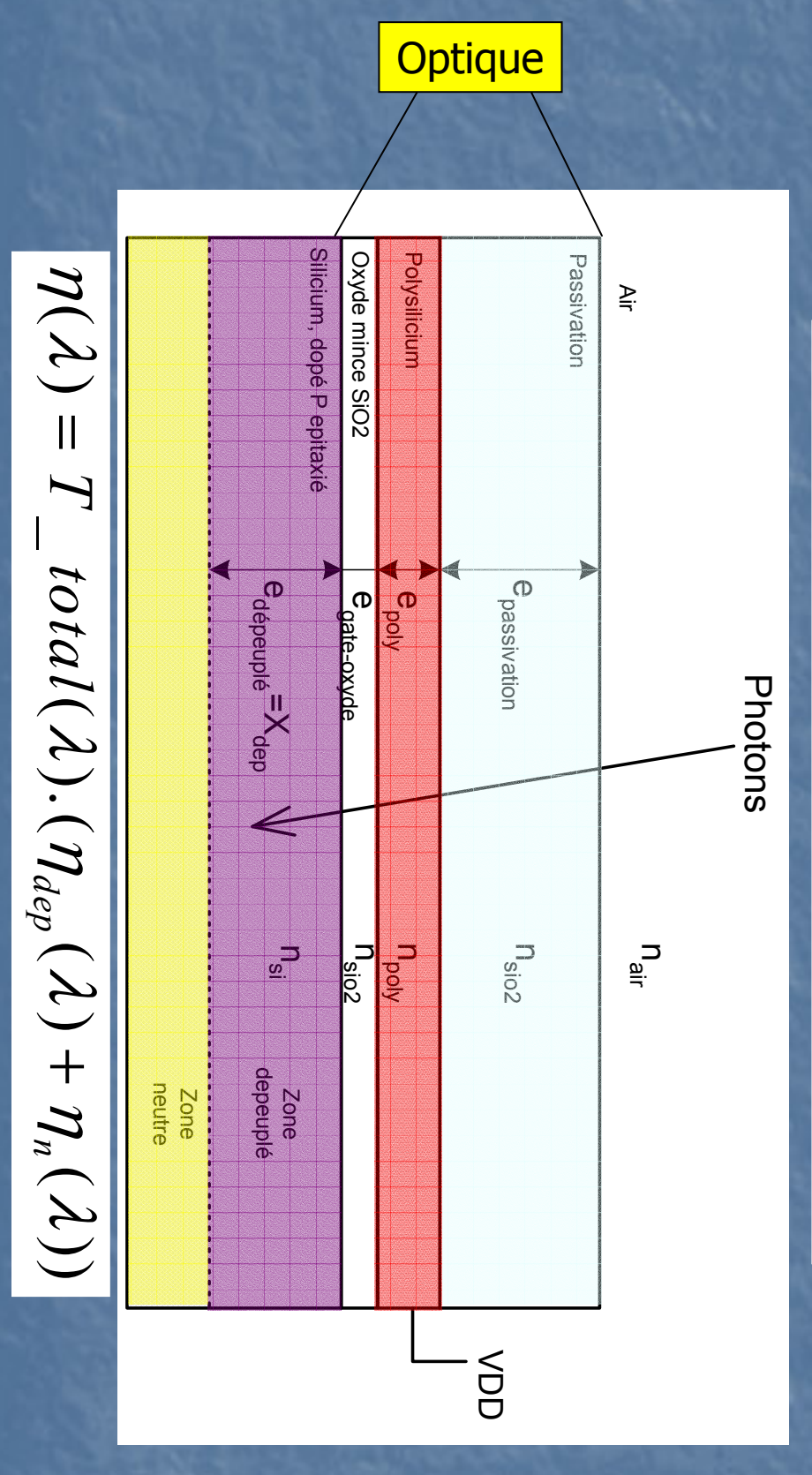


## Mérites comparés des architectures CCD

CCD Full Frame	CCD Transfert interligne/CCD Transfert de trame
Sensibilité élevée	Sensibilité élevée avec µ-lentilles
Dynamique élevée	En retrait
Faible bruit	En retrait
Grande taille surf. sensible	En retrait (doublé si transfert de trame)
Cadence vidéo possible	Cadence image élevée avec obtur. Élec
Besoin d'obturat°. mécanique	Pas de besoin d 'obturat°. mécanique
Il arrive aussi d'avoir des μL	μ-lentilles peut causer aberrations
	h-ieimies necessite iaible ouverture
Rare	Chipset pour la lecture
Cher	Moins cher
Domaine d'application Scientifique, au haut de gamme	Applications « Large public » , sensibilité non déterminante

## Calcul théorique du rendement quantique

$$\eta(\lambda) = \frac{NbreMoyenphotoelectrons(\lambda) / pixel}{NbreMoyenphotons(\lambda) / pixel}$$

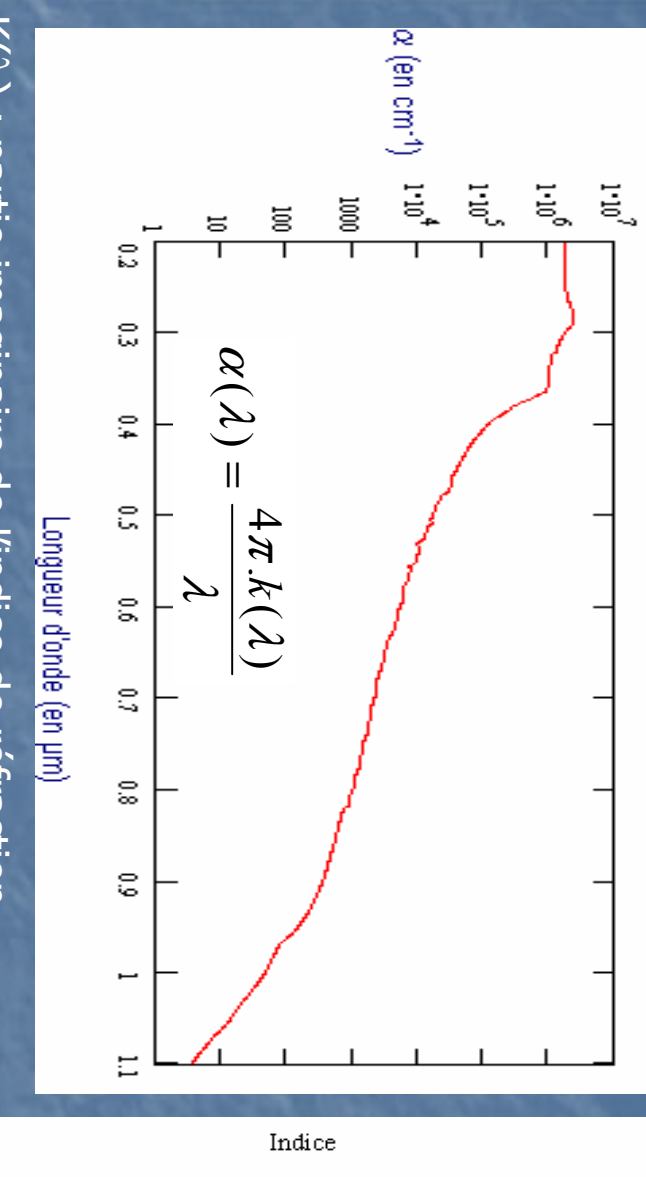


T\_Total : Transmission optique totale

ndep : rendement quantique dans la zone dépeuplée

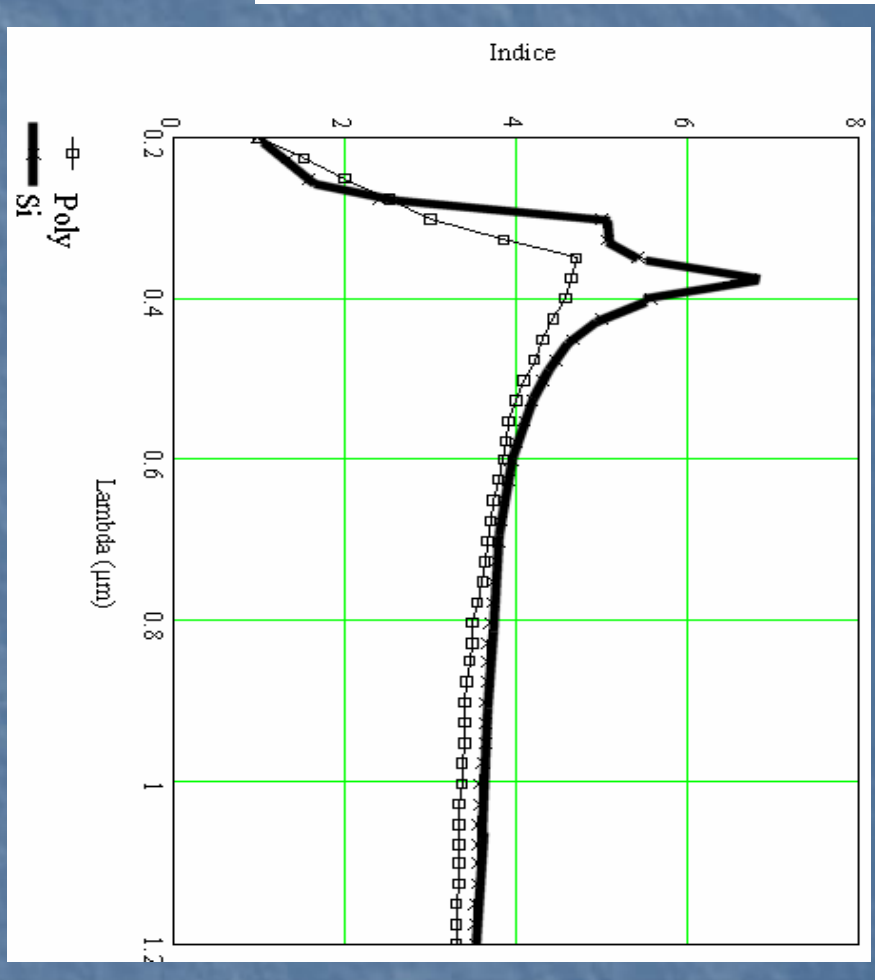
: rendement quantique dans la zone neutre

#### Rendement Quantique Propriétés optiques du silicium



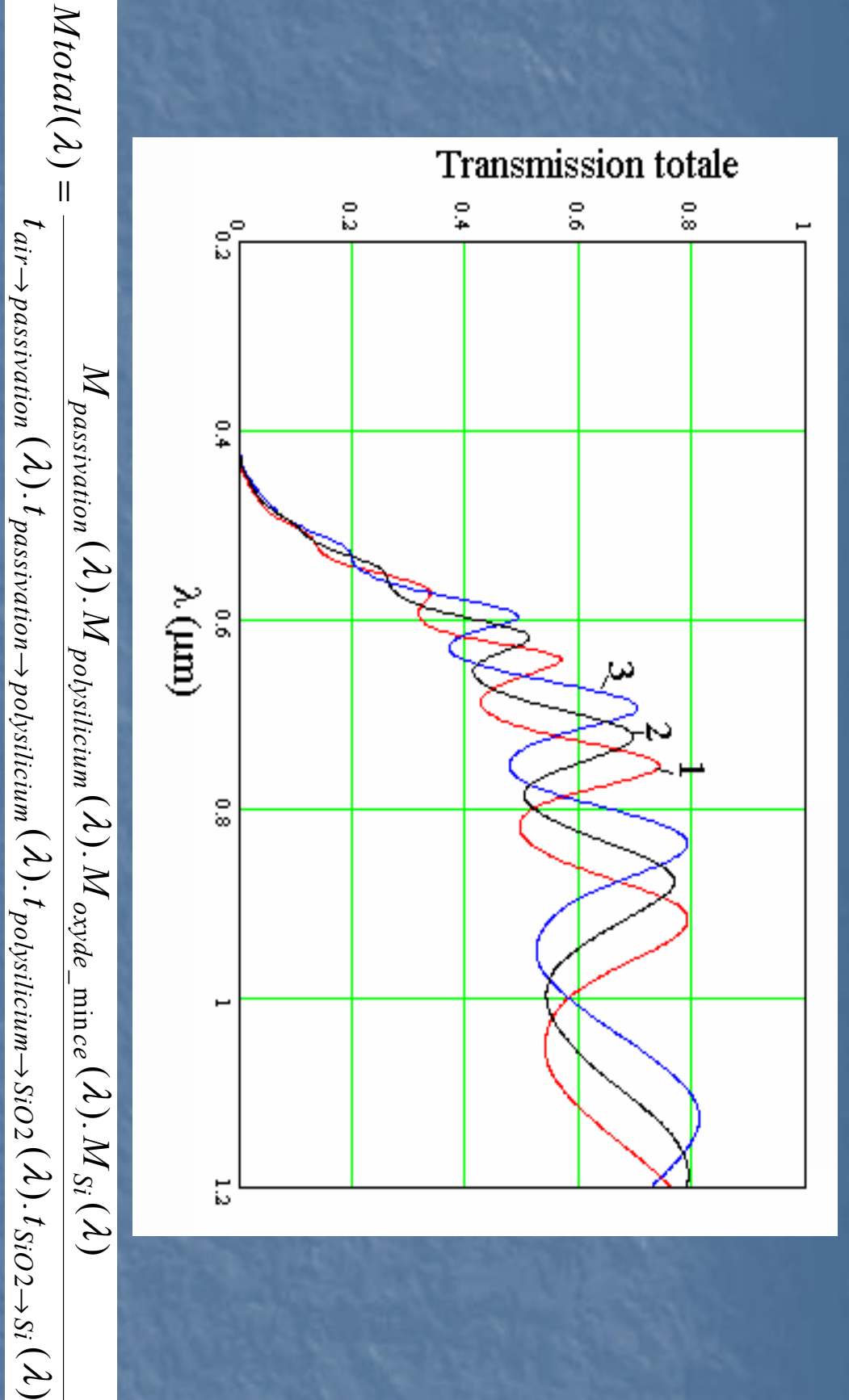
 $K(\lambda)$ : partie imaginaire de l'indice de réfraction

Absorption dans le silicium : Tout le bleu est absorbé en surface Plus transparent dans le rouge



Indice de réfraction du silicium : Stable entre 0.5 et 1.1µm Très tourmenté entre 0.2 et 0.5µm

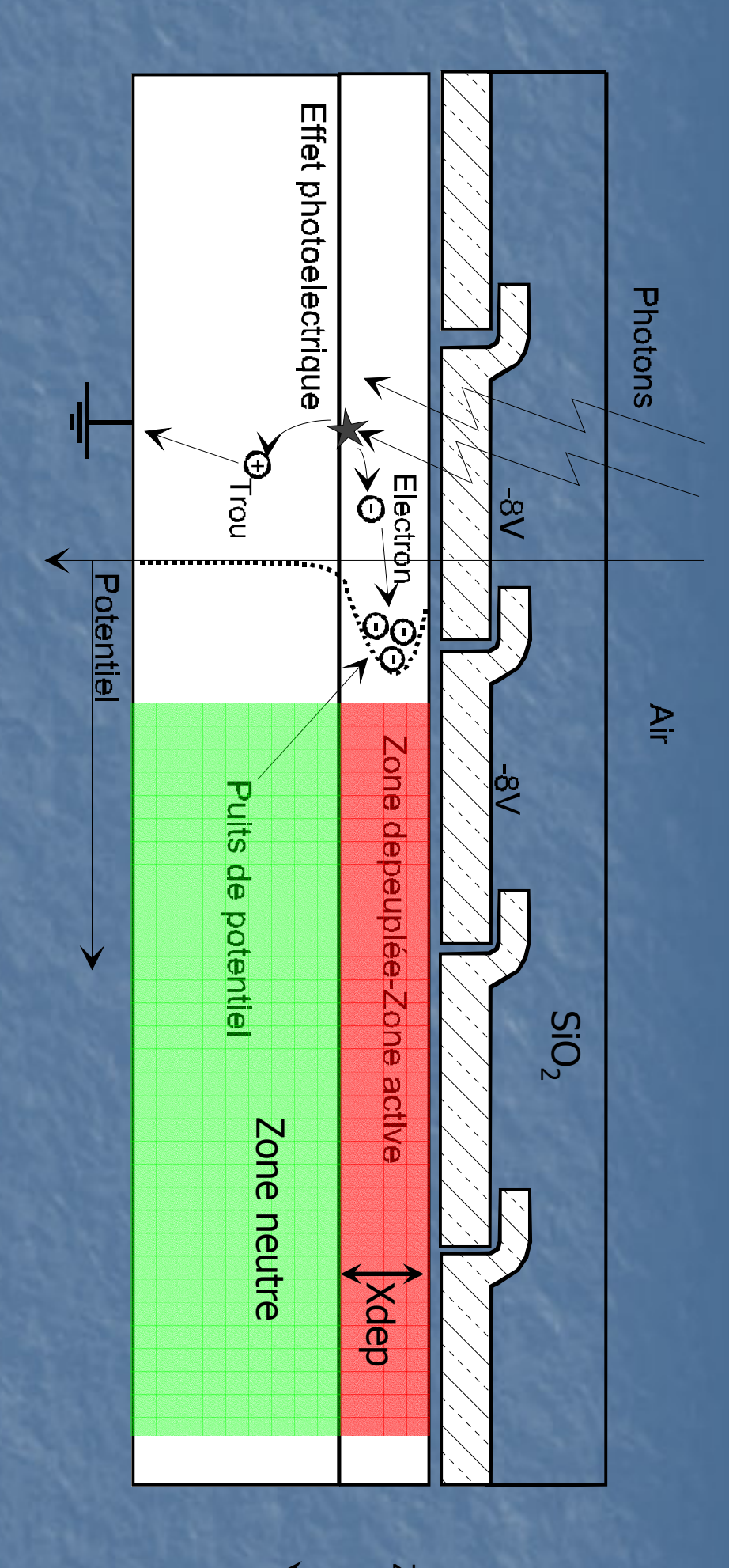
## Rendement Quantique: transmission optique des 4 couches



- Calcul de la transmission : effet de couches minces

- Polysilicium absorbe entre 0.2 et 0.4µm

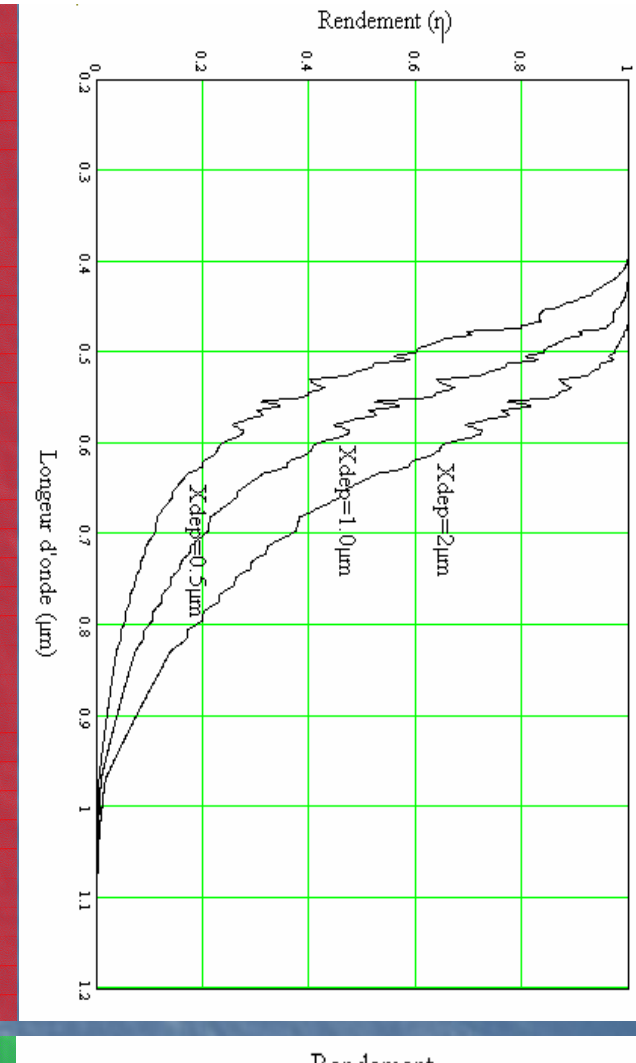
## Calcul théorique du rendement quantique

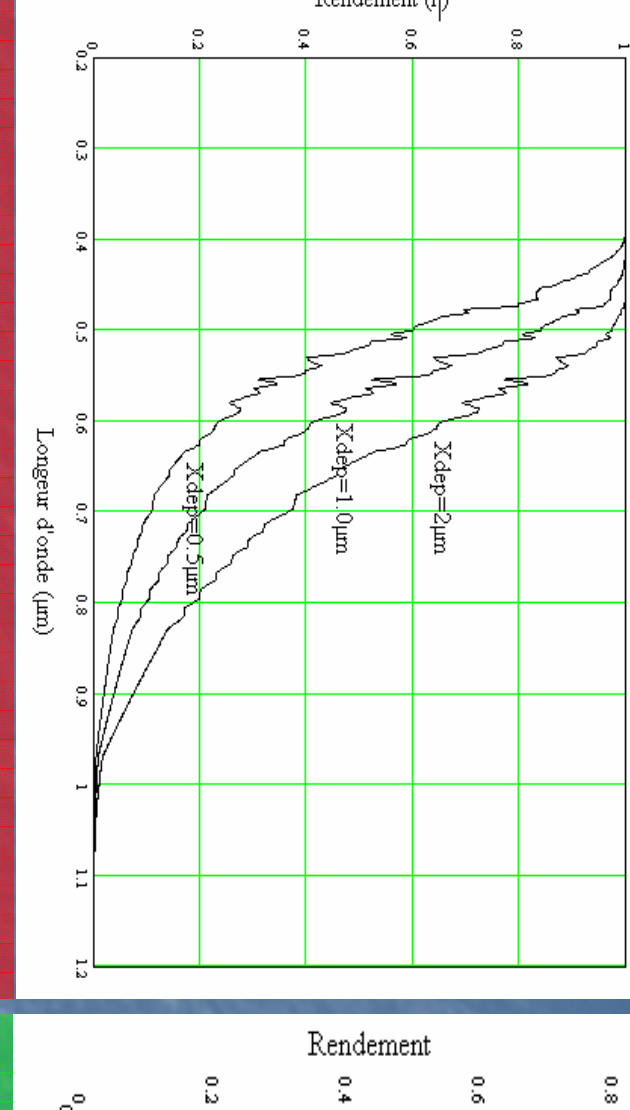


- 2 zones ou le processus photoélectrique s'opère
- Dans la zone peuplée de profondeur Xdep (qq µm)
- Dans le substrat ou la zone neutre

## Calcul théorique du rendement quantique

<u>X</u>dep=0.5 μm





#### Zone dépeuplée

#### 0.6 0.8 Longueur d'onde (µm) Xdep=2 μm

#### Zone neutre

Dépend de la profondeur du depeuplement

 $\sqrt{1 + \frac{2 \cdot V_{PG} \cdot C_{ox}^2}{q \cdot \varepsilon_{si} \cdot N_A}} - 1$ C 0×

V<sub>PG</sub>

: permittivité du silicium (=10<sup>-12</sup> F/cm)

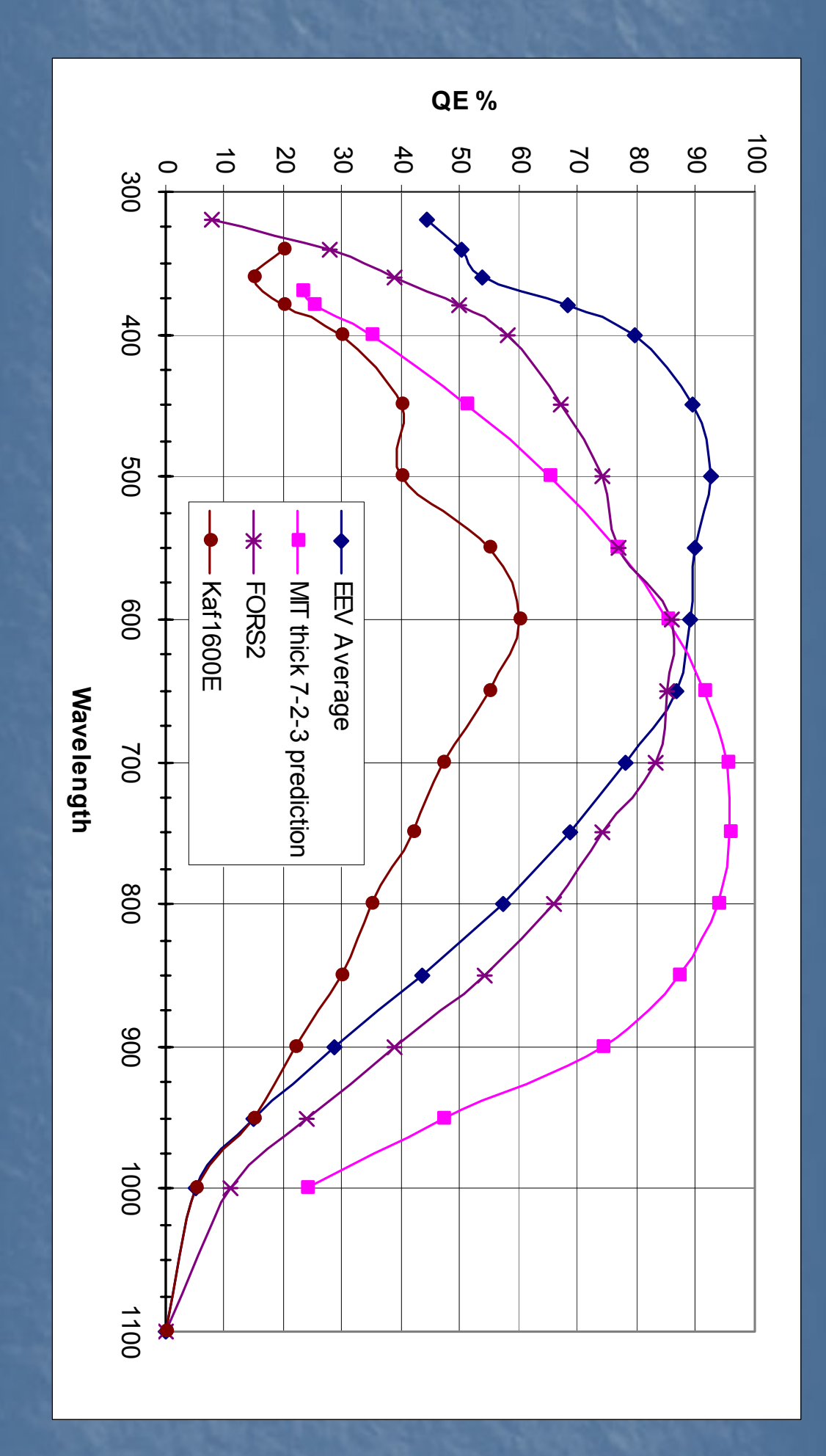
: capacité par unité de surface de la couche d'oxyde mince (=  $\varepsilon$ ox/tox)

: tension appliquée sur la grille (V)

: dopage du substrat (atomes/cm3)

<u>ග</u>

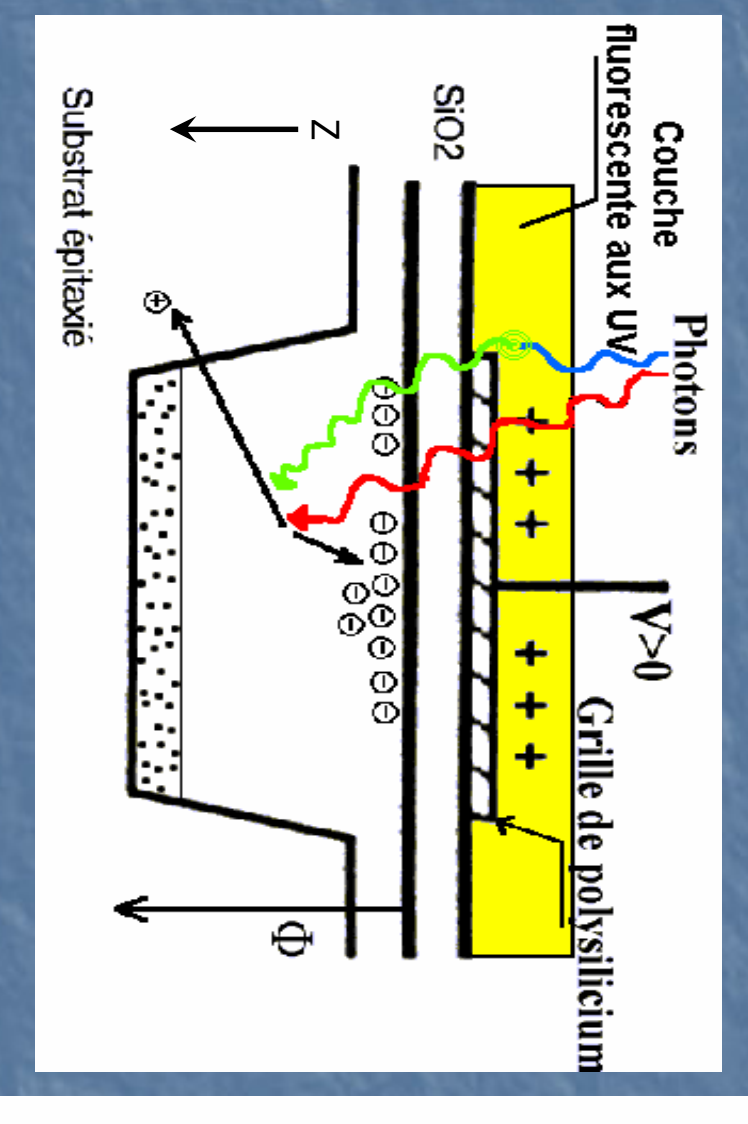
### Exemples de Rendements quantiques

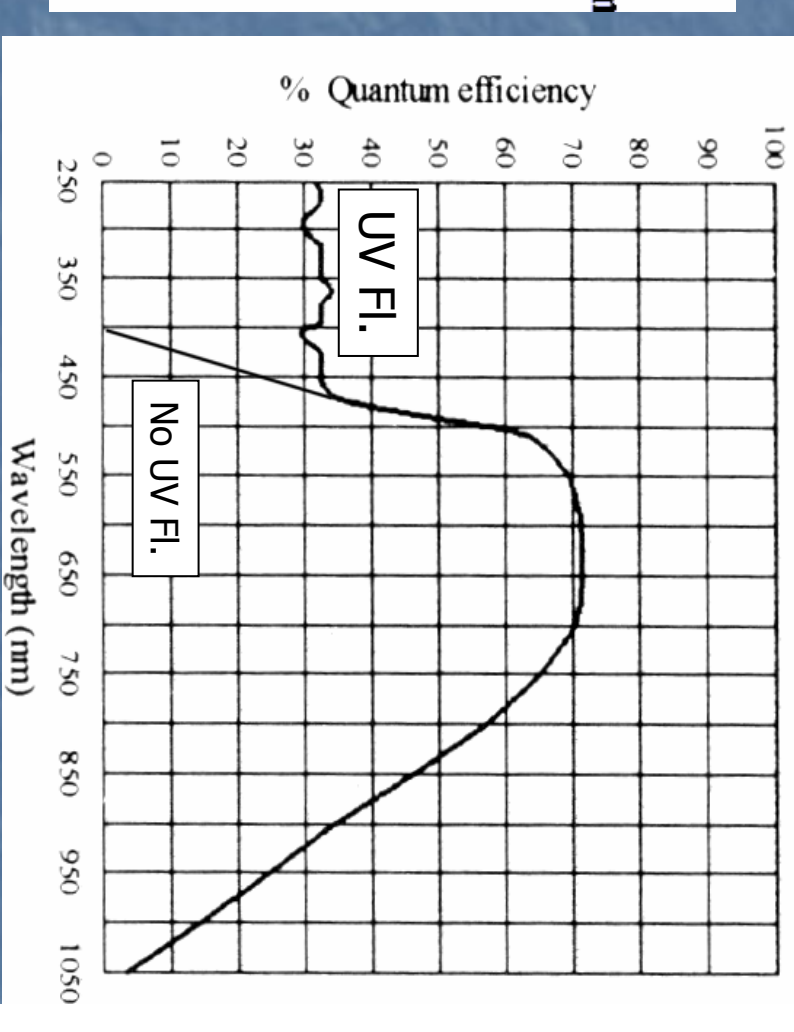


$$\eta(\lambda) = T_{total}(\lambda).(\eta_{dep}(\lambda) + \eta_n(\lambda))$$

# CCD traité pour l'UV et le bleu : « UV-Flooding »

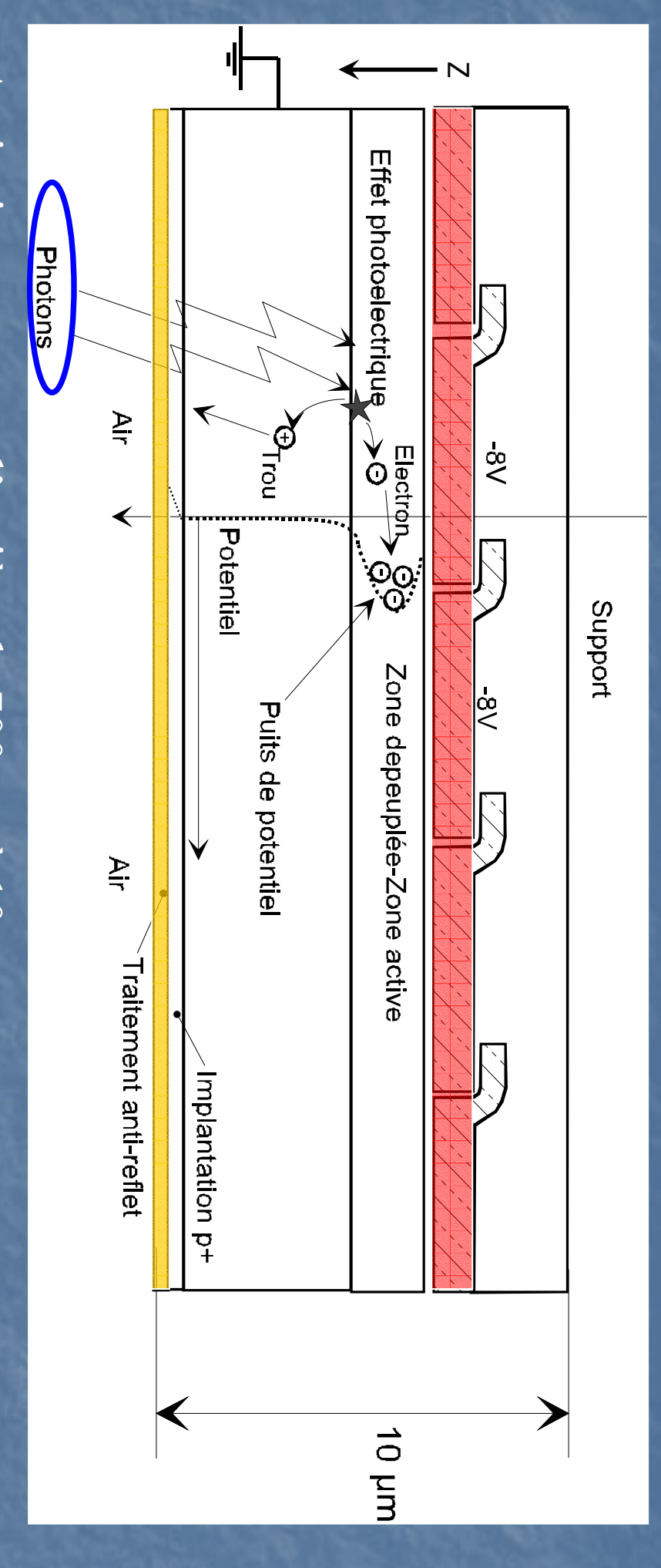
- Couche de Metachromes ou Luminogen
- Fluorescence UV, vers des longueurs d'ondes visibles





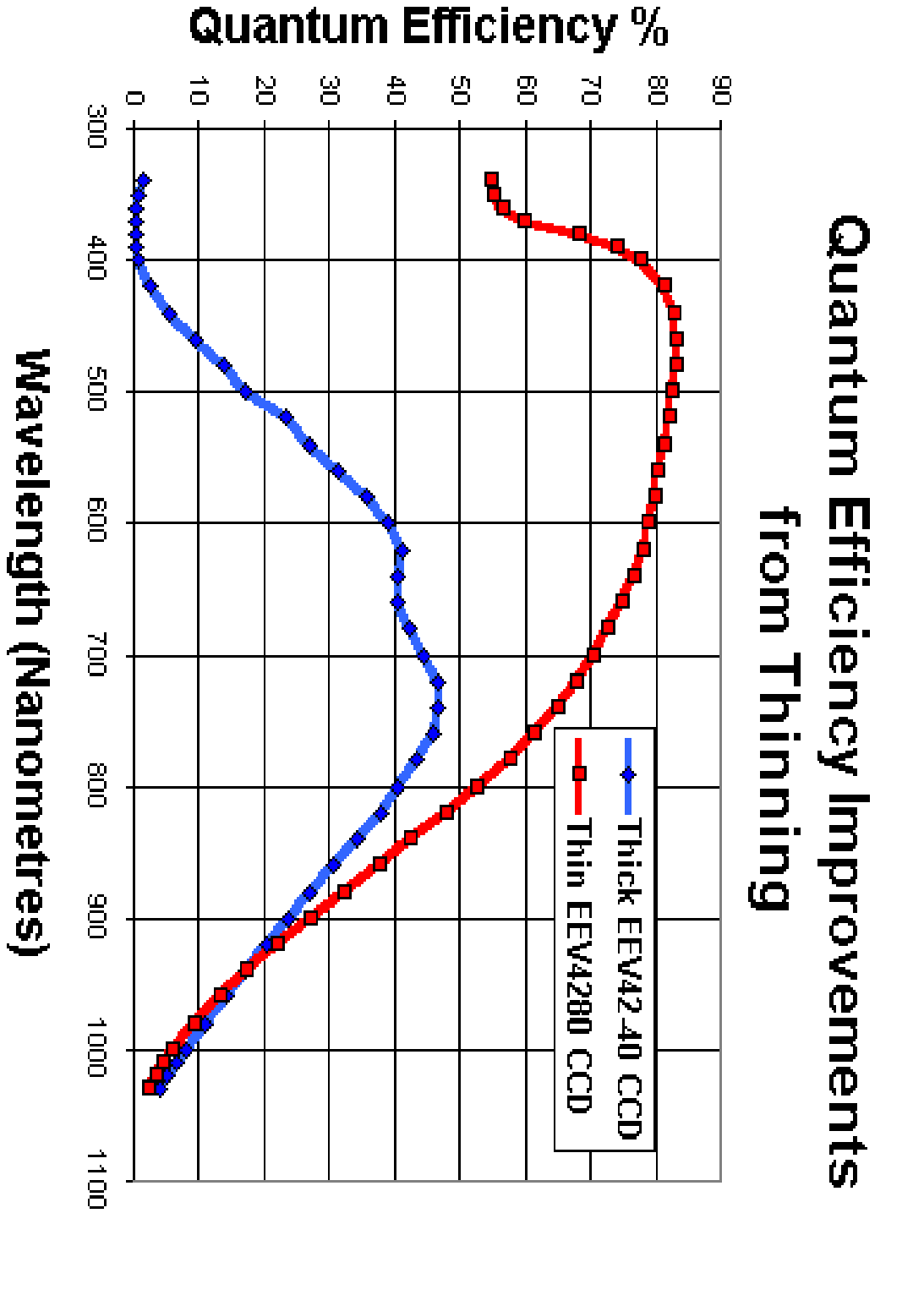
- Stabilité de la couche, durée de vie limitée

#### Principe des CCDs amincis ou éclairés par l'arrière Rendement quantique : améliorations

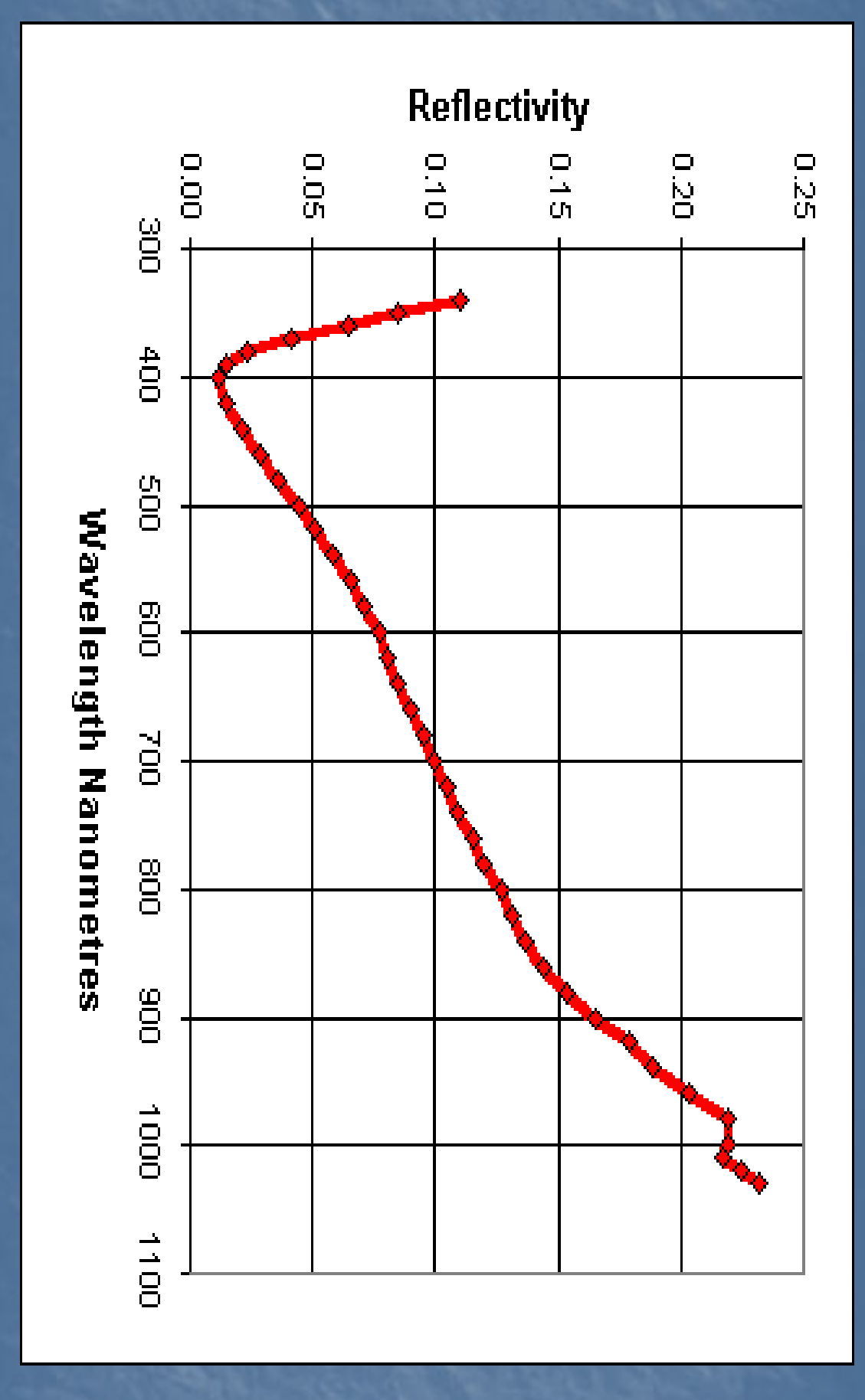


- Amincissement par l'arrière de 700µm à 10µm
- Implantation P+ (critique)
- Traitement anti-reflet (HfO<sub>2</sub> ou TiO<sub>2</sub>)
- Eclairement par l'arrière

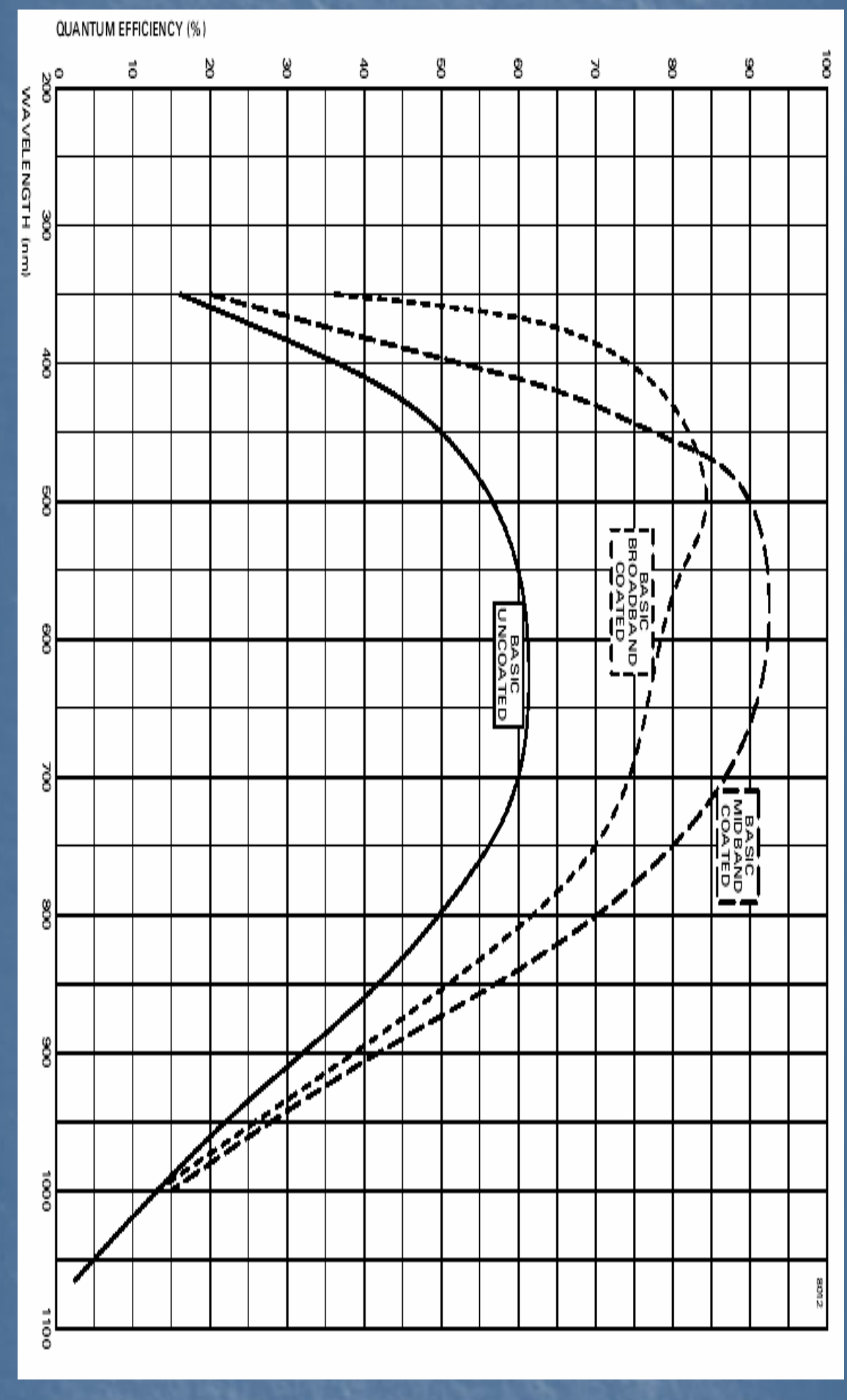
## Rendement quantique : améliorations



## Rendement quantique : améliorations

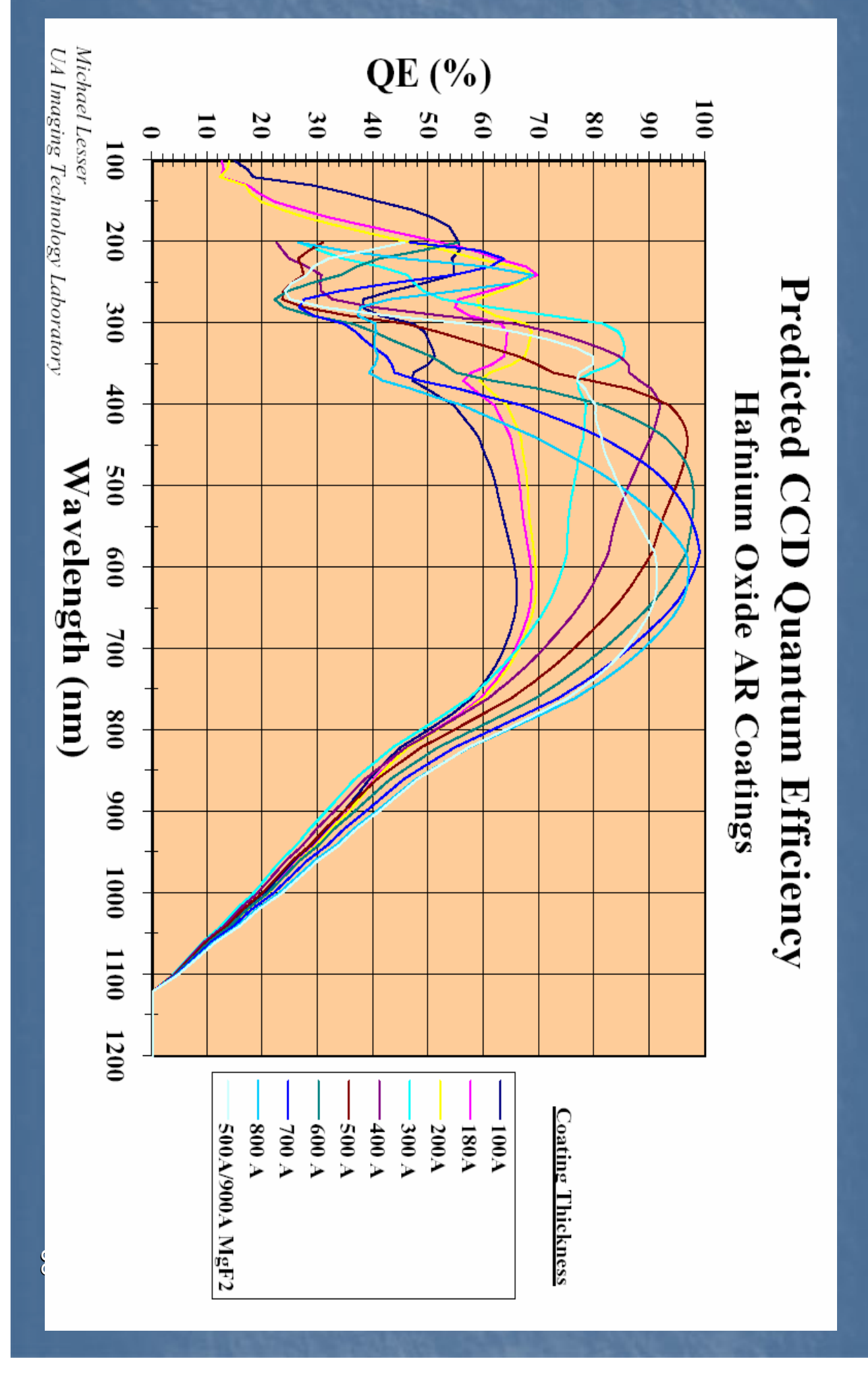


## Rendement quantique : améliorations

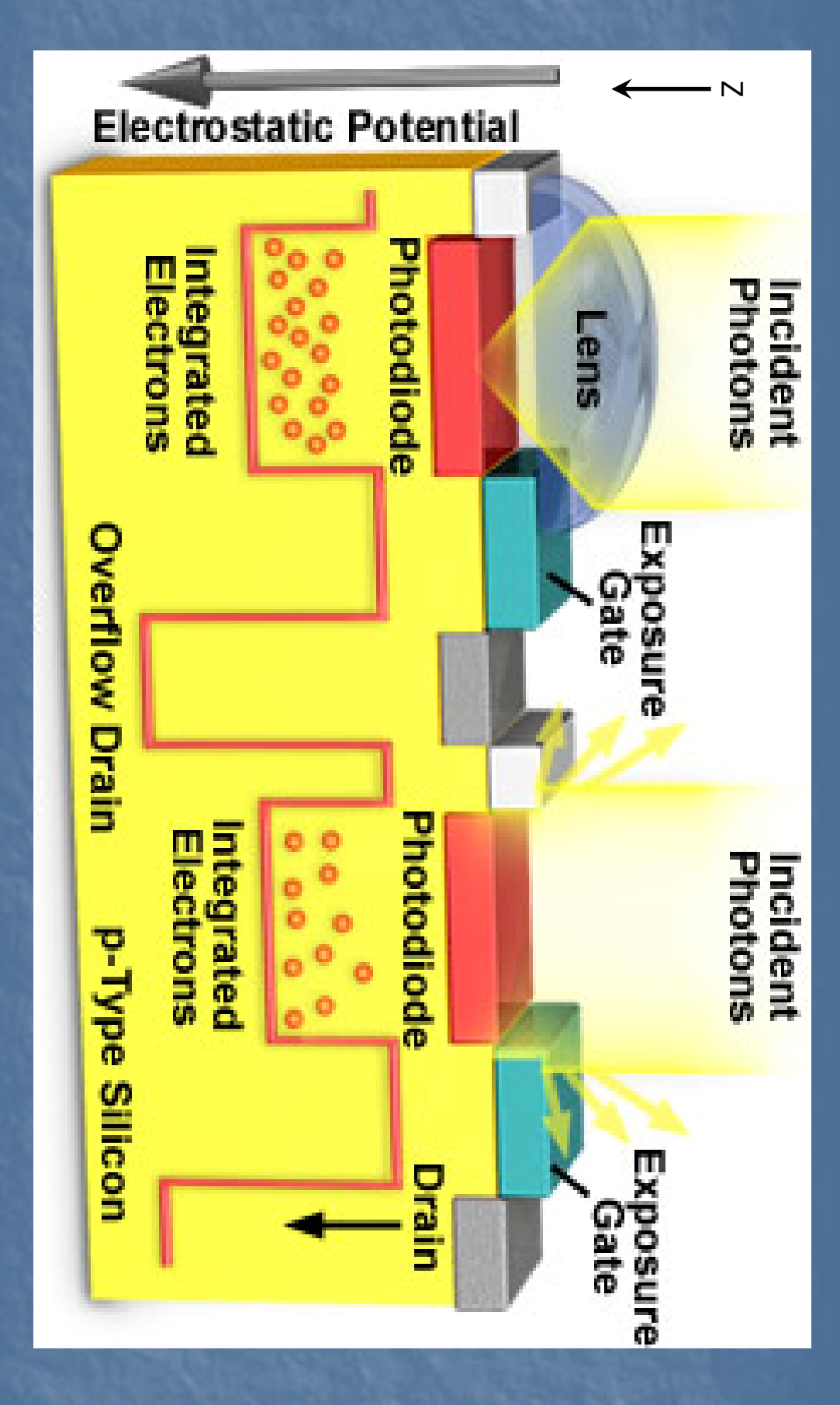


Traitement anti reflets et effets sur le rendement quantique

## Rendement quantique: AR coating

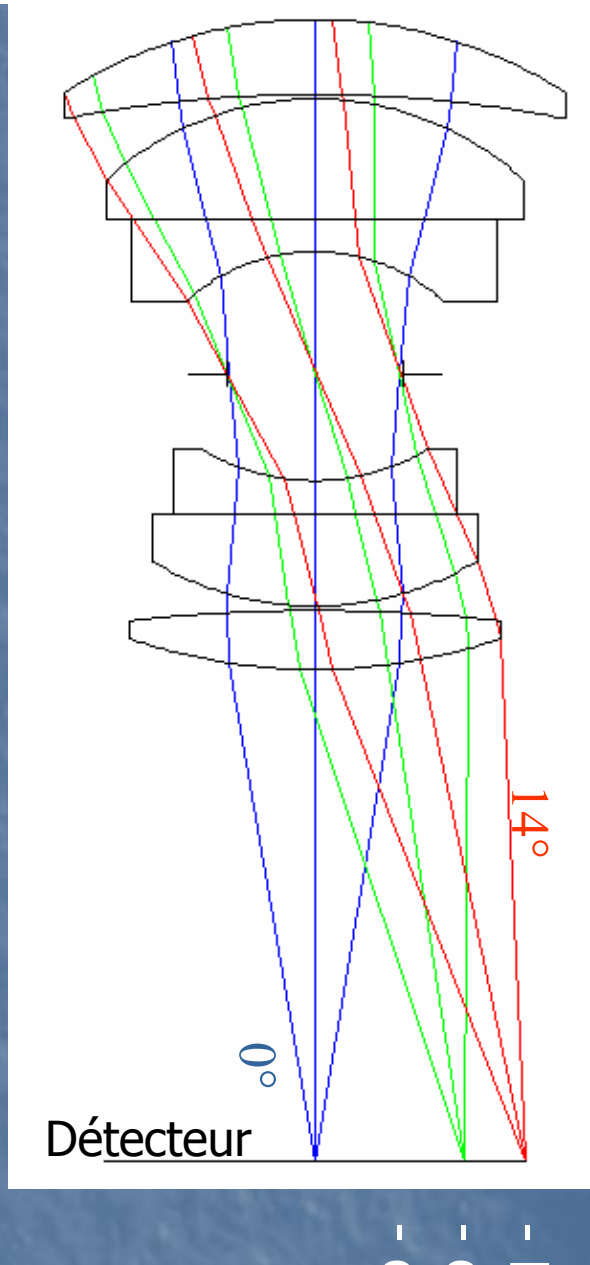


### Microlentilles pour CCD interligne

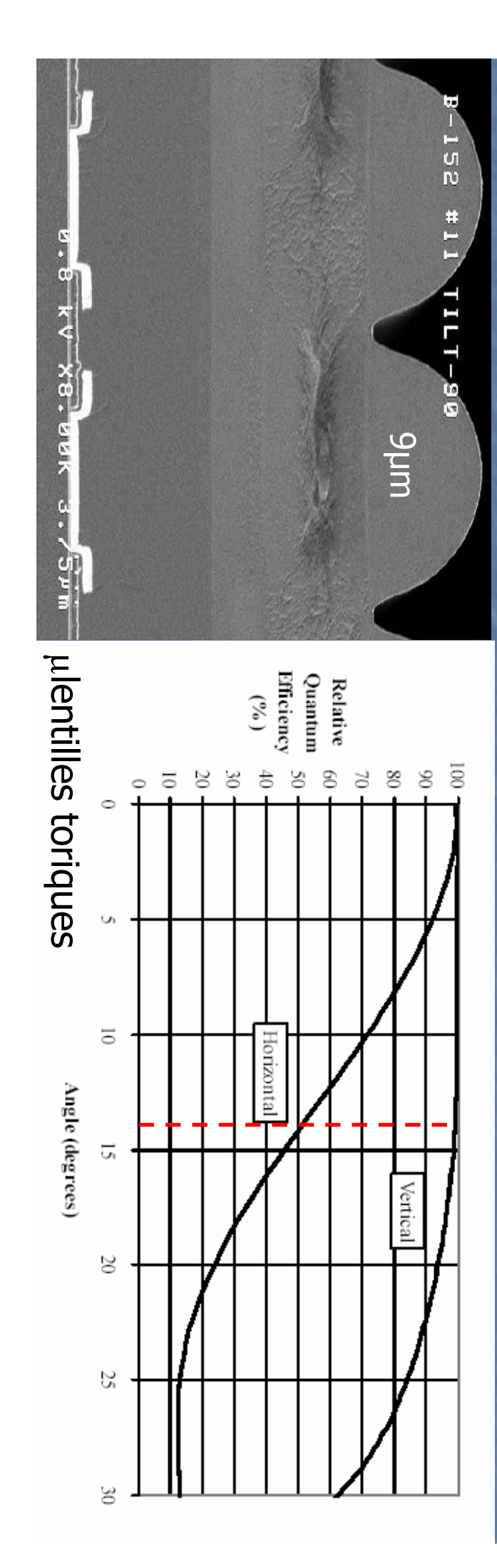


- Microlentilles : adapté des rapports F/D
   Très efficace, > 10-15% de RQE supplémentaire

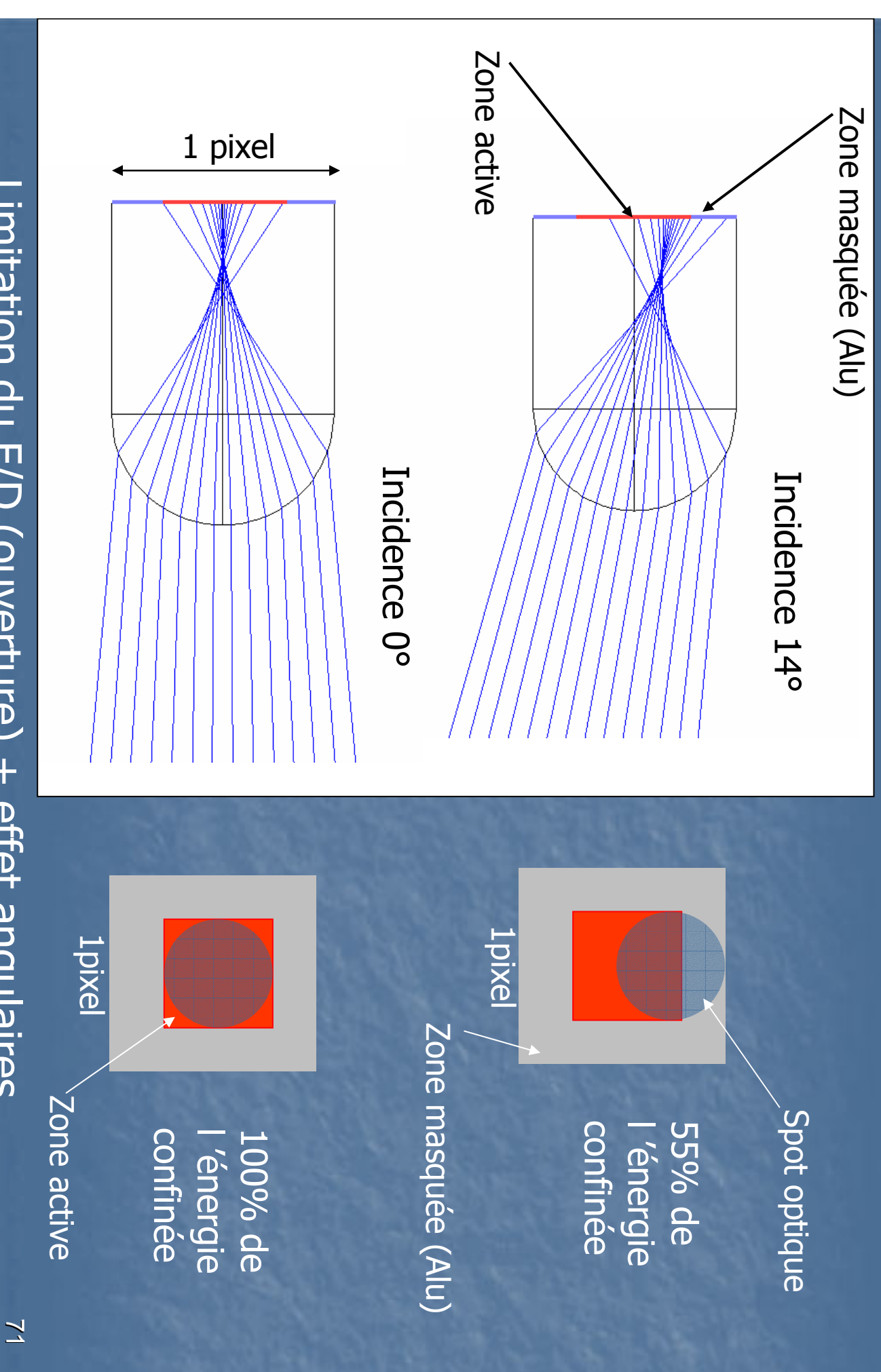
## Effets de variation de QE par les microlentilles



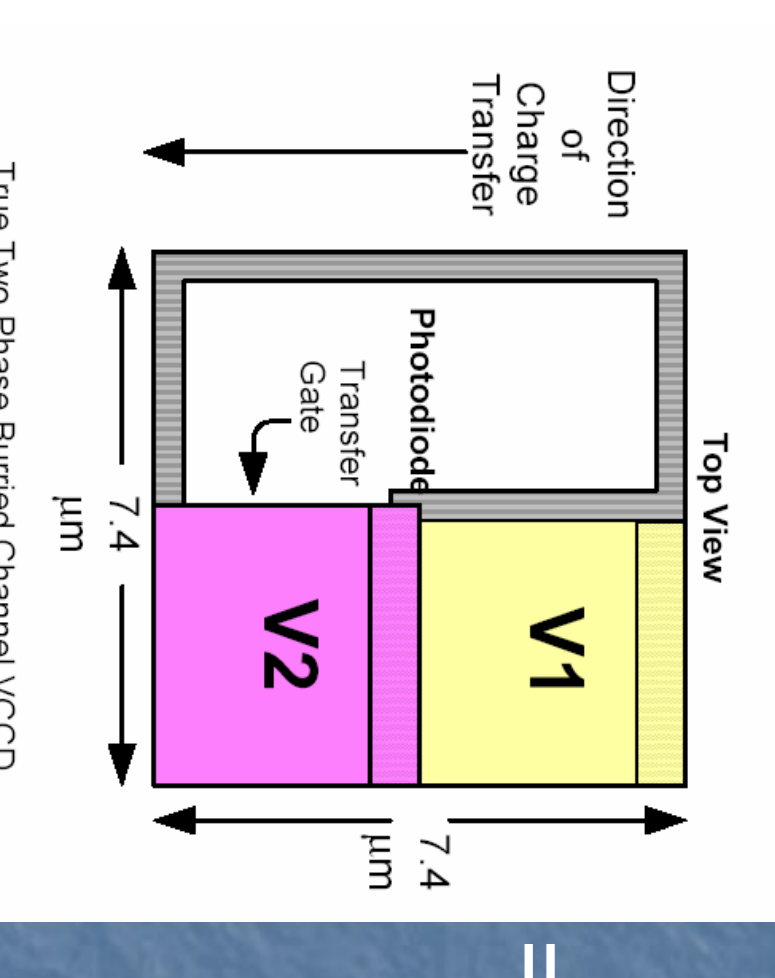
- Rendement Quantique variable
- objectifs grand angle
- optiques ouvertes



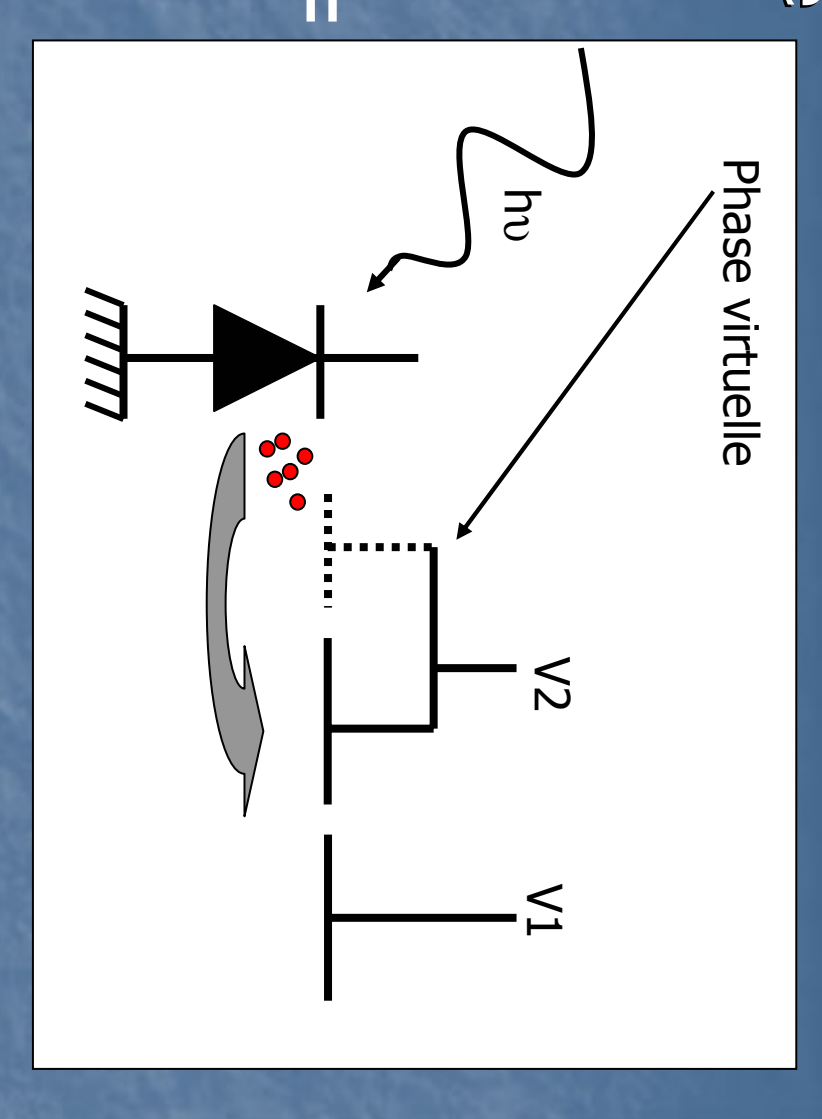
## Perte de rendement quantique par les µlentilles



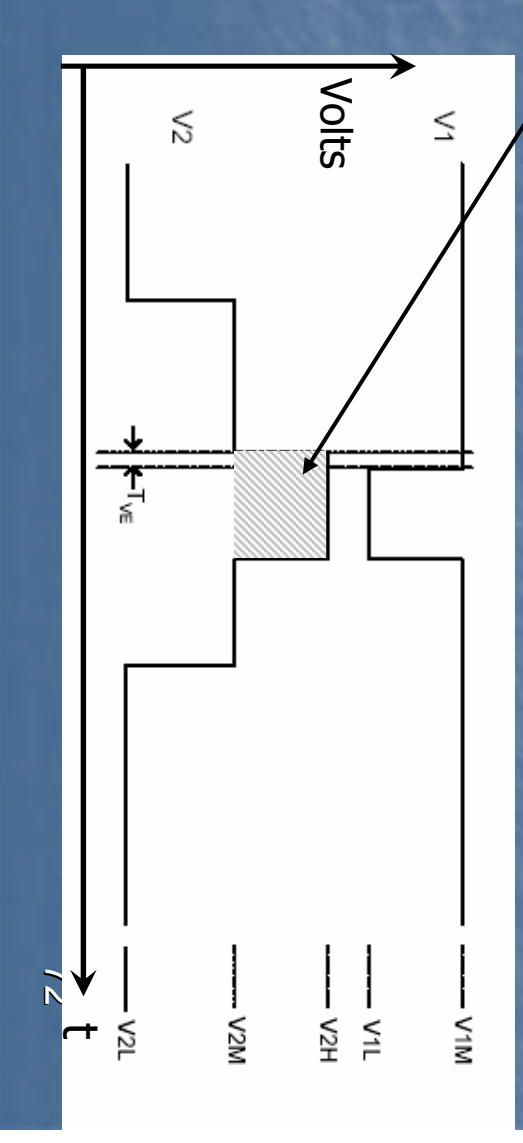
### Pixel CCD interligne à photodiode



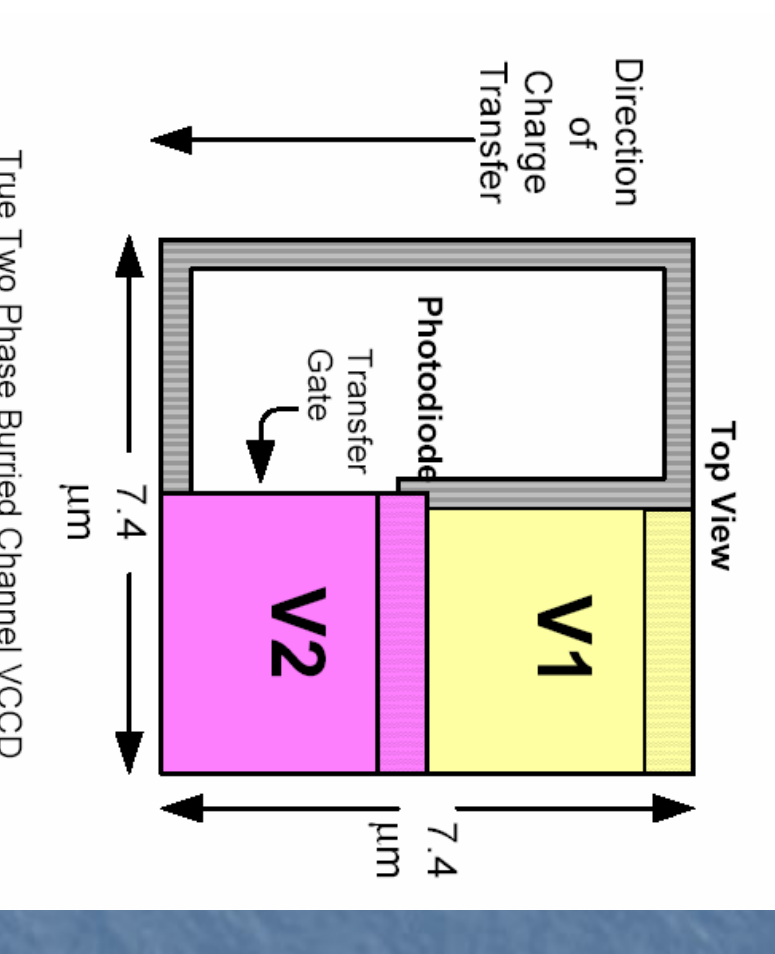
- True Two Phase Burried Channel VCCD Lightshield over VCCD not shown
- Fillfactor 50%
- V1 et V2 pour le transport des charges vertical



Activation de la phase virtuelle



### Pixel CCD interligne à photodiode



True Two Phase Burried Channel VCCD Lightshield over VCCD not shown

Cross Section Through
Photodiode and VCCD Phase 1

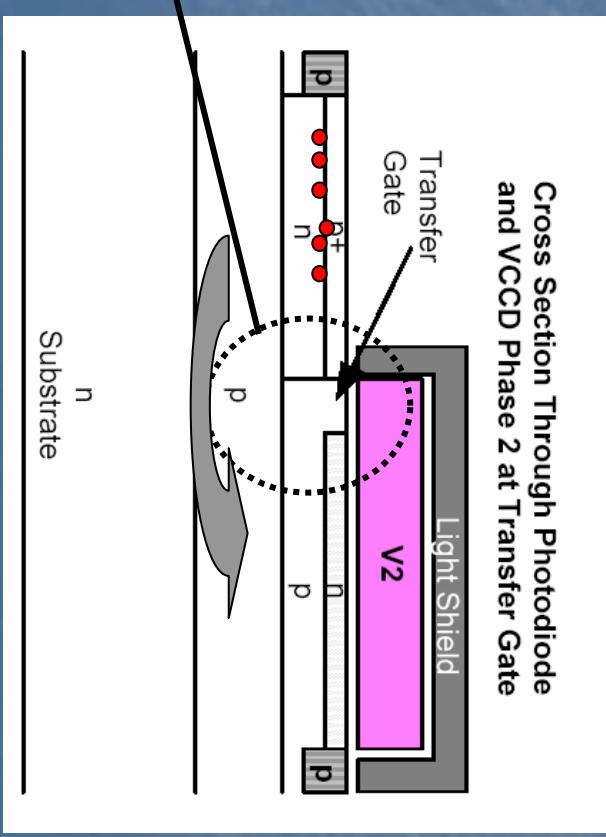
Photo
diode

p

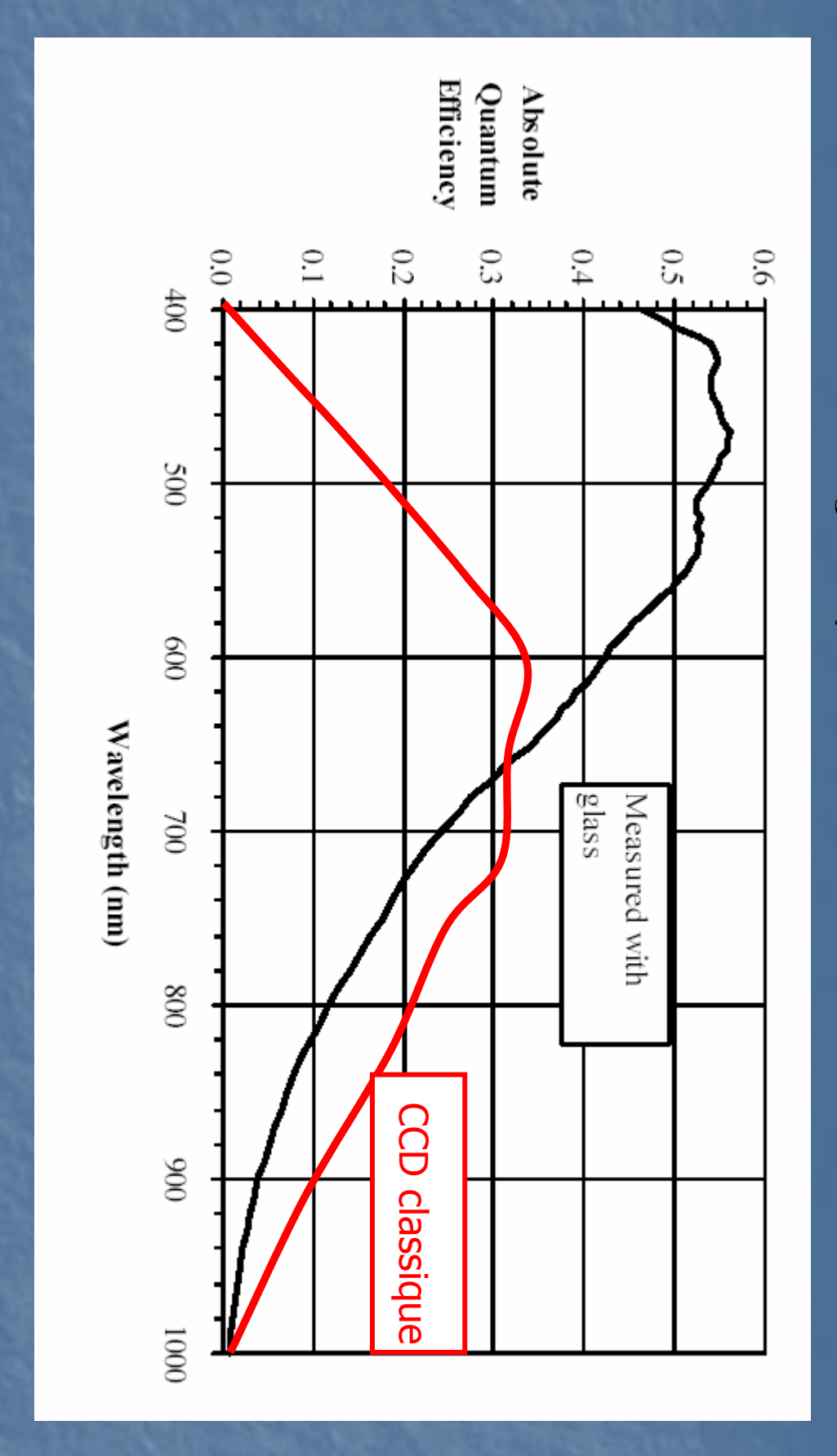
p

n

Substrate



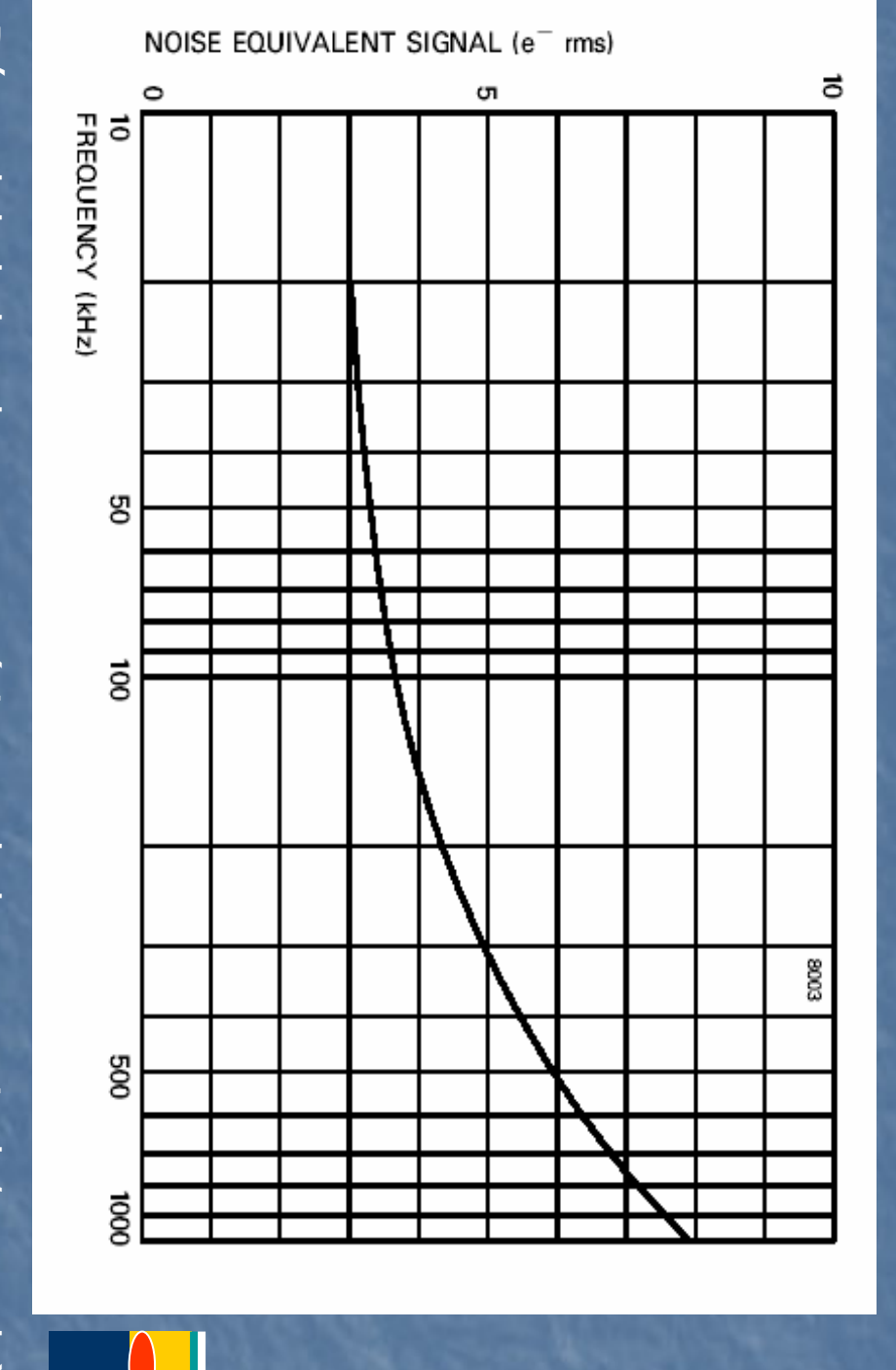
## Pixel CCD interligne à photodiode avec microlentilles



- Bon dans le bleu vert
  Médiocre dans le proche IR, comparativement au bleu-vert

#### Le bruit de lecture

Bruit électronique de l'ampli de sortie Vout en µV

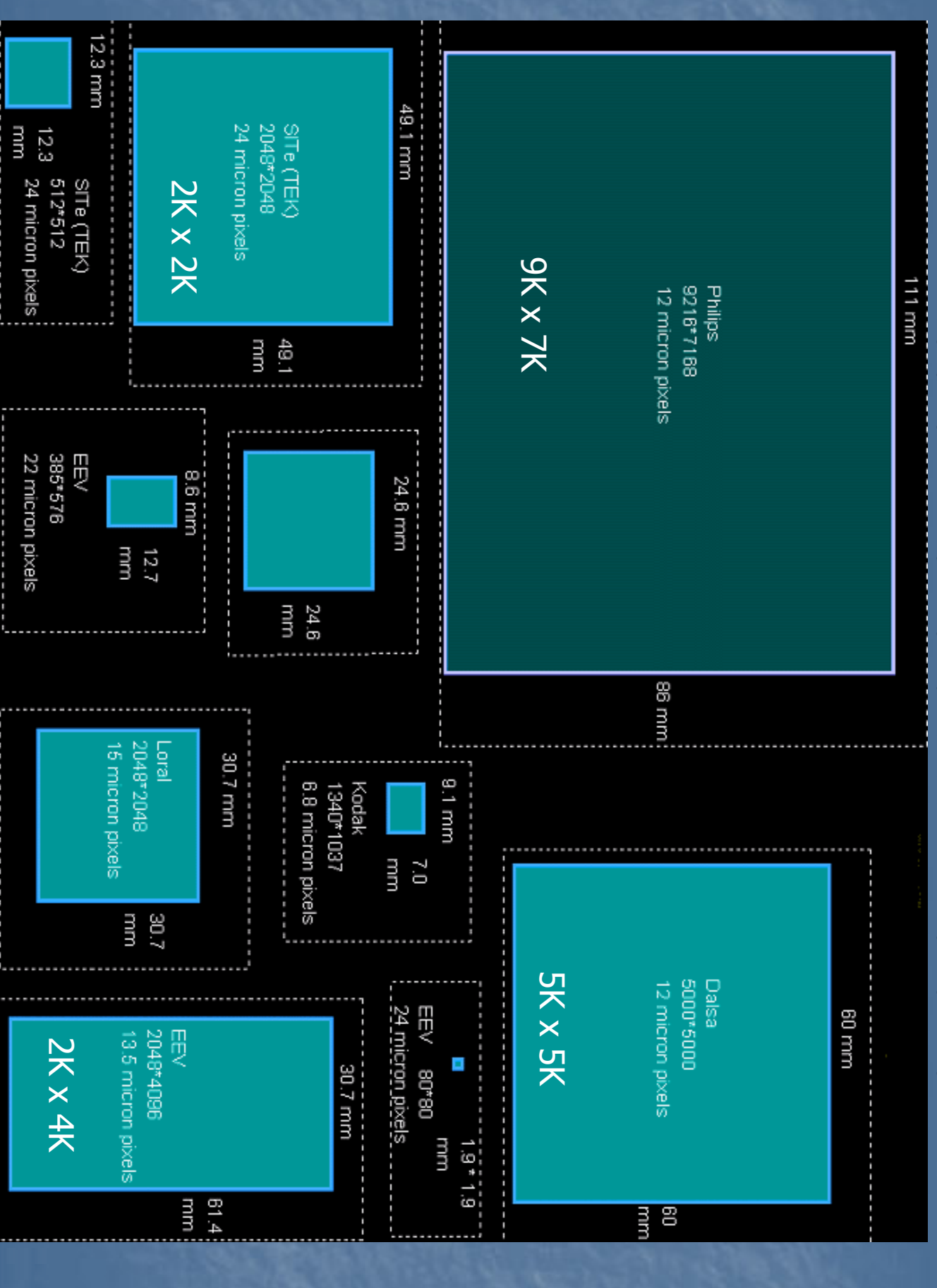


RD

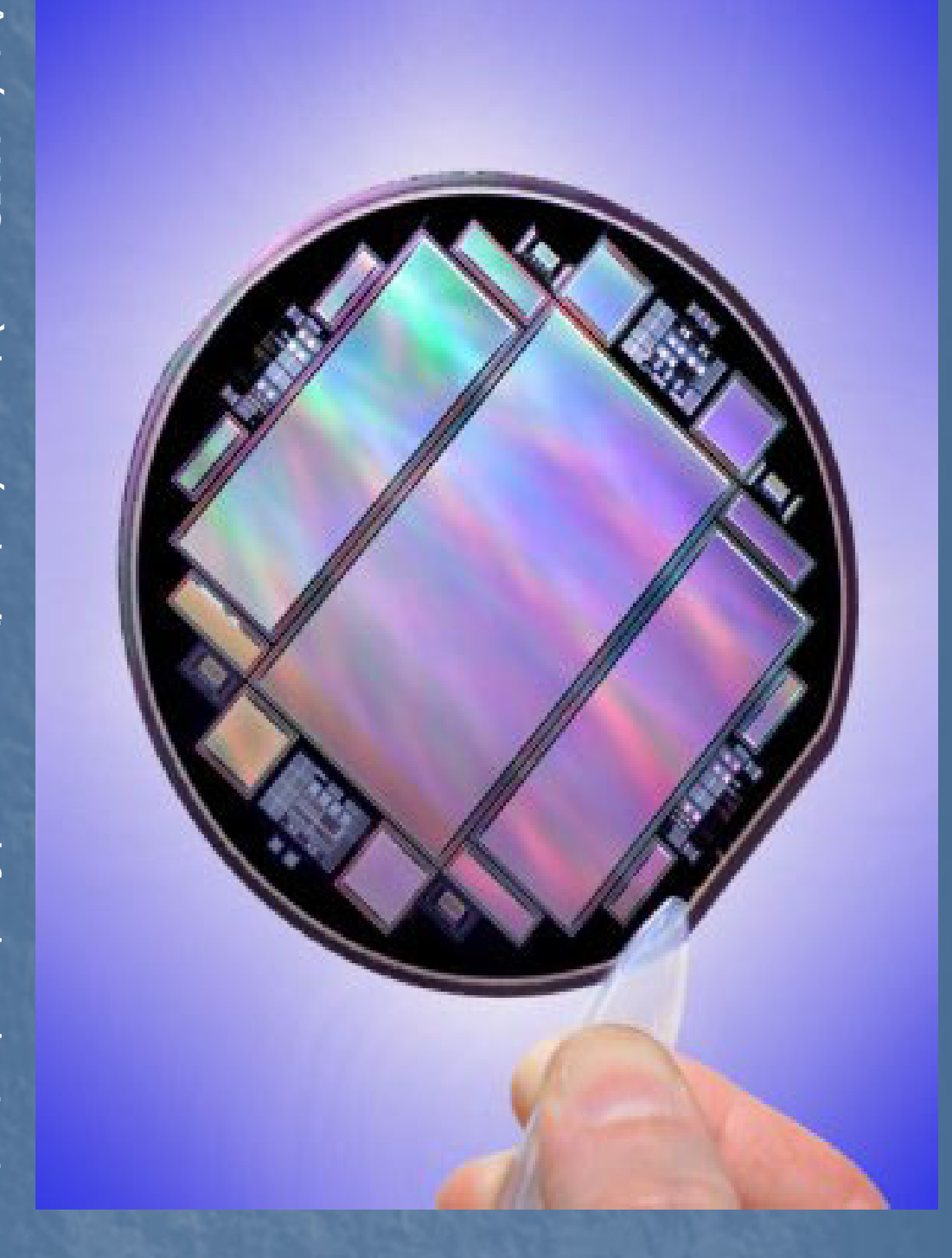
Dépend de la bande passante (vitesse de lecture, pixels/seconde) Du au transistor buffer de l'ampli de sortie

CCD non scientifique : 30 à 50e- a 20 images par secondes

## Résolution et format des CCD : état de l'art



### Fabrication des CCD

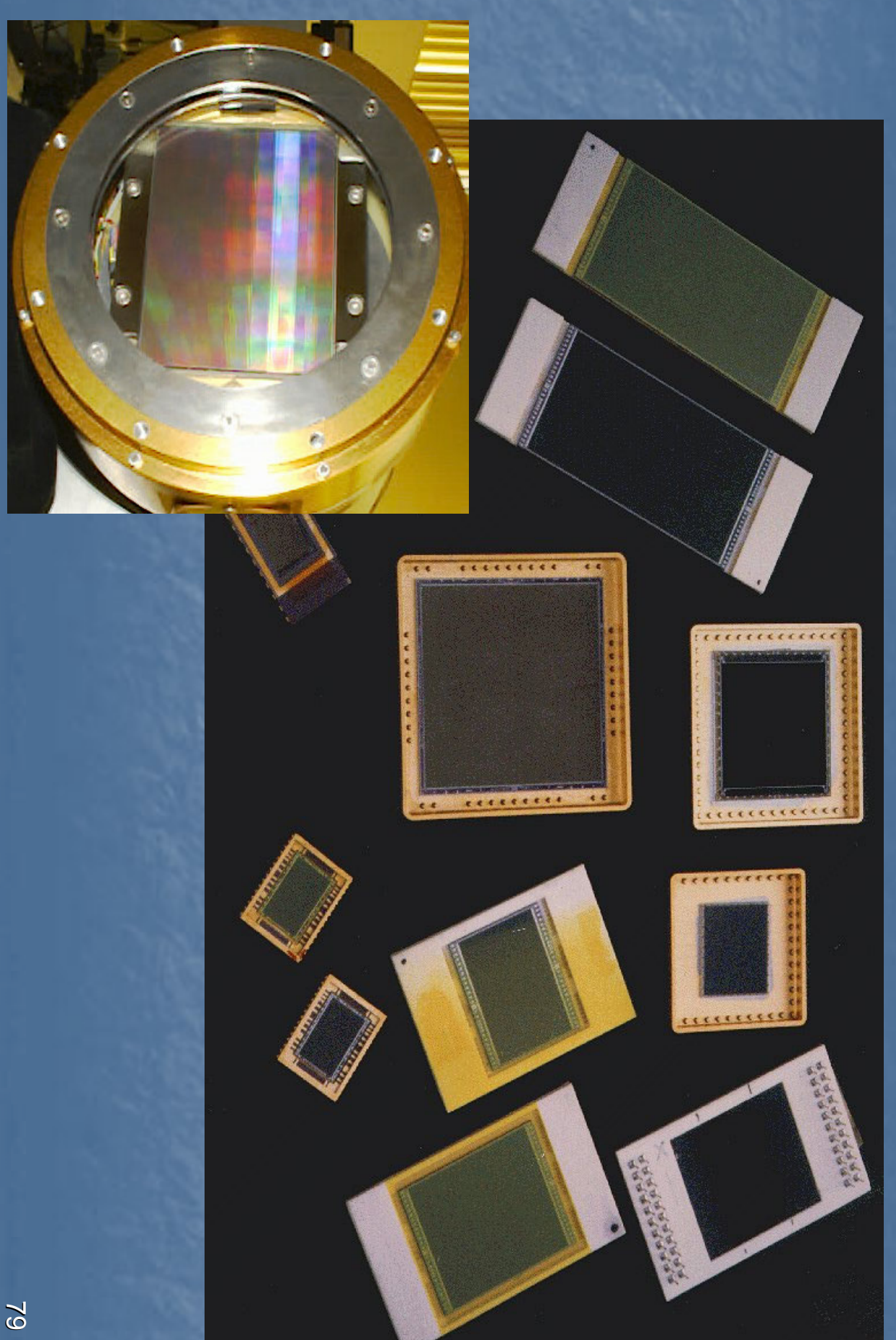


- Bien maîtrisée MAIS pas à la portée de n'importe quel fondeur de circuit
  Ligne de fabrication spéciale, en dehors de la ligne de production des CMOS
  lithographie 2-1µm, wafers de 8 pouces

#### Formats de CCD

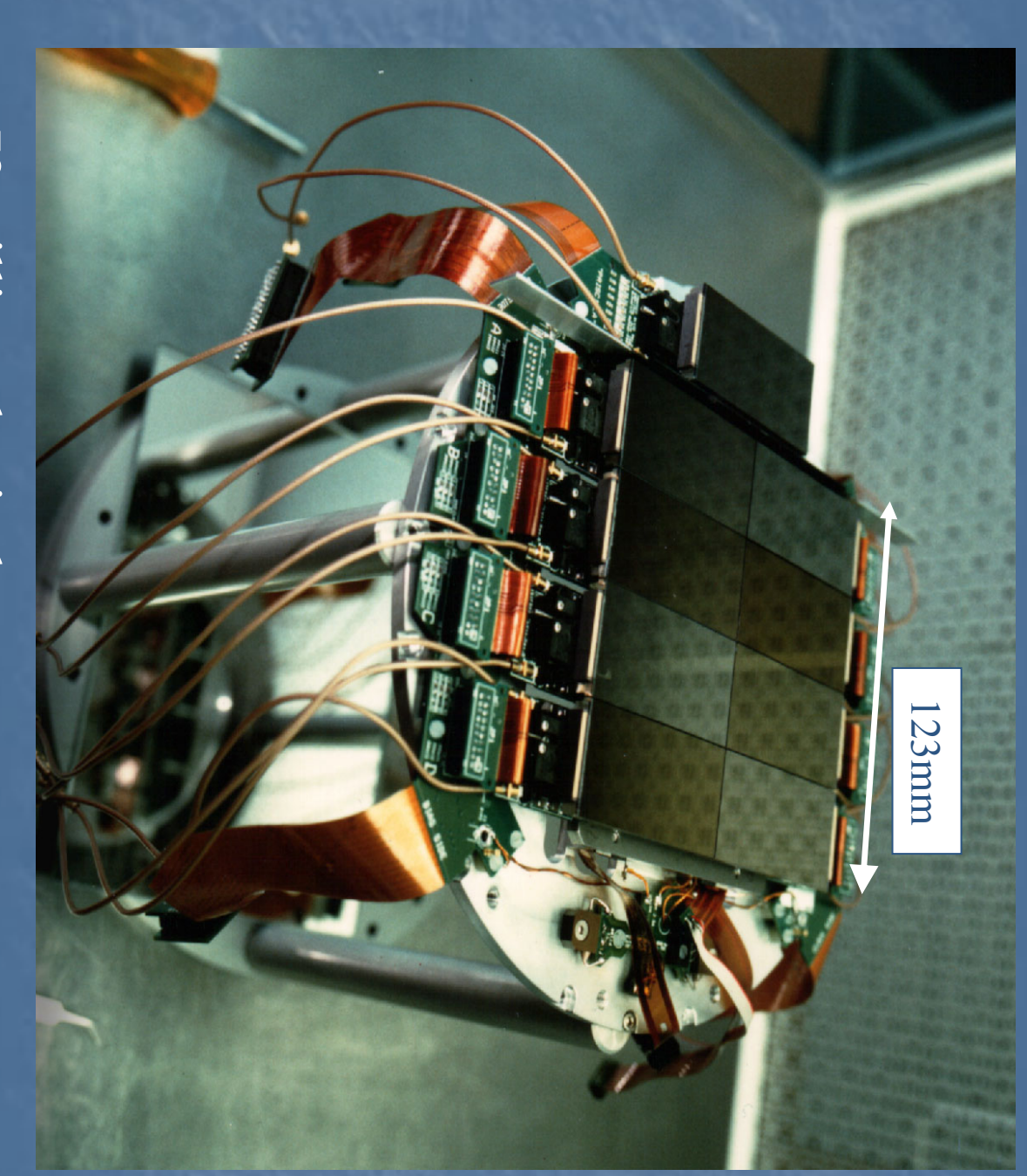


#### Formats de CCD



#### Mosaïque de CCDs

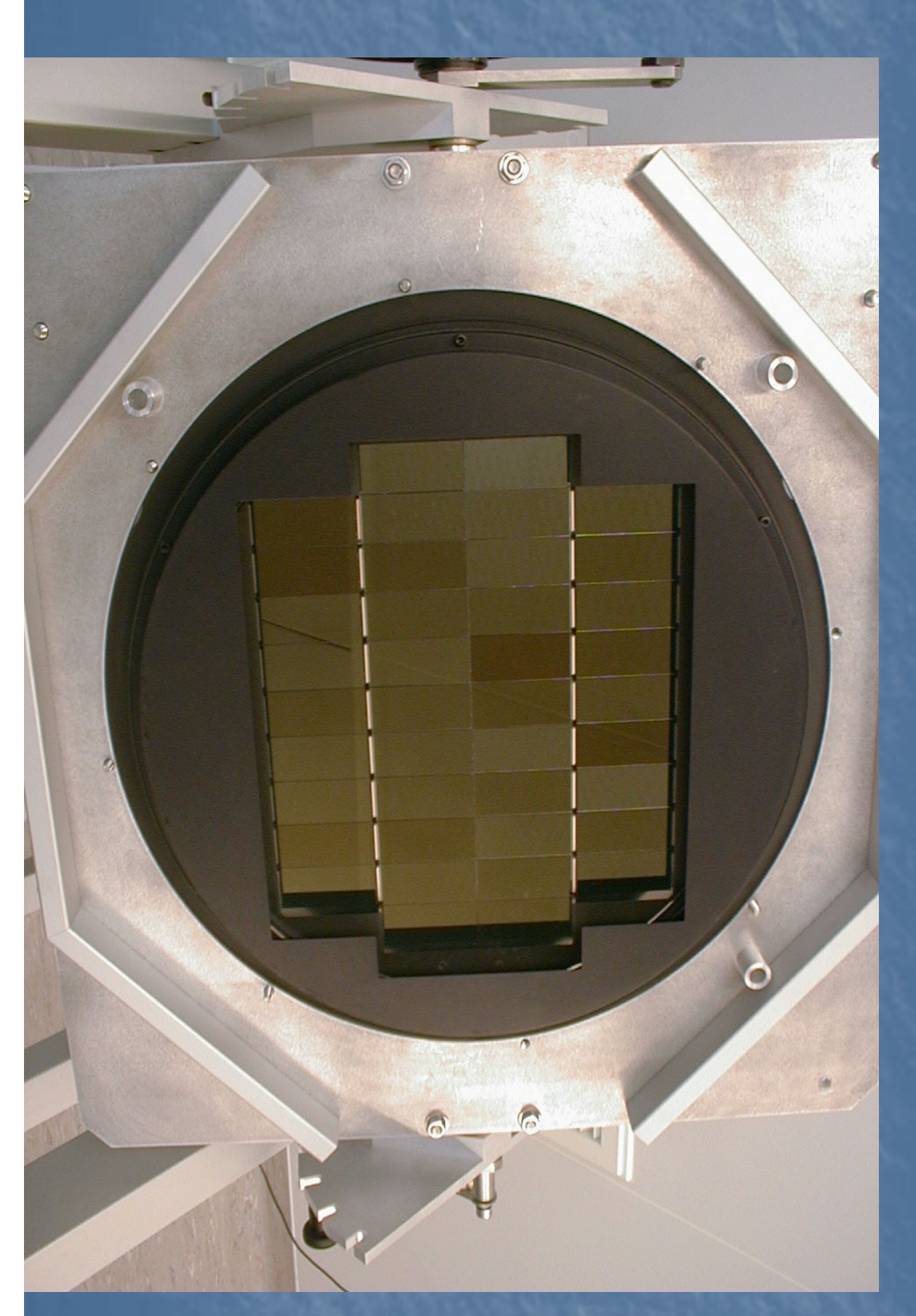
- $2x4k \Rightarrow 8x8 k$ • Mosaïque de 8 CCD EEV
- Ecart de:
- 96 pixels en Y56 pixels en X
- comprise entre +-20µm Planéité mesurée par laser
- Lecture en 27sec1 image ⇒ 128Mo
- 4.5e- de bruit
- Fiera Piloté par un seul contrôleur
- CCD de guidage lu a 1Hz



72 millions de pixels...

### Megacam - CFHT - CEA

Mosaïque la plus grande du monde, 380 Mpixels de 15x15 µm





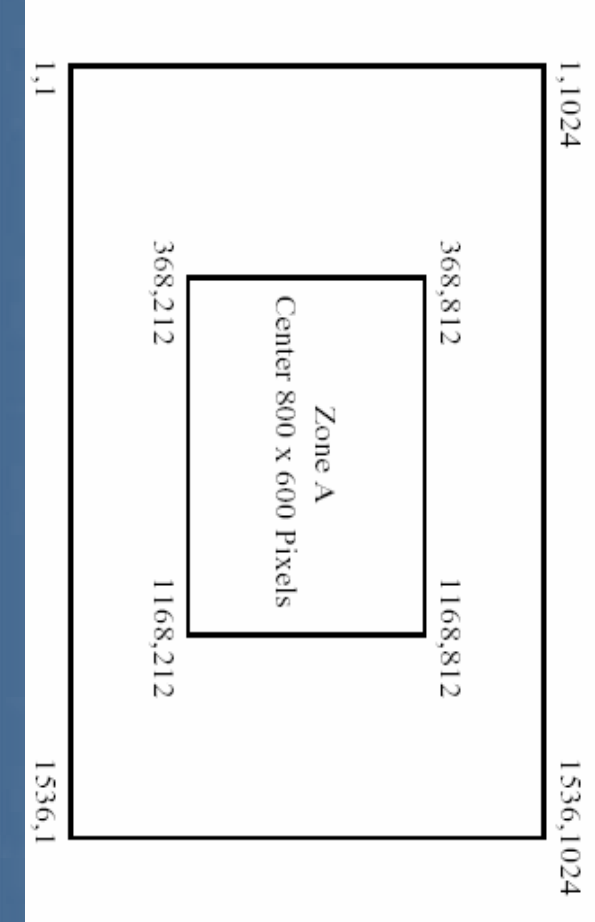
Qualité cosmétique des grands CCD!

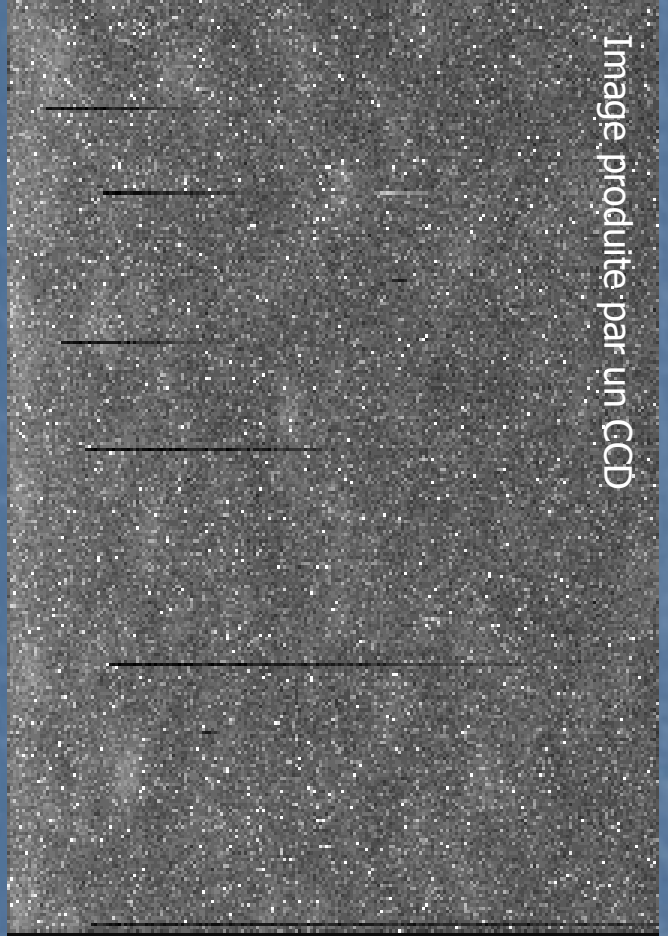
### Grade cosmétique des CCDs

#### -Défauts cosmétiques

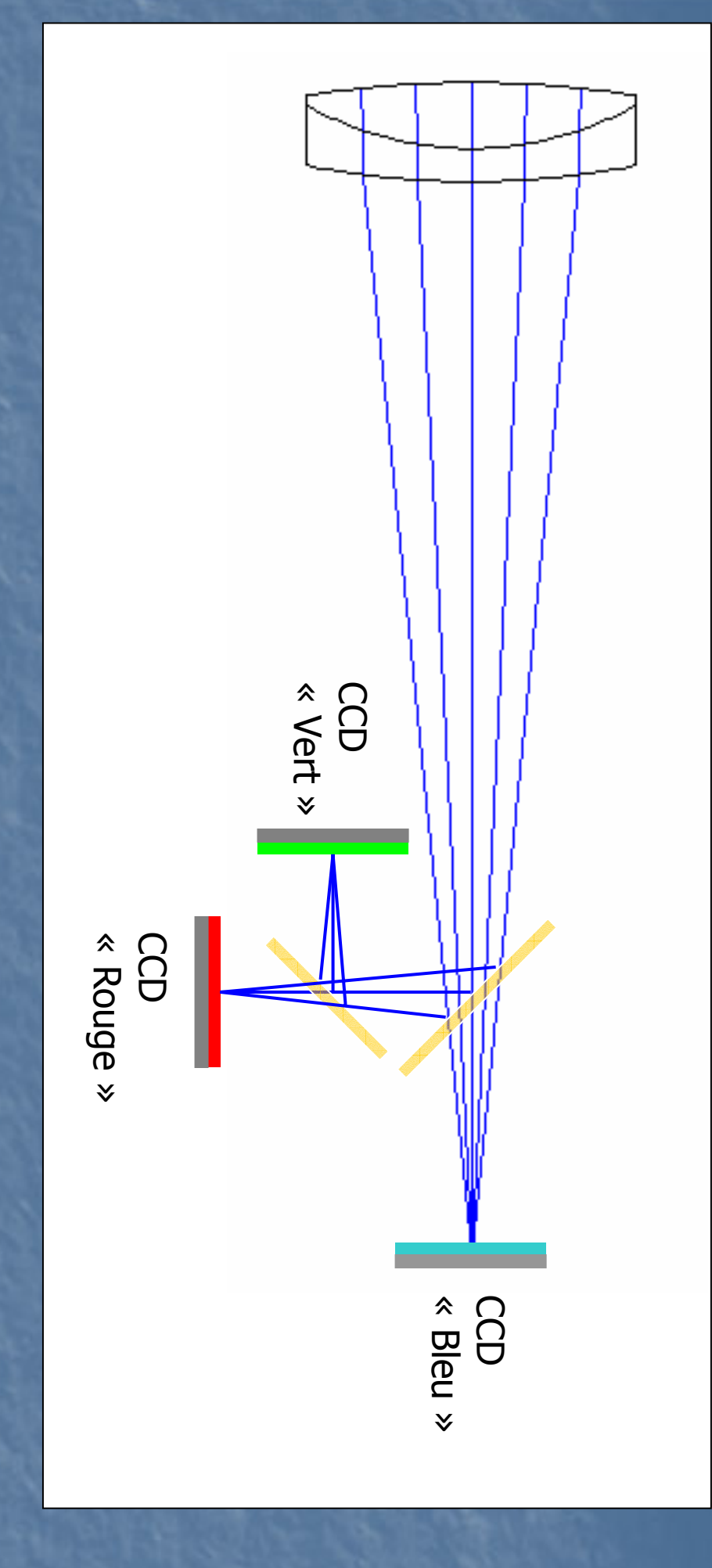
- pixel non sensible, ou déviantpixel chaudAmas de pixels chauds, déviants ou mortsColonnes mortes

$\mathfrak{S}$	C2	C1		Class
≤20	≤10	≤5	Total	Point
≤10	≤5	≤2	Zone A	Point Defects
\$	≤4	0	Total	Cluster Defects
4	≤2	0	Zone A	Defects
4	0	0	Total	Column
2	0	0	Zone A	Defects



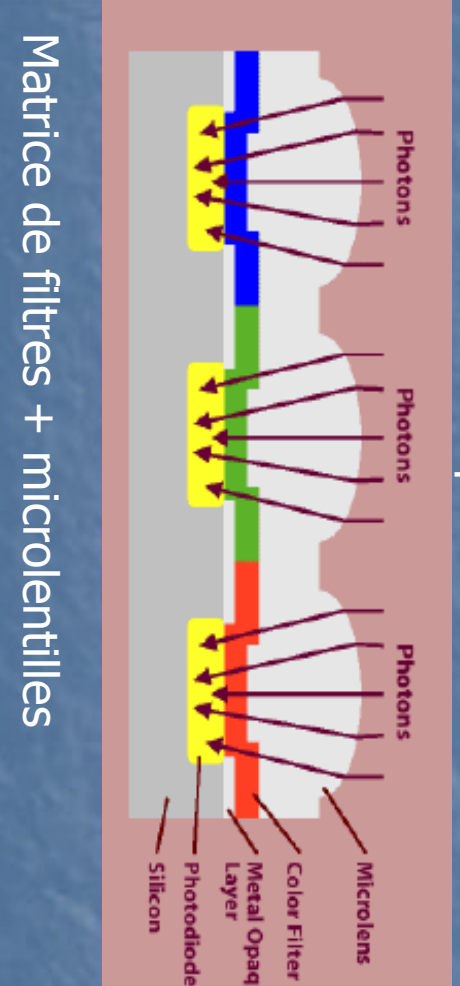


## Systèmes Tri-CCD: cameras professionnelles

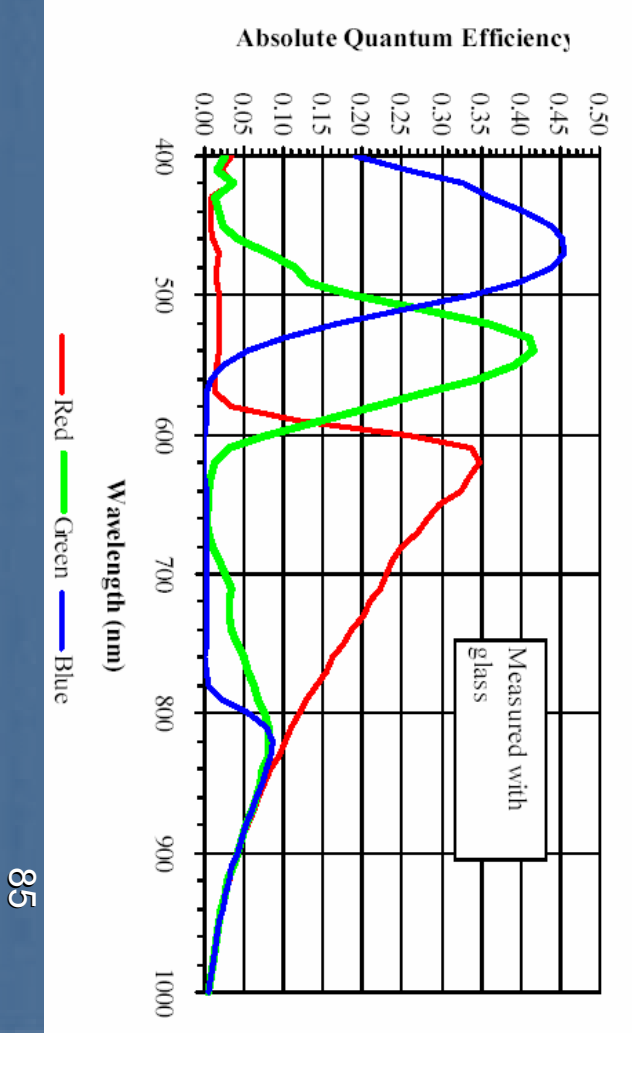


- 2 lames dichroïques (séparation B-RG et R-G)
- Alignement pixel-pixel critique si on ne veut pas re-échantillonner
- 3 CCD de même résolution
- Système le plus parfait, mais le plus cher et encombrant.

#### Matrice de Filtres accolés au pixels Faire mieux = beam splitter + 3 CCDs Formation de la couleur Motif Bayer Motif pseudo Bayer RGB / CMY

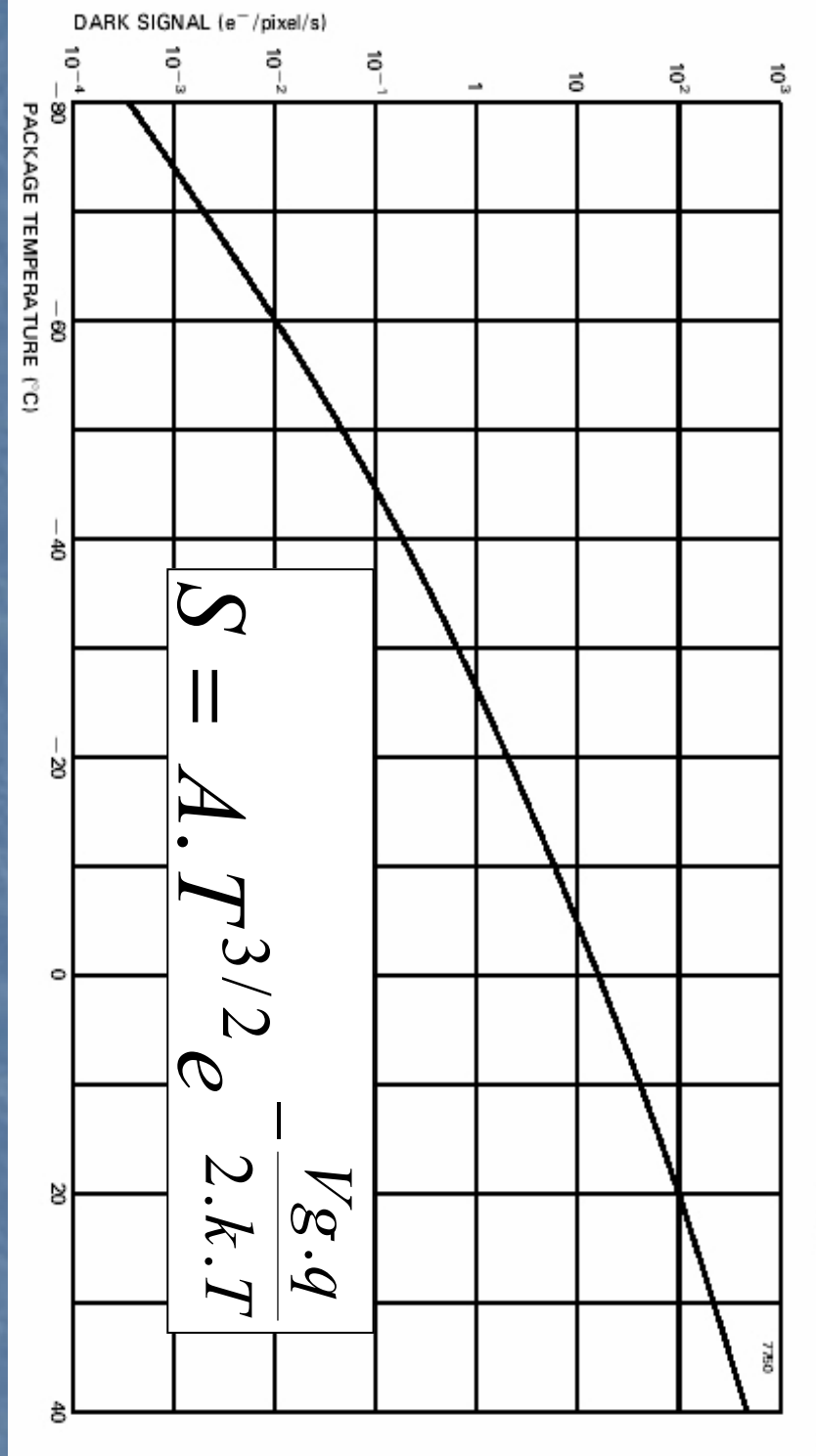






# Limitation des CCD : Courant d'obscurité

# TYPICAL VARIATION OF DARK SIGNAL WITH TEMPERATURE (V<sub>SS</sub> = +9.5 V)



A : Constante dépendante des unités utilisées (LSB,e-/pixel/sec,pA/cm²)

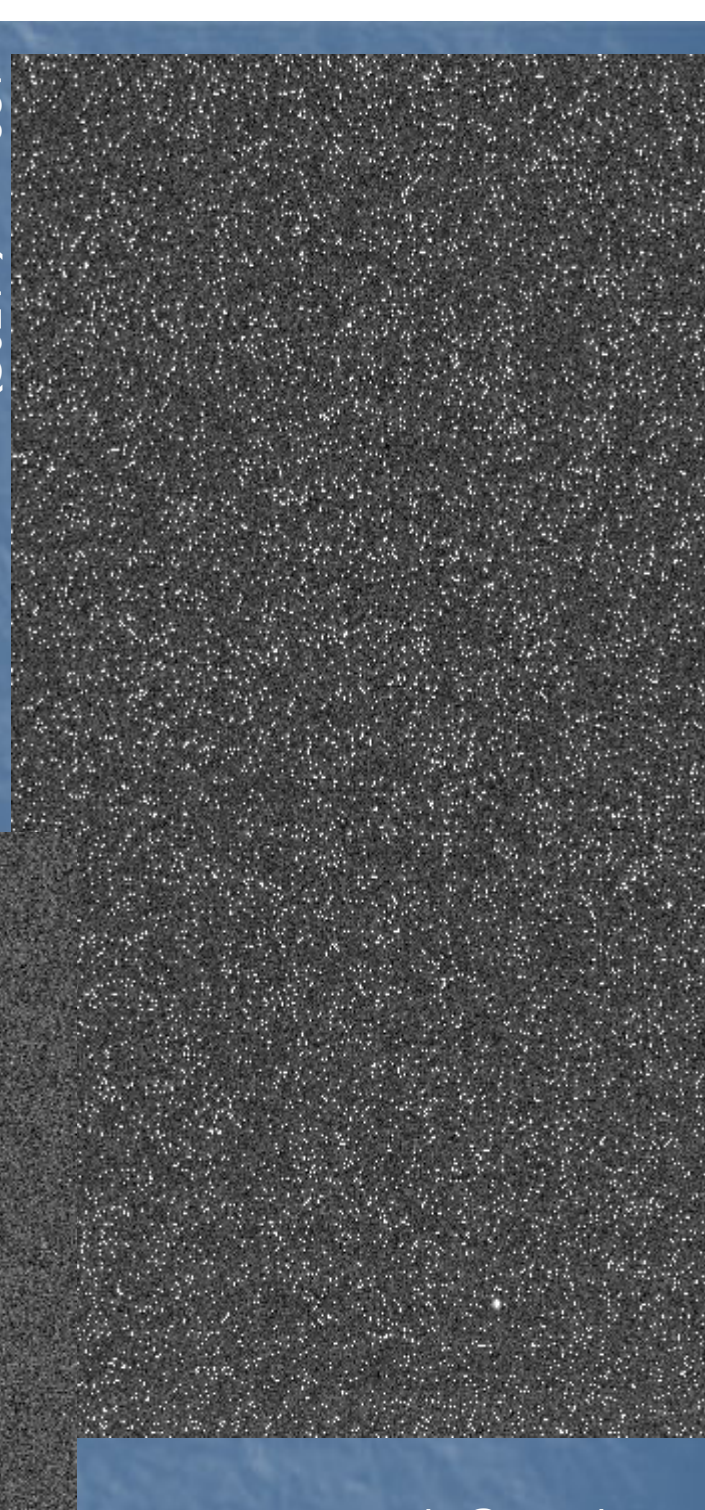
Vg : Tension de Gap (Bande interdite)

**KT : Produit constante de Boltzmann par la température.** 

q: Charge de l'électron

- Fortement dépendant de la température, proportionnel au temps de pose
- Un signal supplémentaire, affecté d'un bruit de Poisson
- Exprimé en pA/cm² ou en e-/pixel/Seconde
- Règle de décroissance : Facteur 2 tout les 5 à 7°C

## nitation des CCD : Courant d'obscurité



 Non uniformité
 Pixel – pixel du courant d'obscurité
 Points chauds

100 - 5 pA/cm<sup>2</sup> à 20°C

180 sec (-15°C)

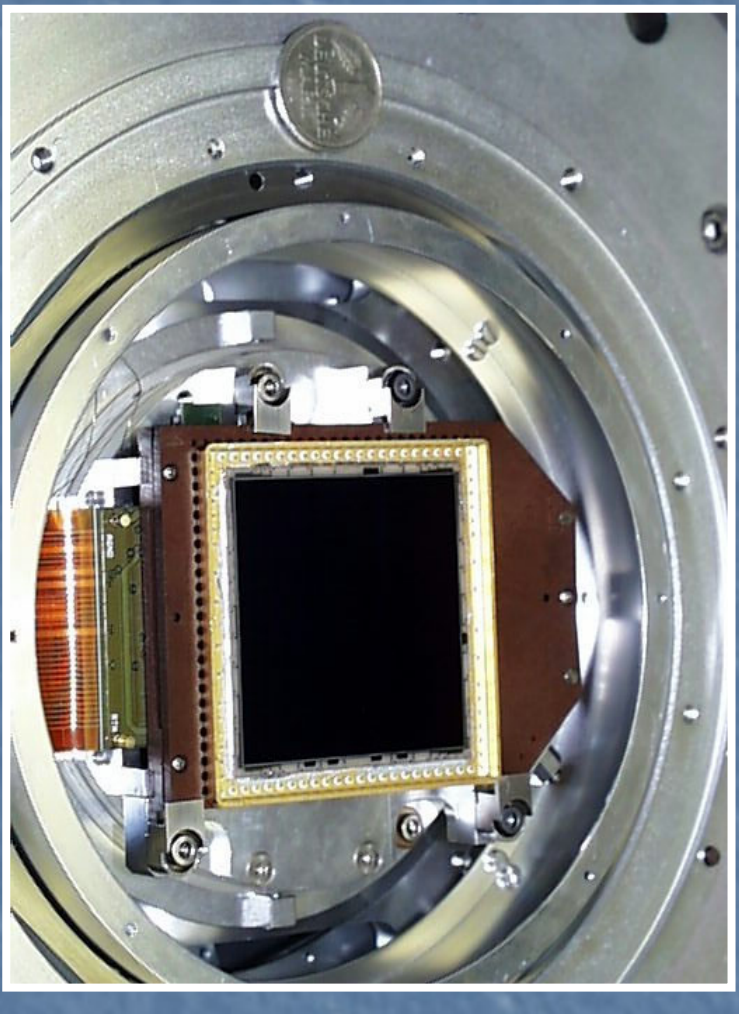
Formule de passage

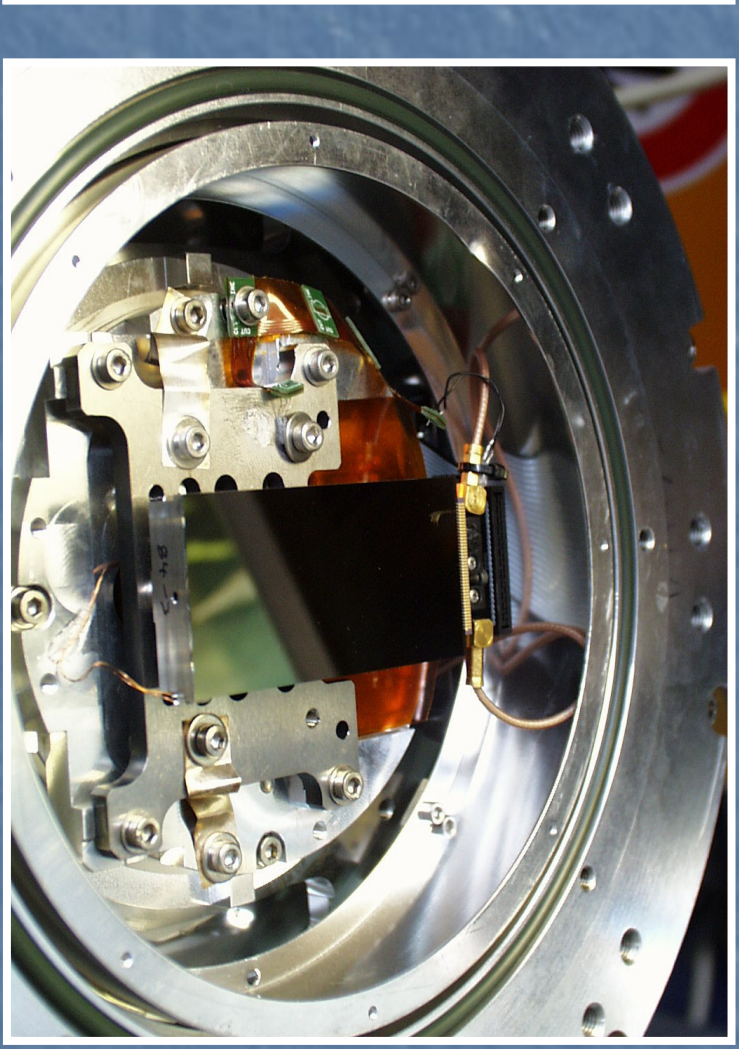
$$Id = \frac{10^{20}.E.q}{S}$$

Id : courant en pA/cm²
q :charge de l'électron
S: surface du pixel en µm²
E: courant d'obscurité en e-/pixel/sec

Image produite par un CCD

### Courant d'obscurité : refroidir



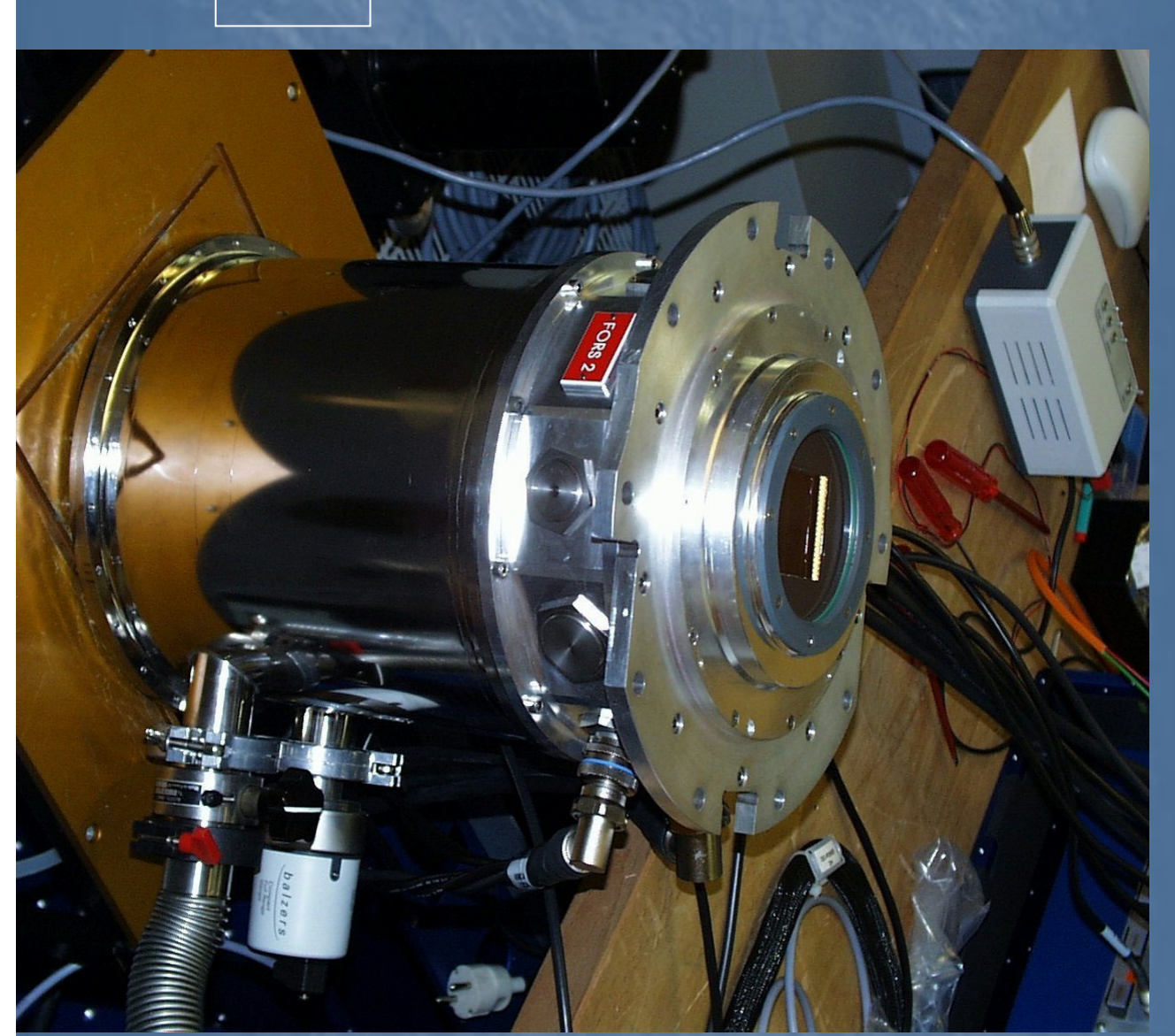


CCD dans un cryostat

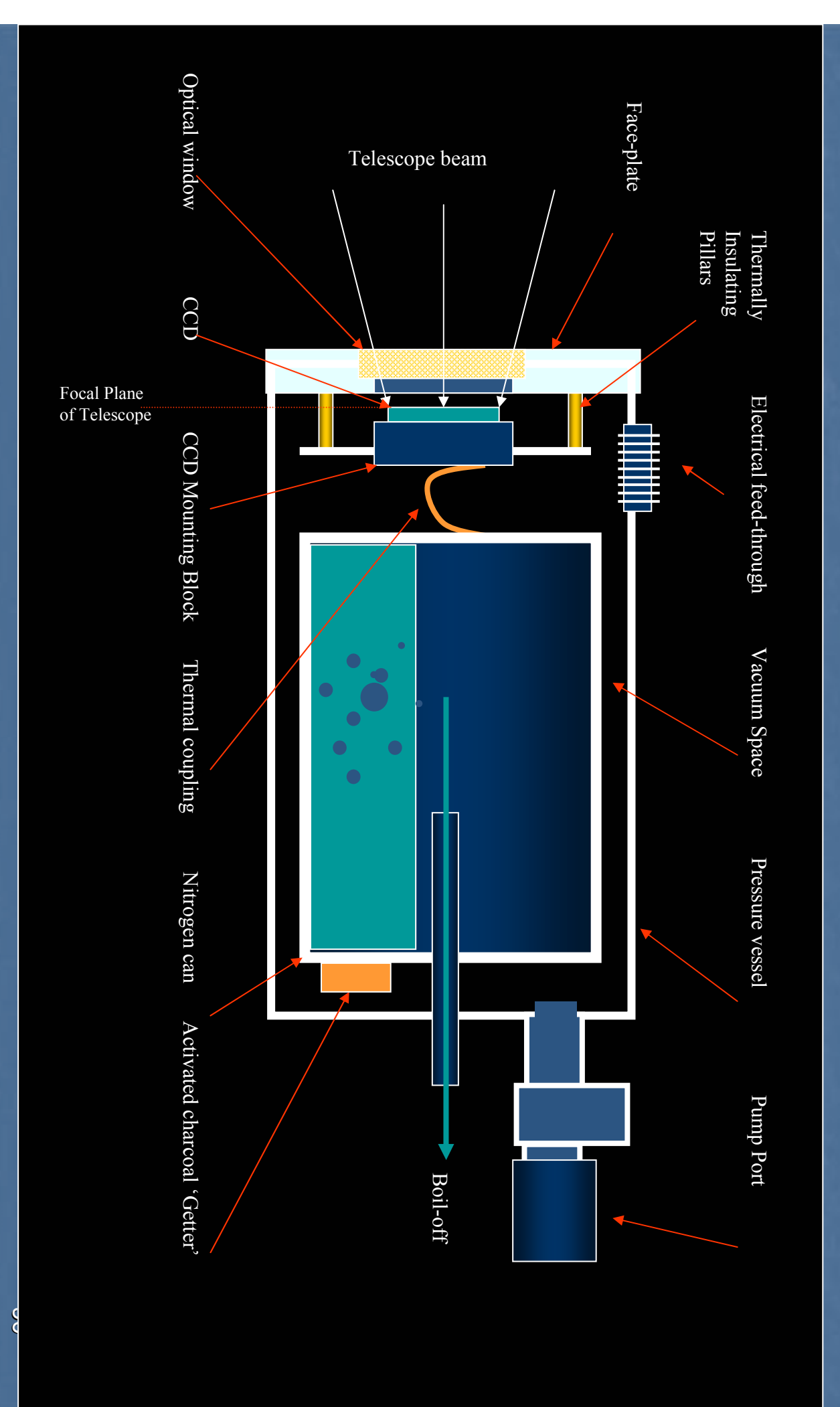
## Courant d'obscurité : refroidir à l'azote liquide

- Doit être capable de refroidir le/les CCD à -120°C
- Autonomie de 48h
- vide de 6x10-6 mB
- Applications scientifiques

Cryostat classique à bain d'azote liquide



## Courant d'obscurité : refroidir à l'azote liquide



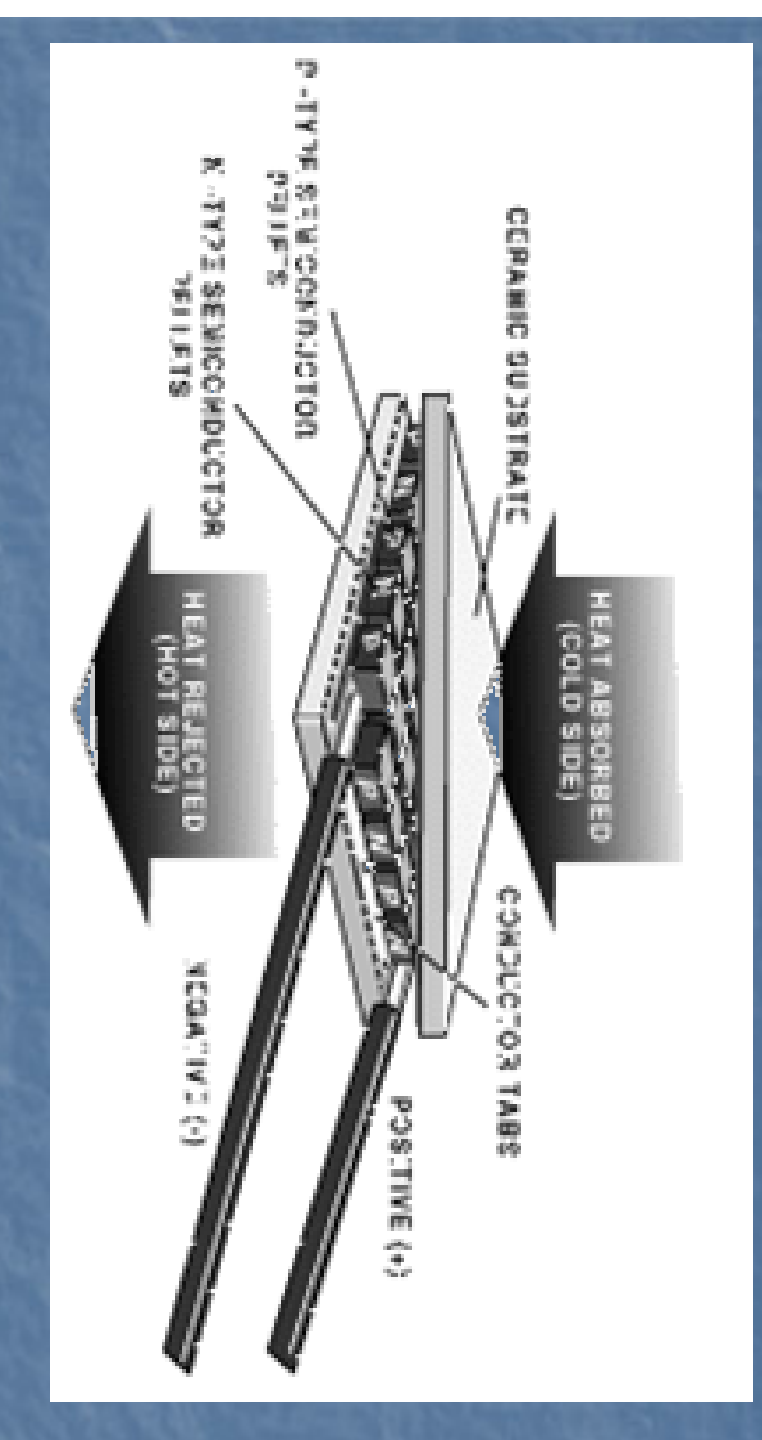
### Refroidissement LN<sup>2</sup>

### Cryostat à flux continu d'Azote liquide

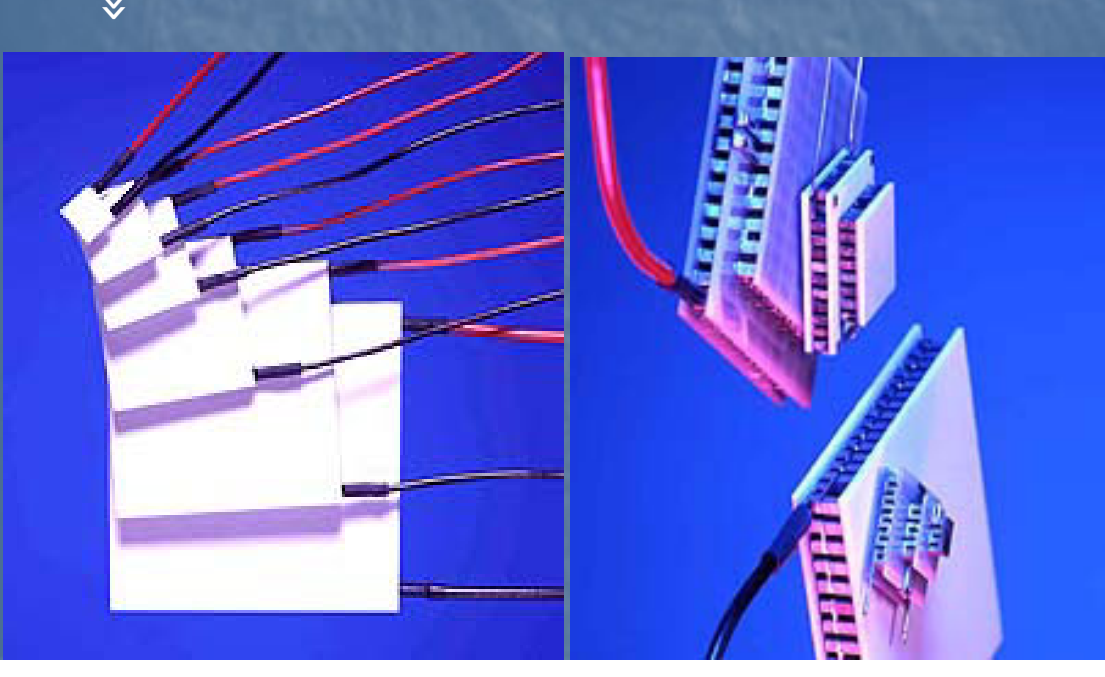
- Autonomie de 7 jours
- Adapté aux instruments sur fixe (spectrographe...
- très compact, refroidissement très rapide



# Refroidissement Détecteurs Modules Peltiers



- Passage d'un courant = pompe à chaleur
- Compact et efficace jusqu'à des ∆T de 50°C
- Utilisé pour la régulation thermique des détecteurs
- Existe sous forme intégrée avec le détecteur « Peltier package »
- Economique



# Drain anti-éblouissement : anti-blooming

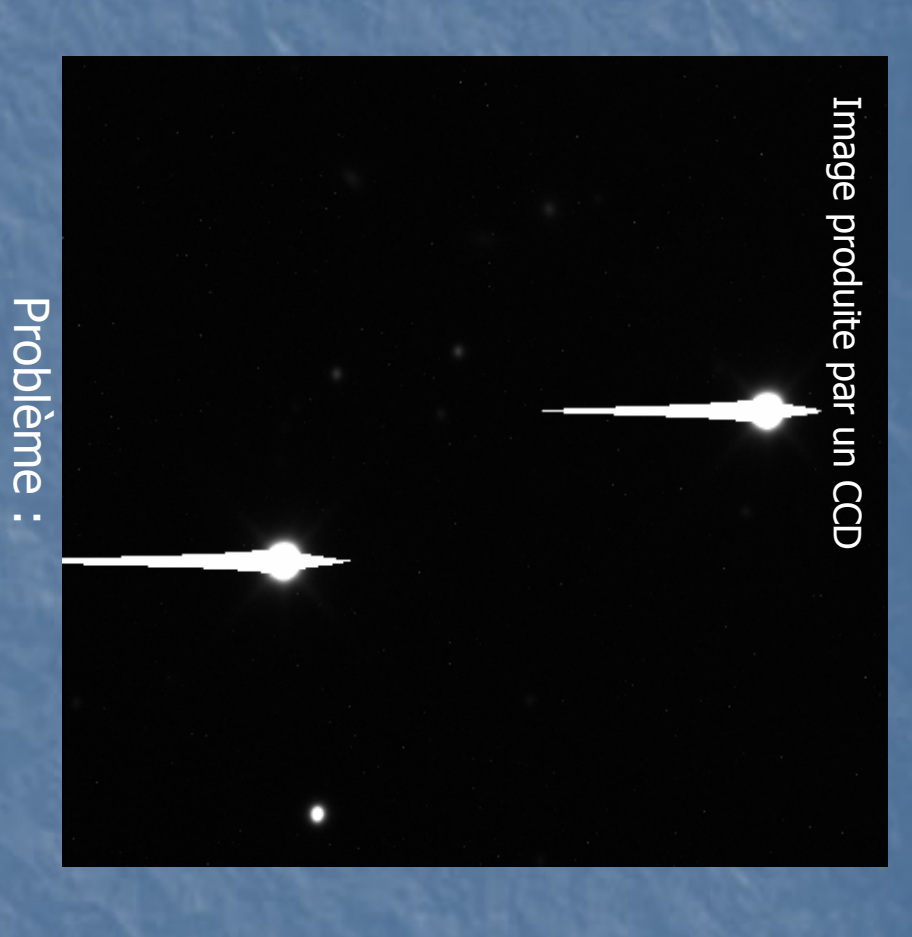
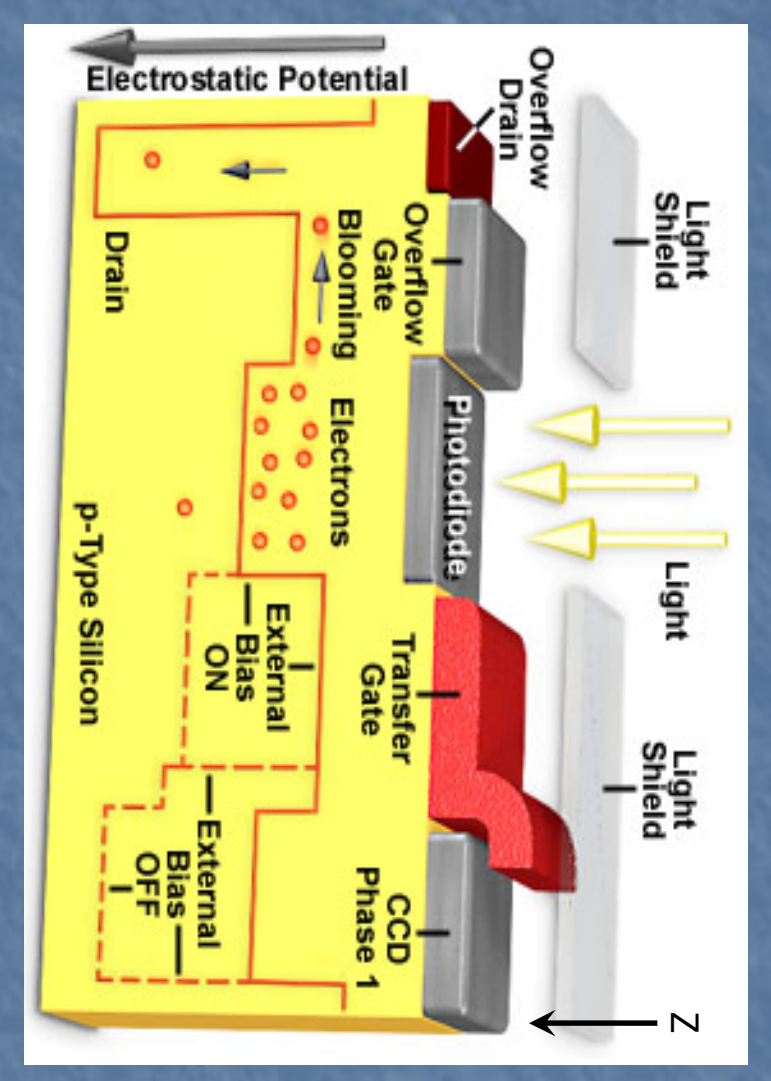


Image de 2 spots, très brillants où Q = 10 Qsat



- Très efficace
- •Pas de blooming jusqu'à : Q = 1000 Qsat
- Mais baisse de rendement quantique

PRNU (Photo Response Non Uniformity): Uniformité de réponse spatiale

pixel-pixel



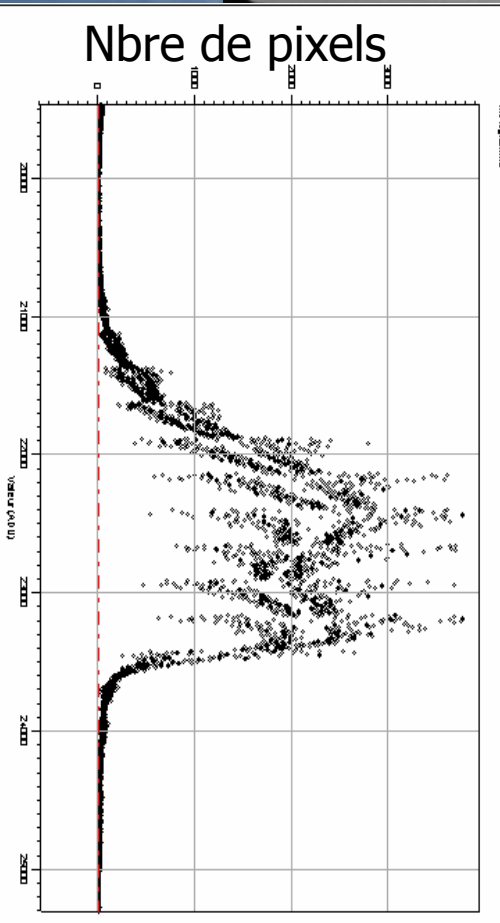
Image d'un CCD parfait, limité par le bruit de photons



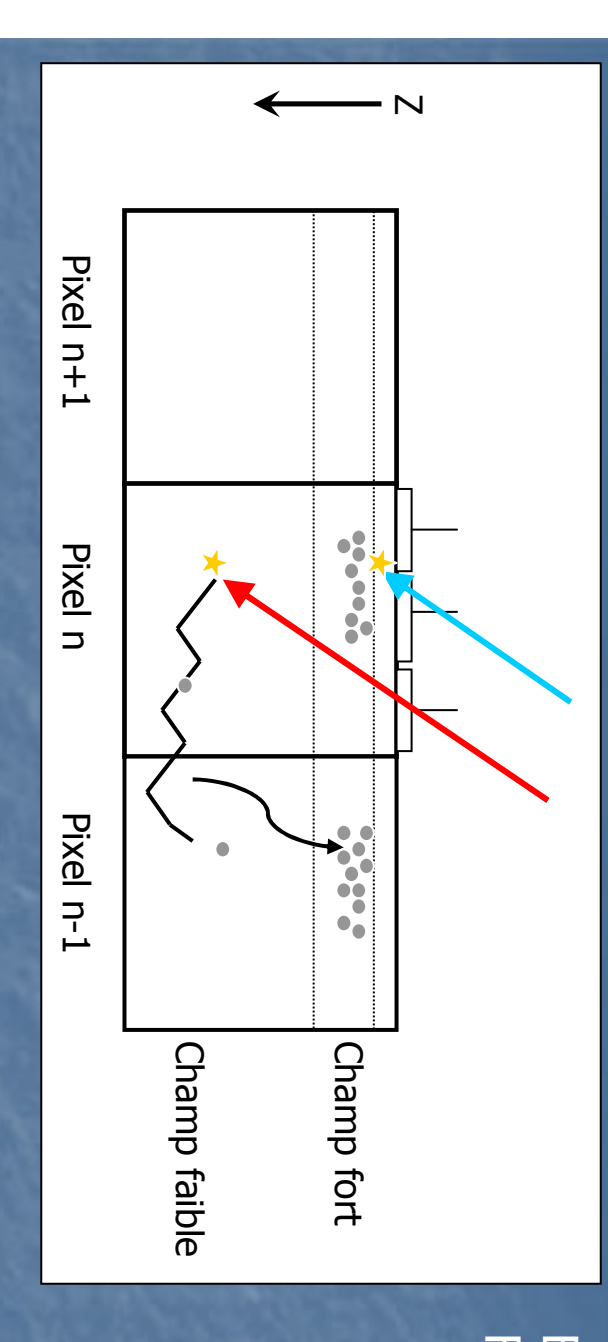
Intensité

94

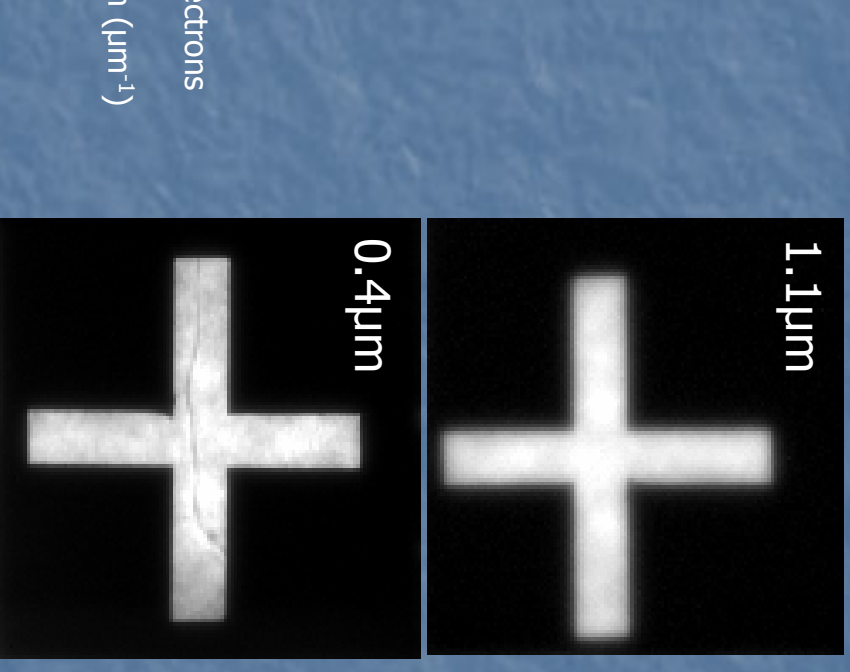
-De l'ordre de qq % - Variable avec  $\lambda$ 



### Pollution pixel - pixels : Crosstalk



Effet : sur la netteté ou la FTM des images



#### Spectralement dépendant

$$FTM_{diff}(f,\lambda) = \frac{1 - \frac{e^{-\alpha(\lambda).Xd}}{1 + \alpha.L_k(f)}}{1 - \frac{e^{-\alpha(\lambda).Xd}}{1 + \alpha.L_n}}$$
$$L_k(f) = \sqrt{\frac{1}{L_n^2} + (2\pi.f)^2}$$

Xd : profondeur de la zone dépeuplée f : la fréquence spatiale pl/mm.

Ln : est la longueur (µm) de diffusion des électrons dans le silicium.

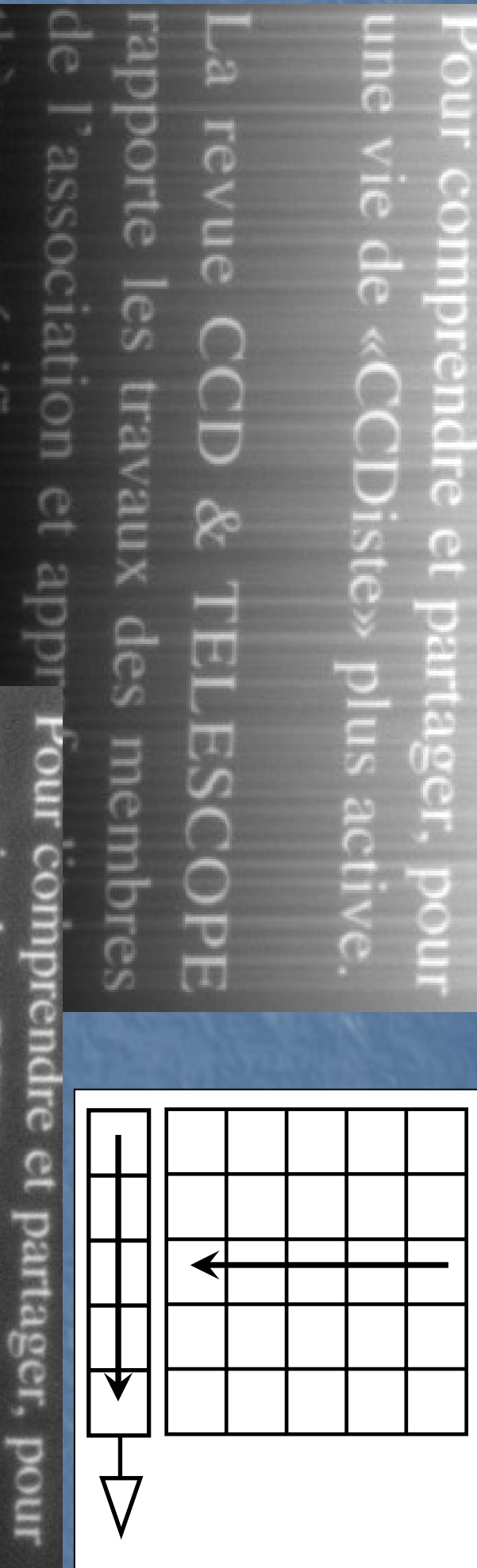
 $\alpha(\lambda)$  est le coefficient d'absorption du silicium (µm<sup>-1</sup>)

- Pénétration des photons Bleus sur qq nm
- Pénétration des photons Rouges sur plusieurs µm
- Diffusion des photo électrons
- FTM en Sinc si  $\lambda$  < 0.5 µm

### Smearing (lecture et intégration)

rapporte les travaux des membres revue CCD & TELESCOPE

Full Frame



Lecture + integration combinée <u>Caméra sans obturateur</u> thèmes spécifiques com une vie de «CCDiste» plus active

Caméra avec obturateur themes specifiques comme de l'association et approfondit les rapporte les travaux des membres La revue CCD & TELESCOPE

Les photons n'illuminent plus les pixels pd la lecture

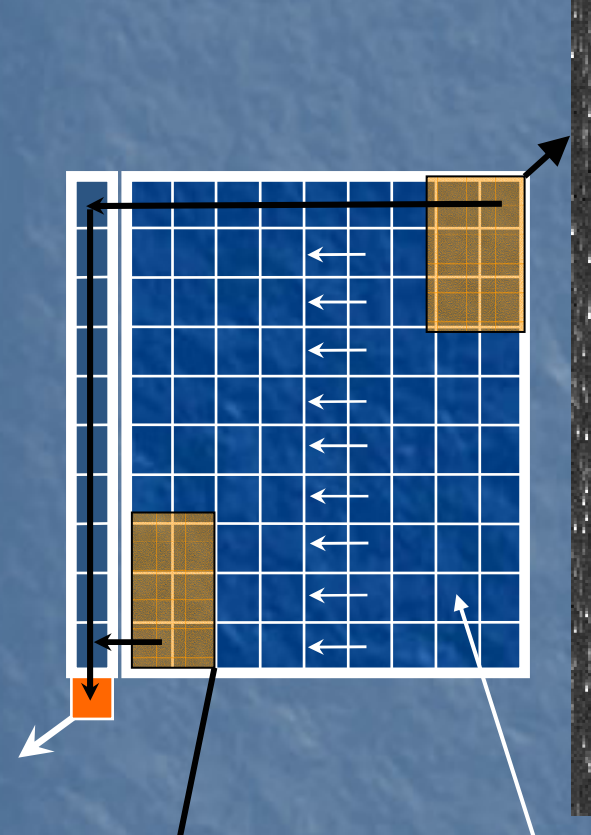
### CTE : Charge transfer efficiency

- D'un pixel à l'autre l'efficacité de transfert n'est pas de 1 mais tjrs < 1</li>
- Perte de charges sur le pixel suivant, image floue



CTE Horizontal <> CTE vertical

- -Plus critique en transfert horizontal car transferts plus rapides
- -Variable dans l'image, car le nombre de transfer varie dans l'image.



П < - Ipixel(i,j)

CTE = 0.99999 , 4096 transfert : 95.9%

CTE = 0.999999, 4096 transfert : 99.5%

Ipixel(i,j) \* CTE Nombre de transfert

CTE = 0.99999

lmage produite par un CCD

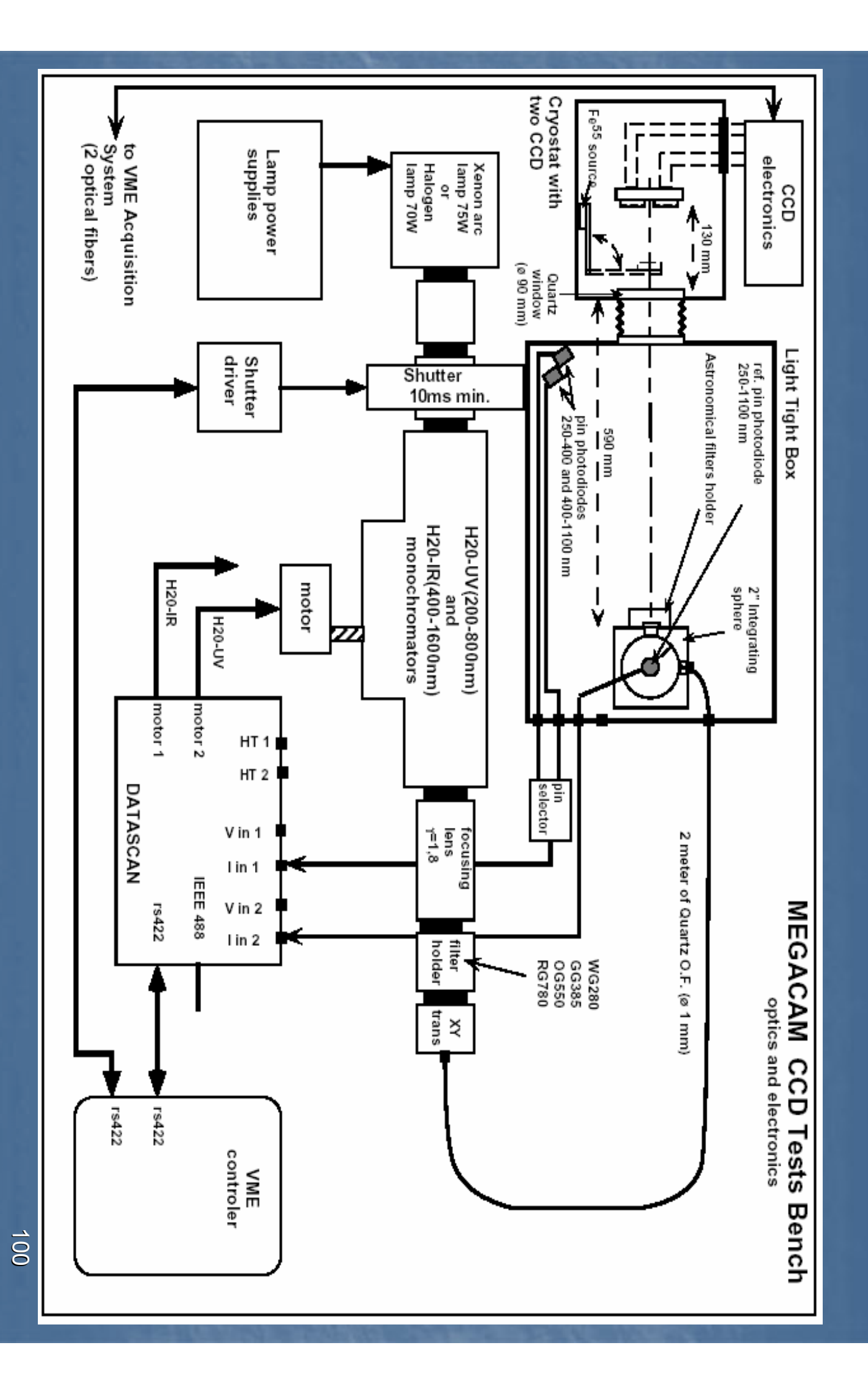
Un problème pour les grands CCDs

# Paramètres important dans un CCD et leur caractérisation

- Taille de pixels et leur nombre : aspect ratio, optique associée
- Rendement quantique (domaine spectral retenu)
- Fill Factor
- Qualité cosmétique (défauts de pixels, colonnes)
- Bruit de lecture (critique si peu de photons)
- Courant d'obscurité (critique si Tint > 1s)
- Linéarité (critique pour applis scientifiques)
- Dynamique (12, 14, 16 bits)
- Vitesse de lecture (critique pour du temps réel)
- Architecture du CCD (full frame ... obturateur ou pas)
- CCD couleur ou N&B
- Anti blooming
- Efficacité de transfert de charges
- Possibilité de binning ou pas
- Facilité de mise en œuvre : nbre de phase, de pins, tensions
- Nombre de sorties

# Un banc de test de CCD et de leur caractérisation

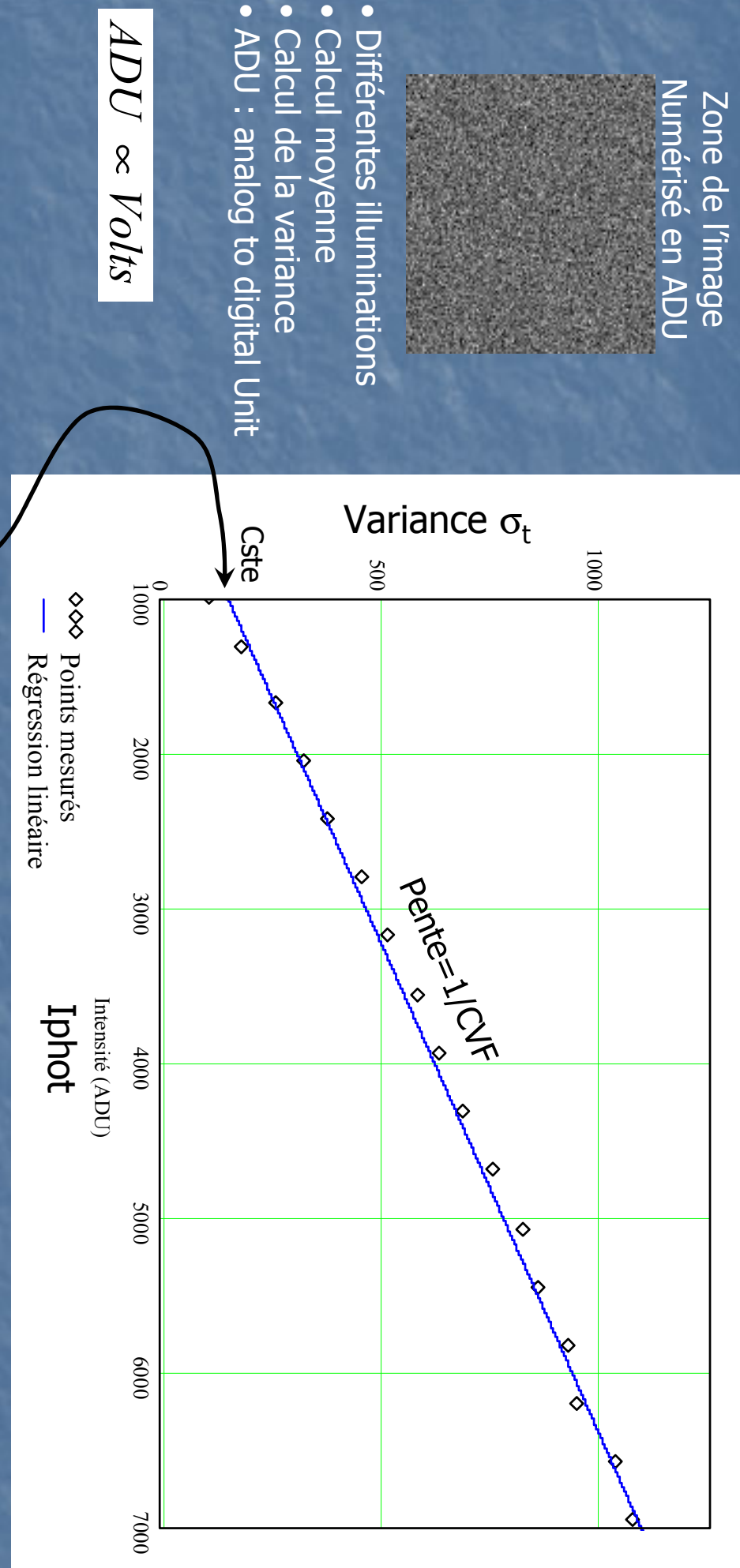




Courbe de transfert photonique « Photonic transfer curve » : Facteur de conversion (CVF)

Zone de l'image Numérisé en ADU

- Calcul moyenne
- Calcul de la variance
- ADU: analog to digital Unit



 $ADU \sim Volts$ 

CVF Iphoti+  $CVF^{\frac{1}{2}} \cdot \sigma_{lec}$ 

CVF en µV/e-, LSB/e- ou ADU/e-Typ.  $30\mu\text{V/e-}$  à  $1.5\mu\text{V/e-}$ 

101

### Linéarité de réponse et dynamique

#### Ivolt 0,2 9.0 0.8 10ne Lineaire 8 ŧ Temps de pose en Ms 8 Ecart de linéarité Linearite Qmax 8 140 Kines ë

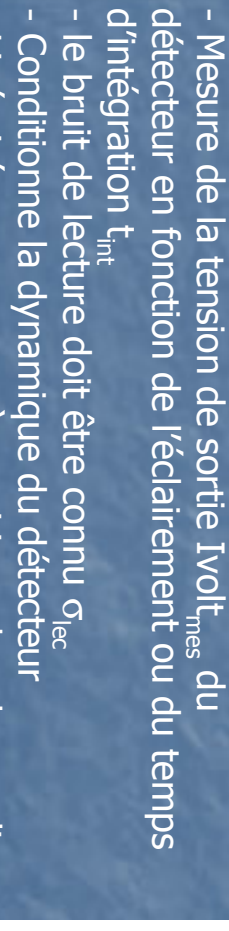
#### Dynamique

$$D(dB) = 20 \cdot \log \left( \frac{Q_{\text{max}}}{\sigma_{lec}} \right)$$

#### $D(Bits) = \ln\left(\frac{Q_{\text{max}}}{\sigma_{lec}}\right) / \ln(2)$

#### Non linéarité

$$NL\%(t_{\rm int}) = \frac{\left| Nolt_{mes}(t_{\rm int}) - Nolt_{th\acute{e}o}(t_{\rm int}) \right| *100}{Nolt_{th\acute{e}o}(t_{\rm int})}$$

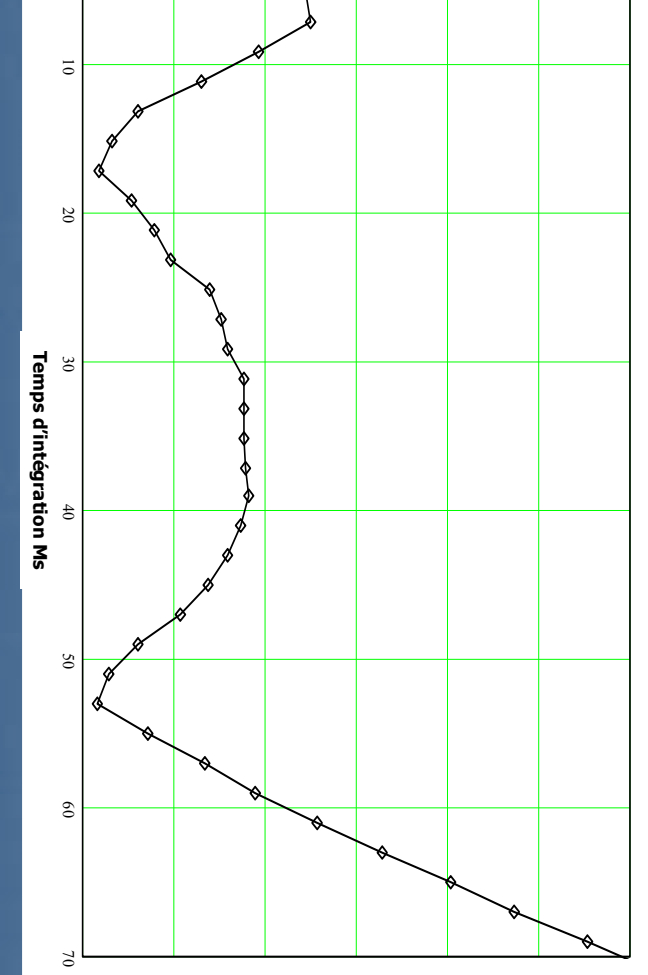


Non linéarité %

1.5

- scientifique Linéarité est un paramètre critique dans les applis

0.5



# Performances CCD scientifiques/standards

#### <u>Bruit</u>

- Scientifique (sc):
- 2 e<sup>-</sup> à 100Kpx/s (40s) bien adapté à des applications spectro.
  5.8e<sup>-</sup> à 625Kpx/s (7s) bien adapté à l'imagerie

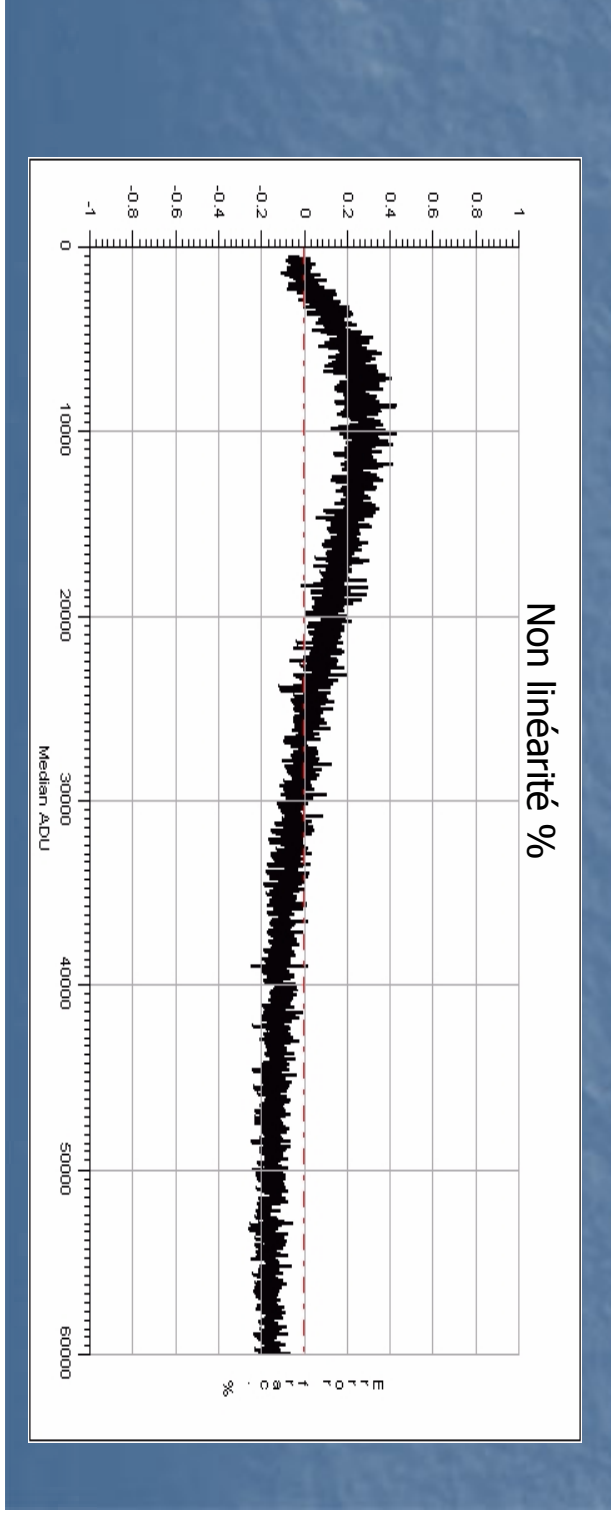
- 30 a 50 e- à plusieurs MegaPixels

#### Courant d 'obscurité :

- sc : qq e<sup>-</sup> /pixel/heure à -120°C
- autre: 10 e-/pixel/sec

### Efficacité de Transfert de charges : CTE

- sc : Toujours > 0.9999995
- autre: 0.999995

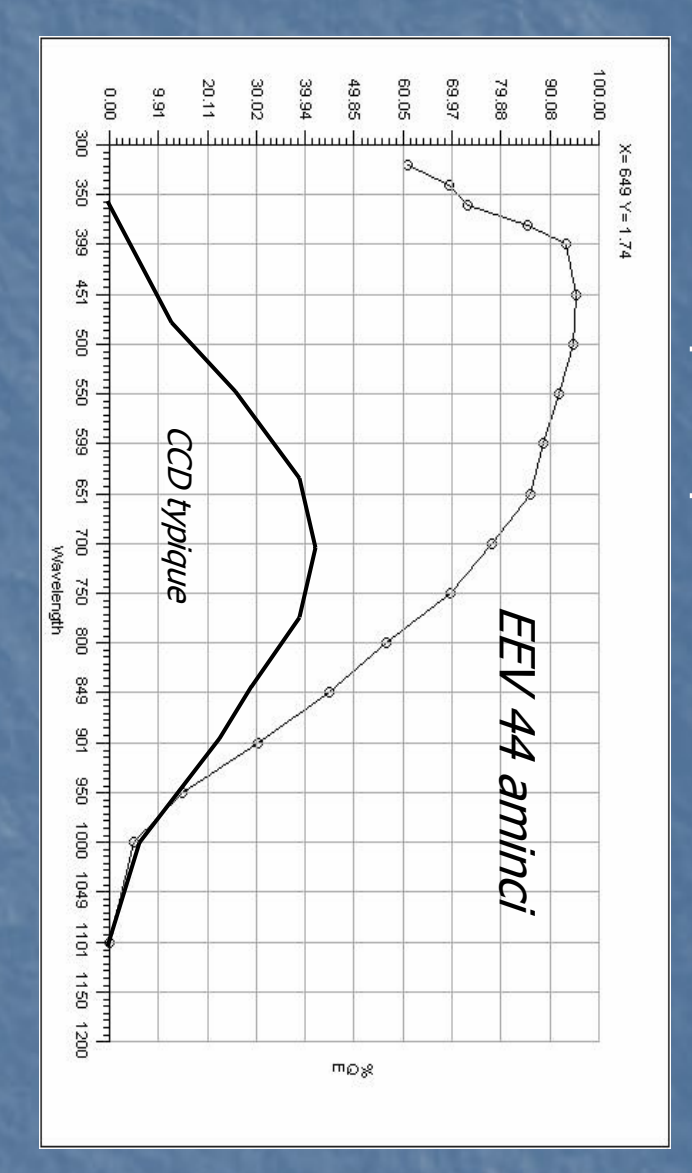


sc: < 1%</li>autre: 5-10%

Non Linéarité :

#### Performances

### Rendement quantique d'un CCD



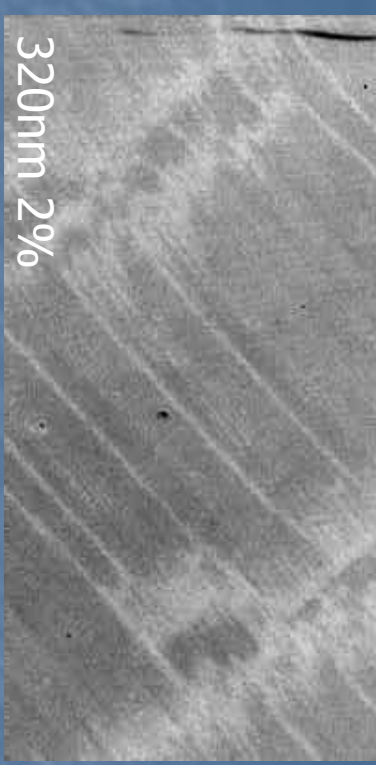
- Mesure très difficile
- Photodiode calibré en rendement absolu
- Nombreuses erreurs possibles

$$Photons(\lambda) * \frac{Median(I\lambda(X_1, Y_1, X_2, Y_2) - Bias(X_1, Y_1, X_2, Y_2)) * CVF}{Tex} + 100$$

$$Photons(\lambda) * \frac{DiodeFluxMeas(\lambda)}{DiodeFluxCalibration(\lambda)} * \frac{Pix^2}{100} * Window(\lambda)$$

Formule de calcul de QE à partir de données expérimentales

PRNU : uniformité de réponse en fcto de  $\lambda$ 



650nm <1%



Bande passante = 5nm Zone de l'image

#### Contrôleur CCD

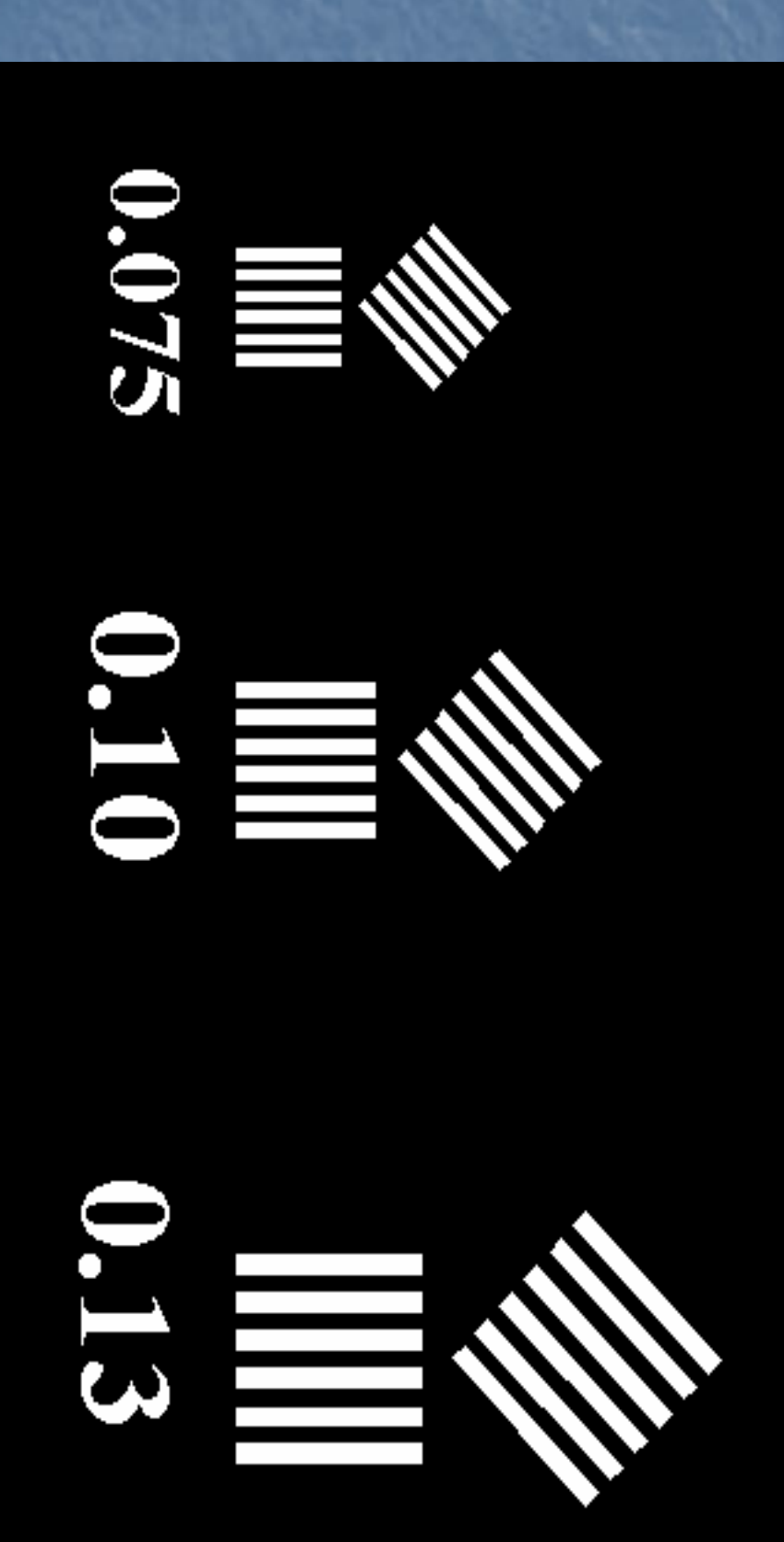
fibre ATM -> vers la station de Ethernet TCP/IP l'instrument sous SUN SPARC UNIX/Solaris Station UNIX LCU =local control Unit DSP TI Carte double Carte digitale /Sbus Fibre optique 1Gb/sec « Giga link » Cryostat Preamp 14 lignes 16 lignes 4 canaux Carte Horloge Carte Vidéo **Polarisations** Carte Carte digitale

# Contrôleur CCD (plus simple)

# Choix d'un capteur d'images (niveau système)

- Cahier des charges
- Nombre de pixels, taille du pixel
- optique : focale, champ
- critère de Nyquist
- Domaine spectral
- Conforme à la transmission optique
- Temps d'intégration minimum et maximum
- Nombre de Photons (éclairement)
- Détermine l'ouverture de l'optique
- Détermination du bruit du détecteur
- Calcul du SNR (Signal to Noise Ratio) pour différents éclairements
- Calcul de la dynamique
- Calcul du nombre de bits de numérisation
- Sortie numérique ou vidéo de type analogique
- (USB, fibre optique ...) Transmission des données numériques vers l'ordinateur

Image produite par un CCD



SNR (Signal to noise ratio) >>10000

## Calcul SNR et réponse totale

SNR par un pixel, pour un temps d'intégration t

Etape 1. Calcul du bruit N (pour un pixel), pour une fréquence de lecture f donnée

- Bruit de lecture
- Bruit du courant d'obscurité (statistique de Poisson)
- l- Bruit de photons (statistique de Poisson)

$$N = \sqrt{\sigma_{lec}(f)^2 + \sigma_{dark}(t,T)^2 + \sigma_{photons}(t,I)^2}$$

 $\sigma_{lec}(f)$ : mesuré

$$\sigma_{dark}(t,T) = \sqrt{t.Dc(T)}$$

$$\sigma_{photons}(t,I) = \sqrt{Photons} \_elec(t,I)$$

σ<sub>lec</sub> : Bruit de lecture en e-

σ<sub>dark</sub> : Bruit de courant d'obscurité en e-

σ<sub>photons</sub>: Bruit de photons en e-

Γ : température détecteur (°K)

t : temps de pose ou intégration (s)

I : Flux de photons (irradiance...

Dc(T) : courant d'obscurité e-/Pix/sec

$$SNR = \frac{S}{N}$$

Signal S = Photon\_electrons(t,I)

### Calcul SNR et réponse totale

Photons\_elec(t,I) = 
$$fc.So.t$$
  $\int_{0.2\mu m}^{1.1\mu m} I(\lambda)Qe(\lambda)\tau(\lambda)\frac{\lambda.10^{-6}}{hc}d\lambda$ 

• Qe() rendement quantique (e-/photon) en fonction de  $\lambda$ 

irradiance incidente (J/sec/cm $^2$ /µm) en fonction de  $\lambda$ 

οS<sub>0</sub> transmission (filtres, optique, atmosphère) en fonction de  $\lambda$ 

Surface de la pupille en cm²

optique) Facteur de concentration de toute la pupille sur un seul pixel (qualité

temps de pose en sec

La formule du calcul du nombre de photon par pixel varie en fonction du système optique associé

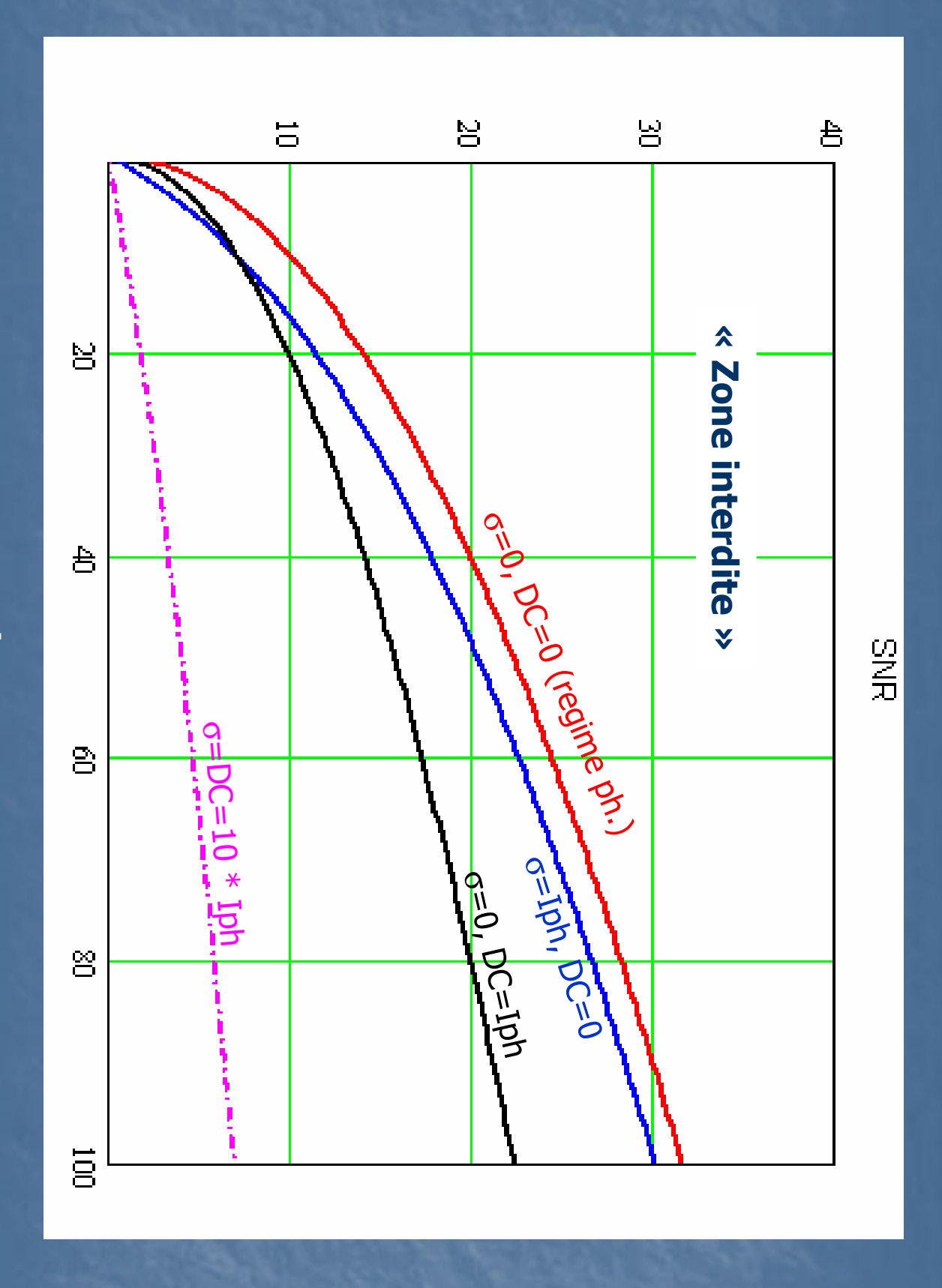
$$SNR = \frac{\int_{0.2\mu m}^{1.1\mu m} I(\lambda)Qe(\lambda)\tau(\lambda)\frac{\lambda.10^{-6}}{hc}d\lambda}{\int_{0.2\mu m}^{0.2\mu m} \int_{0.2\mu m}^{1.1\mu m} I(\lambda)Qe(\lambda)\tau(\lambda)\frac{\lambda.10^{-6}}{hc}d\lambda}$$

$$Iph = fc.So \int_{0.2\mu m}^{1.1\mu m} I(\lambda)Qe(\lambda)\tau(\lambda)\frac{\lambda.10^{-6}}{hc}d\lambda$$

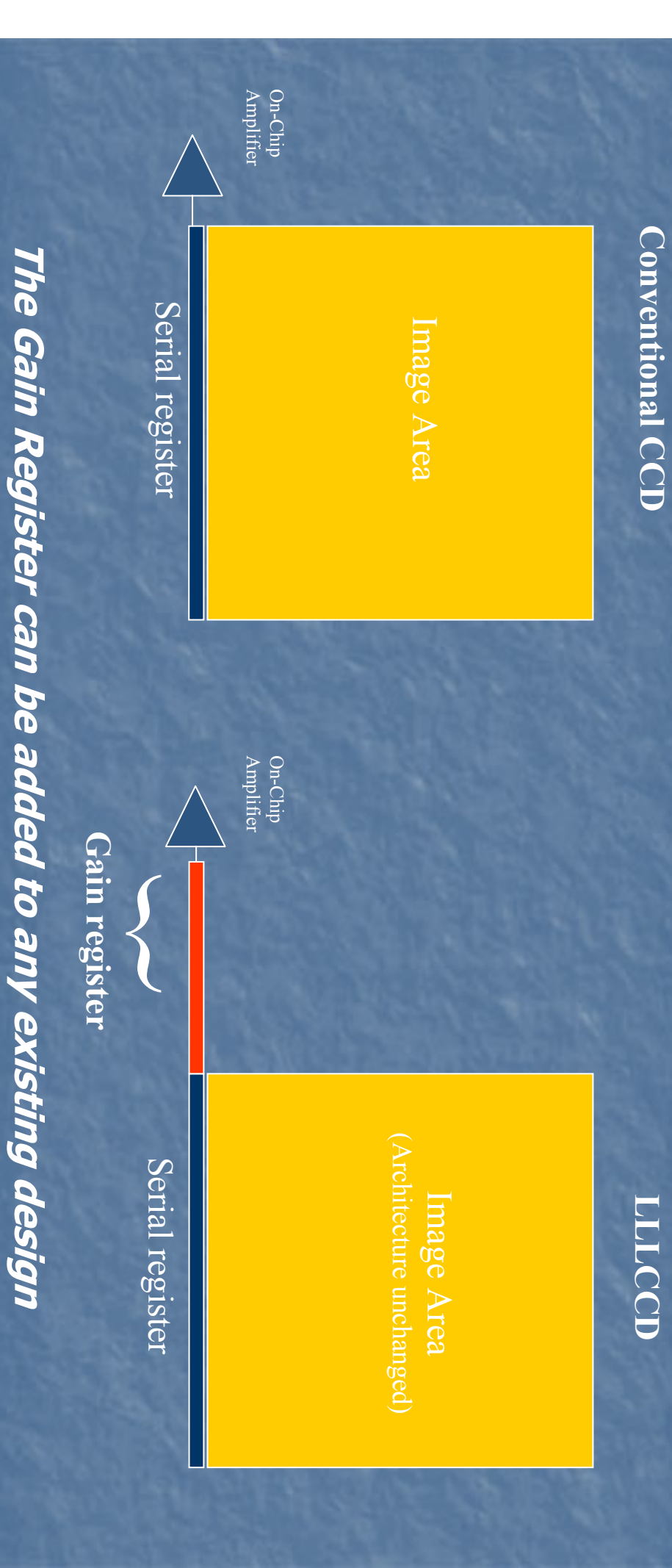
- Permet de dimensionner un système, et d'en connaître le SNR

 $\sqrt{\sigma_{lec}(f)^2} + t.(Dc(T) + Iph)$ 

- Cas idéal (pas de bruit de lecture, pas de courant d'obs.) Le SNR croit en Racine de Iph\*t
- Le bruit de lecture est souvent prépondérant lorsque t est petit
- Limite naturelle de bruit de photons infranchissable
- Régime atteint pour de fort éclairements, ou Dc et σ négligeables devant Iph



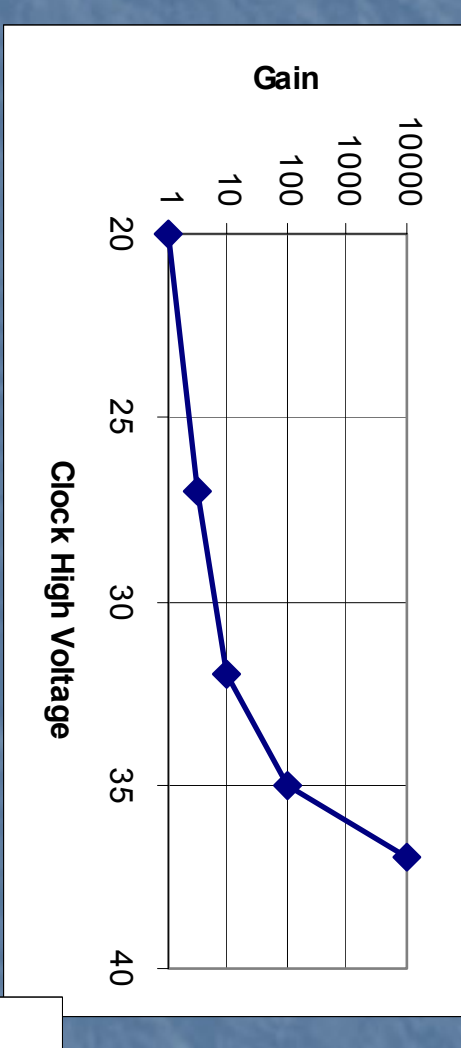
# LLL CCD or zéro readout noise CCD: Principe



1e- turns into 100e-, so compare it to 10e- provided by the CCD amplifier (!)

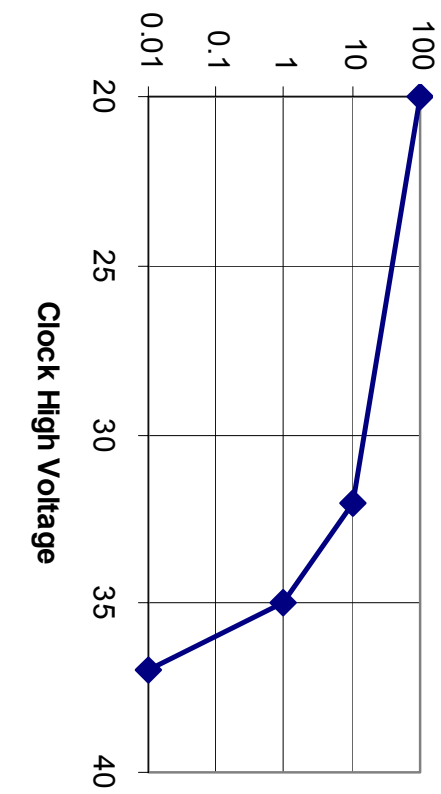
### Multiplication Clocking 4





#### Equivalent noise electrons RMS

**Readout Noise of CCD65** 



#### Noise equations

## Conventional CCD SNR Equation

SNR = Q.I.t. 
$$\left[Q.t.I + N_r^2\right]^{-0.5}$$

Trade-off between readout speed and readout noise

Very hard to get N<sub>r</sub> < 3e, and then only by slowing down the readout significantly. At TV frame rates, noise > 50e

#### **LLLCCD SNR Equation**

Readout speed and readout noise are decoupled

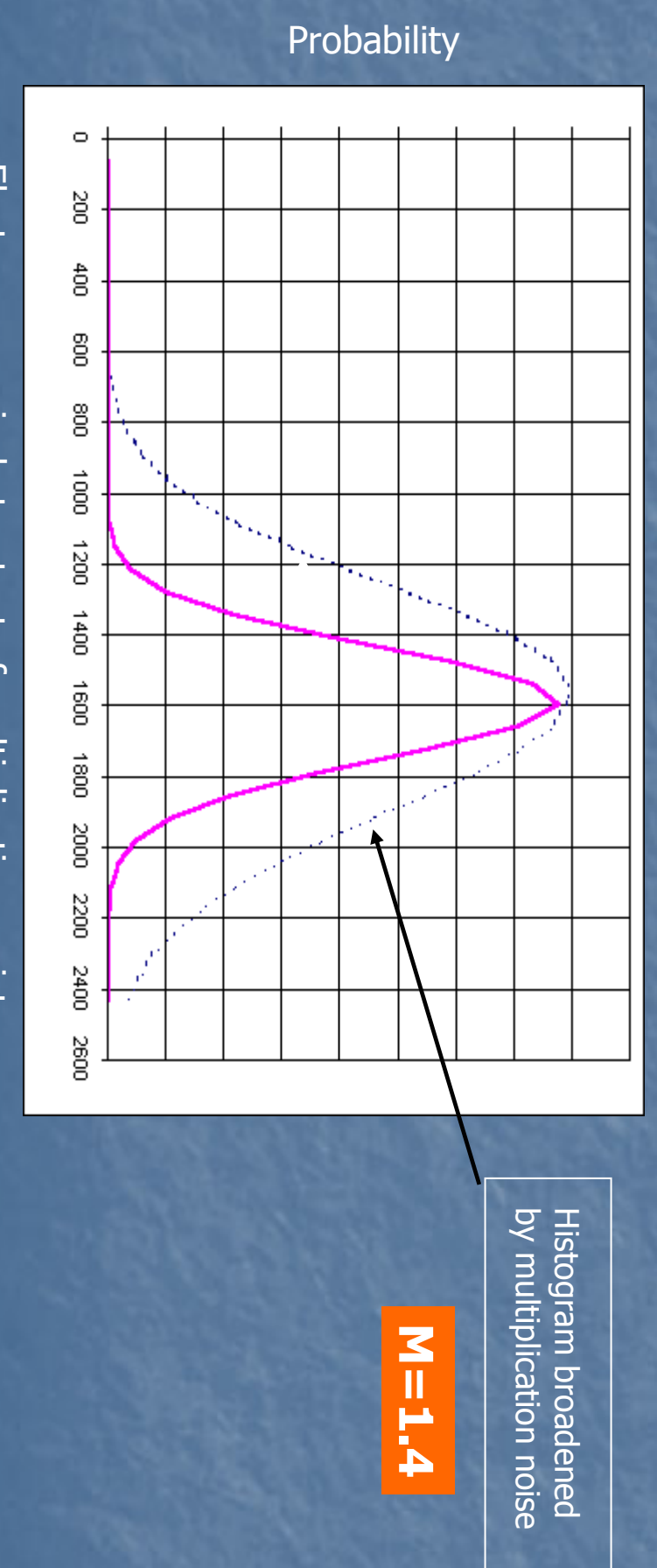
With G set sufficiently high, this term goes to zero, even at TV frame rates.

#### Multiplication Noise

In this example, A flat field image is read out through the multiplication register. Mean illumination is 16e/pixel. Multiplication register gain =100

Ideal Histogram, StdDev=Gain x (Mean Illumination in electrons ) $^{0.5}$ 

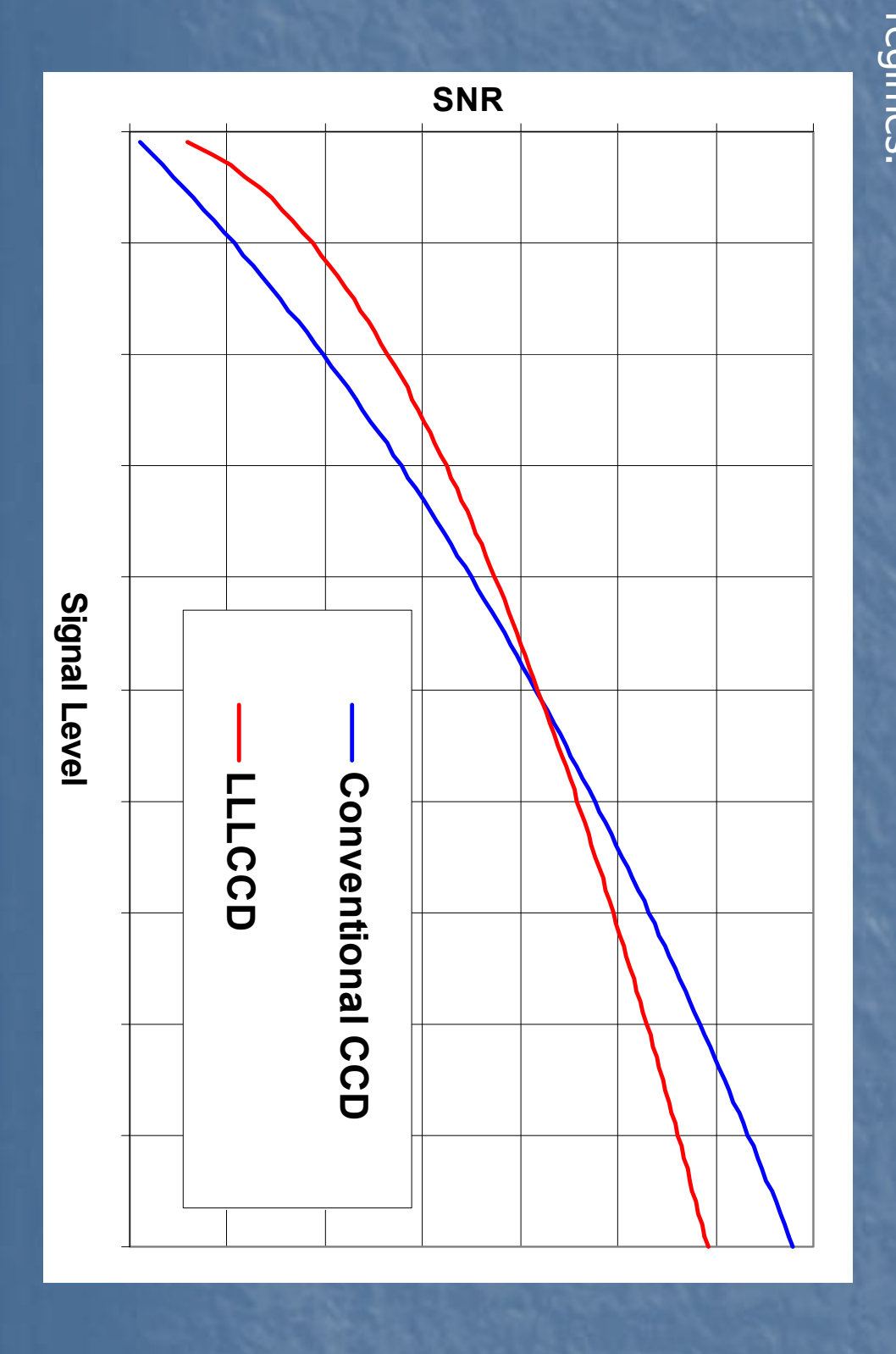
Actual Histogram, StdDev=Gain  $\times$  (Mean Illumination in electrons )<sup>0.5</sup>  $\times$  M



Electrons per pixel at output of multiplication register

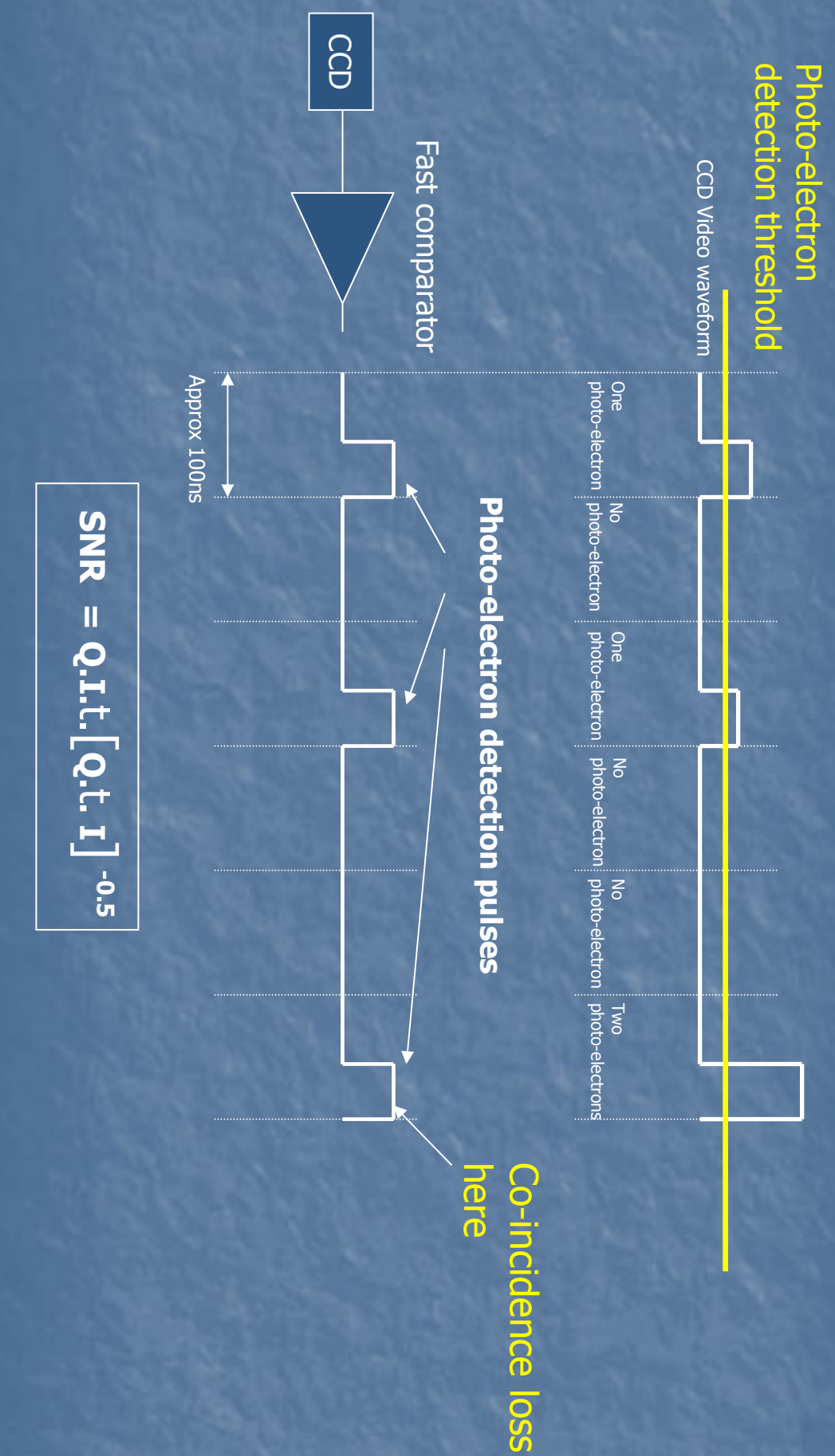
#### Multiplication Noise

Multiplication noise has the same effect as a reduction of QE by a factor of two. In high signal environments, LLLCCDs will generally perform worse than conventional CCDs. They come into their own, however, in low signal, high-speed



#### Photon counting

Offers a way of removing multiplication noise.



Noiseless Detector

#### L3 CCD Conclusion

# The three operational regimes of LLLCCDs

#### 1) Unity Gain Mode

will be a trade-off with the read-noise. to obtain low read noise (4 electrons would be typical). Higher readout speeds possible but there quadrature with the amplifier read noise. In general a slow readout is required (300KPix/second) The CCD operates normally with the SNR dictated by the photon shot noise added in

#### High Gain Mode.

by a factor of 1.4. Read noise is de-coupled from read-out speed. Very high speed readout Gain set sufficiently high to make noise in the readout amplifier of the CCD negligible possible, up to 11MPixels per second, although in practice the frame rate will probably be limited by factors external to the CCD. The drawback is the introduction of Multiplication Noise that reduces the SNR

## Photon Counting Mode.

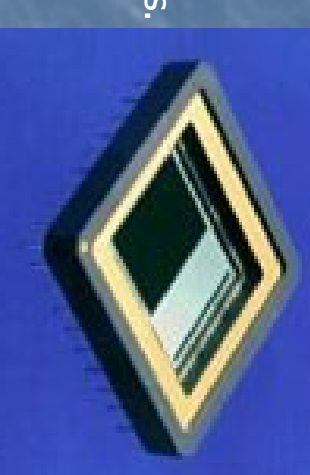
of the comparator is then treated as a single photo-electron of equal weight. Multiplication Gain is again set high but the video waveform is passed through a comparator. Each trigger noise is thus eliminated. Risk of coincidence losses at higher illumination levels

#### Marconi LLLCCD

#### CCD65

Aimed at TV applications as a substitute for image tube sensors. 576 x 288 pixels. Thick frontside illuminated, peak QE of 35%.

20 x 30um pixels



Camera systems based on this chip available winter 2001

#### CCD 60

128x 128 pixel, thinned, has been built but still under development. For possible application to Wavefront Sensing.

Low Priority for Marconi without encouragement from the astronomical community

#### CCD 79,86,87

Proposed future devices up to 1K square, > 10 frames per second readout at sub-electron noise levels.

As above

#### Acteurs du CCD

Scientifique	Japon	Hamamatsu
Imagerie médicale Aéroporté Mil.	USA	Fairchild
Leader en CCD scientifique	<del>S</del>	E2V (Marconi/EEV)
	2	
Imagerie médicale	France	ATMEL
Contrôle non destructif	USA	Dalsa (ex Philips)
Giaila public – scientinique	OSA	NOCION NOCIONAL PROPERTIES NOCIONAL PROPERTIE
	100	
Grand public	USA	Texas Instrument
Grand public	Japon	Sony
יימיכוכ	T Q y O	
Marchó	Dave	Sociótó

### Conclusions CCD

- CCD:
- technologie très mature et bien maîtrisée
- Capteur parfait?
- essentiel du marché « VISION »
- tiré par marché « grand public »
- objet de recherches en vue d'améliorer performances
- Bruit, QE, nombre de pixels
- Mais
- Utilise une technologie très spécifique
- Le transfert de charge.. Limitation Grand format
- Tensions élevées (non compatibles 5v ou 3.3v)
- Cher et lent à lire...
- Une alternative ? Les capteurs CMOS...

# Capteur d'images APS - CMOS

APS: Active Pixels Sensors

## CCD et CMOS : Définitions

CCD: Charge-Coupled Devices:

Technologie mise au point par Bell Labs début des années 1970

Capteur d 'image CMOS :

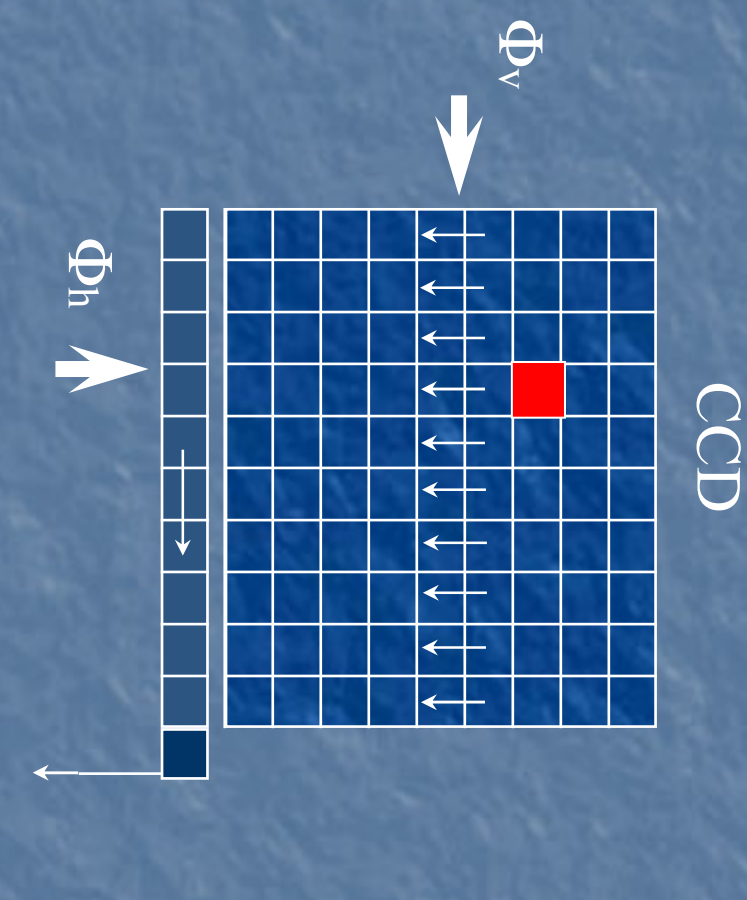
Technologie mise au point par JPL (Nasa) au milieu de 1990

CMOS: Complementary Metal-Oxide semiconductor:

Technologie utilisée pour réaliser plupart des CPU et mémoires.

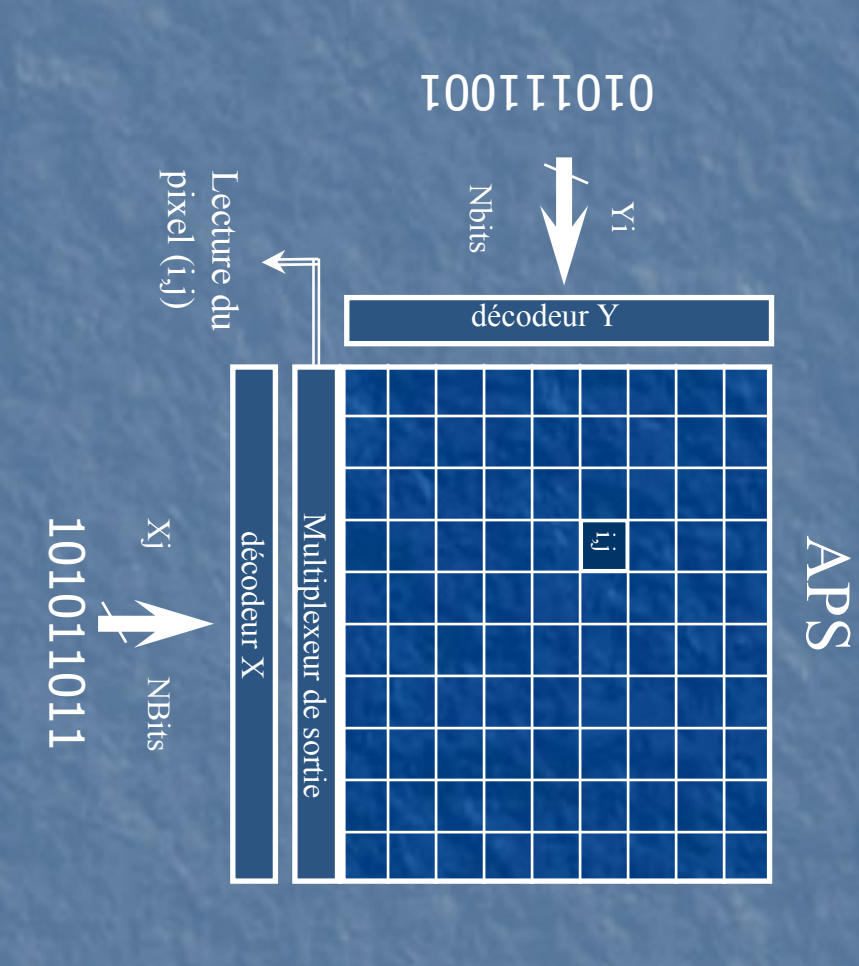
### Qu'est ce qu'un APS?

APS = Active Pixel Sensor



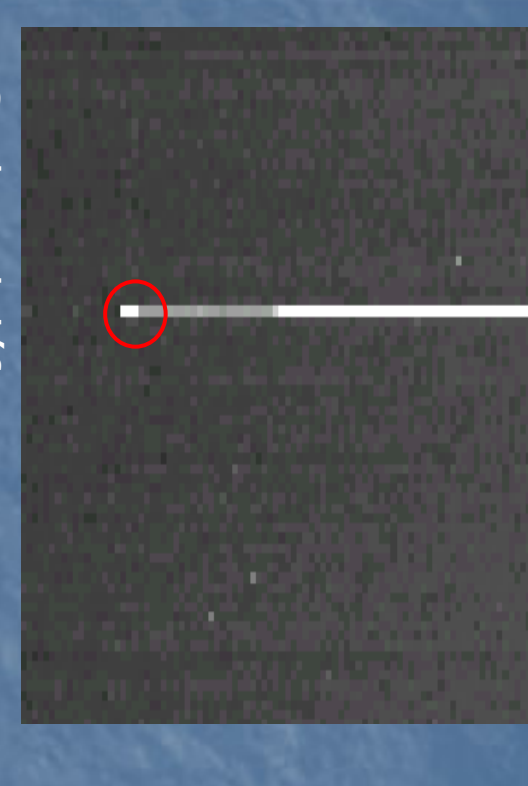
Tension de sortie du CCD

- Transfert de charges!



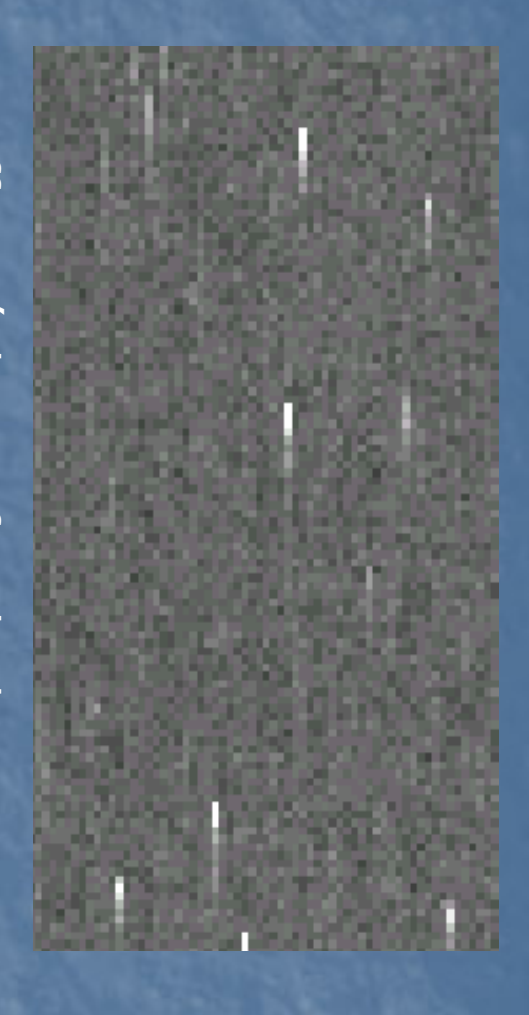
- Camera CCD Lecture aléatoire
- CMOS compatible (5V)
- Pas de transfert de charges!

## Le CCD et le transfert des charges



- Seul pixel défectueux
- Tte la colonne défectueuse



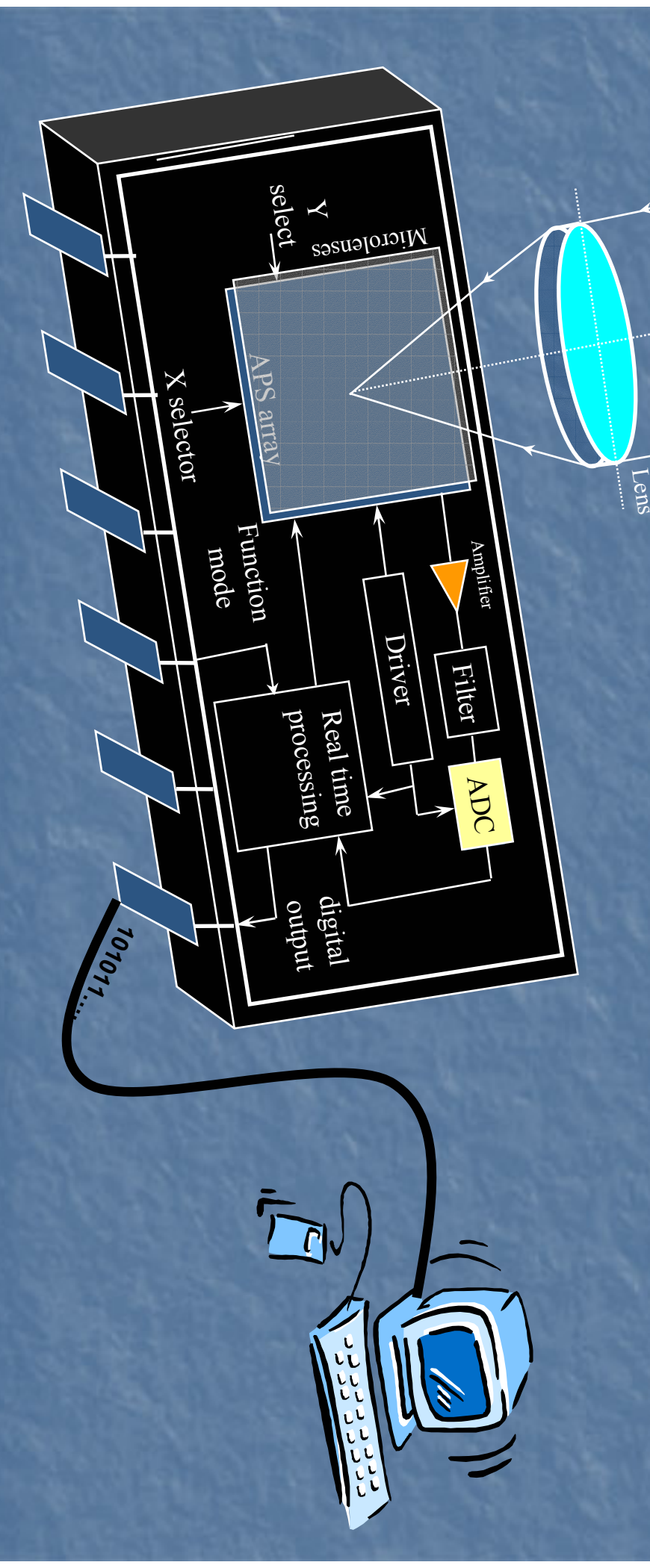


- Inefficacité de transfert de charges
- Rend difficile la réalisation de grandes
- Environnement spatial ou soumis aux radiations

- Effet de Blooming Dégradation de la qualité cosmétique de l'image
- CCD anti-blooming

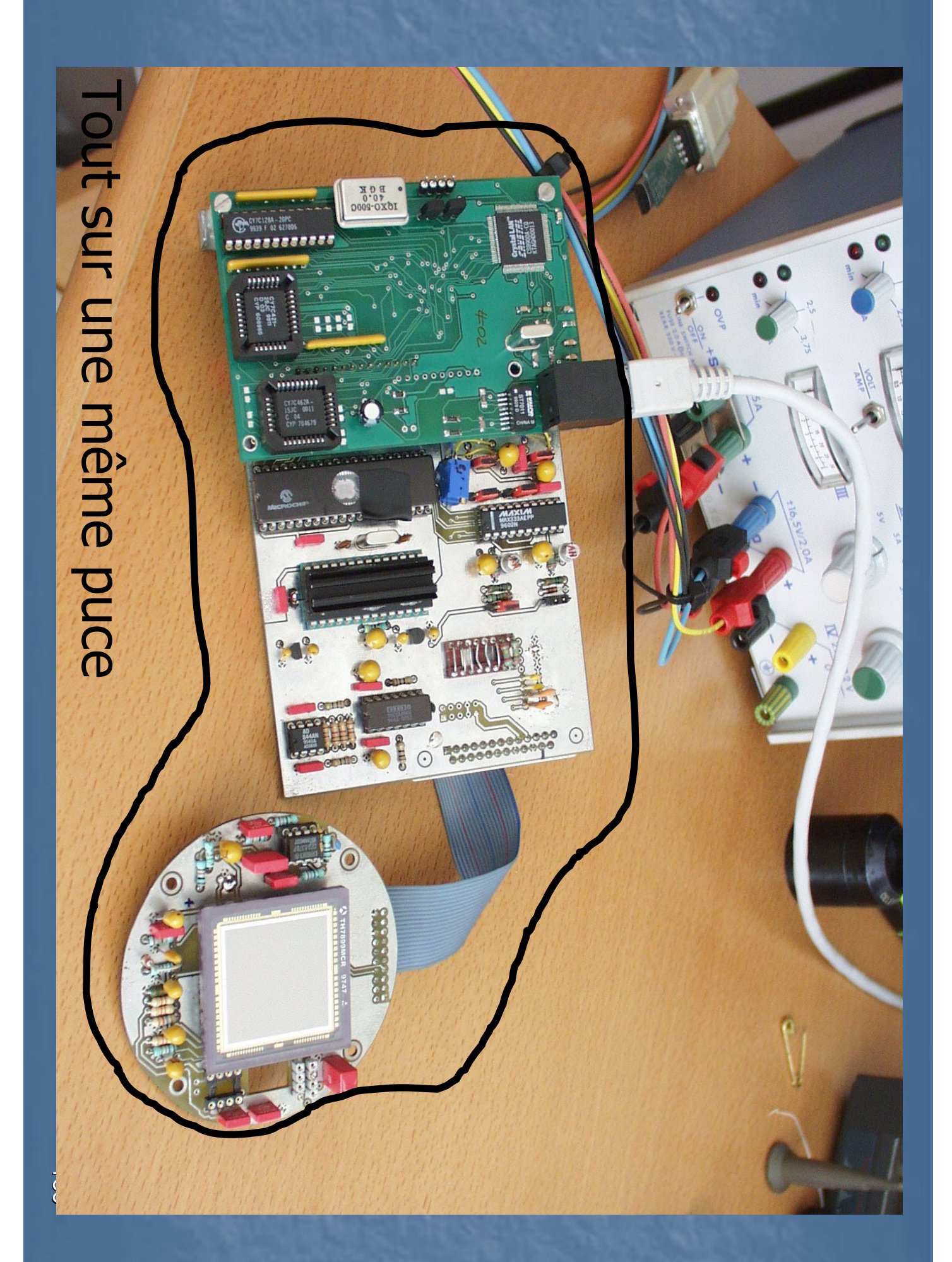


- Moins cher que le CCD
- Meilleur rendement de fabrication.



 Intégration de toute l'électronique sur une seule puce.

- Encombrement réduit
- Faible consommation qq mW (5 à 10 fois moins qu'un CCD)





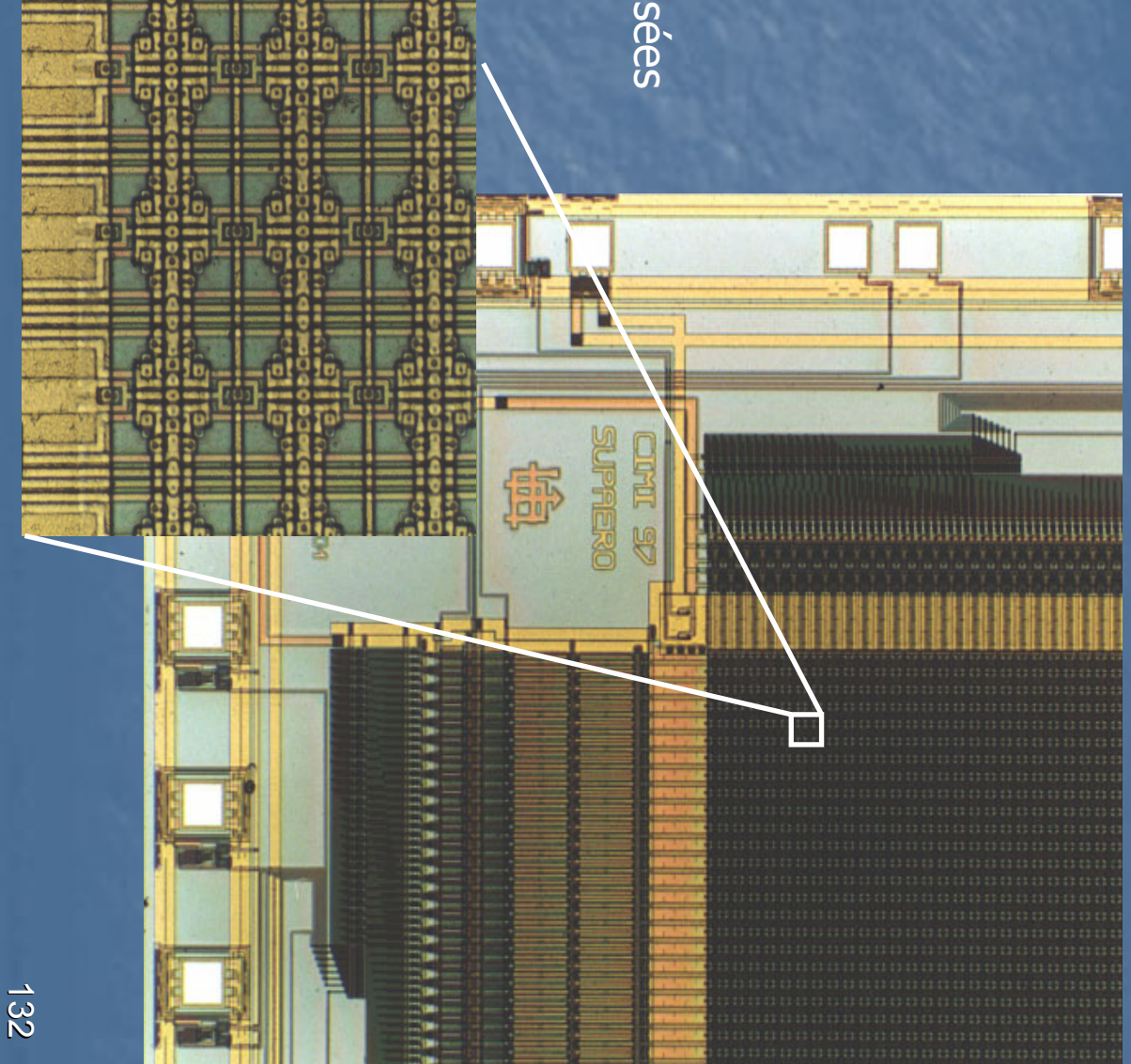
©2003 Phil Askey

## A quoi ca ressemble ?



- APS 2048x2048 IMEC
- Grande surfaces rapidement réalisées depuis 1995
- Détecteurs 24x36 mm

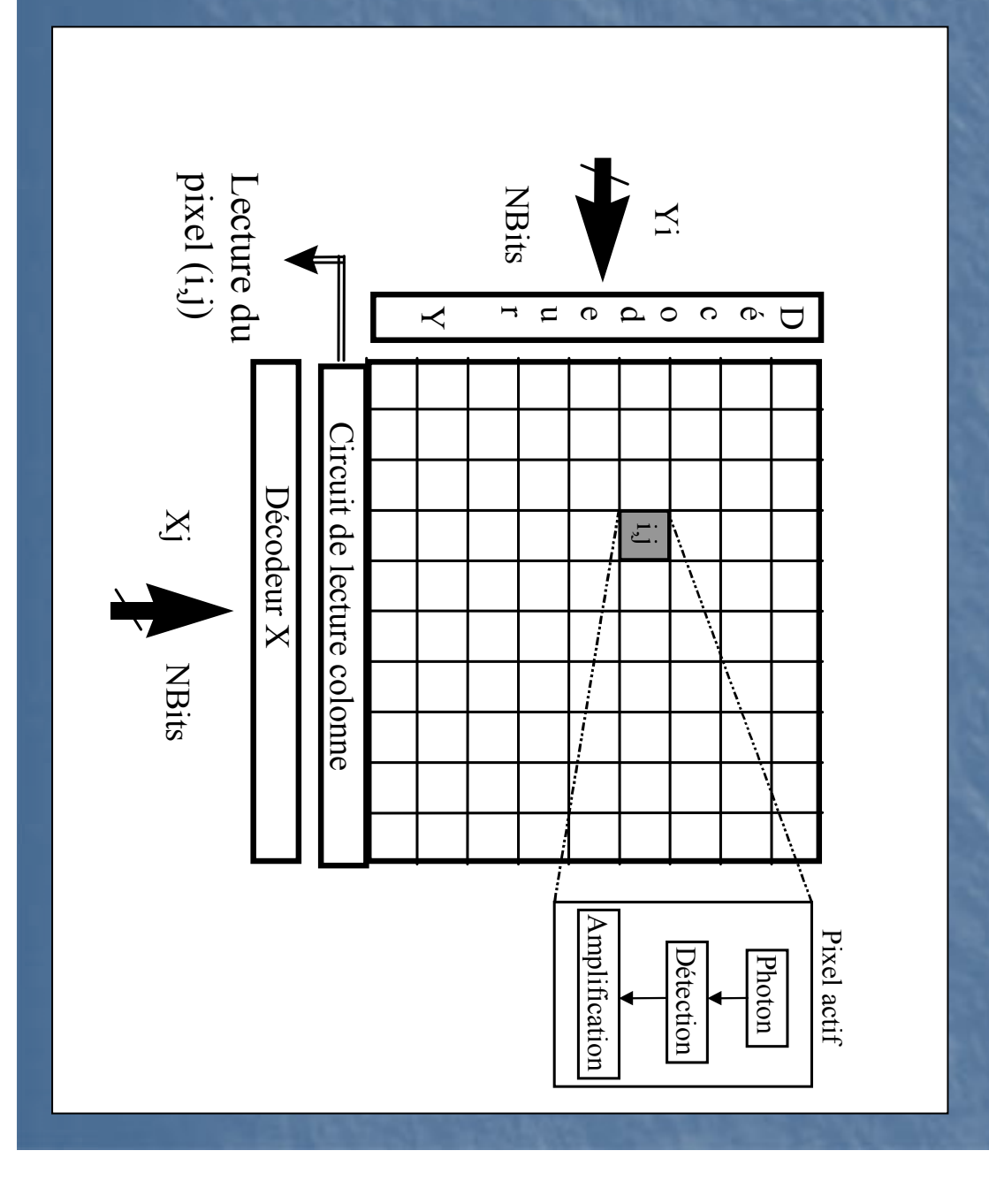




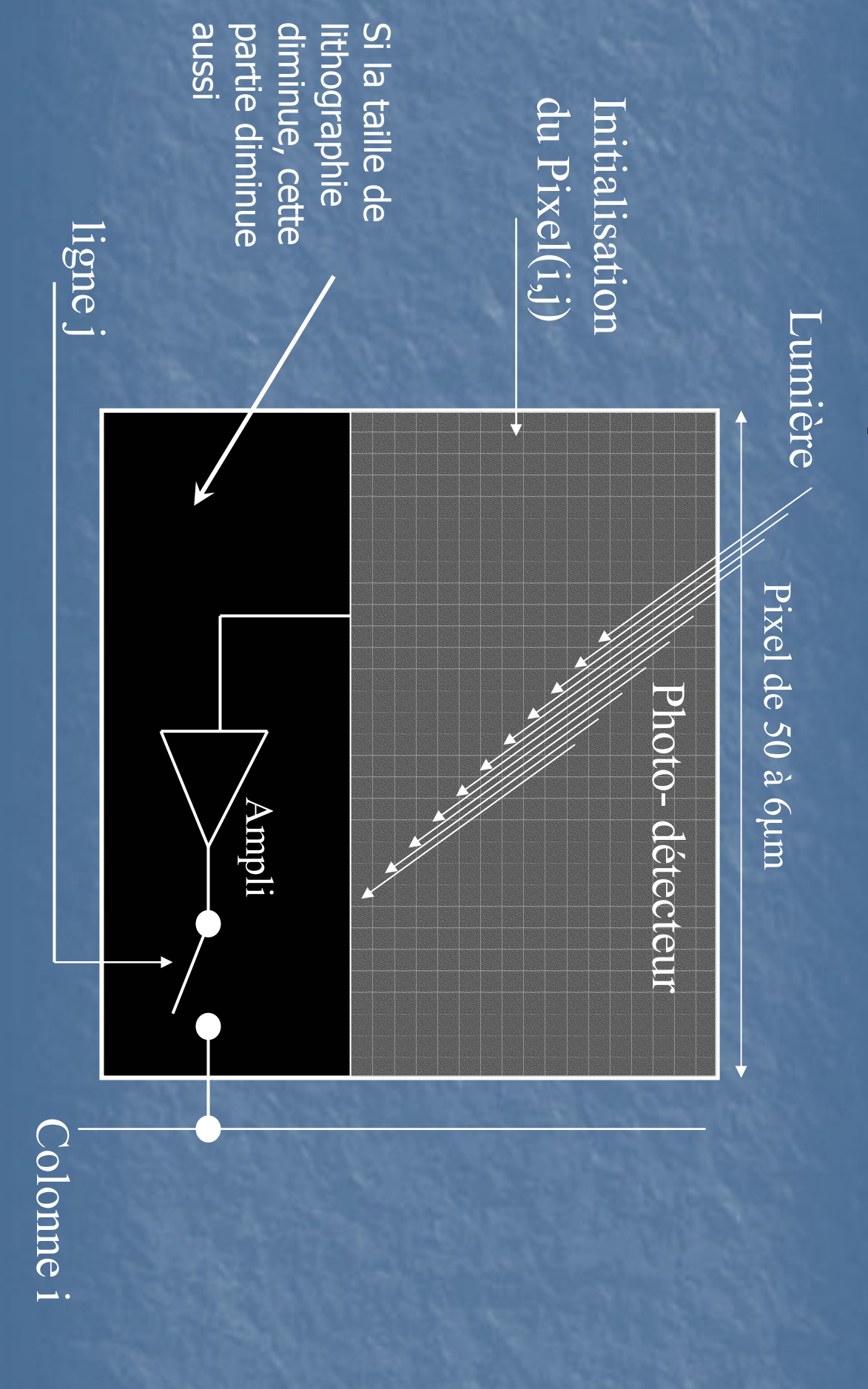
## Un nouveau concept l'APS

Travaux initiés sur les « Active Pixel Sensor » par le JPL en 1992

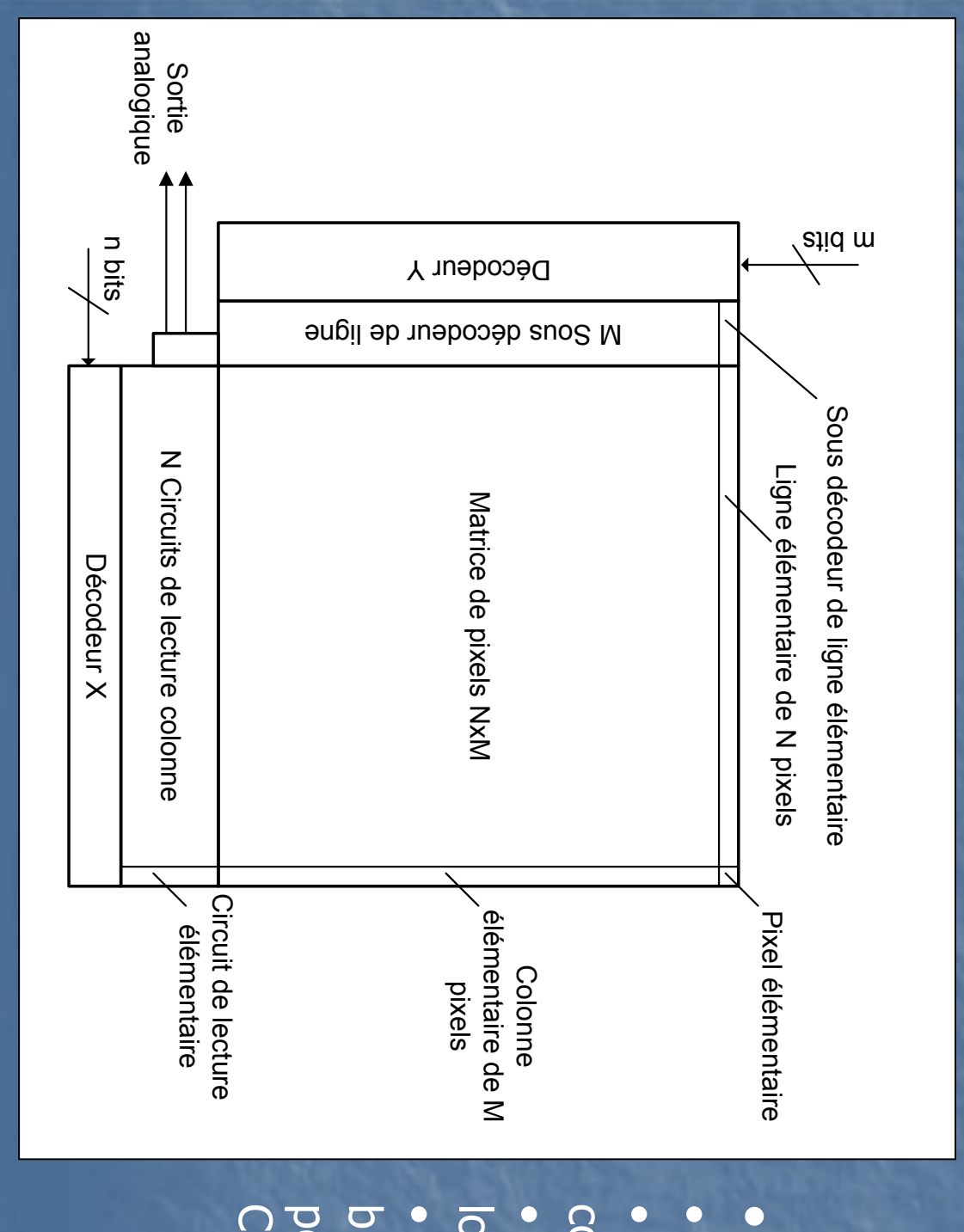
- Combinaison du capteur CCD et PPS
- Réalise la conversion photonélectron dans le pixel
- Idée rendue possible par la réduction de la lithographie CMOS en dessous de 2µm
- Ses avantages entraînent une recherche intensive



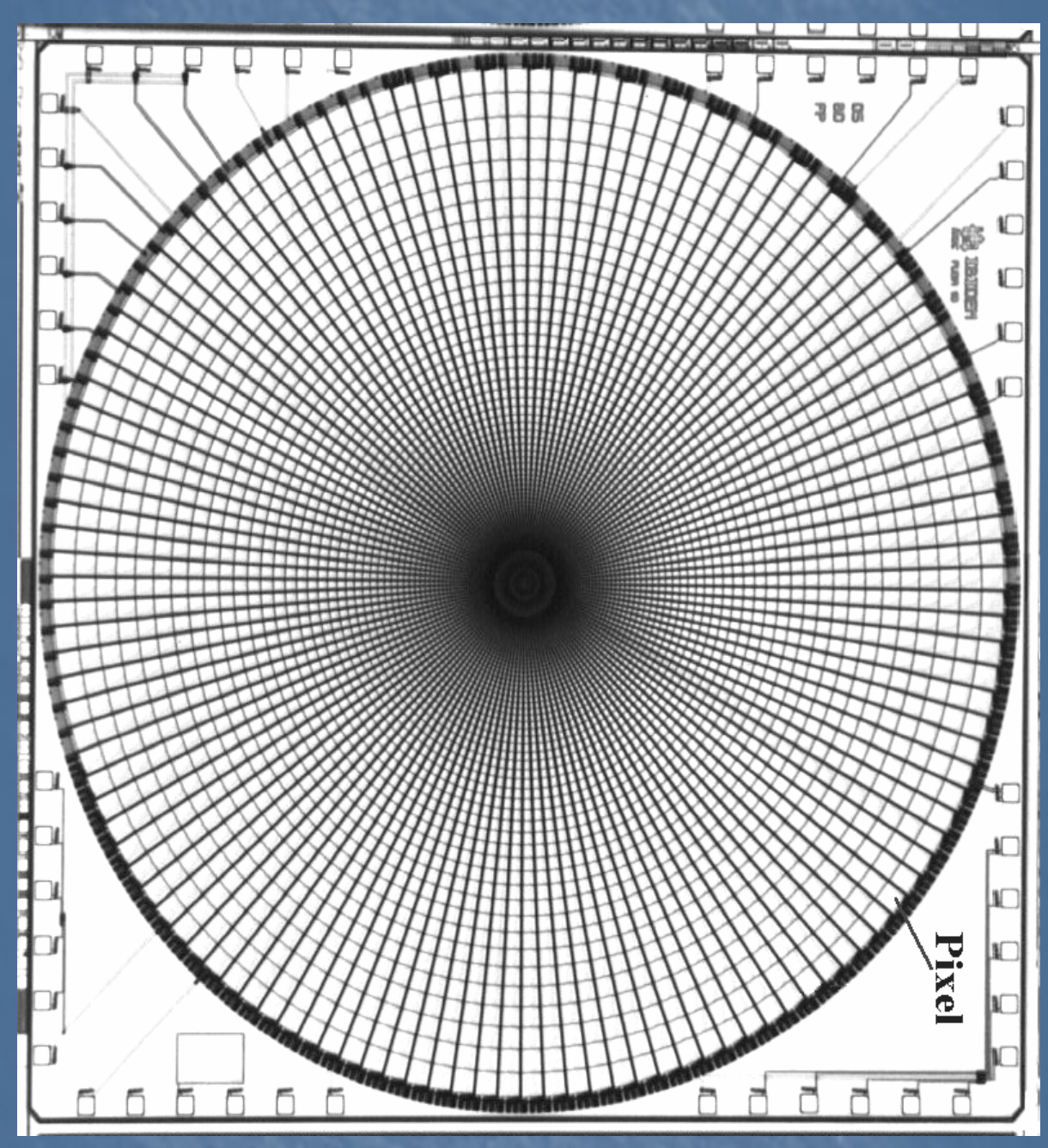
## Dans le pixel d'un APS...



# Architecture générale d'une matrice APS



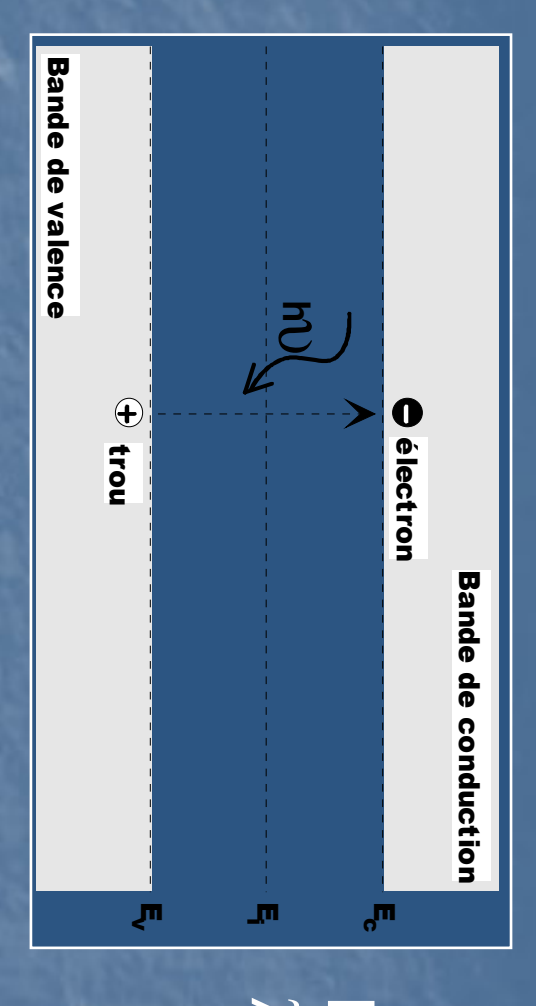
- Matrices NxM
- Décodeurs X et Y
- Circuit de lecture colonne
- Beaucoup de circuits logiques
- « re-use » des bibliothèques utilisées pour faire de la RAM et du CPU



### Les avantages de l'APS

- Pas de transfert de charges à effectuer :
- Moins sensible aux pixels défectueux que le CCD
- Pas d'éblouissement
- Rendement de fabrication plus élevé
- Accès aléatoire, lecture non destructive
- Utilise la technologie CMOS :
- Coût inférieur (20 à 60% / CCD)
- Bibliothèque importante : « boite noire », VHDL
- Tension: 2,5 à 5V (consommation 3 à 100x / CCD)
- Vitesse de lecture élevé
- Réduction de lithographie menée par les fabricants de memoires, c'est une retombée directe pour la taille du pixel et le facteur de remplissage.

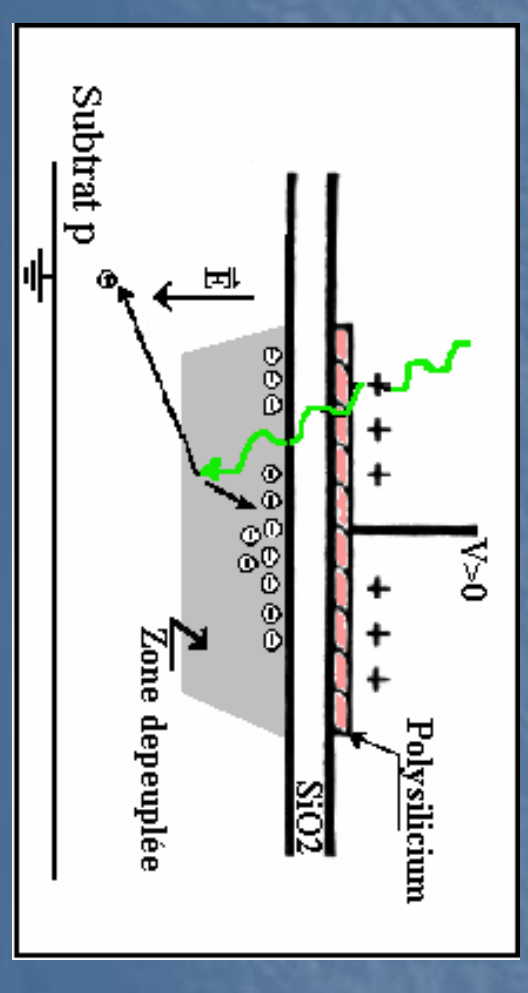
## Détection de la lumière par le silicium

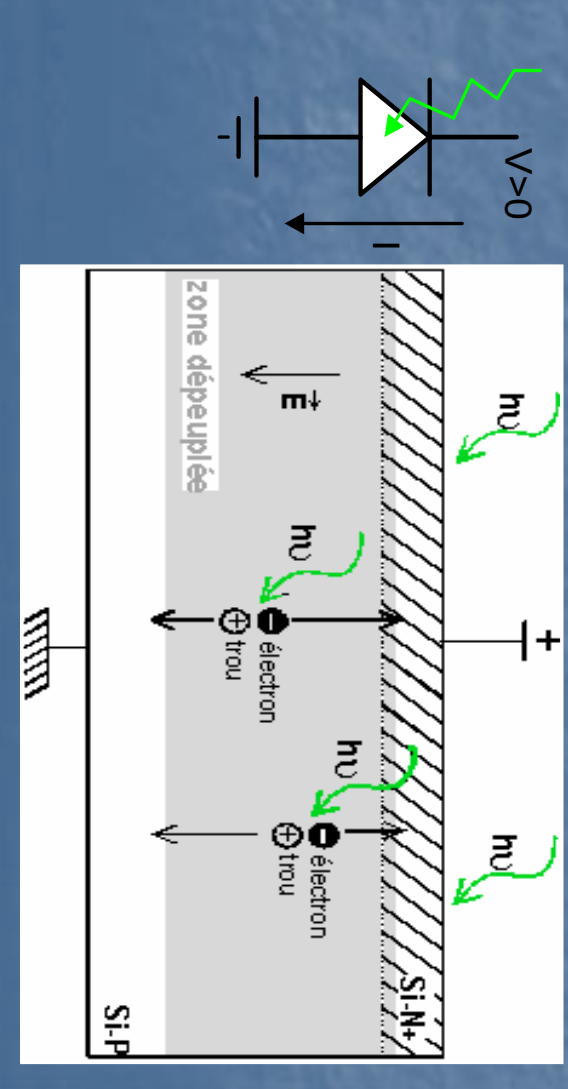


Eg=1.12 eV  $\lambda c \le 1.1 \mu m$ 

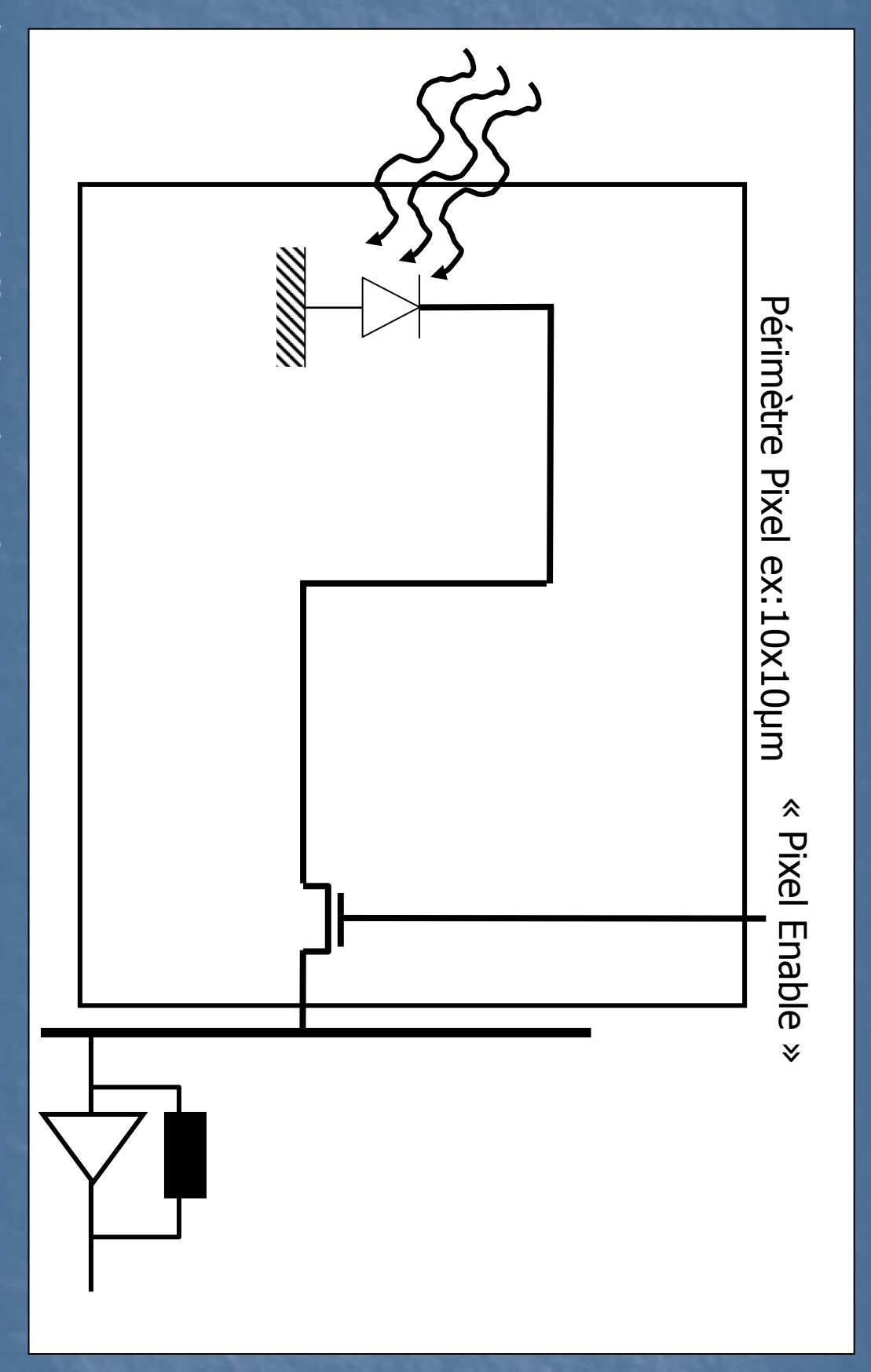
#### PhotoMOS/PhotoGate

#### <u>PhotoDiode</u>





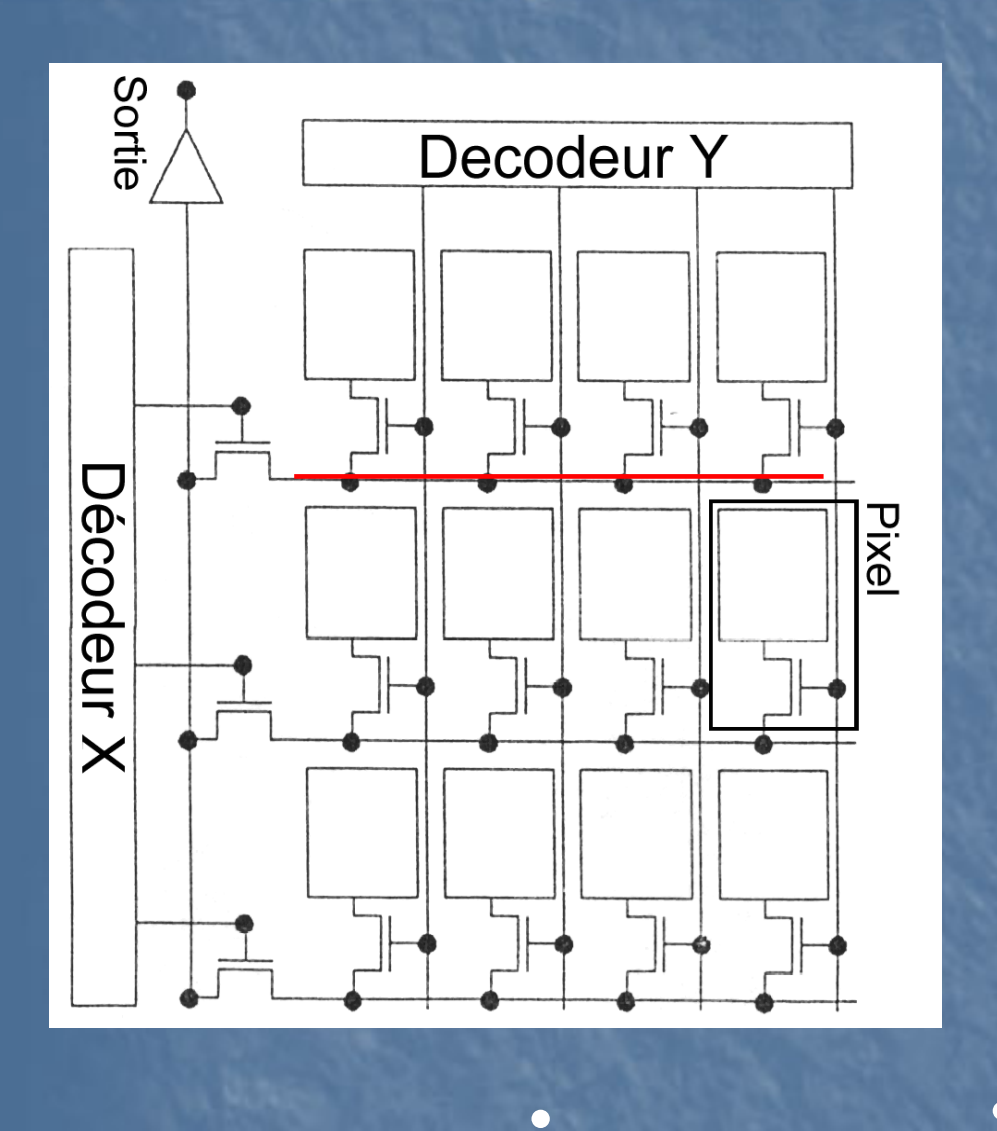
# Architecture de pixel CMOS « passif »



- Pas de transistor buffer dans le pixel
- Un seul transistor de switch ou de sélection par pixel

### Le capteur d'images

Capteurs Passive Pixel Sensors (PPS ou XY-MOS)



#### Avantages

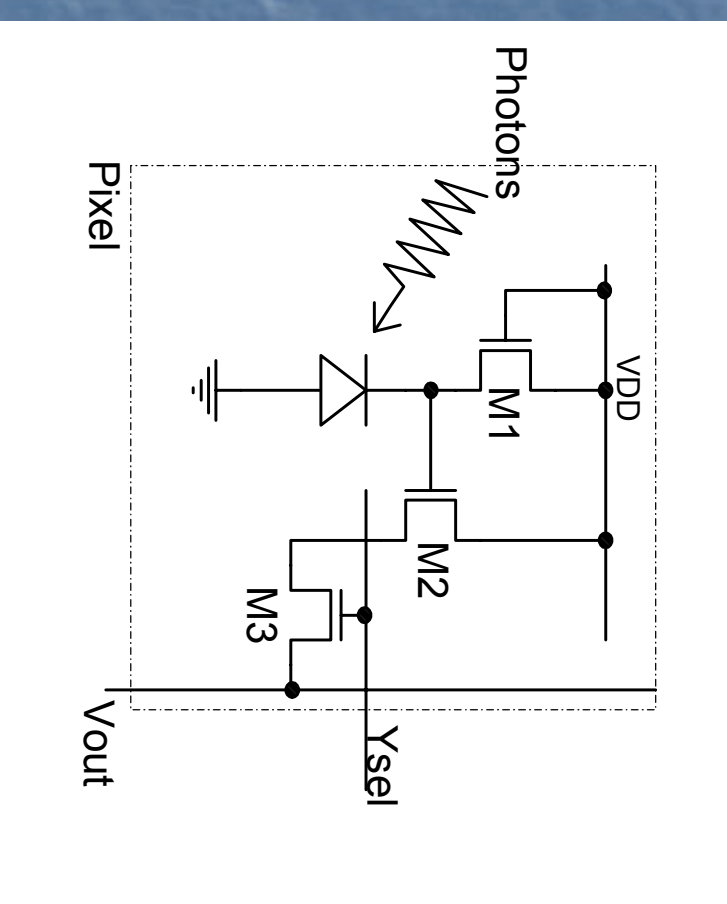
- Fill Factor élevé
- Economique
- lecture
- Non destructive

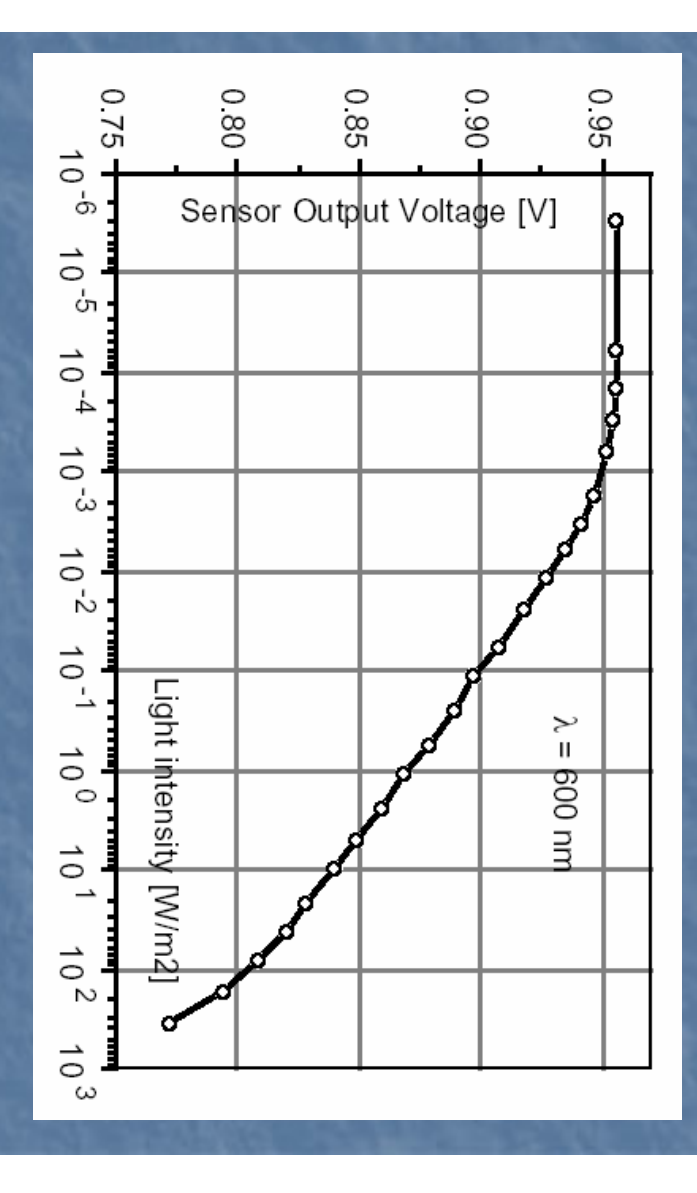
#### Inconvénients

- Pas d 'amplification
- Bus colonne à haute impédance
- Bruit fixe et temporel élevé
- Performances très médiocres comparé aux CCD

### Les pixels d'un APS

Pixels photodiode en mode courant, 3 transistors



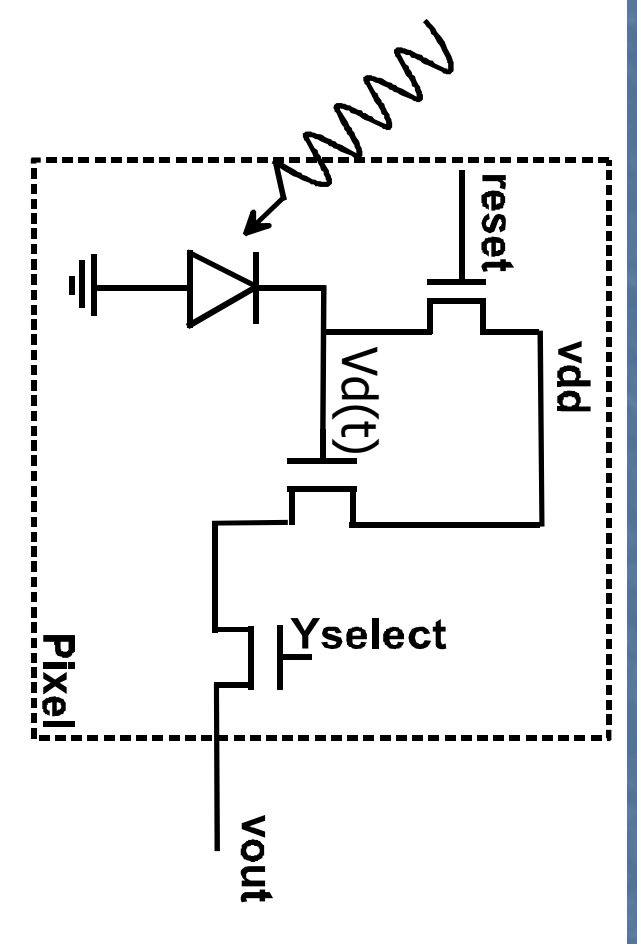


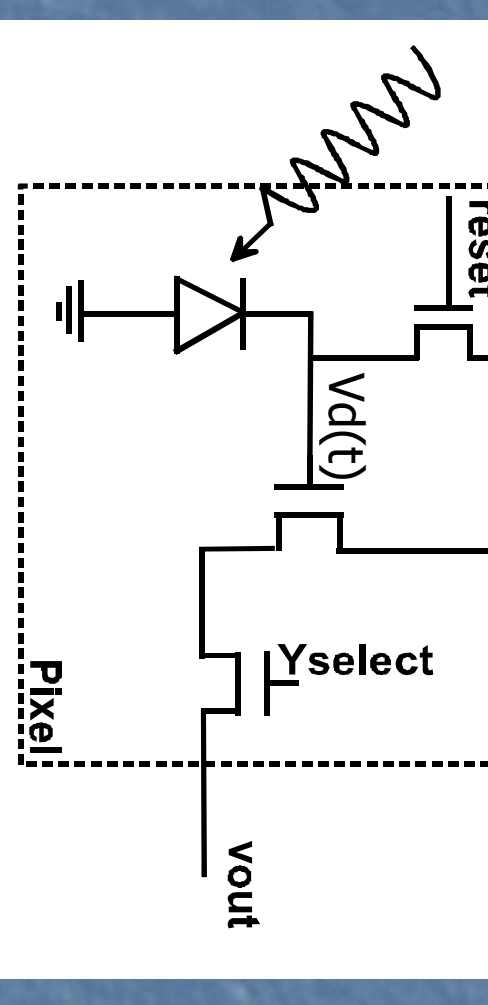
- ullet Réponse non linéaire V lpha log(I), dynamique de 100 dB
- Sensible aux variations de tensions de seuils M1 (0.1V) : PRNU très médiocre
- Sensible aux variations de température, 0.15V pour 5 magnitudes
- Reproduit la réponse log de l'oeil
- Bruit élevé, rémanence de 10 ms avec les faibles flux

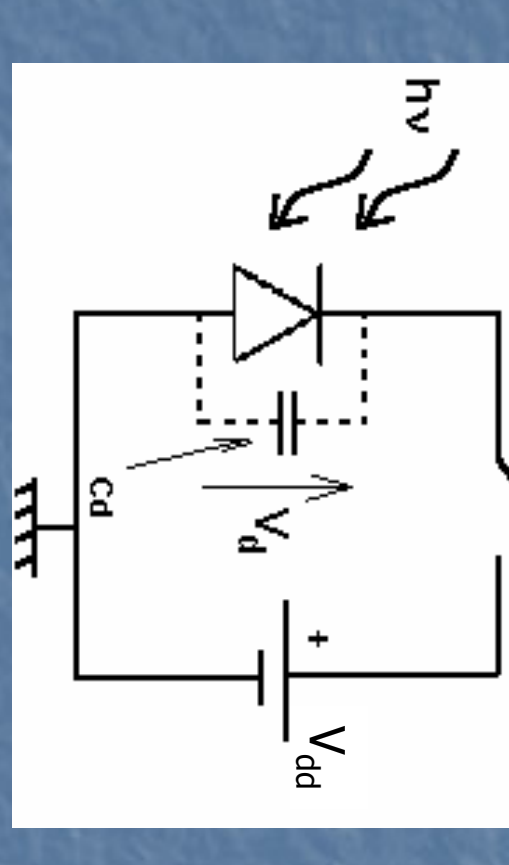


## Structures de pixels APS

Pixel photodiode à précharge







$$V_d(t) = V_{dd} - \frac{1}{C_d} \cdot \int_0^1 I_{phot}(u) \cdot du$$

Cd : capacité de la diode I phot : courant photonique

ф **С** 

intégration

**d**(t)

 $G \sim 0.8$ Vout = G \* Vd

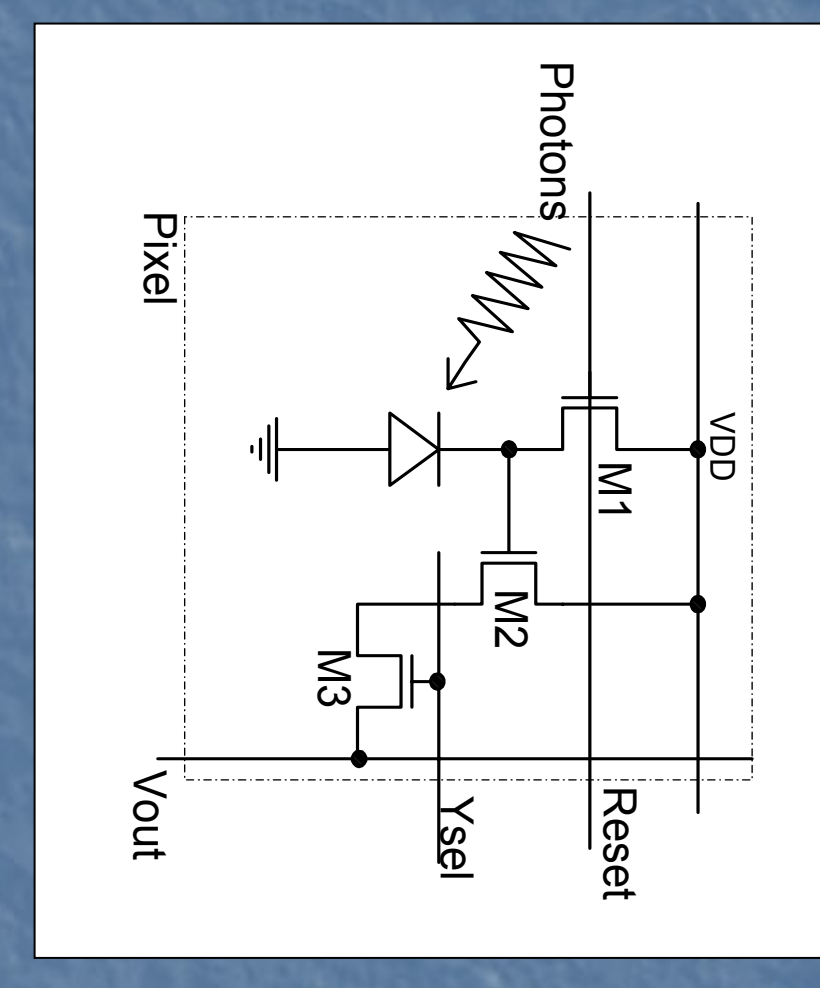
ત int

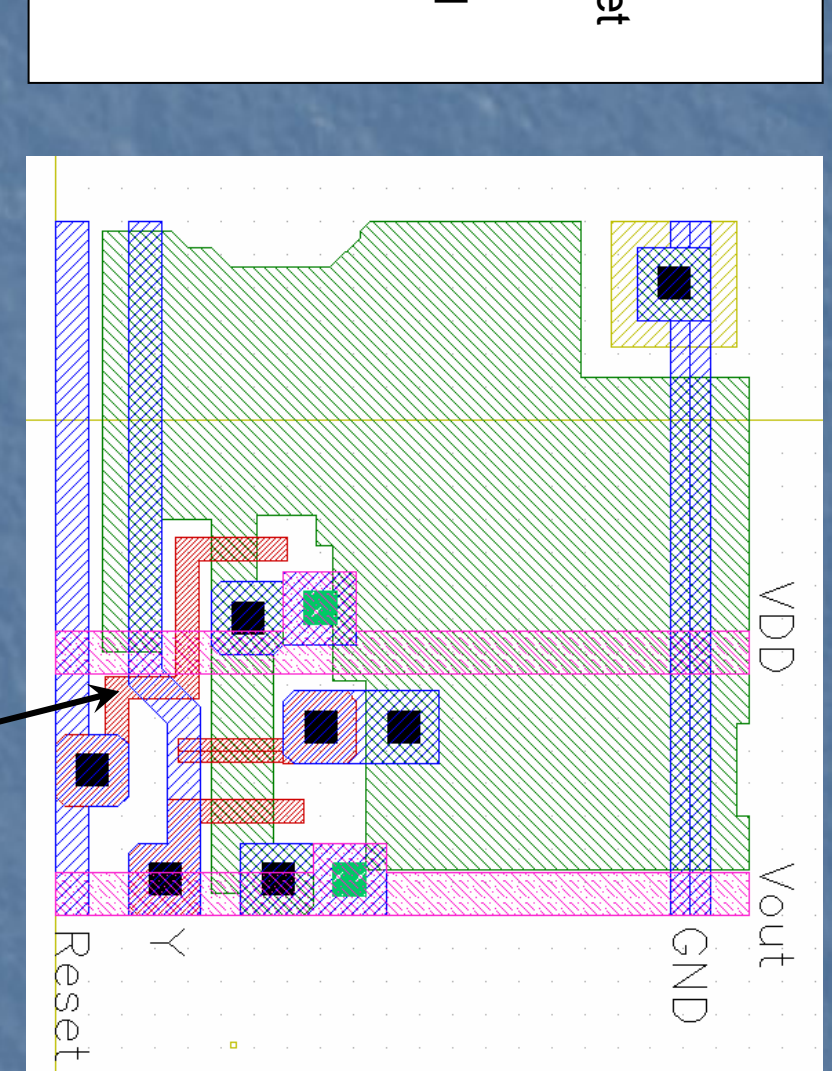
o V O

### Les pixels d'un APS

Photodiode en mode pré-charge

« Layout en lithographie de 0.8µm ou vue réelle d'un pixel APS »





#### Avantages :

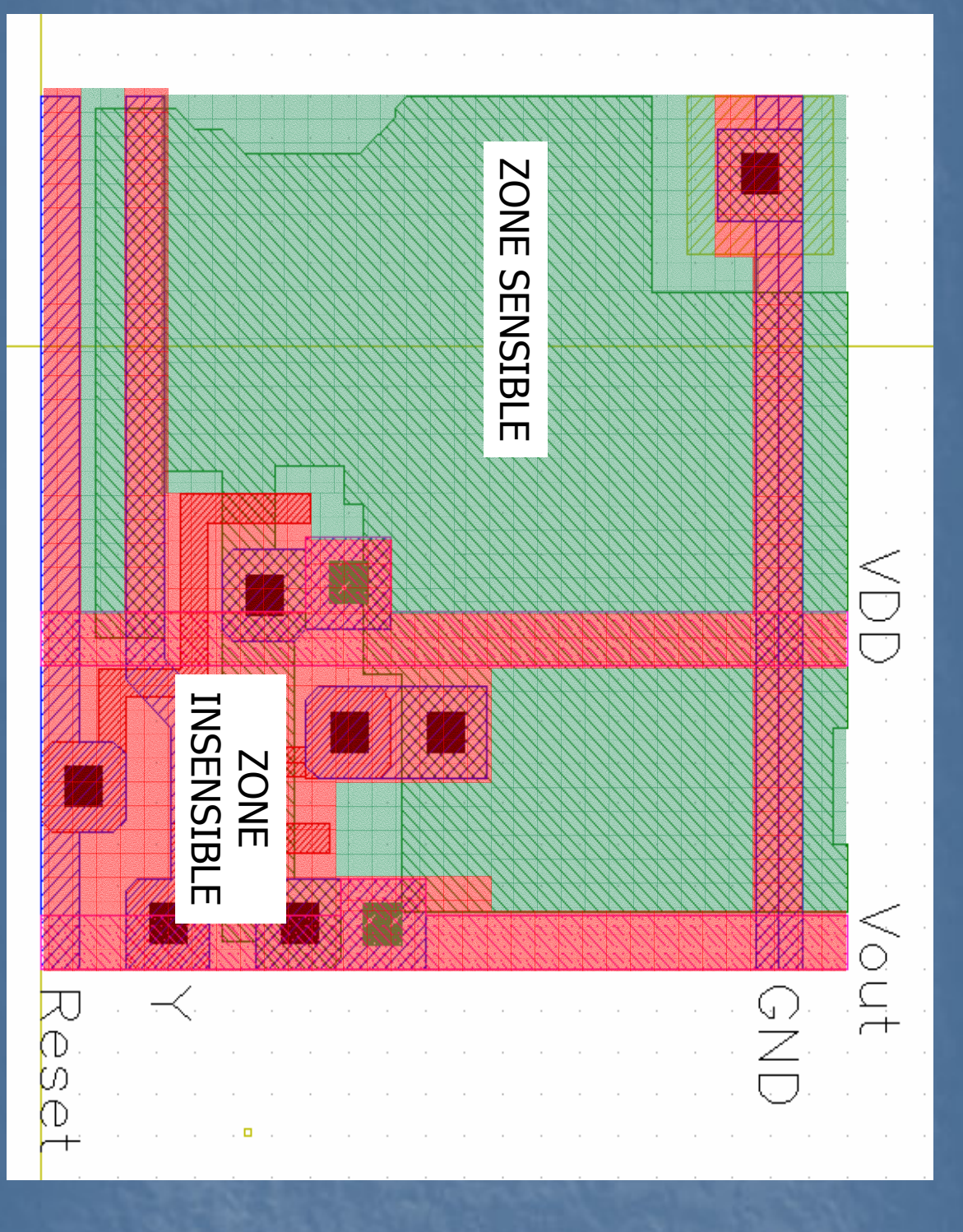
- Sensible dans le bleu
- Facile à réaliser
- Taux de remplissage élevé

#### Inconvénients :

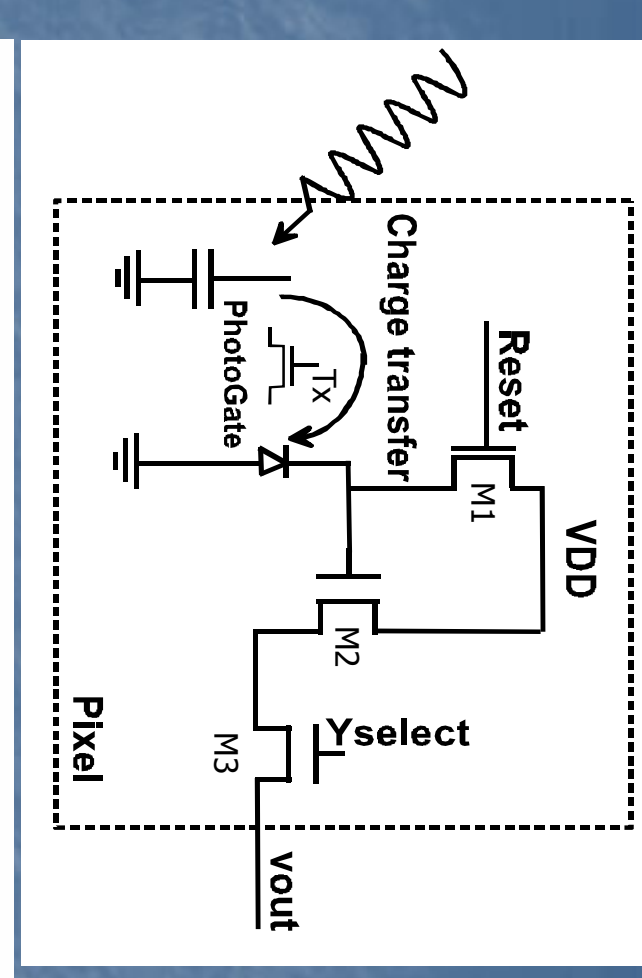
0.8µm de large

- KTC non éliminé
- Faible facteur de conversion 144

### Facteur de remplissage d'un APS

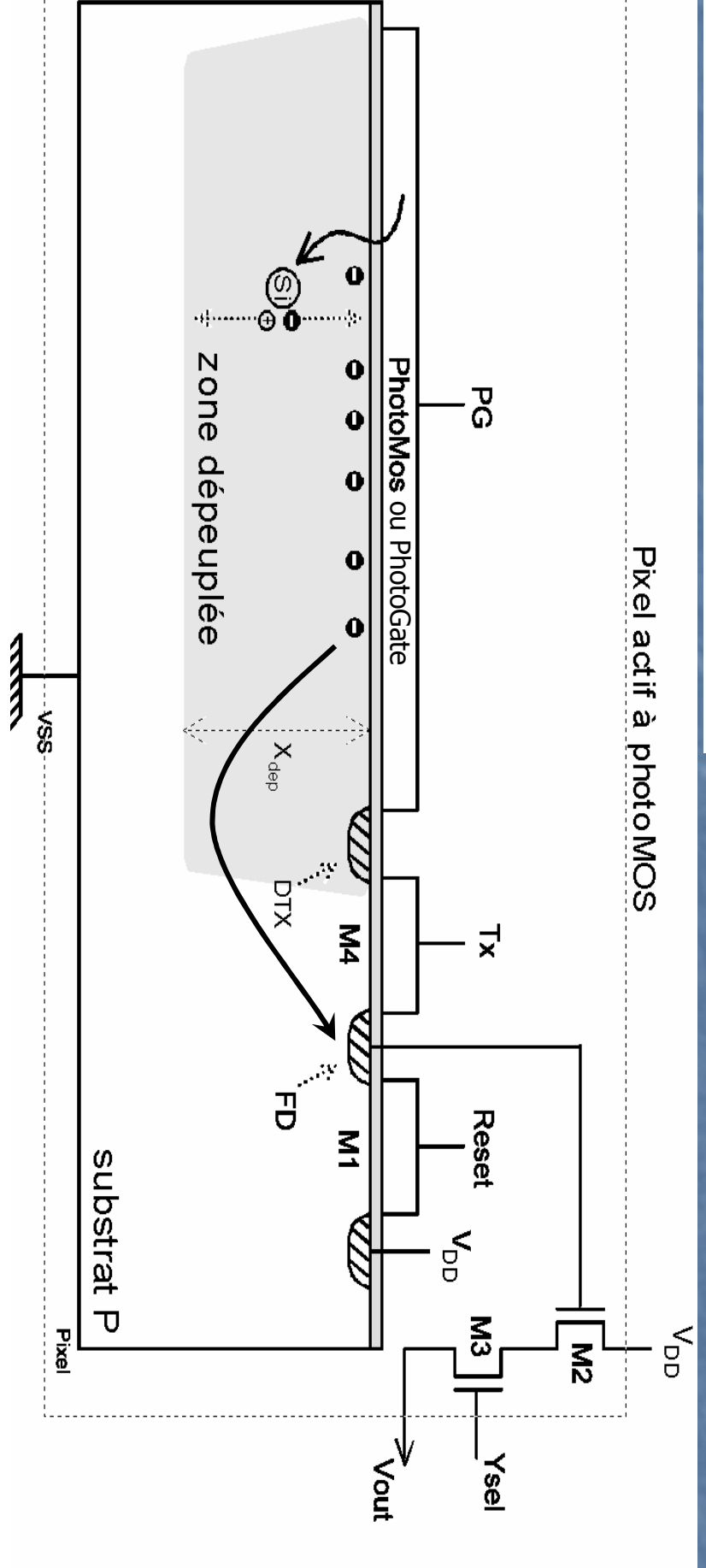


Ici: 65% de fill factor...

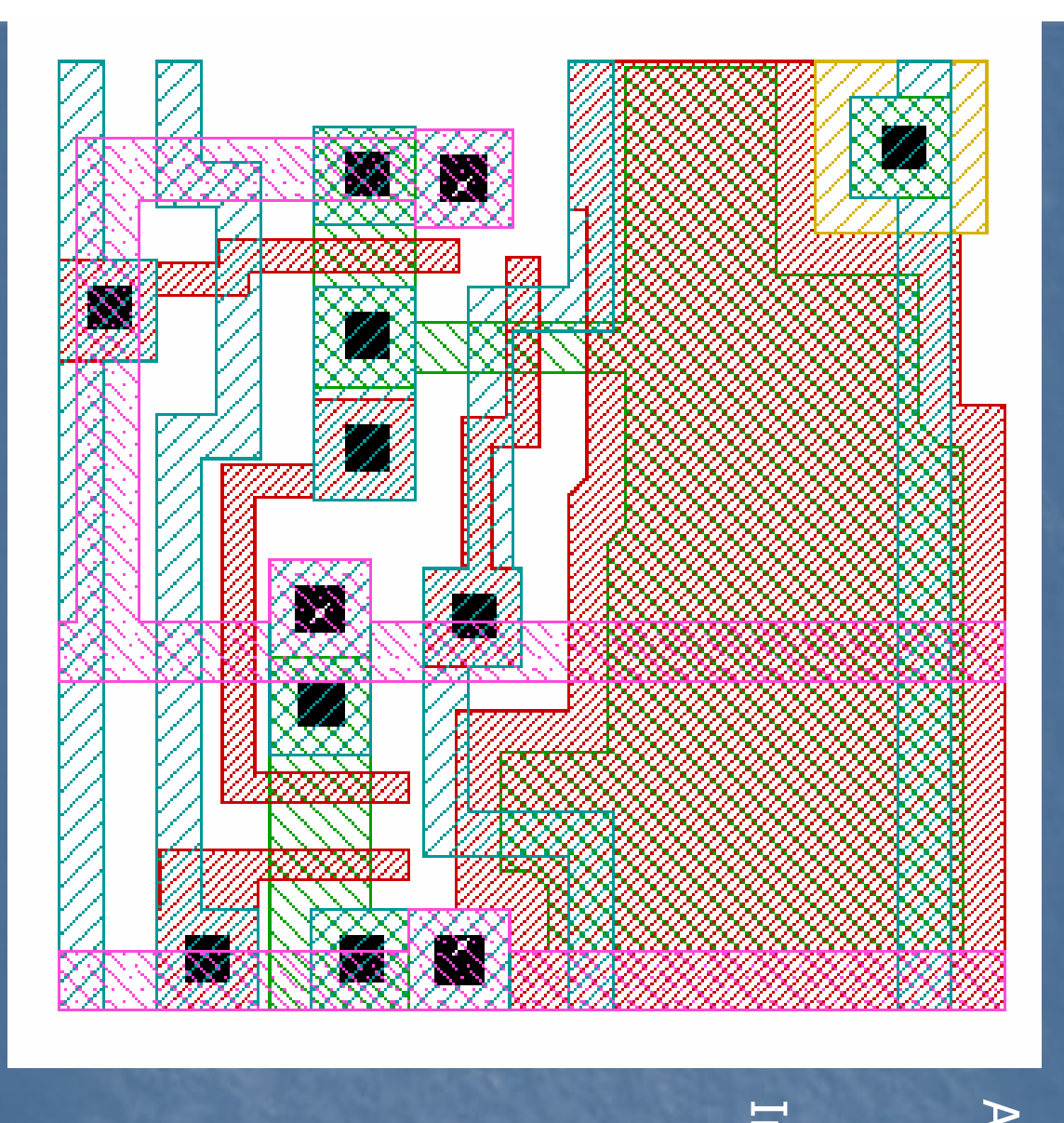


### Pixel PhotoMos/Photogate

- Diode de lecture découplée
- Rendement affaibli dans le Bleu Ressemble à un CCD
- Non affecté par le bruit KTC
- Fill factor moins bon que Photodiode



### Les pixels d'un APS (PhotoMos)



#### Avantages:

- Facteur de conversion élevé
- Ktc éliminé par le CDS

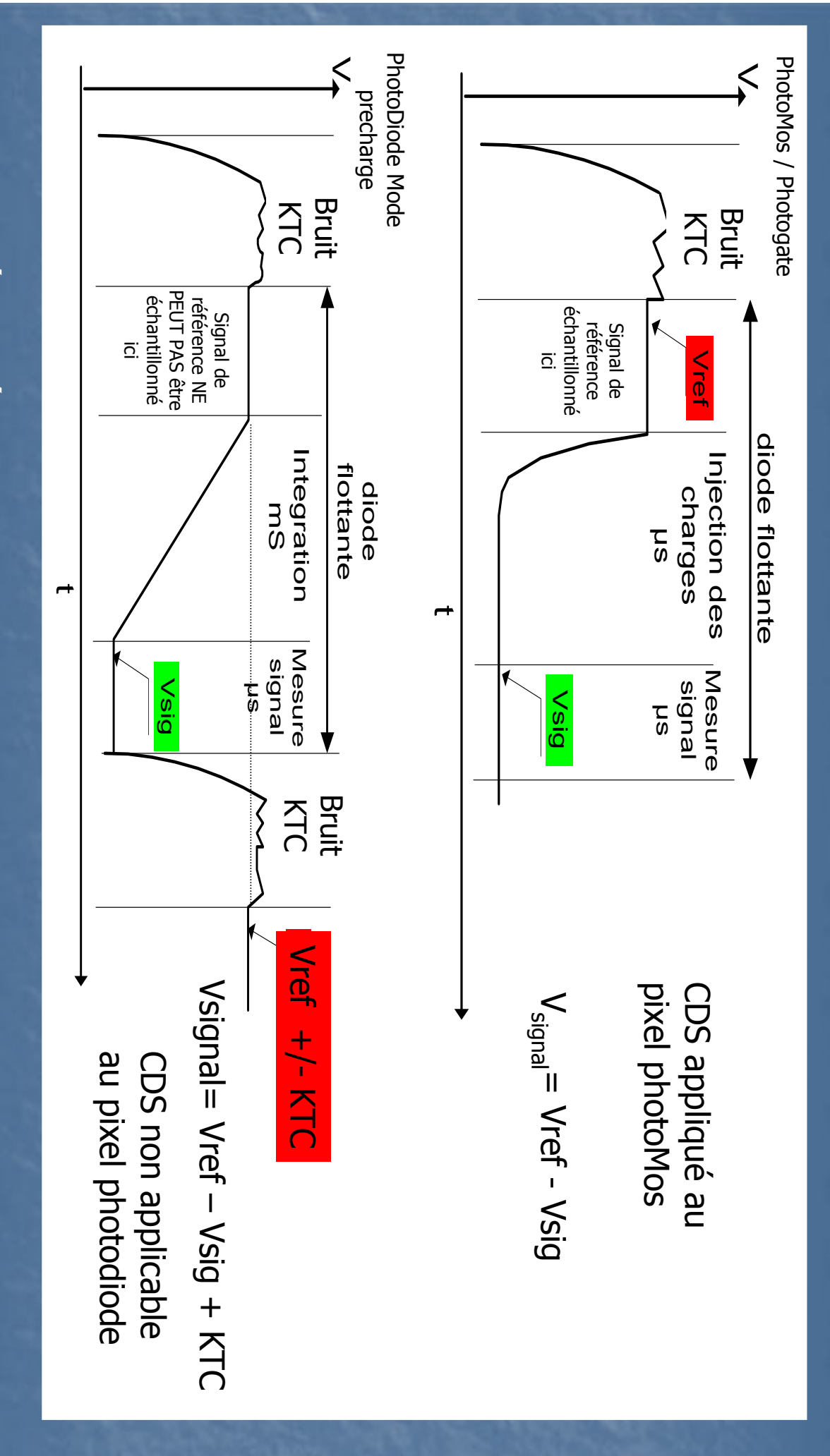
#### Inconvénients :

- Peu sensible dans le bleu
- Taux de remplissage plus faible

« Layout » techno 0.8 μm Pixel 20x20μm

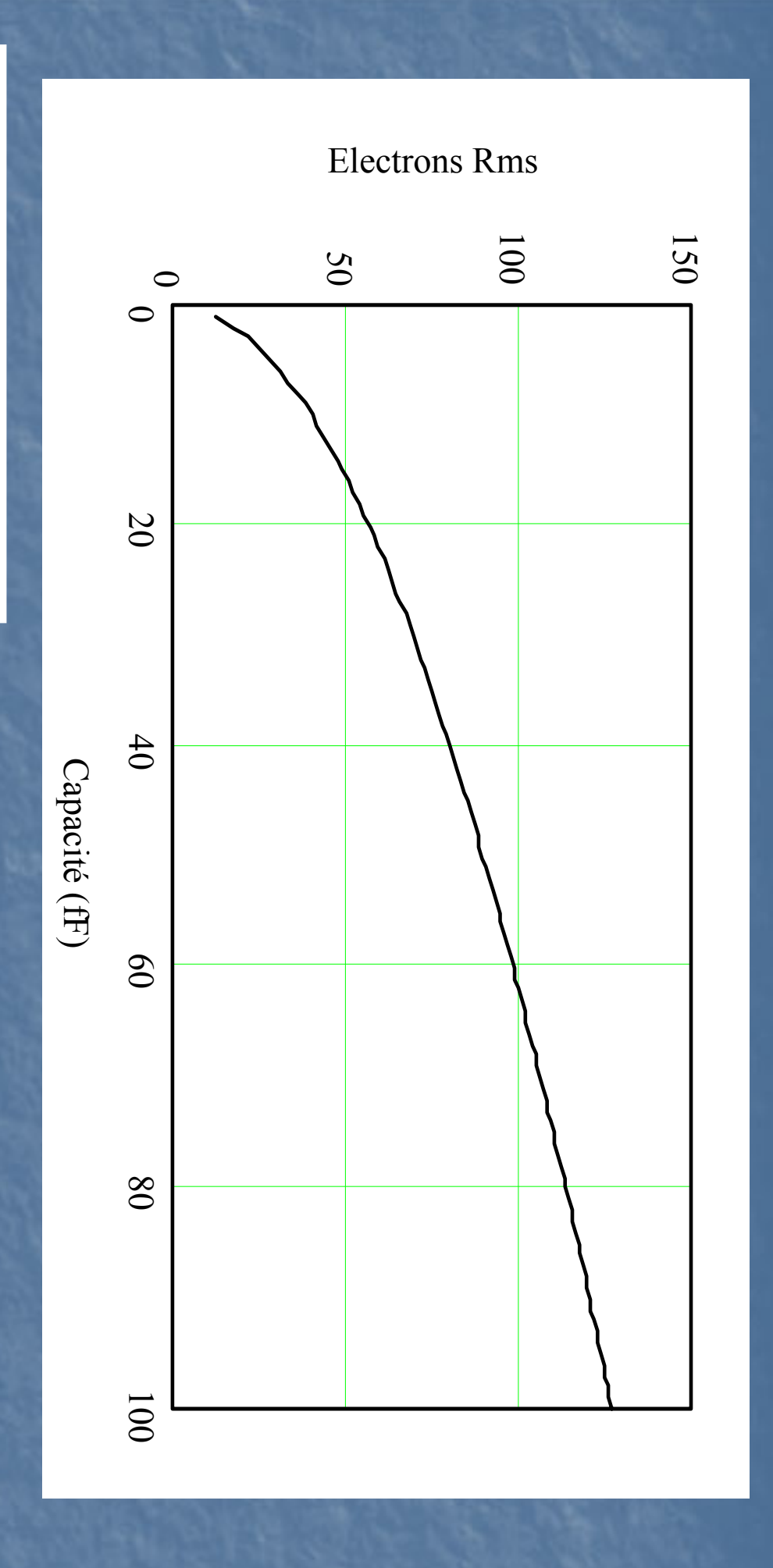
Techno:
Double métal
Simple Poly

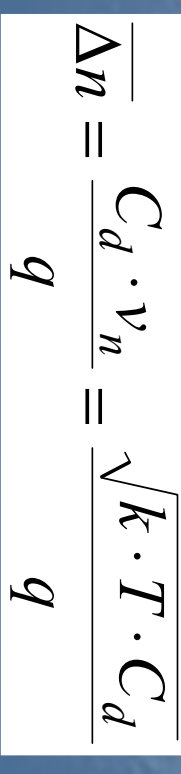
### Lecture PhotoMos/Photodiode



Bruit KTC, éliminé par le « Correlated Double Sampling (CDS )»

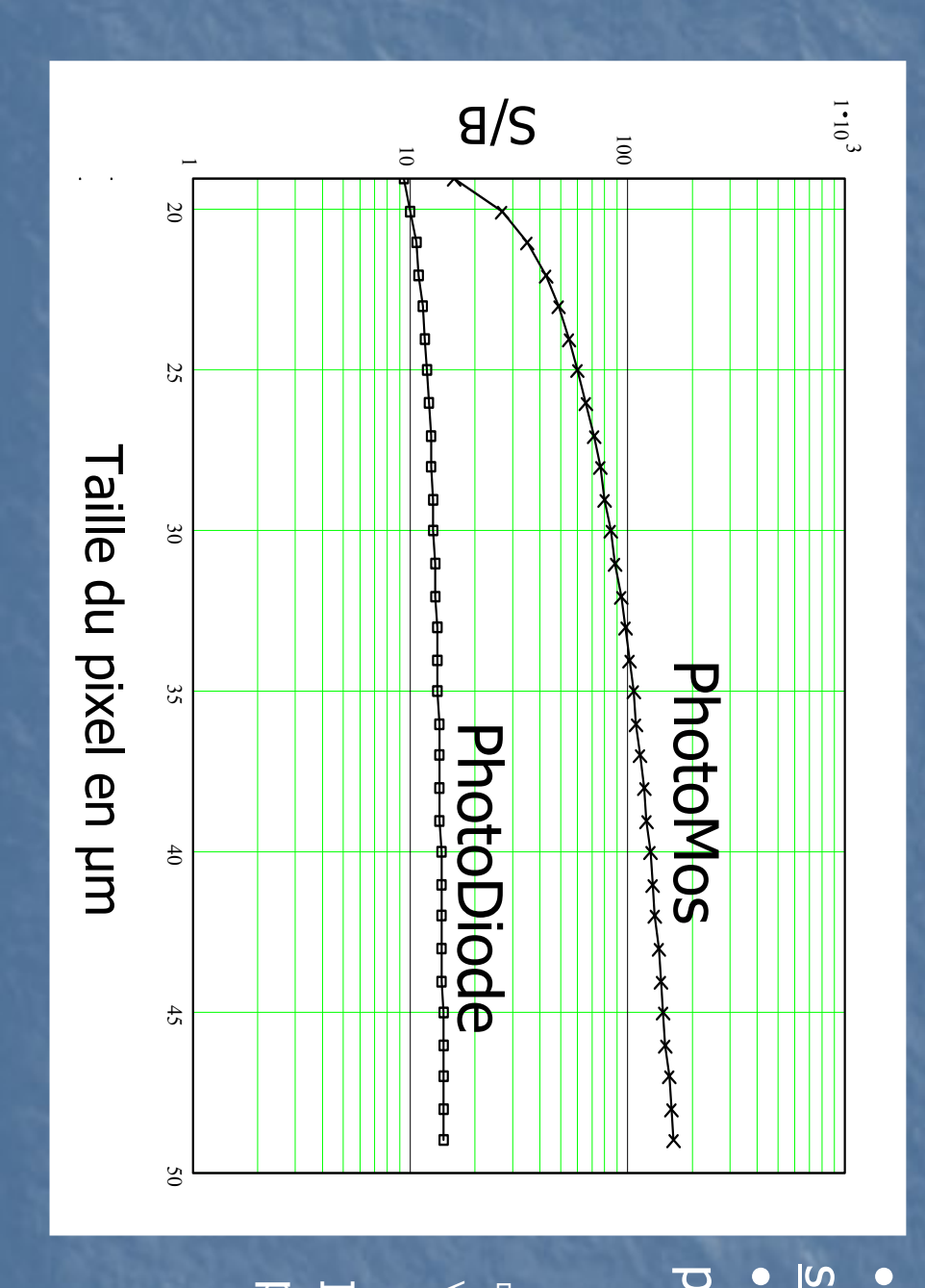
#### Bruit KTC





 $\overline{\Delta n} = \frac{C_d \cdot v_n}{C_d} = \frac{\sqrt{k \cdot T \cdot C_d}}{\sqrt{k \cdot T \cdot C_d}}$   $C_d$ ; capacité parasite de la diode de lecture

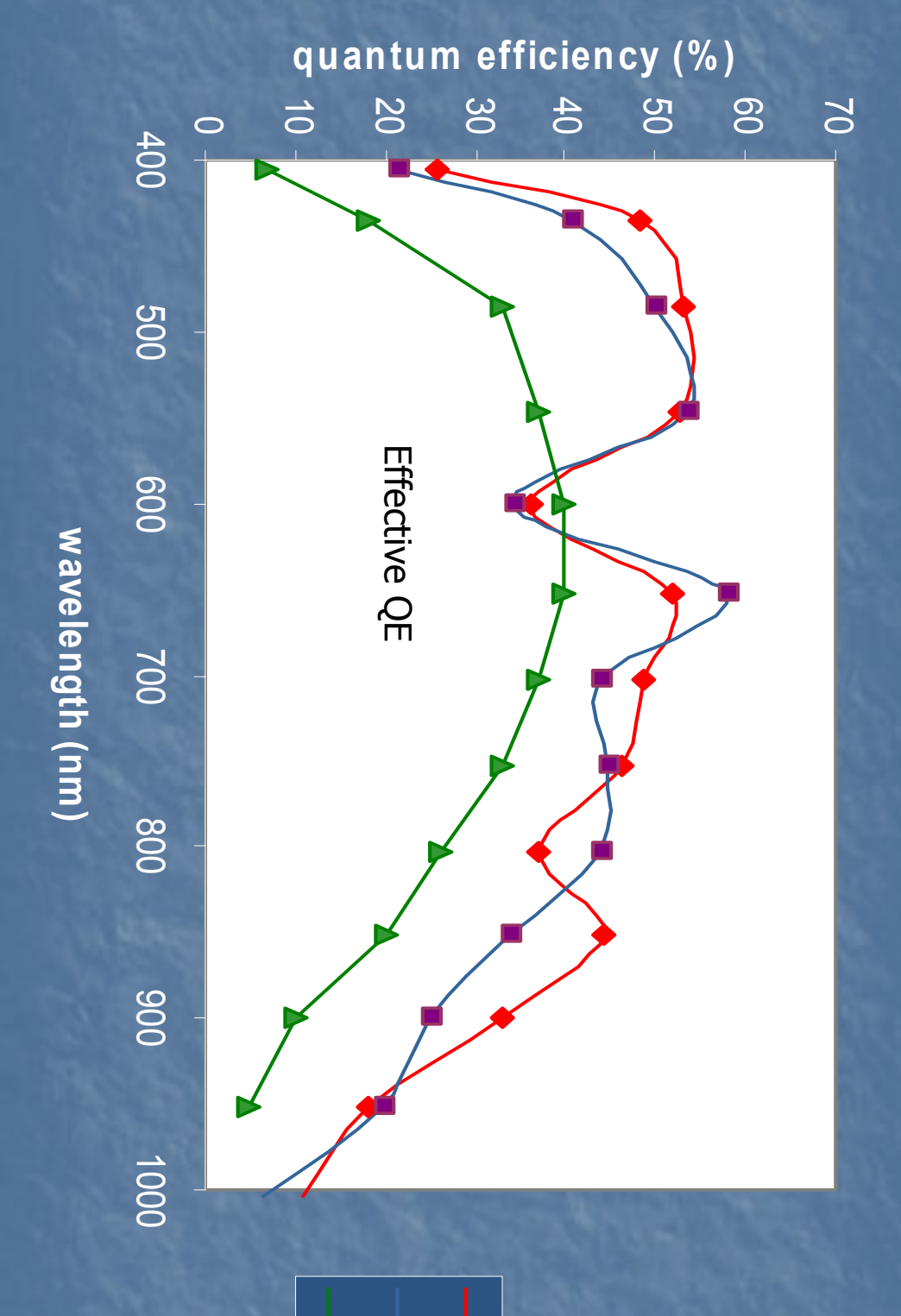
#### Etude du rapport Signal/Bruit entre le pixel photodiode photoMOS



- 1.6 x plus de surface <u>non</u> <u>sensible</u> pour le photoMos
- Facteur de conversion faible pour la photodiode
- ⇒Photodiode moins sensible, ∀ le pas du pixel > 20µm

Intérêt de faire de petits pixels photodiode

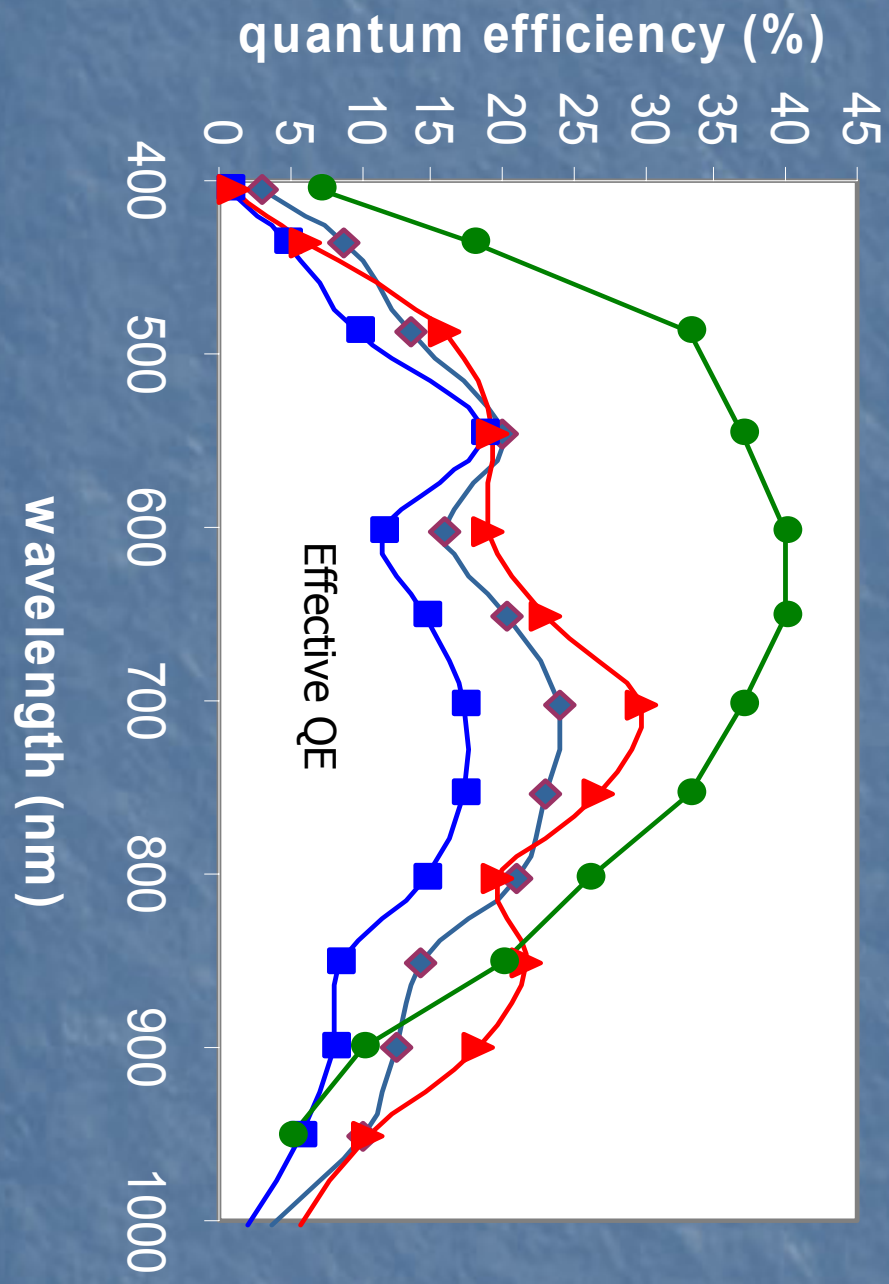
## Effective quantum efficiency - Photodiode pixels



Photodiode array no. 1Photodiode array no. 2

System Quantum efficiency = Fill Factor \* Effective Quantum efficiency

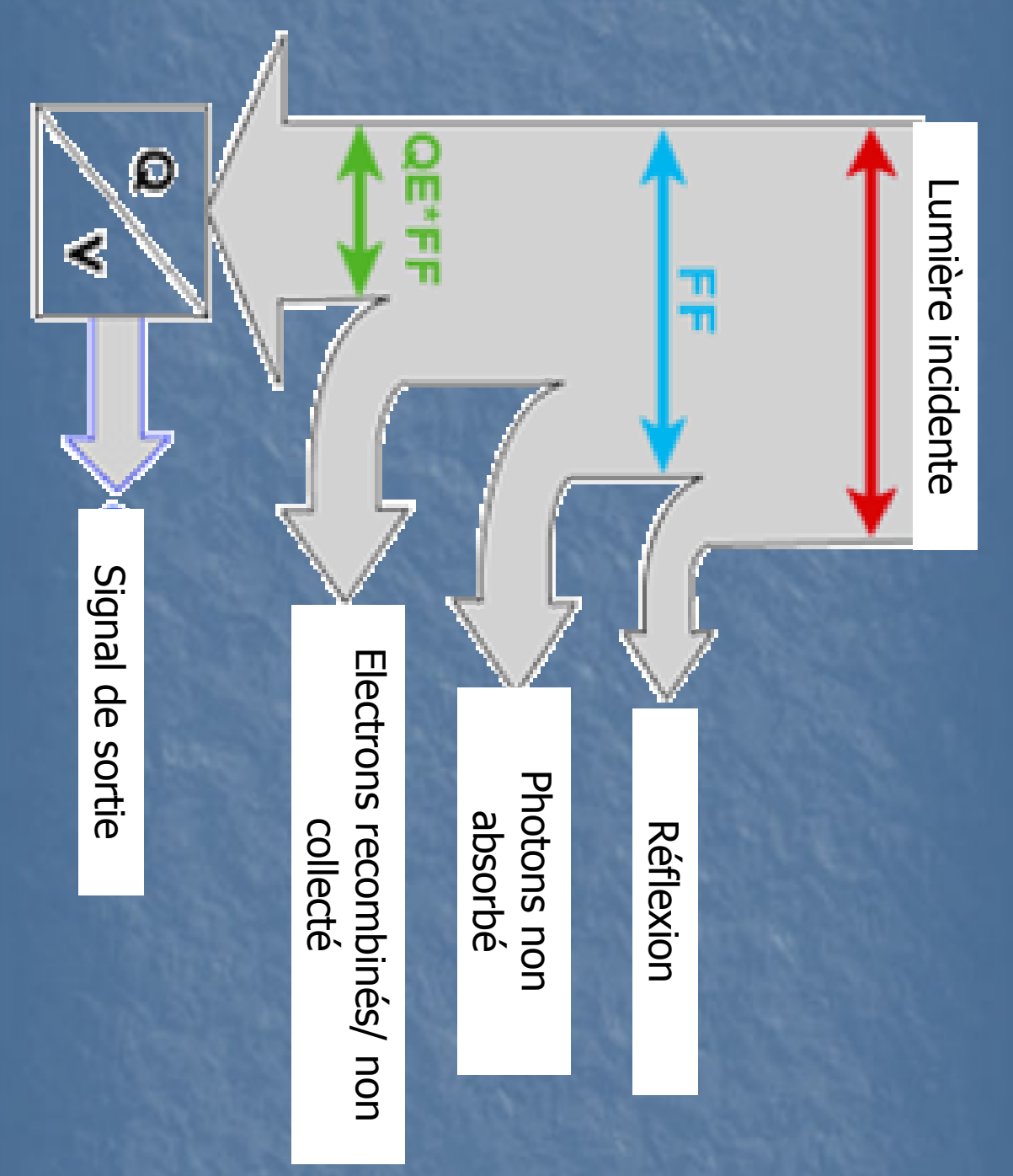
## Effective quantum efficiency - Photogate pixels



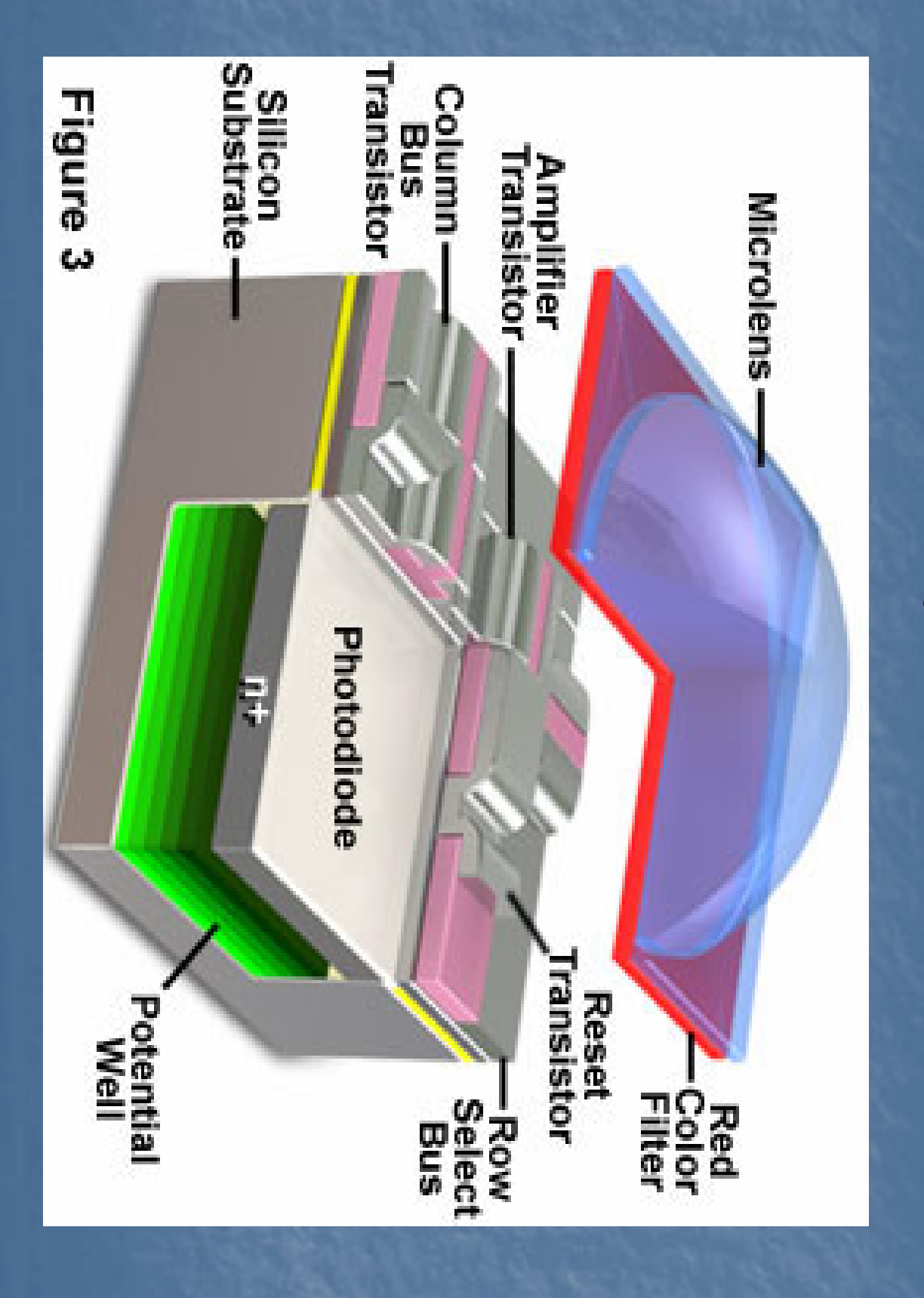
Photogate array no. 1
Photogate array no. 2
Photogate array no. 3
Typical CCD

System Quantum efficiency = Fill Factor \* Effective Quantum efficiency

### Taux de remplissage (Fill Factor)

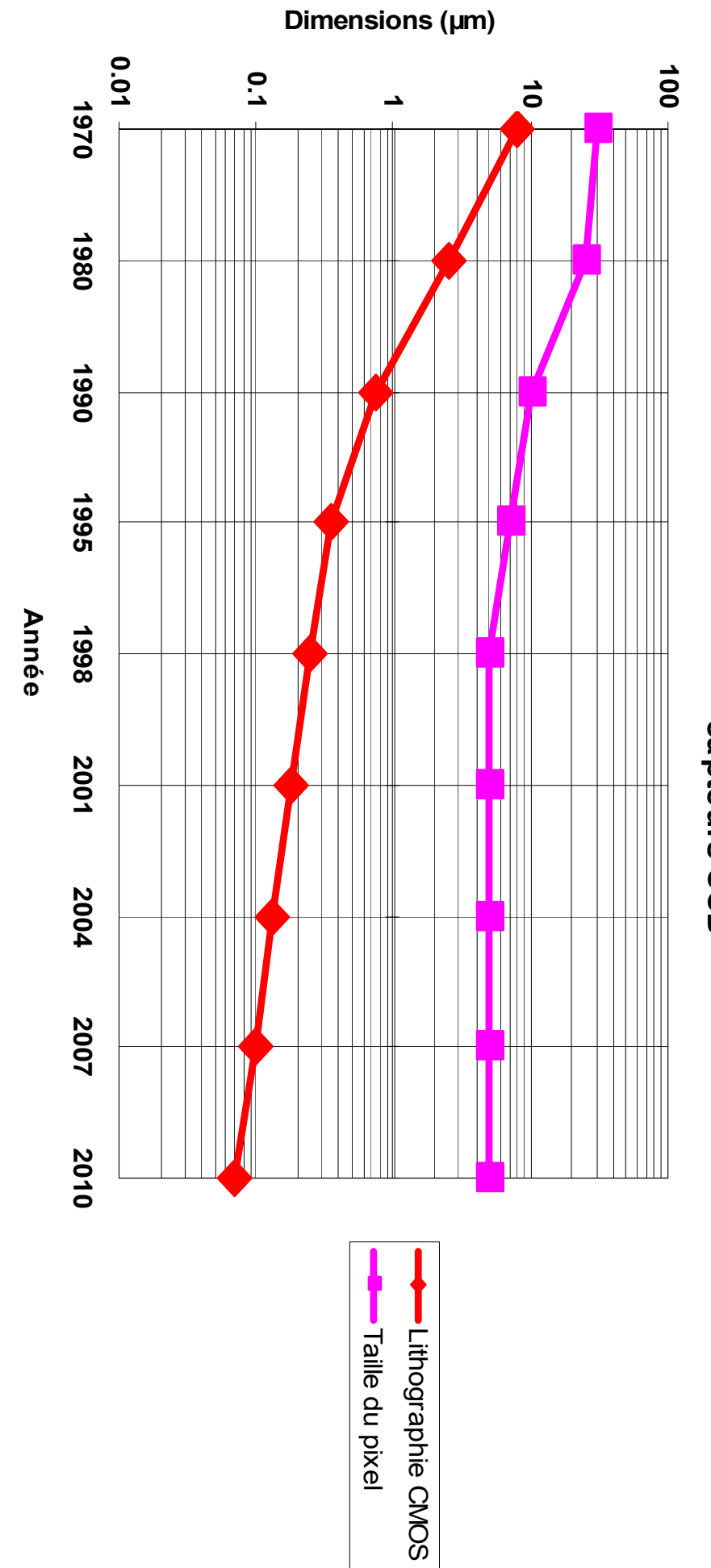


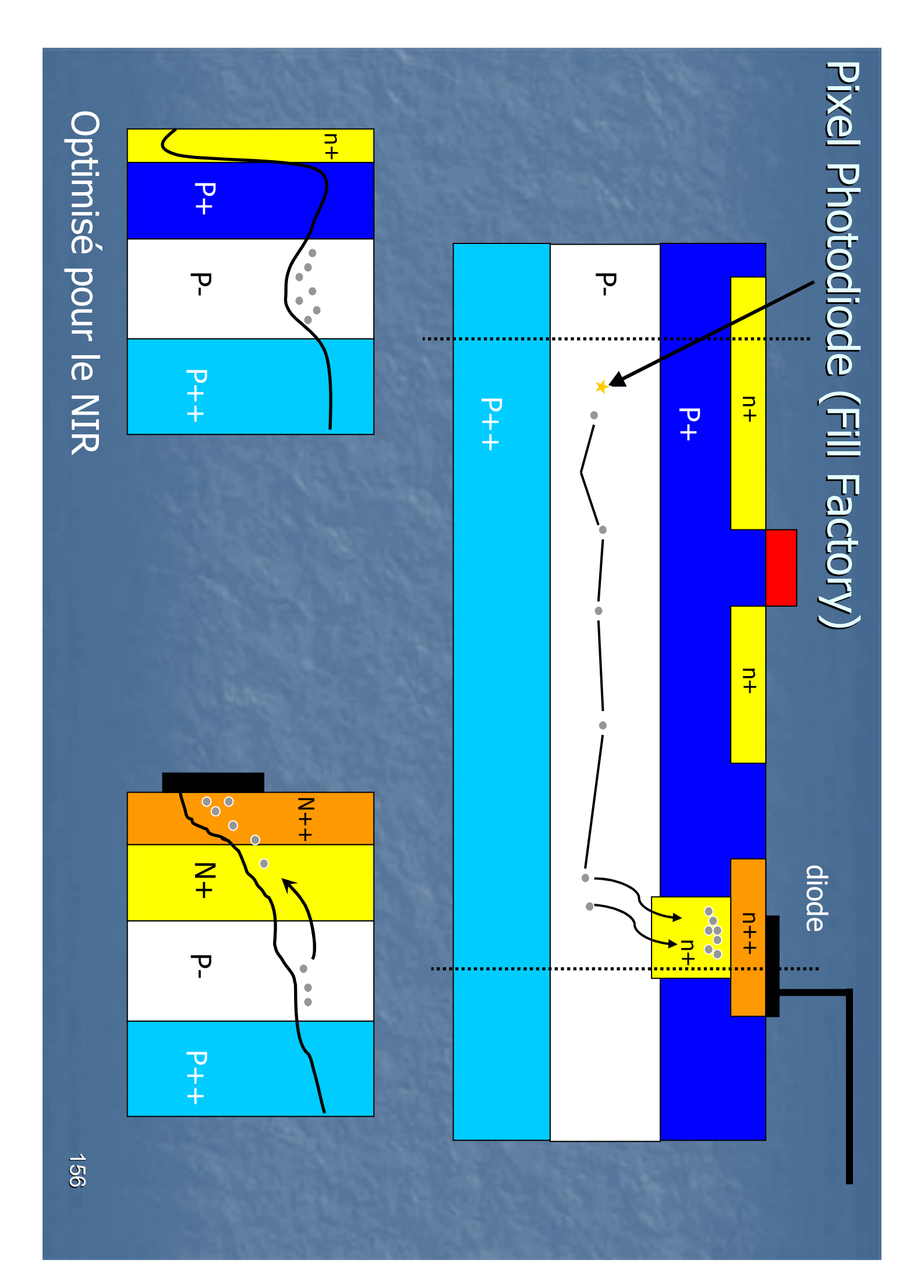
#### Pixel APS photodiode en 3D et µlentilles



### Lithographie et taille de pixels







# Mesures de performances de matrices APS

- Paramètres qui se trouvent sur les datasheet des détecteurs
- Très comparable à ce qui est fait en CCD
- Bruit fixe en plus
- Efficacité de transfert de charge en moins
- Rendement quantique
- Facteur de conversion
- Bruit
- Linéarité
- Dynamique
- FTM
- Etc etc ...

### Facteur de conversion

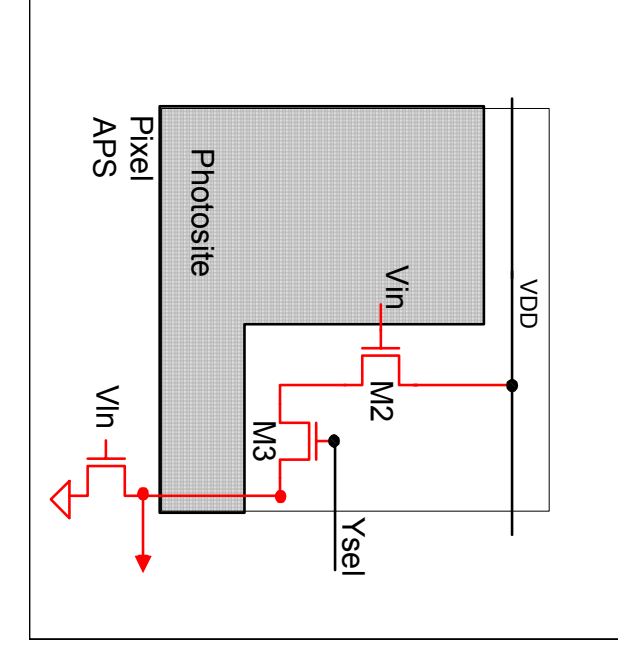
photoMOS 256x256   17	photoMOS 128x128   7.9	photodiode 128x128   55	photoMOS32x32 6.3	photodiode32x32   485	(Estimée)	lecture (fF)	Matrice   Capacité de la diode de
7	9		3	5			
16 6	8.5	62 1.6	8.5	496 0.2	(Mesurée)	lecture (fF)   Mesuré	Capacité de la diode de   CVF (µV/e-)

- Ecart important entre pixel photodiode/photoMos.
- •PhotoMOS:
- La diode de lecture du PhotoMOS peut être ajusté pour l'application
- Le facteur de conversion doit tenir compte de capacités parasites

#### Linéarité et Q<sub>max</sub>

$90K^{(1)}$	0.54	98.8	PhotoMOS 256x256
$600K^{(2)}$	0.96	98	
400K (1)	0.64	98.5	Photodiode 128x128
77K <sup>(2)</sup>	0.85	98	
51K <sup>(1)</sup>	0.56	98.5	PhotoMOS 128x128
134K <sup>(1)</sup>	1.46	89.2	
$116K^{(1)}$	1.28	94.5	
76K <sup>(1)</sup>	0.84	99.2	PhotoMOS 32x32
6.2M <sup>(1)</sup>	1.24	88	
4.3M (1)	0.86	97	
3.3M <sup>(1)</sup>	0.66	98.8	Photodiode 32x32
correspondant (e <sup>-</sup> )	correspondante (V)		
Q <sub>max</sub> Nbre d'électrons	Tension de sortie	Linéarité (%)	Matrice

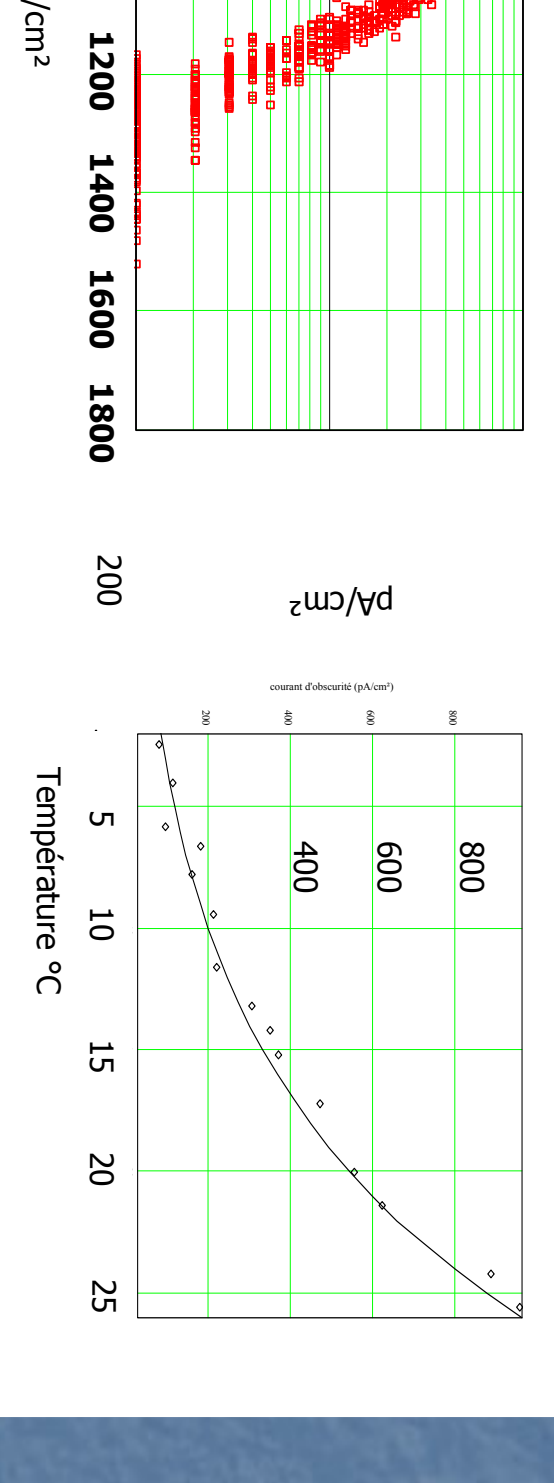
- Linéarité limité par le transistor suiveur du pixel
- Qmax PhotoMos << Qmax réel</li>
- Pixel photoMos désavantagé par son facteur de conversion élevé
- CCD : linéarité de 2V et 500Ke-



### Courant d'obscurité

Ī				
	DSNU	Courant		Matrice
	95%	$380  \mathrm{pA/cm^2}$	32x32	Photodiode
	82%	$152  \mathrm{pA/cm^2}$	32x32	PhotoMos
	71%	$1 \text{ nA/cm}^2$	128x128	PhotoDiode
	98.6%	$1 \text{ nA/cm}^2$	128x128	PhotoMos
	99.8%	$2.4 \text{ nA/cm}^2$	$256 \times 256$	PhotoMos

à 25°C



Npre ae pixels

400

600

800

1000

pA/cm<sup>2</sup>

10

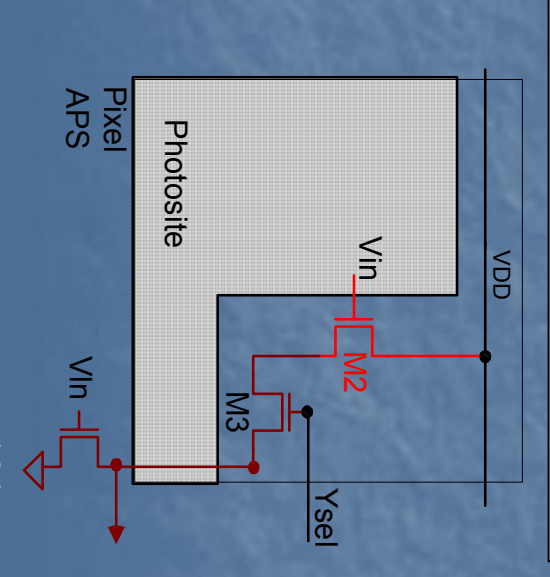
100

- Valeurs variant entre 0.15 et 2 nA/cm<sup>2</sup> (CCD MPP 20 pA/cm<sup>2</sup>)
- dépend du dessin du pixel et de la technologie
- « Dark Signal Non Uniformity » très bonne pour les pixels PhotoMos ( 6% RMS)
- Le courant mesuré double tout les 6° C

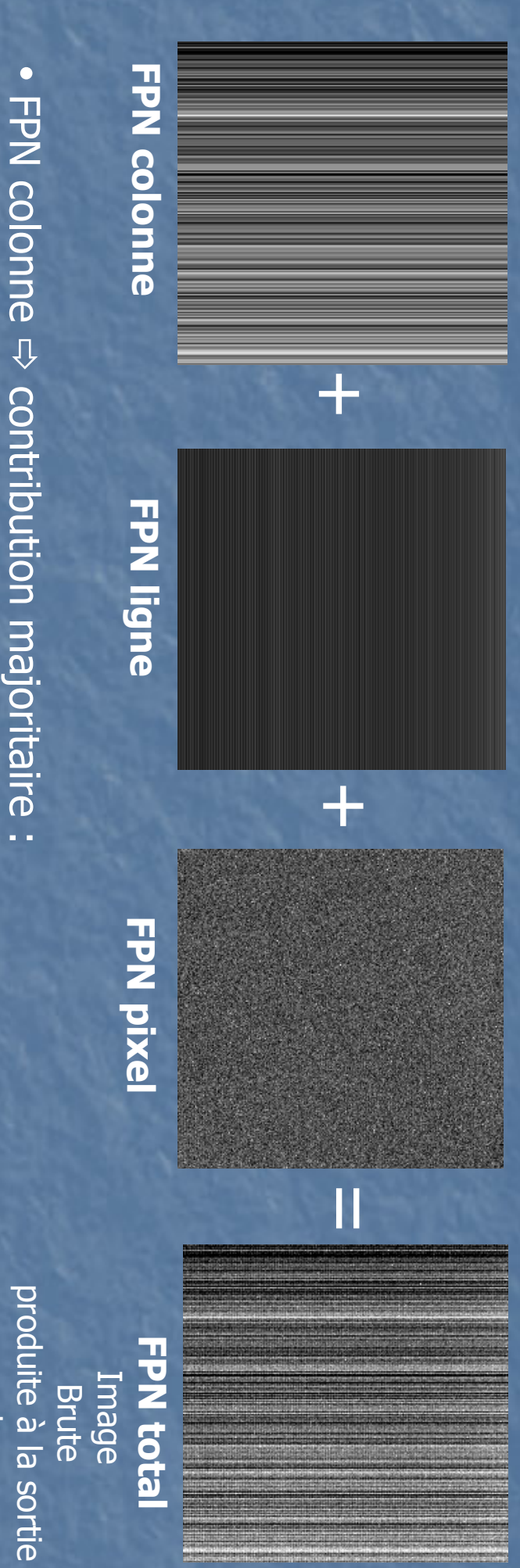
### Bruit et dynamique

Matrice	$\mu  m V \; rm  s$	Vitesse de	KTC e-	Total
		lecture	résiduel	Electrons
				RMS
Photodiode32x32	160	250 kpx/s	50µm² 360	800
PhotoMOS 32x32	220	250  kpx/s	50µm² 0	20
PhotoMOS 128x128	154	50  kpx/s	20µm² 0	14
	407	1 Mpx/s	0	37
Photodiode 128x128	225	50  kpx/s	20µm² 100	141
PhotoMOS 256x256	120	50  kpx/s	20µm² 0	20

- Contribution principale du bruit :
- transistor M2 et le reste du circuit.
- toutes les matrices à 1Mhz Rappel CCD: 5e-, 16 bits @50 Kpx/s Dynamique de 75dB (12 bits) pour



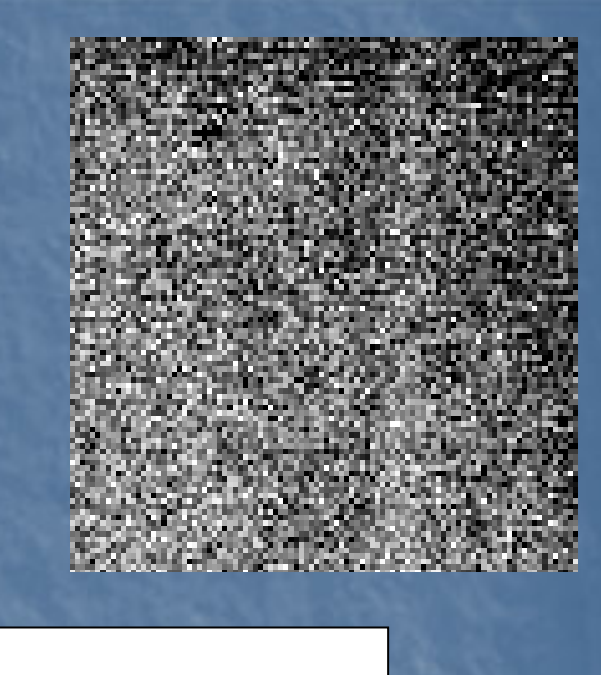
## Bruit Fixe: Fixed Pattern Noise "FPN"



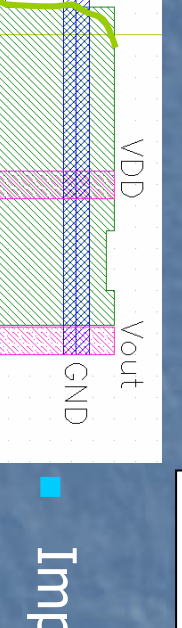
- \* 0.5 à 1% rms / dynamique\* FPN ligne et pixel < 0.2 %</li>
- FPN peut être corrigé :
- par logiciel (attention aux effets non linéaires)
- par un circuit analogique sur la puce (lent)

détecteur

## Uniformité de réponse photonique : PRNU



PhotoMOS 256x256	PhotoMOS 128x128	PhotoMOS 32x32	Photodiode32x32	Matrice
1% *	0.7 % *	10.5 %	5%	PRNU



- Imprécision de la lithographie :
- variation et irrégularité de la taille des éléments constitutifs d'un à un autre pixel (transistors...
- des transistors in-pixels:
- ⇒ gain, offsets et facteur de conversion
- Lithographie Cmos 0.7µm meilleure PRNU / Cmos1.2µm

#### Consommation

 Matrice 32x32 6.8 @250 Kpx/s

 Matrice 128x128 @50

 Matrice 256x256 m m m w @20 @2 Kpx/s Mpx/s attendu Mpx/s

Vitesse de lecture

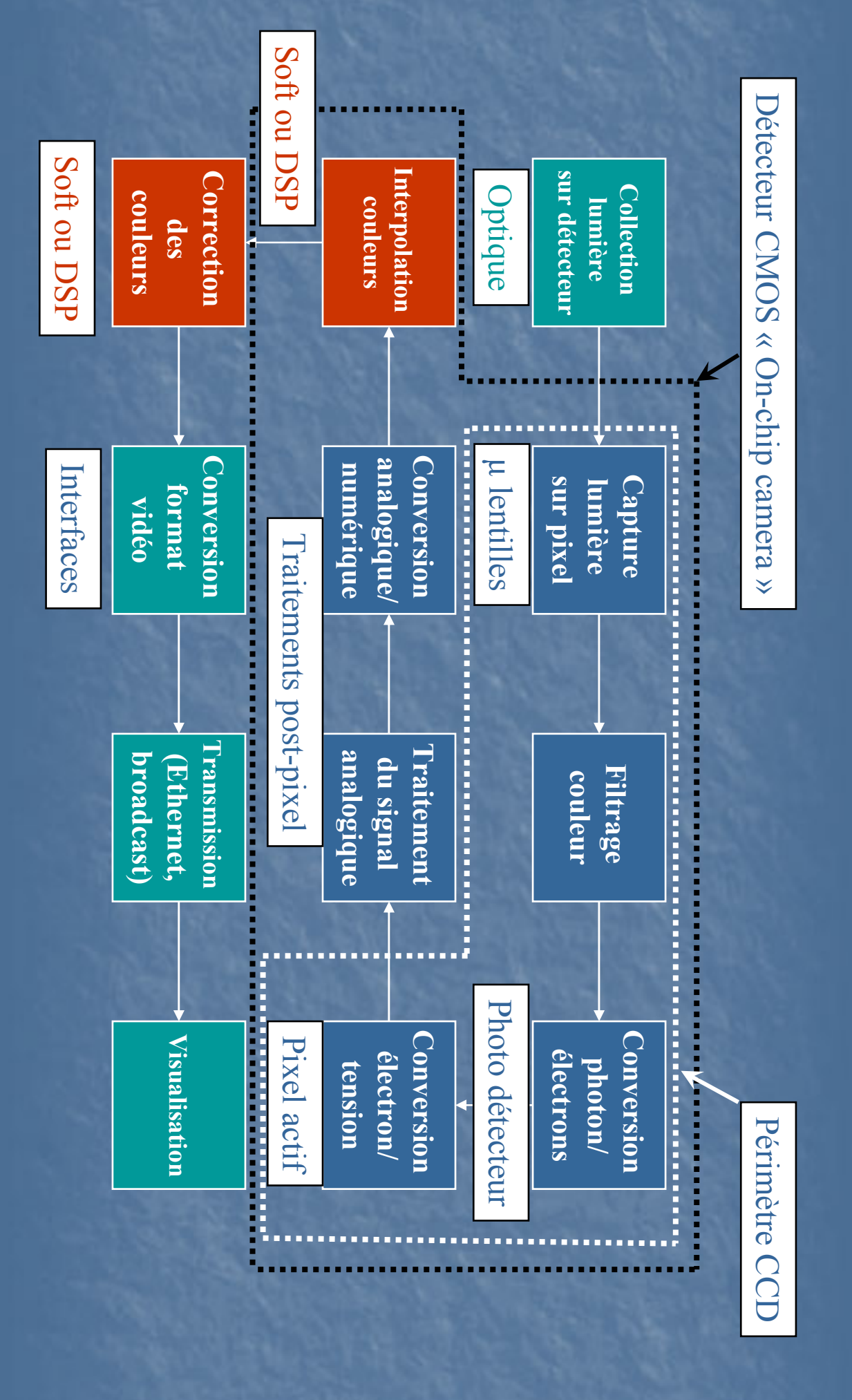
- Images à 10Mpx/s (256x256 PhotoMos)
- ⇒ pas de dégradations cosmétiques (CTE)
- 1000x1000 pixels • Plusieurs megapixels : (record) 4800 image/sec détecteur

# Comparaison de performances entre le CCD et APS

mW		
Centaines de	Qq mW	Consommation
		réponse photonique
1%	1%	Uniformité de
	$pA/cm^2$	
10-30 pA/cm <sup>2</sup>	1000-150	Courant d'obscurité
40%	20%	QE (630 nm)
5-10 e rms	15 e rms	Bruit (50kpx/s)
15-16 bits	12 bits	Dynamique
CCD	APS	

• APS a des perfs. comparables aux CCD interligne, mais pas encore avec les CCD scientifiques

# Rôle croissant du détecteur dans la caméra



### Acteurs de l'APS CMOS

Société/Labo	Pays	Marché
Micron (ex Photobit)	USA	Grand public
Fill Factory	Belgique	Grand public – Photo numérique
Kodak	USA	Grand public
ST Microelectronics	UK	Grand public
Silicon Video	USA	Grand public HDTV
National SemiCond.	NSA	Grand public
CANON	Japon	Photographie numérique
CIMI/SUPAERO	France	Spatial & Scientifique
CSEM	Suisse	Spatial & Scientifique

# Etat du Marché capteur d'image CMOS

- Large choix de détecteur de petit format standard
- Produits 2 MPixels prise de vue « snapshot » pour imagerie rapide
- Barrettes pour scanners
- Candidats aux rétrofits numériques d'appareils de photo argentiques

(format 24x36 ou plus)

Développement de produits Custom



Sept 2003 — CMOS 6 MegaPixels



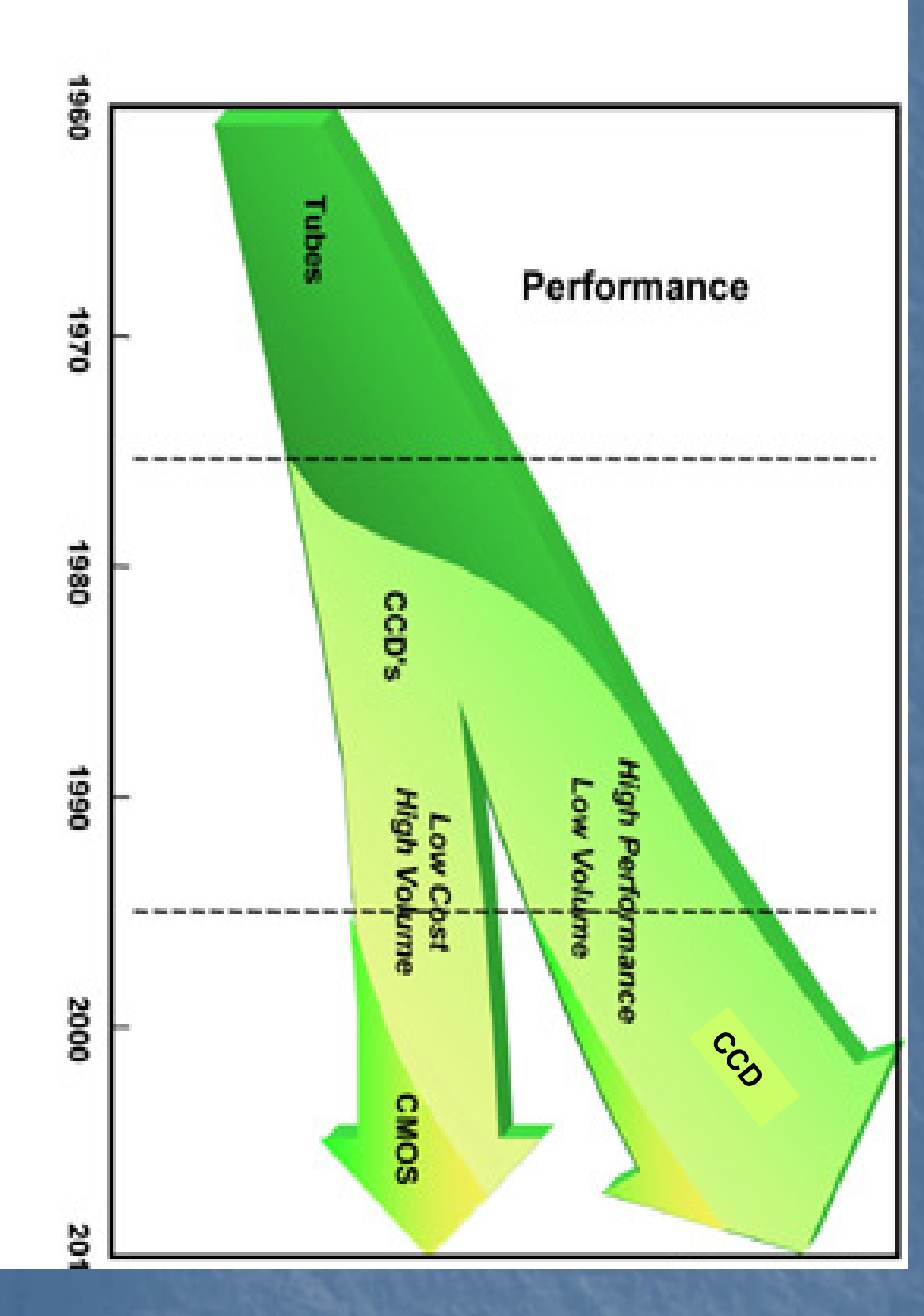
24x36mm, 11Mpix Kodak DCS Pro 14n digital

Oui	Non	Lecture non destructive
Défavorable	Très favorable	Rendement quantique
10 e-	Qq électrons	Bruit de lecture
Favorable	Défavorable	Consommation
Elevée	Limitée	Vitesse de lecture
Facile (TTL)	Délicate tensions exotiques	Mise en oeuvre
Elevé	Moyen	Rendements de fabrication
Favorable	Défavorable	Cout
Oui	Non	Fonctions « on-chip »
Aléatoire	Série	Accès pixel
Multi source	Mono source	
Standard	Dédiée	Technologie
CMOS	CCD	

State and State of	CCD	CMOS
Grandes matrices	1600 mm²	400 mm² Un vrai pb, limitation du réticule (masque)
Taille du pixel	5 µm	5 µm
Nombre de pixels	20 millions	11 millions
Full well	200 Ke-	80 Ke-
Dynamique	Favorable (si lecture lente)	Défavorable
	16 bits	13-14 bits
Fill Factor	100 à 50%	Rarement au delà de 75%
Bruit fixe	Zéro, non affecté	< 5% de la dynamique totale
Tenue aux radiations Spatial / nucléaire	Mauvaise	Bonne
Age et Esperance de vie	Depuis 1970, en baisse sur certains applis que le CMOS peut prendre	Depuis 1994, en pleine évolution
Application clef	Scientifique, très faible flux	Grand public, appareils numérique

### Marché imageurs RoadMap KODAK

## Tendance: migration technique des détecteurs



# CCD/CMOS/œil/film - synthèse des performances

1 an	3 ans	10-20 ans	520 millions d'années	Cycle de developpement
Filtres, conversion numérique	Non	non	Très développé	Traitement « on chip »
8µm	9µm	10-20µm	2.3 x 2.5 µm	Taille pixel
11 millions	20 millions	22 millions sur 24x36 mm	120 millions	Nbre d'éléments
100 dB	N'existe pas	1024	106	Dynamique (Log)
7000	40000	500	100	Dynamique (Linéaire)
0.3-1.1µm	0.3- 1.1µm	0.4-0.7µm	0.4-0.7µm	Fenetre spectrale
~ 45%	> 85%	<3%	< 10%	Rendement Quantique Pic
CMOS APS	CCD	Film	<u>E</u>	Critère

## Merci de votre attention